

Jan Żylicz

ODDZIAŁYWANIA FUNDAMENTALNE
W FIZYCE JĄDROWEJ

UW, rok akad. 2015/2016
semestr zimowy

WSTĘP

Cel wykładu

Próba przekonania Słuchaczy, lub umocnienia Ich świadomości, że badania z zakresu **fizyki jądrowej niskich energii**, teraz i przez wiele następnych lat, mogą przynieść odpowiedzi na pytania o fundamentalnym znaczeniu poznawczym.

- (i) Mowa będzie o zachowaniu się skrajnie zimnych neutronów w polu grawitacyjnym Ziemi (obserwacja stanów kwantowych, poszukiwanie odstępstwa od prawa grawitacji na bardzo małych odległościach).
- (ii) Przedstawione będą badania promieniotwórczości β , ze szczególnym uwzględnieniem rozpadu neutronu, mające na celu testowanie Modelu Standardowego (m.in. sprawdzanie unitarności macierzy **CKM** i poszukiwanie wkładu oddziaływania skalarnego).
- (iii) Dyskutowane będą kwestie symetrii i praw zachowania w odniesieniu do zjawisk jądrowych (m.in. na przykładzie badań własności neutrina i poszukiwań dipolowego momentu elektrycznego neutronu).

Spis wykładów

1. Neutrony i grawitacja
2. Przemiana β neutronu
3. Stałe sprzężenia, macierz CKM , plany dalszych badań
4. Przejścia Fermiego $0^+ \rightarrow 0^+$ i macierz CKM
5. Poszukiwanie wkładu oddziaływania skalarnego
6. Przemiana β na drodze wychwytu elektronu
7. Neutrino i liczba leptonowa
8. Poszukiwanie rozpadu $\beta\beta 0\nu$
9. Transformacja neutrin słonecznych
10. Oscylacje i masy neutrin
11. Symetrie i prawa zachowania
12. Addytywne prawa zachowania
13. Transformacje P , C , T i prawa zachowania

Wybrane artykuły przeglądowe

- N. Severijns et al., Rev. Mod. Phys. 78 (2006) 991
Tests of the standard electroweak model in nuclear beta decay
- H. Abele, Progress in Particle and Nuclear Physics 60 (2008) 1
The neutron. Its properties and basic interactions
- E.W. Otten & Ch. Weinheimer, Rep. on Progr. in Phys. 71 (2008) 08621
Neutrino mass limit from tritium β decay
- F.T. Avignone et al., Rev. Mod. Phys. 80 (2008) 481
Double beta decay, Majorana neutrino, and neutrino mass
- D. Dubbers & G. Schmidt, Rev. Mod. Phys. 83 (2011) 1111
The neutron and its role in cosmology and particle physics

Wybrane książki

- K.Siegbahn (Ed.), *Alpha-, Beta- and Gamma-ray spectroscopy*, North-North-Holland, Amsterdam 1965
- H. Frauenfelder & E.M. Henley, *Subatomic Physics*, Prentice-Hall, Englewood Cliffs 1974
- R.J.Blin-Stoyle, *Nuclear and Particle Physics*, Chapman & Hall, London 1991 (IFT 19463)
- W.C.Haxton and E.M.Henley, *Symmetries and Fundamental Interactions in Nuclei*, World Scientific, Singapore 1995 (IFT 20685)
- D.Giulini et al., *Quantum Gravity*, Springer, Berlin 2003 (IFT 22794)
- E.M. Henley & A. Garcia, *Subatomic Physics (3rd ed.)*, World Scientific, Singapore 2010
- D. Griffiths, *Introduction to elementary particles physics (2nd ed.)*, WILEY-VCH, Weinheim 2008

Wykład 1

NEUTRONY I GRAWITACJA

- 1.1. Oddziaływanie grawitacyjne na małych odległościach
- 1.2. Wizytówka neutronu
- 1.3. Neutrony z rozszczepienia ^{235}U w reaktorze
- 1.4. Neutrony skrajnie zimne (UCN)
- 1.5. Załamanie i odbicie fali neutronowej
- 1.6. Kwantowe stany neutronu w polu grawitacyjnym – teoria
- 1.7. Obserwacja stanów kwantowych neutronu

Neutron w polu grawitacyjnym Ziemi - literatura

koncepcja eksperymentu (ZIBJ, Dubna)

- V.I.Luschikov and A.I.Frank, JETP Lett. 28 (1978) 559

eksperymenty w ILL (Grenoble, Francja)

- V.V.Nesvizhevsky et al., Phys. Rev. D67 (2003) 102002
- A. Westphal et al., EPJ C51 (2007) 367

książki

- D.Giulini et al., „Quantum Gravity”, Springer, Berlin 2003 (IFT 22794)
- L.Dobrzyński, K.Blinowski, „Neutrons and Solid State Physics”, Harwood, NY 1994

praca doktorska

- A. Westphal, „Quantum Mechanics and Gravitation”, Diploma Thesis, Univ. of Heidelberg 2002 (arXiv: gr-qc/0208062)

1.1. ODDZIAŁYWANIE GRAWITACYJNE NA MAŁYCH ODLEGŁOŚCIACH

C.D.Hoyle et al. , Phys. Rev. Lett. 86 (2001) 1418

„Submilimeter test of the gravitational inverse-square law ...”
(i prace teoretyczne tam cytowane).

$$V(r) = -G \frac{m_1 \cdot m_2}{r} (1 + \alpha e^{-r/\lambda})$$

$$G = 6.673 \times 10^{-11} \text{ m}^3 \text{ kg}^{-1} \text{ s}^{-2}$$

Przy zastosowaniu wahadła torsyjnego stwierdzono stosowalność prawa w standardowej wersji ($\alpha=0$) dla odległości $r > 218 \mu\text{m}$.

1.2. WIZYTÓWKA NEUTRONU

Odkrycie: J. Chadwick 1932

Wybrane własności

Masa $m = 939.57 \text{ MeV} / c^2$

Ładunek $Q = 0$

Spin i parzystość $J^P = 1/2^+$

Moment magnetyczny $\mu = -1.913 \mu_N$

Przemiana beta $n \rightarrow p + e^- + \bar{\nu}_e$

Energia przemiany $Q_{\beta^-} = 0.782 \text{ MeV}$

Średni czas życia $\tau = 885.7 \pm 0.8 \text{ s}$

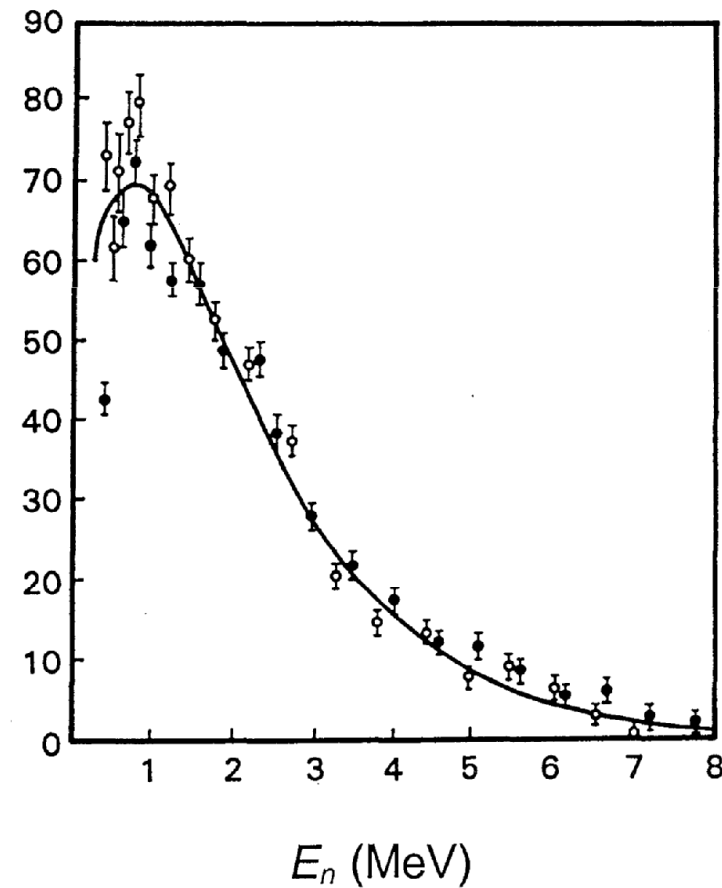
G. Audi et al., NUBASE 2012, Chinese Physics C36 (2012) 1157

1.3. NEUTRONY Z ROZSZCZ. ^{235}U W REAKTORZE

Średnia liczba neutronów: 2.5 na akt rozszczepienia.

Średnia energia kinetyczna: $\bar{E}_n \approx 2 \text{ MeV}$.

Widmo
energetyczne
pierwotne
(jednostki względne)
Nereson, PR 88(1953)823



SPOWALNIANIE NEUTRONÓW

Spowalniacz: H_2O , D_2O , grafit

Proces spowalniania

- początkowo zderzenia z jądrami,
- przy $E \sim 1$ eV istotna struktura molekuł,
- przy $E < 0.1$ eV molekuły jak sztywne obiekty.

Wynik końcowy

- w przybliżeniu rozkład Maxwella

PRZYBLIŻONE ZALEŻNOŚCI DLA NEUTRONÓW NIERELATYWISTYCZNYCH

Energia kinetyczna (eV) → temperatura (K)

$$E = kT \quad k = 8.617 \times 10^{-5} \text{ eV} / K$$

$$T = 1.16 \times 10^4 \times E$$

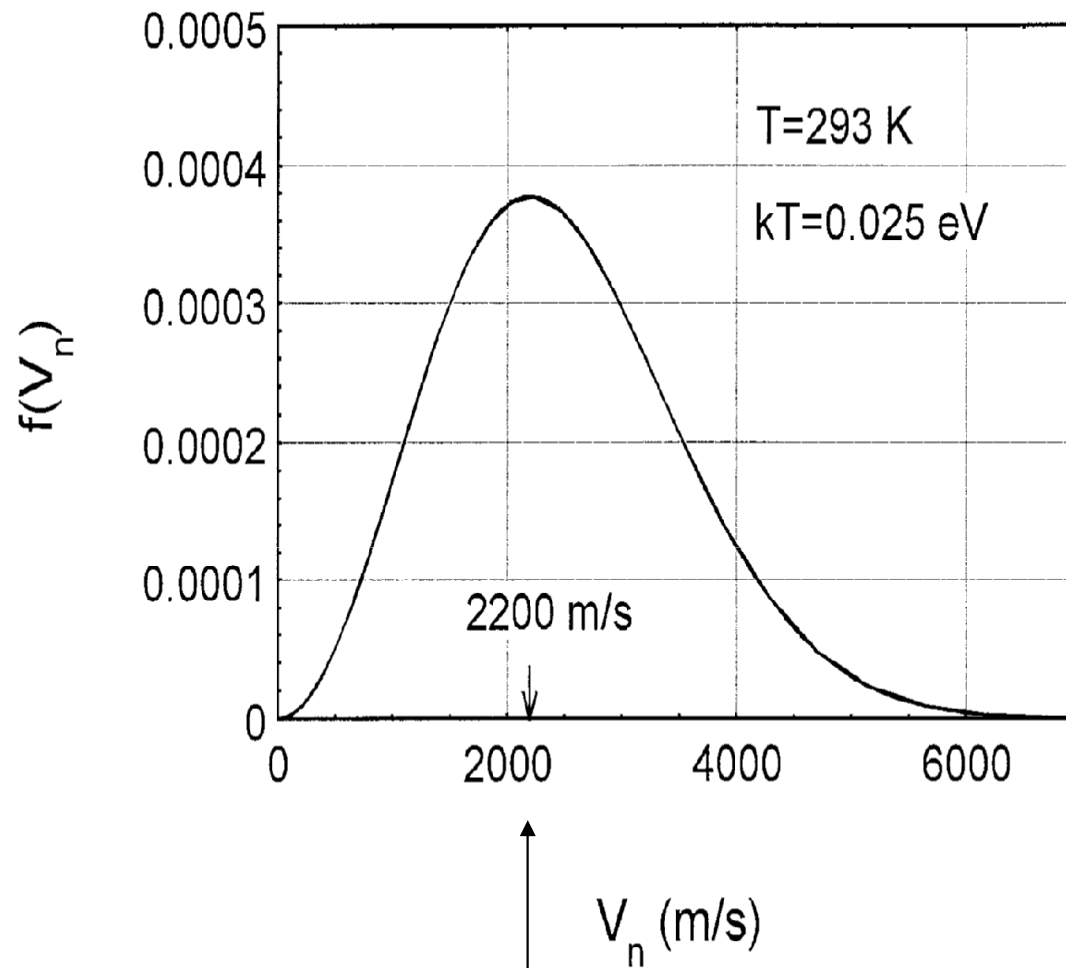
Energia (eV) → długość fali (nm)

$$\lambda = \frac{h}{p} = \frac{0.0286}{\sqrt{E}}$$

Energia (eV) → prędkość (m/s)

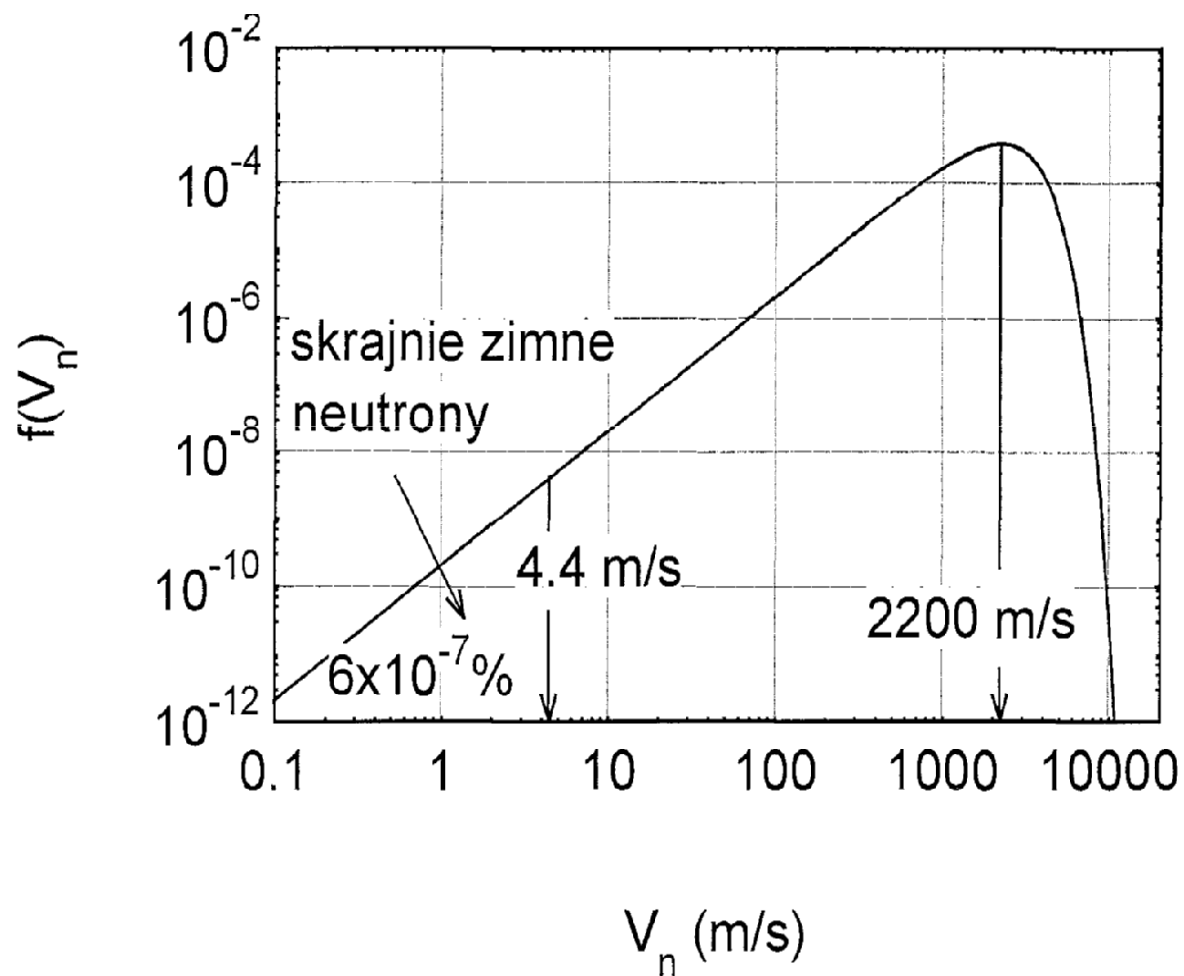
$$V = 1.38 \times 10^4 \sqrt{E}$$

RÓWNOWAGA TERMICZNA – ROZKŁAD MAXWELLA



Długość fali de Broglie'a: $\lambda_n = h / m_n V_n \cong 1.8 \times 10^{-10} \text{ m}$

ROZKŁAD MAXWELLA W SKALI LOGARYTMICZNEJ (T = 293 K)



1.4. NEUTRONY SKRAJNIE ZIMNE

(UCN – Ultra Cold Neutrons)

Definicja: $E \leq 10^{-7} \text{ eV} \Rightarrow V \leq 4.4 \text{ m/s} \quad (\lambda \geq 90 \text{ nm})$

W polu grawitacyjnym Ziemi

$V = 4.4 \text{ m/s} \Rightarrow$ wysokość ok. 1 m

Procentowy wkład UCN do pełnego widma neutronów termicznych

$$\frac{N(V < 4.4 \text{ m/s})}{N_{tot}} \times 100\% \approx 75 \times \left(\frac{4.4}{2200} \right)^3 \% \approx 6 \times 10^{-7} \%$$

ZWIĘKSZENIE PROCENTOWEGO UDZIAŁU UCN

Neutrony w temperaturze ciekłego deuteru

(zbiornik w pobliżu rdzenia reaktora)

$$T = 25 \text{ K}$$

$$E = kT = 0.0022 \text{ eV}$$

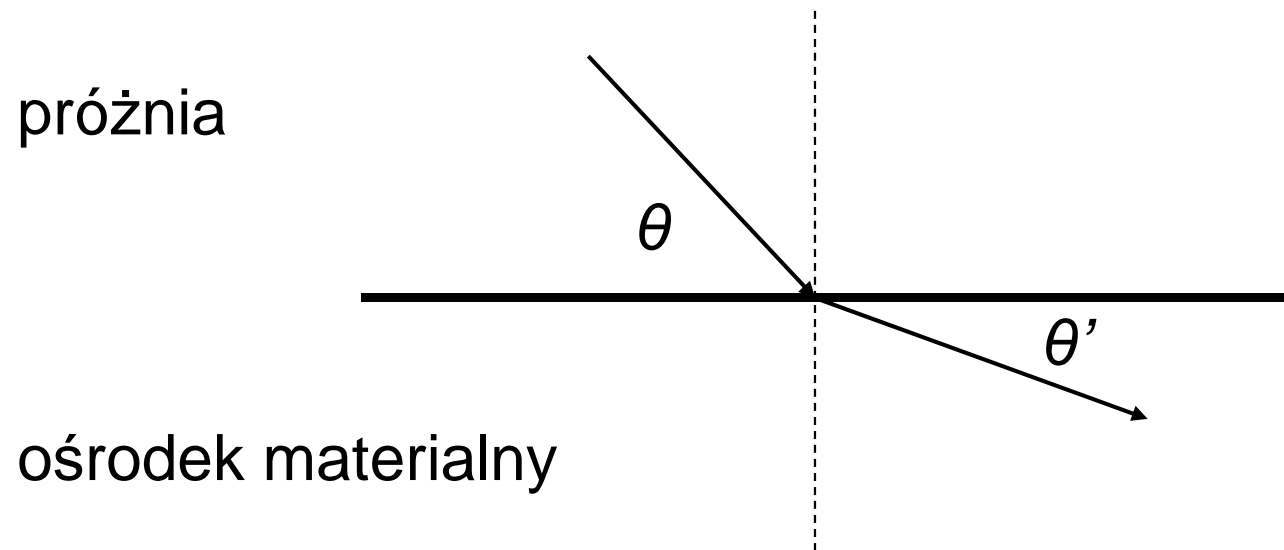
$$V = 650 \text{ m/s}$$



$$\frac{N(V \leq 4.4 \text{ m/s})}{N_{tot}} \times 100\% \approx 75 \times \left(\frac{4.4}{650}\right)^3 \% \approx 2 \times 10^{-5} \%$$

Dodatkowo – zastosowanie turbiny!

1.5. ZAŁAMANIE I ODBICIE FALI NEUTRONOWEJ



Współczynnik załamania

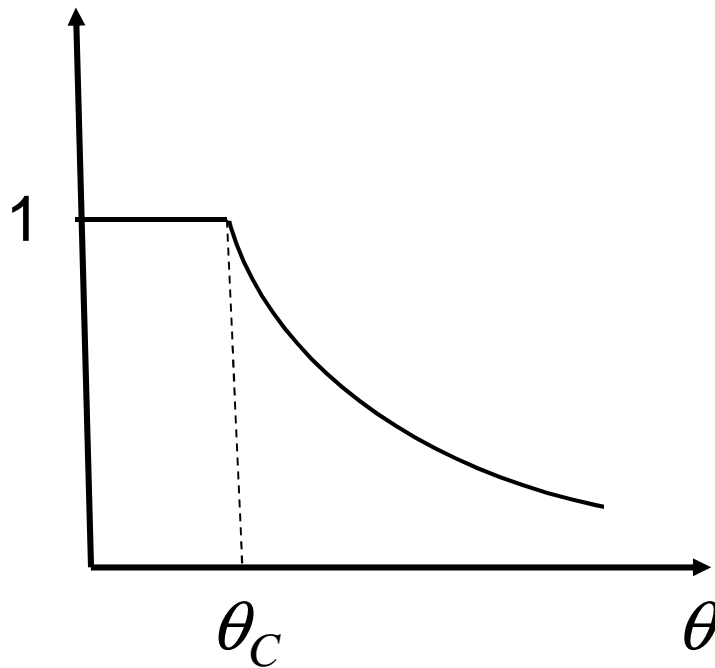
$$n = \frac{\lambda}{\lambda'} = \sqrt{\frac{E'}{E}} = \frac{\cos \theta}{\cos \theta'}$$

na ogół $n < 1$ (możliwość całkowitego zewn. odbicia!)

Kąt krytyczny θ_C i całkowite zewnętrzne odbicie

$$n = \cos \theta / \cos \theta' < 1 \quad \theta' = 0 \Rightarrow \theta = \theta_C$$

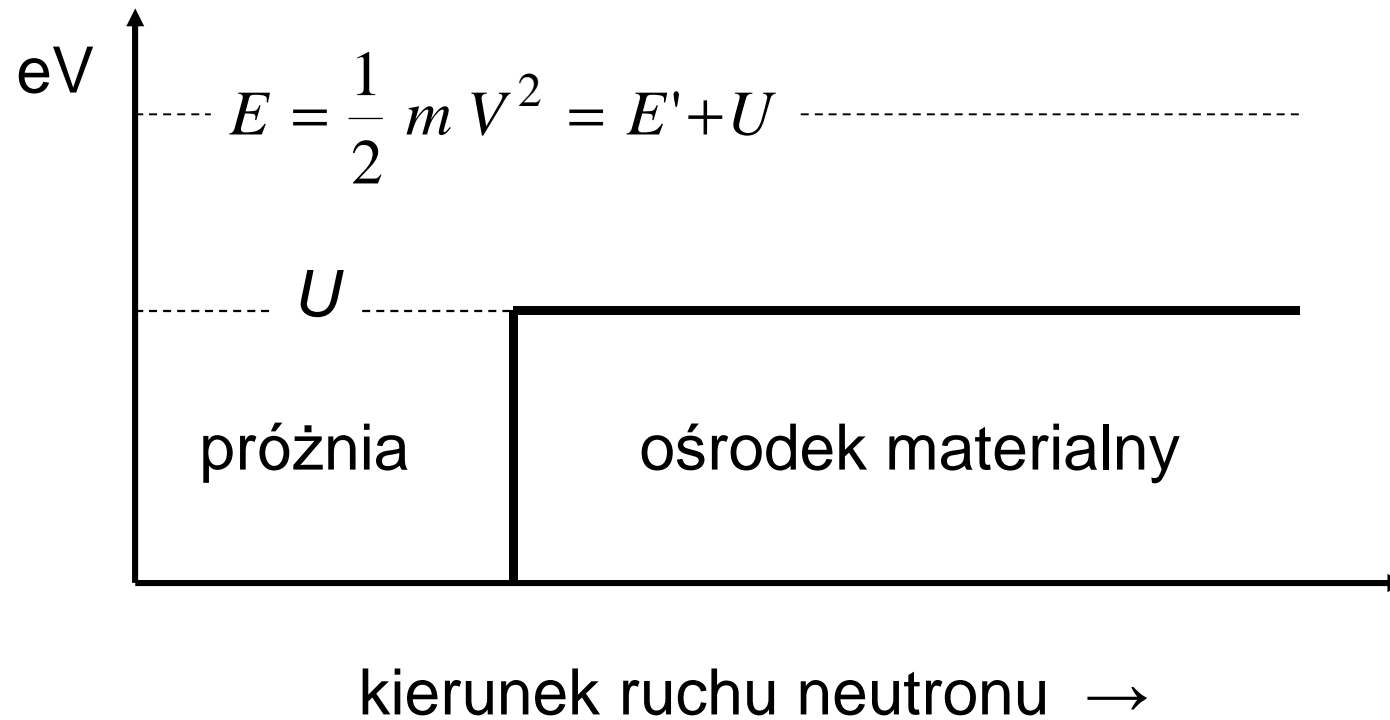
Współczynnik odbicia w funkcji kąta połysku θ (jakościowo)



WSPÓŁCZYNNIK ZAŁAMANIA I SKOK POTENCJAŁU

$$n = \sqrt{E'/E} = \sqrt{1-U/E}$$

E i E' – energia kinetyczna, U – skok potencjału, $\theta = 90^\circ$



UŚREDNIONE ODDZIAŁYWANIE NEUTRONÓW Z JĄDRAMI

$$U = \frac{2\pi\hbar^2}{m} N \cdot b$$

gdzie $N = \frac{\rho}{A} N_a$ – liczba jąder w jednostce objętości

ρ – gęstość

A – liczba masowa

N_a – liczba Avogadro

b – długość rozpraszania

(np. Mayer-Kuckuk, Fizyka jądrowa, s.103)

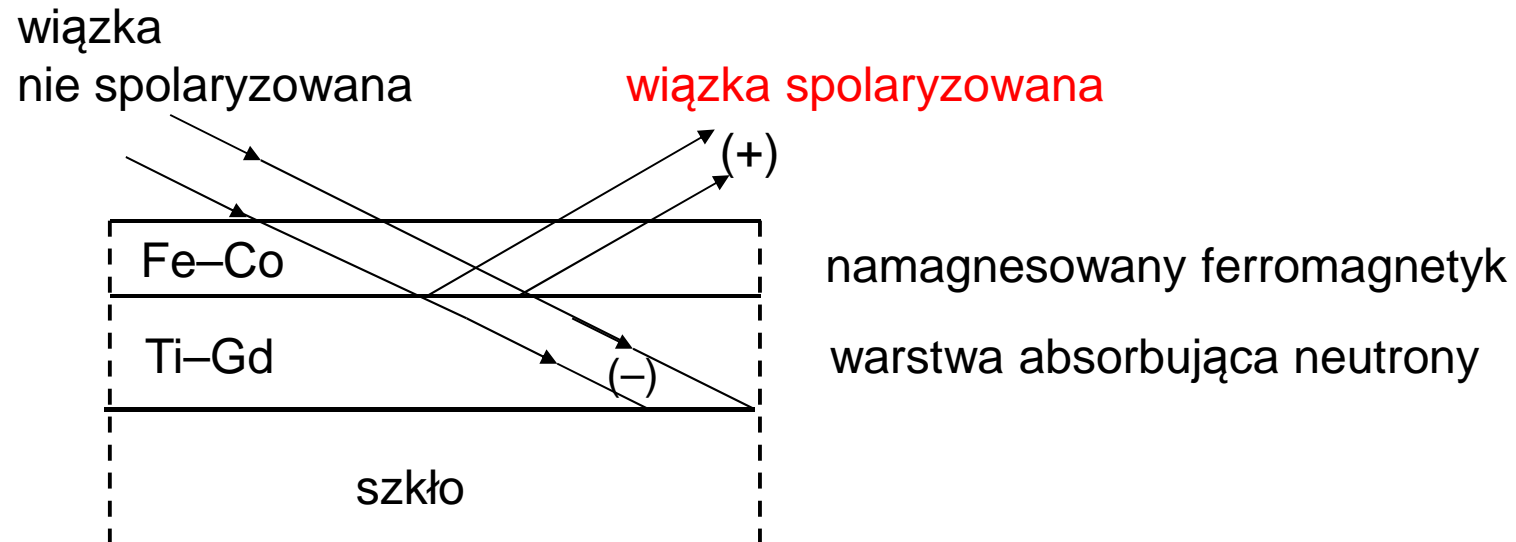
WARTOŚCI **U** DLA RÓŻNYCH MATERIAŁÓW

Materiał	U (10^{-7} eV)
Ni ($\uparrow\uparrow$)	2.70
Ni ($\uparrow\downarrow$)	2.00
Cu	1.72
Al	0,59.
Ti	- 0.50

Otrzymywanie spolaryzowanej wiązki neutronów

dodatkowa energia neutronu w polu magnetycznym o indukcji B :

$$U_B = -\vec{\mu}_n \cdot \vec{B}$$



Odbicie neutronów o jednym kierunku spinu względem pola B
(Dobrzyński & Blinowski – Neutrons and solid state physics – Fig. 2.7)

1.6. KWANTOWE STANY NEUTRONU W POLU GRAWITACYJNYM ZIEMI – TEORIA

(S.Flügge, Practical Quantum Mechanics, Springer, Berlin 1971, zad. 40)

Pozioma płaszczyzna odbijająca neutrony $z = 0$

Energia potencjalna neutronu $m \cdot g \cdot z$

Równanie Schrödingera dla $z > 0$

$$-\frac{\hbar^2}{2m} \frac{d^2\psi}{dz^2} + (m g z - E)\psi = 0$$

Warunki brzegowe $\psi(0) = 0, \quad \psi(z \rightarrow \infty) \rightarrow 0$

WZÓR BOHRA-SOMMERFELDA

dla energii stanu neutronowego w polu grawitacyjnym Ziemi
(bardzo dobre przybliżenie dokładnego rozwiązania)

$$E_n = \sqrt[3]{\left(\frac{9 \cdot m}{8}\right) \left[\pi \cdot \hbar \cdot g \cdot \left(n - \frac{1}{4}\right) \right]^2} \quad n = 1, 2, 3, \dots$$

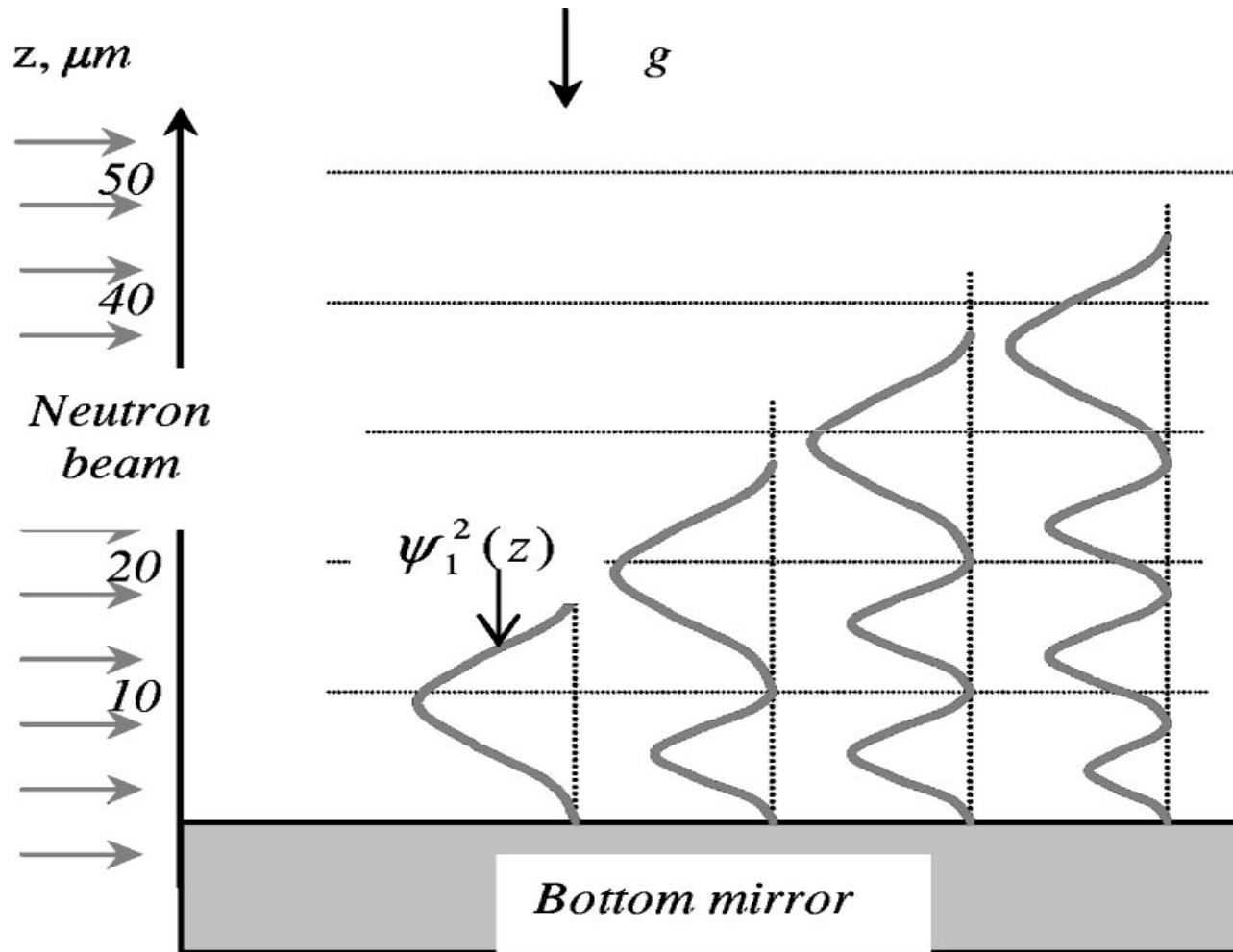
„Wysokość” poziomu neutronowego:

$$z_n = \frac{1}{m \cdot g} E_n \quad \Rightarrow \quad z_n [\mu m] = 9.754 \cdot E_n [peV]$$

NAJNIŻSZE POZIOMY ENERGETYCZNE NEUTRONU

n	E_n (peV)	$z_n = E_n/m \cdot g$ (μm)
1	1.41	13.7
2	2.46	24.0
3	3.32	32.4
4	4.09	40.0

FUNKCJE FALOWE NEUTRONU W POLU GRAWITACYJNYM



1.7. OBSERWACJA STANÓW KWANTOWYCH NEUTRONU

V.V. Nesvizhevsky et al., Phys. Rev. D67 (2003) 102002

Measurement of quantum states of neutrons in the Earth's gravitational field

Instytut Laue-Langevin, Grenoble

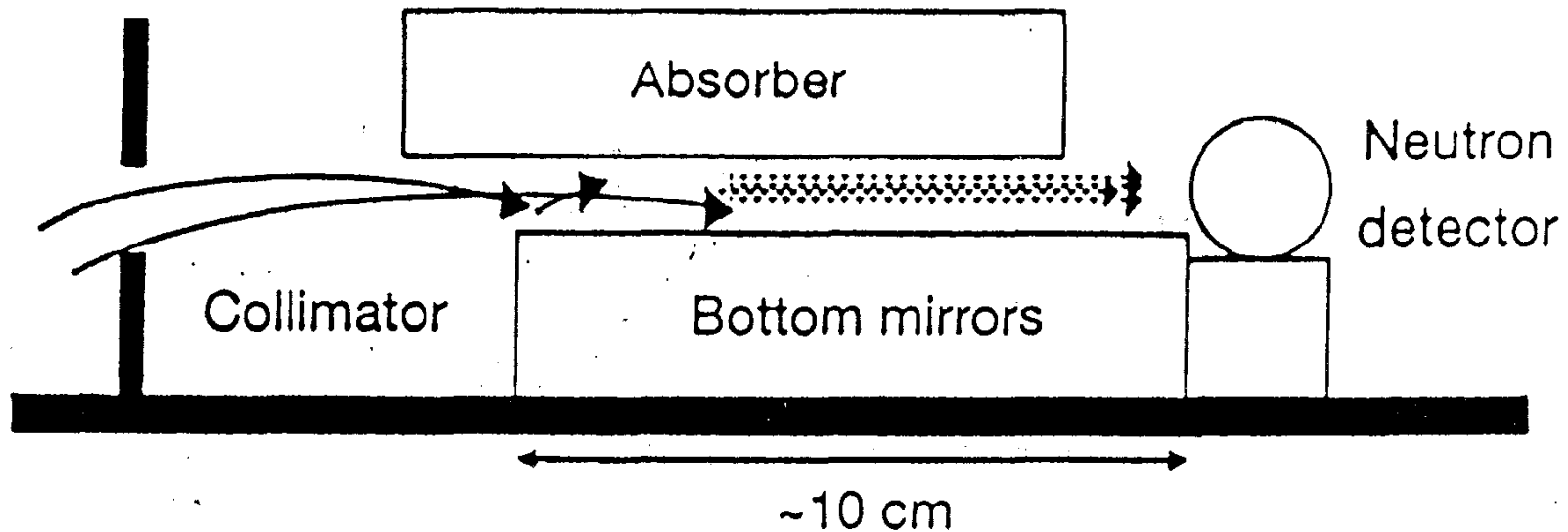
Strumień neutronów: $1.5 \times 10^{15} / \text{cm}^2 \text{ s}$

Strumień neutronów **UCN** w przewodnicy: $\sim 10^6 \text{ s}^{-1}$

Neutrony wędrują przez kolimator + wielo-szczelinowe osłony do układu absorbent/zwierciadło.

Ruch neutronów: w kierunku poziomym – widmo ciągłe,
w kierunku pionowym – stany skwantowane.

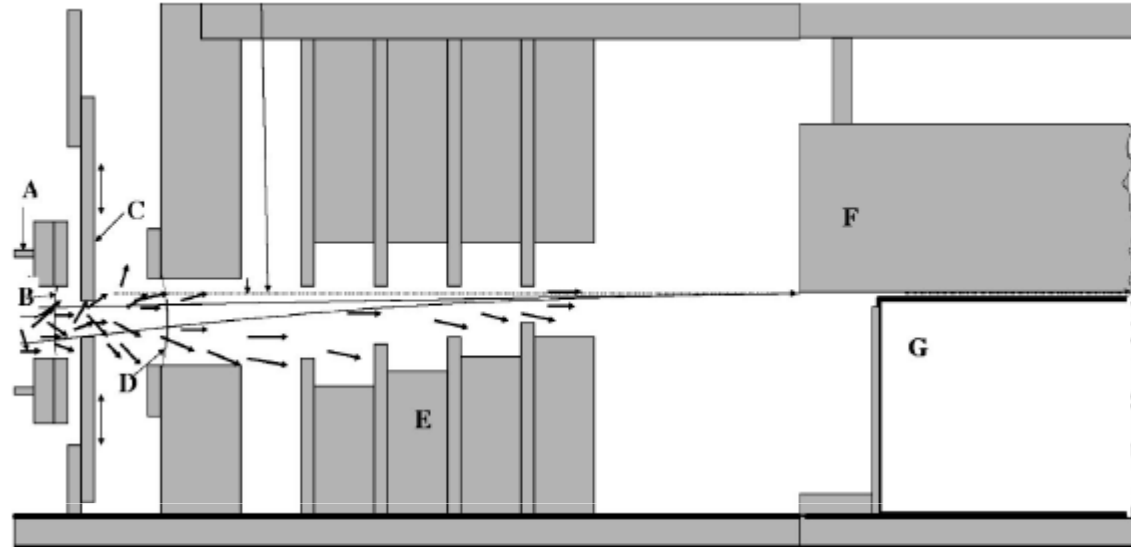
SCHEMAT EKSPERYMENTU



Zwierciadło: pozioma polerowana płyta szklana
(gładka z dokładnością do 10-20 Å)

Absorbent: na szkłe warstwa (chropowata) ca 0,2 μm
stop 54 % Ti, 35 % Gd, 11 % Zr

KOLIMACJA NEUTRONÓW



A – przewodnica neutronowa, B – okno wyjściowe,
C – kolimator tytanowy, D – okno wejściowe,
E – wielo-szczelinowa osłona, F – absorbent,
G – dolne zwierciadło.

DETEKCJA NEUTRONÓW



Cylindryczny detektor gazowy

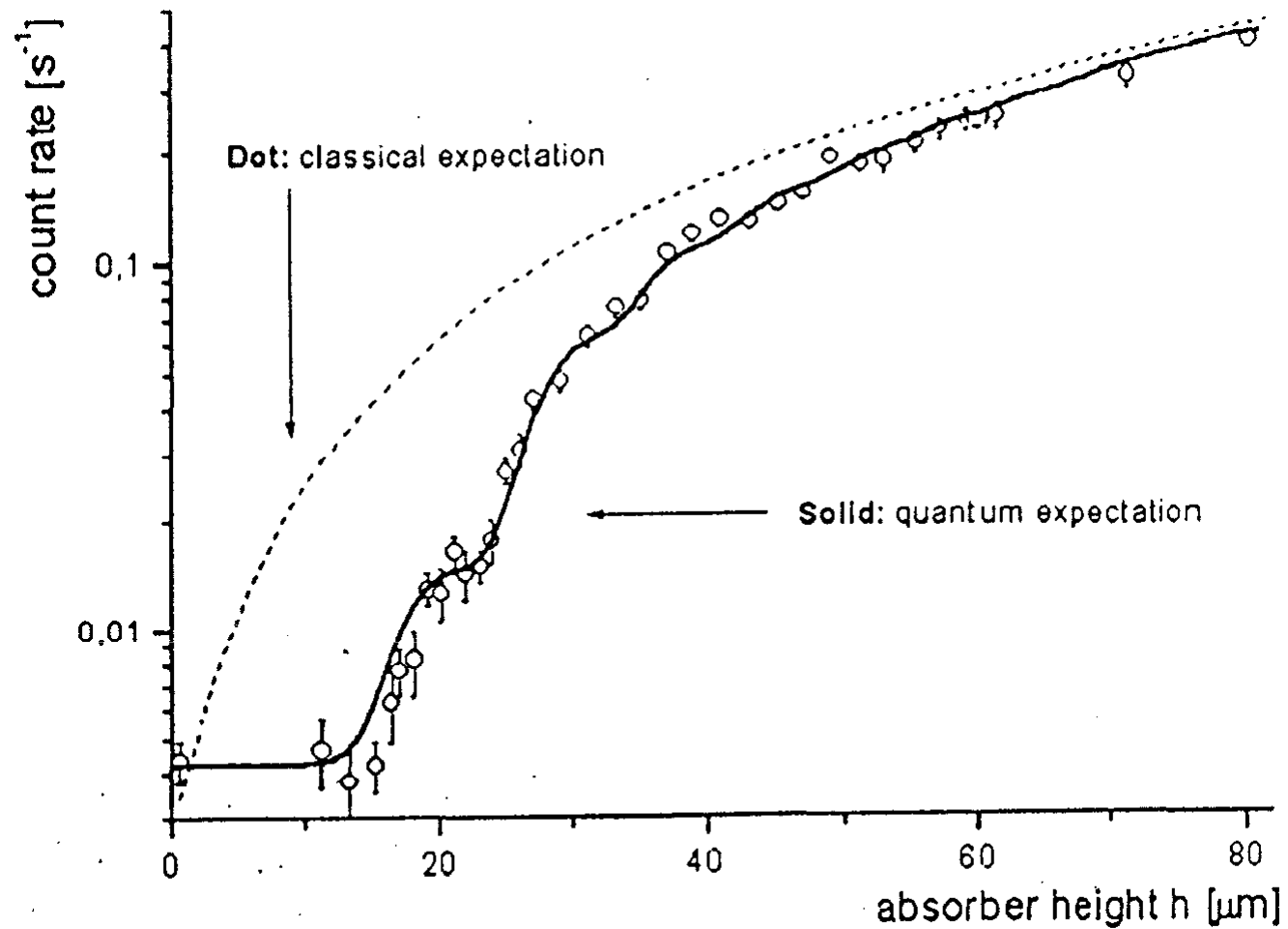
długość – 20 cm, średnica – 1.7 cm

skład – ciśnienie: Ar – 2300 hPa, ${}^3\text{He}$ – 40 hPa, CO₂ – 13 hPa

Aluminiowe okienko detektora

długość – 12 cm, wysokość – 1.5 mm

próg prędkości neutronów – 3.2 m/s



Przeptyw neutronów w funkcji położenia absorbenta

Nowy „grawitacyjny” eksperyment w ILL

V.V. Nesvizhevsky et al., Eur. Phys. J. C40 (2005) 479

„Study of the neutron quantum states in the gravity field”

„Wysokość” poziomów neutronowych (μm)

doświadczenie

teoria (slajd 21)

$$z_1 = 12.2 \pm 1.8_{\text{syst}} \pm 0.7_{\text{stat}}$$

13.7

$$z_2 = 21.6 \pm 2.2_{\text{syst}} \pm 0.7_{\text{stat}}$$

24.0

Kolejny „grawitacyjny” eksperyment w ILL (+ pogłębiony opis teoretyczny)

A. Westphal et al. EPJ C51 (2007) 367

Wniosek z tych eksperymentów:

dla położenia absorbenta $\approx 10 \mu\text{m}$

nie ma wyraźnego odstępstwa
od prawa grawitacji.

ROZMYCIE ENERGII POZIOMU NEUTRONOWEGO

Warunki eksperymentu:

długość zwierciadła	$d = 10 \text{ cm}$
prędkość neutronu	$v = 5 \text{ m/s}$
czas przelotu	$\Delta t = 0.02 \text{ s}$

Zastosowanie zasady Heisenberga

$$\hbar = 6.6 \times 10^{-16} \text{ eV} \cdot \text{s}$$

$$\Delta E = \hbar / \Delta t \approx 0.03 \text{ peV}$$

dla poziomu $E_1 = 1.41 \text{ peV}$

$$\Delta E / E_1 \approx 0.02$$

Wykład 2

PRZEMIANA β^- NEUTRONU I STAŁE SPRZĘŻENIA

- 2.1. Pomiar czasu życia neutronu
- 2.2. Przemiana β^- neutronu (elementarnie)
- 2.3. Widmo β^- wg teorii Fermiego
- 2.4. Od teoretycznego widma β do półokresu rozpadu $T_{1/2} = t$
- 2.5. Drugie równanie dla $G_{\beta F}$ i $G_{\beta GT}$

Uzupełnienia

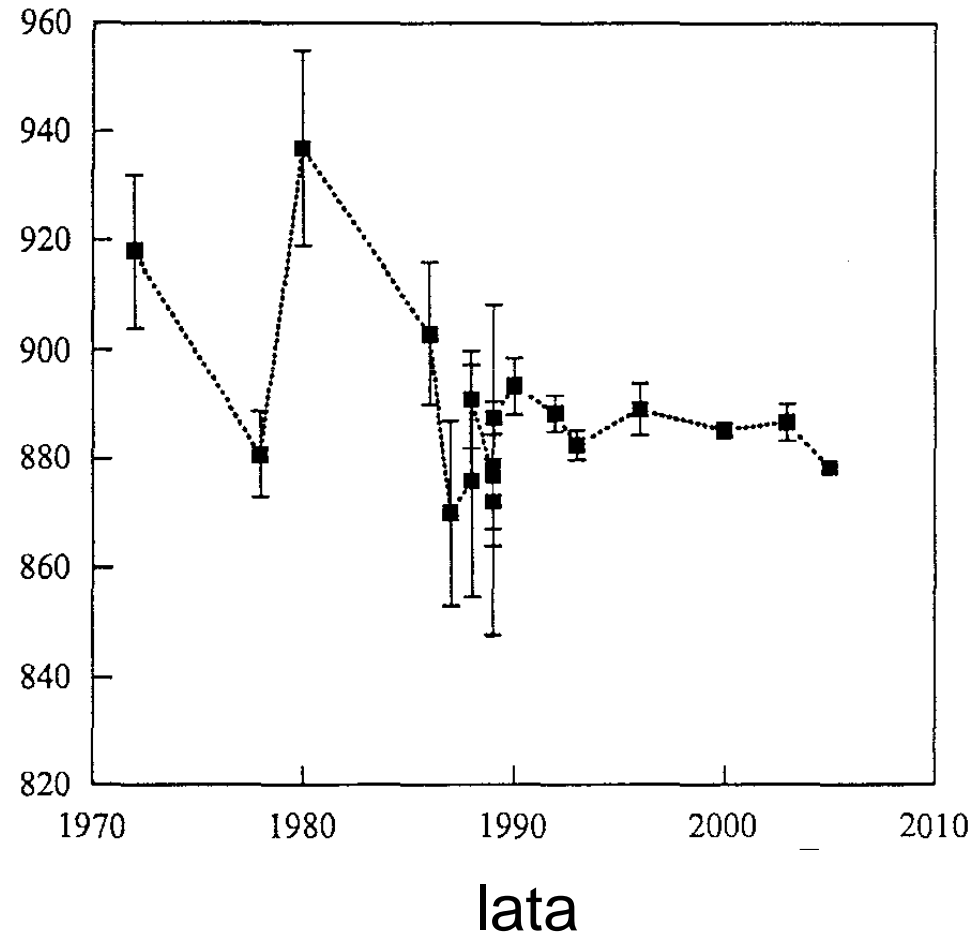
- 2.6. Szkic teorii Fermiego
- 2.7. Reguła Fermiego (Nr 2)
- 2.8. Przejścia Gamowa-Tellera

2.1. POMIAR CZASU ŻYCIA NEUTRONU

A.P.Serebrov, Uspekhi Fizicheskich Nauk 175 (2005) 905

Wyniki pomiarów
średniego czasu
życia neutronu

$$\tau_n (s)$$



Wartość średniego czasu życia neutronu

(i) Średnia „światowa”

NUBASE2012, G. Audi et al., Chinese Physics C36 (2012) 1157

$$\tau_n = 885.7 \pm 0.8 \text{ s}$$

(ii) Ostatni (?) wynik – nie uwzględniony w tej średniej

A.P.Serebrov et al., Physics Letters B 605 (2005) 72

$$\tau_n = 878.5 \pm 0.7 (\text{stat}) \pm 0.3 (\text{syst}) \text{ s}$$

Dwie metody pomiaru czasu życia neutronu

1. Pomiar aktywności A znanej liczby neutronów N

$$A = N / \tau$$

(pomiar „na wiązkę” – wykorzystanie znanego strumienia neutronów)

2. Badanie zaniku liczby neutronów gromadzonych w pułapce

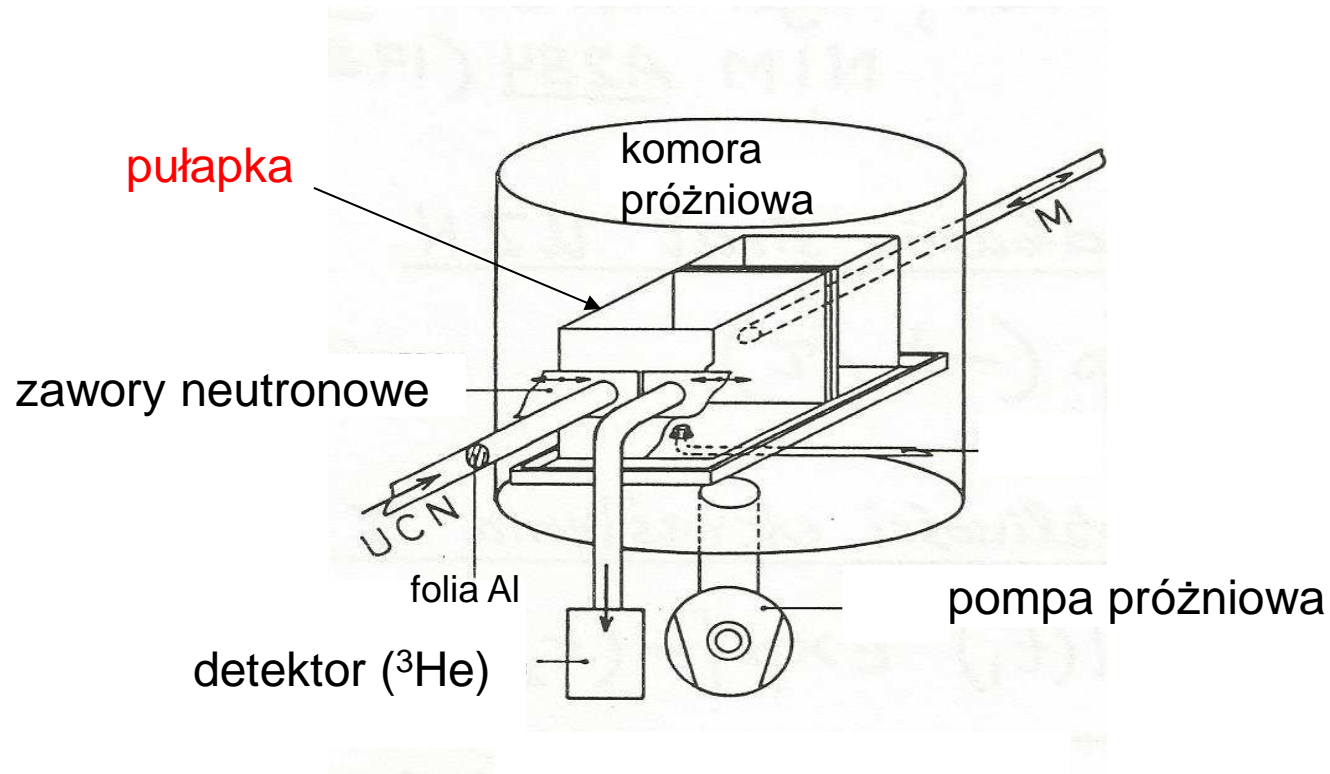
$$N = N_0 e^{-t/\tau}$$

np. pomiary dla 2 różnych napełnień pułapki przy tym samym N_0

$$\tau = (t_2 - t_1) / \ln(N_1 / N_2)$$

Pomiar τ_n neutronu przy zastosowaniu pułapki

W. Mampe et al., Phys. Rev. Lett. 63 (1989) 593 oraz NIM A284 (1989) 111



Układ pomiarowy w ILL Grenoble

Komentarze do pracy Mampe et al.:

- Pułapka:

prostopadłościennie naczynie szklane o zmiennej objętości

$$V = 30 \text{ cm} \times 40 \text{ cm} \times L \quad (L \leq 55 \text{ cm})$$

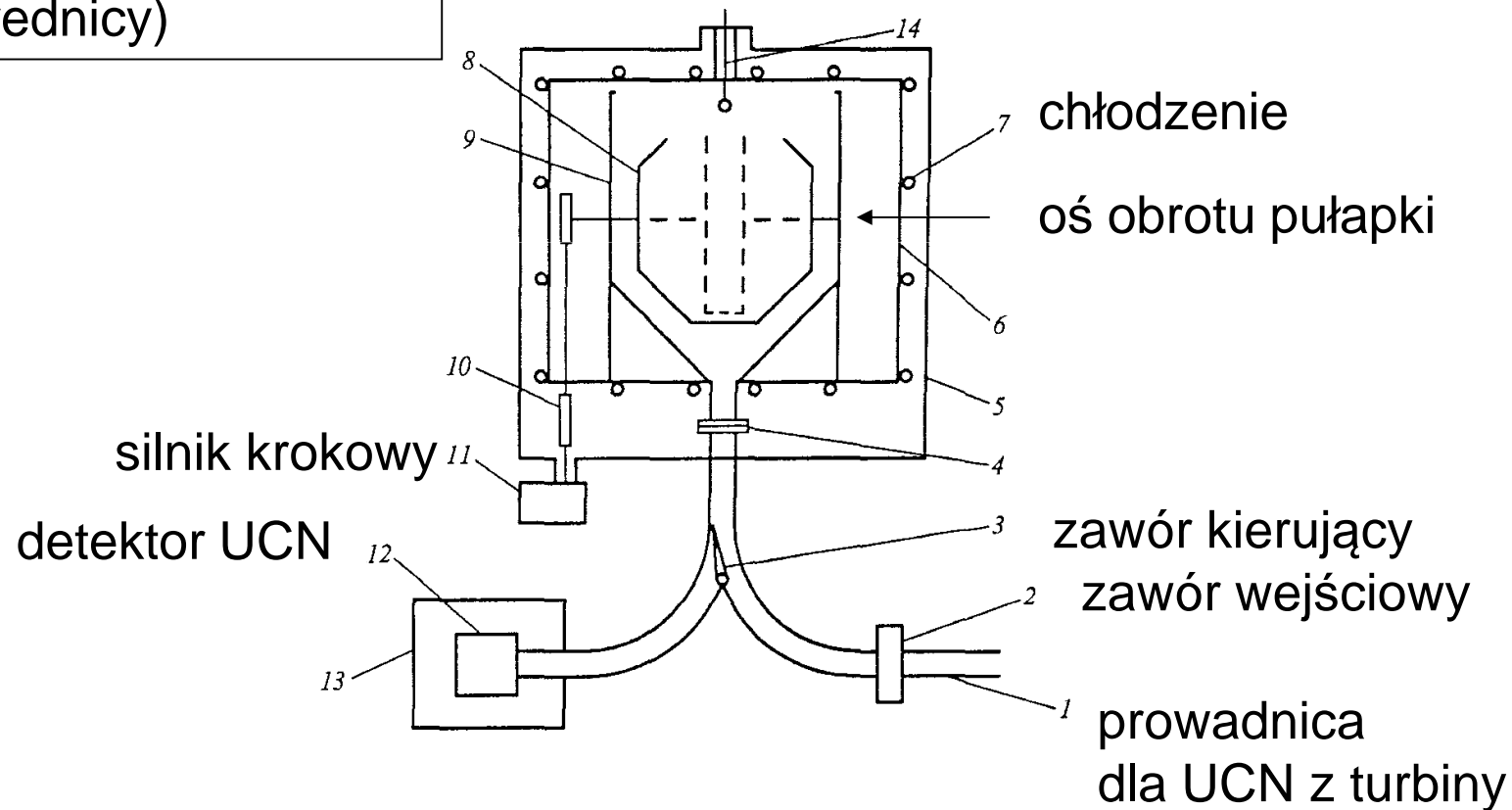
od wewnątrz pokryta warstewką oleju próżniowego ($U=1.1 \times 10^{-7} \text{ eV}$)

- Straty UCN przy odbiciach od ścianek (w wyniku absorpcji neutronów przez jądra) rzędu 10^{-5} na uderzenie \rightarrow obserwowany czas $T_o < T_n$
- Im większa średnia droga swobodna (rosnąca w miarę wzrostu objętości pułapki) tym obserwowany czas T_o bliższy T_n
- Z ekstrapolacji $T_n = 887.6 \pm 3 \text{ s}$

Pułapka grawitacyjna Serebrova i in. (2005)

pułapka $\Phi = 84$ cm
(+ wewn. pułapka
cylindryczna małej
średnicy)

wewnątrz próżnia 5×10^{-6} mbar



Wyniki Serebrova i in. (2005)

Zależność między obserwowanym czasem życia τ_o i τ_n

$$1/\tau_o = 1/\tau_n + 1/\tau_a$$

($1/\tau_a$ – wkład absorpcji na wewn. powierzchni pułapki)

Eksperyment: $\tau_o \approx 862 \text{ s} - 874 \text{ s}$

Ekstrapolacja do wielkich rozmiarów pułapki
i zerowych energii neutronów:

$$\tau_n = 878.5 \pm 0.7(\text{stat}) \pm 0.3(\text{systemt}) \text{ s}$$

Pułapki grawitacyjno-magnetyczne dla pomiaru T_n

- **Pomysł:** V.V. Vladimirskij, Zh. Eksp. Teor. Fiziki 39 (1960) 1062
Wykorzystanie niejednorodnego pola magnetycznego stwarza możliwość odbicia spolaryzowanych UCN (bez udziału ścianek pułapki!), jeżeli wybierze się odpowiedni kierunek polaryzacji.
- **Próba realizacji:** Yu.G. Abov et al., Yad. Fiz. 38 (1983) 122
- **Doskonalenie:** m.in. D. Salvat et al., Phys. Rev. C89 (2014) 052501
„Storage of ultracold neutrons in the magneto-gravitational trap of the UCN_T experiment”

(Los Alamos – pomiaru T_n chyba jeszcze nie było)

2.2. PRZEMIANA β^- NEUTRONU

prawo rozpadu

$$N = N_0 e^{-\lambda t}$$

stała rozpadu

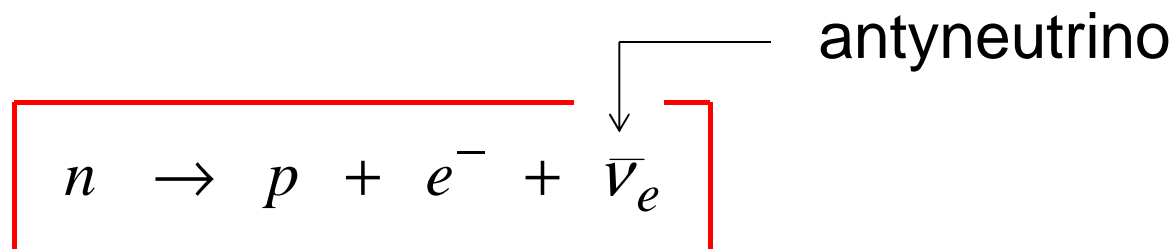
$$\lambda = 1/\tau$$

średni czas życia

$$\tau = 885.7(8) \text{ s} \quad (\text{śred. świat.})$$

okres półrozpadu

$$T_{1/2} = \tau \cdot \ln 2 = 613.9(6) \text{ s}$$



S^π $1/2^+$ $1/2^+$ $1/2$ $1/2$

spin i

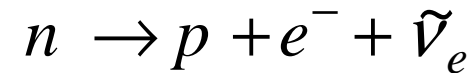


parzystość

parzystość wewn. leptonów nieokreślona!

Przejścia Fermiego i Gamowa-Tellera

Rozpad swobodnego neutronu



zachowanie momentu pędu

$$\vec{s}_n = \vec{s}_p + \vec{S}_{e+\nu} \quad (l_{e+\nu} = 0)$$

przejście dozwolone

(parzystość wewn.

n i p identyczna)

Liczby kwantowe momentu pędu

$$s_n = s_p = 1/2 = s_e = s_\nu$$

$$S_{e+\nu} = \begin{cases} 0 & (\uparrow\downarrow) \\ 1 & (\uparrow\uparrow) \end{cases}$$

przejście **F** (Fermiego)

przejście **GT** (Gamowa Tellera)

Uwaga: w stosunku do Wykładu 1, tu i w wykładach następnych, zmiana oznaczeń

K – energia kinetyczna

$$E = K + m \cdot c^2 = c \cdot (p^2 + m^2 \cdot c^2)^{1/2}$$

Energia wyzwalana w rozpadzie neutronu

W tablicach **energia rozpadu** (z definicji)

$$Q_{\beta^-} = (m_n - M_H) c^2 = 782.347(1) \text{ keV} \approx K_0$$

↑
masa atomu wodoru

↓

$$M_H = m_p + m_e - 0.0136 \text{ keV} / c^2$$

Energia wyzwalana (mniejsza od Q_{β^-} o $0.0136 \text{ keV}/c^2$)

$$K_0 = m_n c^2 - (m_p + m_e + m_\nu) c^2$$

↑ tu zanedbujemy

Energia i pęd w rozpadzie β^- neutronu

Rozpad neutronu $n \rightarrow p + e^- + \bar{\nu}_e$

pęd $0 = \vec{p}_p + \vec{p} + \vec{q}$

energia kinet. $K_p + K + K_\nu = K_0$



energię odrzutu protonu tu zaniehbujemy

Energia relatywistyczna

elektron $E = c \sqrt{p^2 + m_e^2 c^2} = K + m_e c^2$

antyneutrino $E_\nu = q c \quad (\text{dla } m_\nu = 0)$

Prawdopodobieństwo rozpadu na sekundę

$$\text{z emisją} \quad \begin{cases} e^- & \vec{p}, \vec{p} + d\vec{p} \\ \bar{\nu}_e & \vec{q}, \vec{q} + d\vec{q} \end{cases}$$

Zakładamy proporcjonalność do elementów objętości w przestrzeni pędów

$$dW \propto \delta(x) p^2 dp d\Omega_e q^2 dq d\Omega_\nu$$

↑
funkcja delta Diraca

gdzie $x = K + qc - K_0$

$x = 0 \quad \Rightarrow \quad$ zachowanie energii

Widmo pędowe elektronów

$$\downarrow$$
$$W(p) dp \propto p^2 dp \int d\Omega_e \int d\Omega_\nu \int_{-\infty}^{+\infty} q^2 \delta(x) dq$$

$$dq = dx/c$$

$$q = [K_0 - K + x]/c$$

$$W(p) \propto p^2 [K_0 - K]^2$$

Przypomnienie własności funkcji delta

$$x \neq 0 \Rightarrow \delta(x) = 0, \quad \int_{-\infty}^{+\infty} f(x) \delta(x) dx = f(0)$$

Widmo energetyczne elektronów

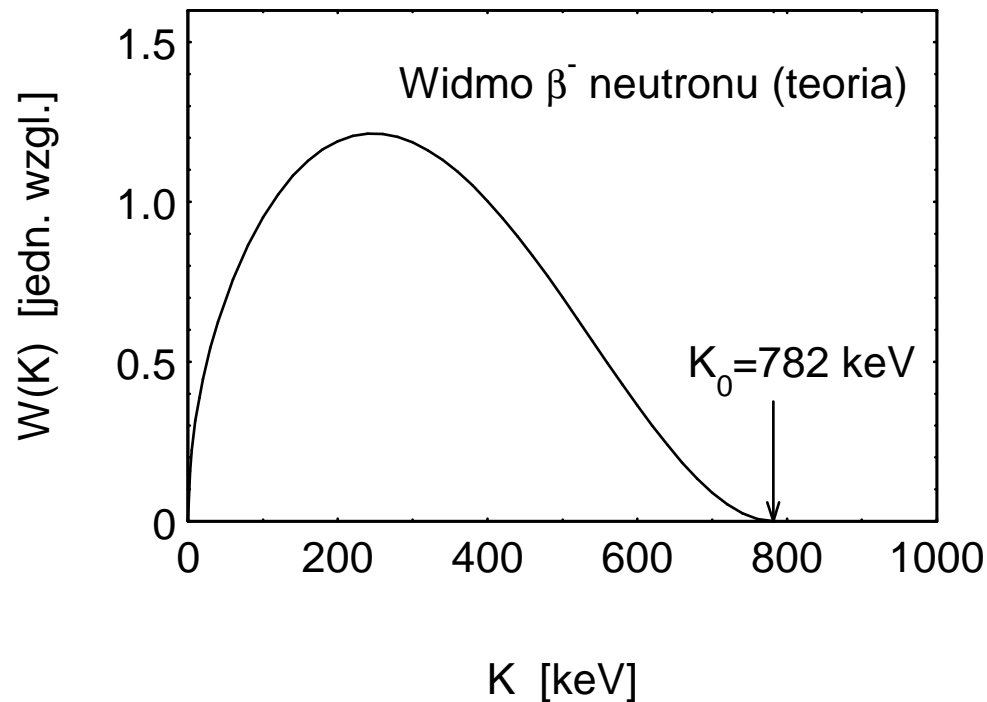


$$W(K) dK = W(p) dp$$

$$E^2 = p^2 c^2 + m^2 c^4 = (K + mc^2)^2 \Rightarrow dp / dK \propto E / p$$

$$W(K) \propto E p [K_0 - K]^2$$

↑ energia graniczna widma



(zaniedbanie
oddziaływania
kulombowskiego
jądro – elektron)

2.3. WIDMO β^- WG TEORII FERMIEGO

(patrz: Uzupełnienie)

$$dW = W(K) dK = \frac{2\pi}{\hbar} |H'_{fi}|^2 \rho(E) dK$$

↑
gęstość stanów końcowych

Element macierzowy przejścia $H'_{fi} = \int \psi_f^* H' \psi_i d\tau$

Hamiltonian oddziaływania: $H = H_0 + H'$
↑
oddziaływanie słabe

Funkcje falowe $\left\{ \begin{array}{l} \text{stan pocz. } \psi_i \quad (\text{tu: neutron}) \\ \text{stan końc. } \psi_f \quad (\text{tu: proton, elektron, antyneutrino}) \end{array} \right.$

Bez uwzględnienia oddziaływania kulombowskiego
cząstki β z jądrem końcowym
(tu: z protonem)

$$W(K) = \frac{m_e^5 c^4}{2\pi^3 \hbar^7} G_{\beta F}^2 |M|^2 E p (K_0 - K)^2$$

Komentarze:

- energia w jedn. $m_e \cdot c^2$, pęd w jedn. $m_e \cdot c$
- gęstość stanów końcowych $\rho(E) \propto E p (K_0 - K)^2$
- pozostałe wielkości \rightarrow następny slajd i Wykład 3

Dla dozwolonego rozpadu (np. neutronu)

$$G_{\beta F}^2 \cdot |M|^2 = G_{\beta F}^2 \cdot (|M_F|^2 + |M_{GT}|^2 \cdot R^2)$$

Kwadraty jądrowych elementów macierzowych dla neutronu
(p-kt 2.8 i Wykład 4)

$$\left. \begin{aligned} |M_F|^2 &= |\langle p | \hat{t}_- | n \rangle|^2 = 1 \\ |M_{GT}|^2 &= |\langle p | \hat{\sigma} \hat{t}_- | n \rangle|^2 = 3 \end{aligned} \right\} \text{dokładnie!}$$

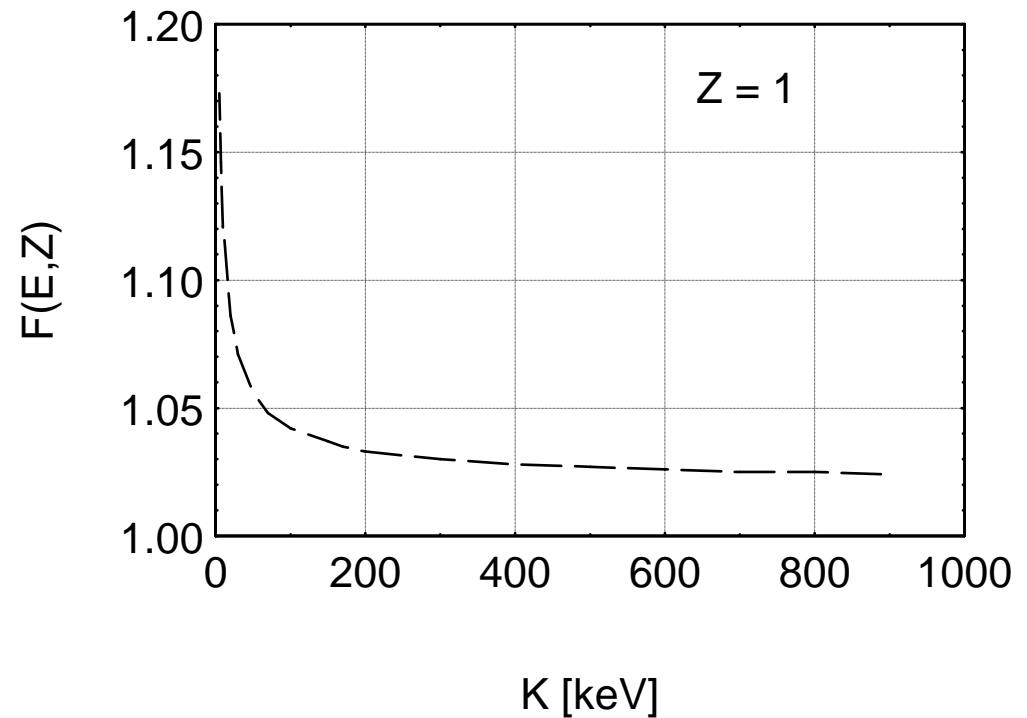
Stosunek kwadratów stałych sprzężenia

$$R^2 = G_{\beta GT}^2 / G_{\beta F}^2$$

Uwzględnienie kulombowskiego oddziaływania cząstki β^- z protonem

$$W(K) = \frac{m^5 c^4}{2\pi^3 \hbar^7} G_{\beta F}^2 |M|^2 F(E, Z) E p (K_0 - K)^2$$

funkcja
Fermiego
dla neutronu



2.4. OD TEORETYCZNEGO WIDMA β DO PÓŁOKRESU ROZPADU $T_{1/2} = t$

Stała rozpadu $\lambda_n = 1/\tau_n = \int_0^{K_0} W(K) dK = \frac{\ln 2}{t}$

Sens $W(K)$

- $W(K)dK$ – prawdopodobieństwo/1 sek. wyemitowania cząstki β o energii kinet. w przedziale $K, K+dK$
- $W(K)dKdt$ – prawdopodobieństwo wyemitowania cząstki β o energii w przedziale $K, K+dK$ w czasie dt

Stała rozpadu β neutronu

$$\lambda = 1/\tau_n = \frac{m^5 c^4}{2\pi^3 \hbar^7} G_{\beta F}^2 |M|^2 f(K_0, Z)$$

Scałkowana funkcja Fermiego

$$f = f(K_0, Z) = \int_0^{K_0} F(E, Z) (K+1) p (K_0 - K)^2 dK$$

Uwaga: energie w jedn. $m_e c^2$, stąd $E = K+1$

Wartość f dla neutronu

Po uwzględnieniu oddziaływania kulomb. $p - e^-$
(wzrost o ca 3%)

I. Towner & J. Hardy, Rep. Progr. Phys. 73 (2010) 046301

$$f = 1.6887(2)$$

Po uwzględnieniu poprawki radiacyjnej

H. Abele et al., Phys. Rev. Let. 88 (2002) 211801

$$f_R = f(1 + \delta_r) = 1.71482(15)$$

Porównawczy półokres rozpadu

$$f_R \cdot t = 1053(1) \text{ s} \quad \rightarrow \quad \log f_R \cdot t = 3.02$$

Porównawczy okres półrozpadu $f_R \cdot t$

dla neutronu

$$f_R \cdot t = \frac{D}{G_{\beta F}^2 (1 + 3 \cdot R^2)}$$

$t = \tau \cdot \ln 2$ półokres rozpadu (s)

$$D = \frac{2\pi^3 \hbar^7 \ln 2}{m^5 c^4} = 1.230580(2) \times 10^{-120} \text{ J} \cdot \text{m}^3 \cdot \text{s}$$

$$R^2 = G_{\beta GT}^2 / G_{\beta F}^2$$

Drogi do wyznaczenia stałych sprzężenia

1. Rozpad neutronu – 2 niewiadome $G_{\beta F}$ i $G_{\beta GT}$

- pierwsze równanie dla $f_R \cdot t$ – slajd 25
- drugie równanie – eksperymenty korelacyjne (slajd 27 i Wykład 3)

2. Niezależne wyznaczenie stałej $G_{\beta F}$

- superdozwolone przejścia $0^+ \rightarrow 0^+$ – Wykład 4
- rozpad mezonu $\pi^+ \rightarrow \pi^0 + e^+ + \nu_e$ (10^{-6} %)

2.5. DRUGIE RÓWNANIE DLA $G_{\beta F}$ I $G_{\beta GT}$

Rozkład kątowy e^- dla neutronów spolaryzowanych

$$W(\theta) \propto \left(1 + \frac{v}{c} \cdot P \cdot A \cdot \cos \theta\right)$$

θ kąt między pędem e^- i spinem neutronu,
 v/c stosunek prędkości e^- i prędkości światła,

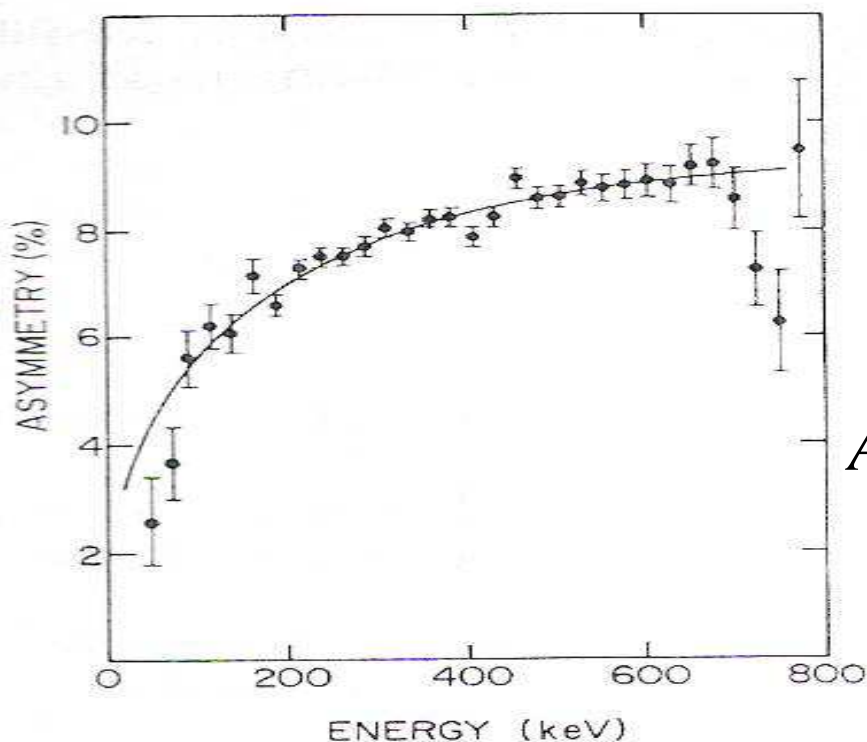
$$P = \langle \sigma_z \rangle = \frac{N \uparrow - N \downarrow}{N \uparrow + N \downarrow} \quad \text{stopień polaryzacji neutronów}$$

współcz. asymetrii

$$A = -\frac{2R \cdot (R+1)}{1+3R}; \quad R = G_{\beta GT} / G_{\beta F}$$

Rozkład kątowy elektronów z doświadczenia

P.Bopp et al. , Phys. Rev. Lett. 56 (1986) 919



Pomiar asymetrii (v/c) A



$$A = -0.1146 \pm 0.0019$$

Nowszy wynik:

$$A = -0.1189 \pm 0.0007$$

H.Abele et al., Phys. Rev. Lett. 88 (2002) 211801

Od współczynnika A do stałych sprzężenia

Rozwiązujemy równanie $(2 + 3A)R^2 + 2R + A = 0$;

odrzucaamy $R = 0.0568 \dots$, bierzemy



$$\begin{cases} R = G_{\beta GT} / G_{\beta F} = -1.2739 \pm 0.0019 \\ f_n t = 1053(1) s = \frac{D}{G_{\beta F}^2 (1 + 3R^2)} \end{cases}$$



$$G_{\beta F} = (1.4114 \pm 0.0012) \times 10^{-62} \text{ J m}^3$$

$$G_{\beta GT} = -(1.798 \pm 0.002) \times 10^{-62} \text{ J m}^3$$

UZUPEŁNIENIE

2.6. SZKIC TEORII FERMIEGO

Zastosowanie złotej reguły Fermiego (Nr 2) \leftrightarrow p-kt 2.7

Założenie: 1 atom promieniotw. (1 neutron) w objętości V

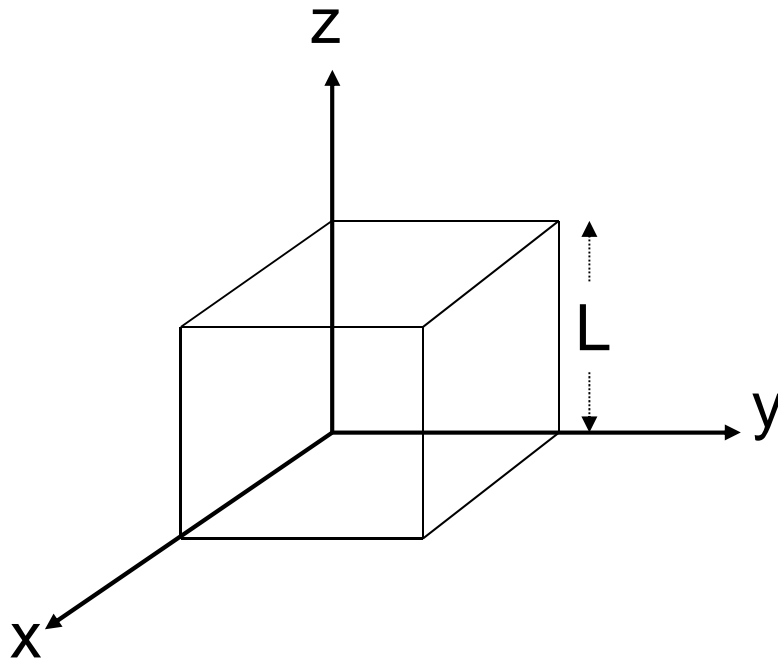
Prawdopodobieństwo emisji cząstki β o energii $K, K+dK$

$$dW = W(K) dK = \frac{2\pi}{\hbar} |H'_{fi}|^2 \rho(E) dK$$

↑
element macierzowy przejścia

↓
gęstość stanów końcowych

Gęstość stanów końcowych $\rho(E) = dN/dE$



Sześcian kwantowania
o objętości $V = L^3$;
wewnątrz cząstka
swobodna o pędzie

$$\vec{p} = \vec{k} \hbar.$$

Fala płaska $u = \frac{1}{\sqrt{V}} e^{i\vec{k}\vec{r}}$ $\int_V u^* u d\tau = 1$

Założenie: $L \gg \frac{2\pi}{k} =$ długość fali de Broglie'a

(V – znaczenie formalne, „wypadnie” z wzorów końcowych)

Liczba stanów końcowych dN dla rozpadu β^-
(m.in. dla rozpadu neutronu)

$$dN = \frac{\textit{element objętości przestrzeni fazowej}}{h^{3\kappa}}$$
$$= \frac{d\vec{r}_e d\vec{r}_\nu p^2 dp d\Omega_e q^2 dq d\Omega_\nu}{(2\pi\hbar)^6}$$

Tu, dla rozp. β , liczba cząstek w stanie końcowym $\kappa = 2$
(zaniedbujemy odrzut jądra końcowego, np. protonu)

dN dla objętości V i wszystkich kierunków pędu elektronu i antyneutrina

$$dN = \frac{V^2 16\pi^2 p^2 dp q^2 dq}{(2\pi\hbar)^6}$$

oraz pełnego zakresu wartości pędu q antyneutrina
(przy zachowaniu energii: $x = K + qc - K_0 = 0$)

$$dN = \frac{V^2 16\pi^2 p^2 dp \int_{-\infty}^{+\infty} \delta(x) q^2 dq}{(2\pi\hbar)^6}$$

dN dla pełnego zakresu wartości pędu q

przy zachowaniu energii: $x = K + qc - K_0 = 0$

$$dN = \frac{V^2 16\pi^2 p^2 dp \int_{-\infty}^{+\infty} \delta(x) q^2 dq}{(2\pi\hbar)^6} = \frac{V^2 E p [K_0 - K]^2}{4\pi^4 \hbar^6 c^5} dE$$

Komentarz: $q = [K_0 - K + x]/c$, $dq = dx/c$

$$\int_{-\infty}^{+\infty} \delta(x) q^2 dq = \frac{1}{c^3} \int_{-\infty}^{+\infty} \delta(x) [K_0 - K + x]^2 dx = \frac{1}{c^3} [K_0 - K]^2$$

$$p dp = (1/c^2) E dE$$

Gęstość stanów do teoretycznego widma β

$$\rho(E) = \frac{V^2}{4\pi^4 \hbar^6 c^5} E p [K_0 - K]^2$$

Uwagi:

- w tych rozważaniach masa antyneutrina $m_\nu = 0$
- V ma znaczenie formalne, nie ma go we wzorze końcowym

Element macierzowy przejścia H'_{fi}

Pełny hamiltonian układu

$$H = H_0 + H'$$



oddziaływanie słabe

Element macierzowy przejścia

$$H'_{fi} = \int \psi_f^* H' \psi_i d\tau$$

i – stan początkowy, f – stan końcowy

Funkcje falowe dla rozpadu neutronu

Stan początkowy

$$\psi_i = u_n \quad \text{f. falowa neutronu podlegającego przemianie}$$

Stan końcowy

$$\psi_f = u_e \quad u_\nu \quad u_p$$

proton

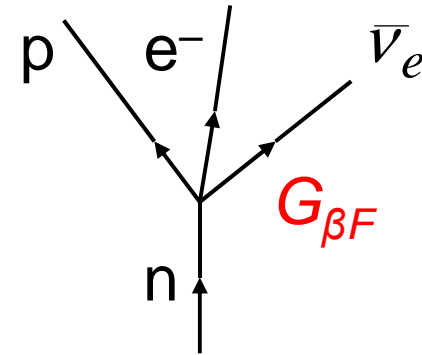
antyneutrino

cząstka β (oddziaływanie kulomb. z protonem zaniechane)

u – fala płaska

Przybliżenie Fermiego (1934)

Zał. (i) oddziaływanie punktowe, np. \rightarrow



(ii) $H' = G_{\beta F}$ stała sprzężenia,

($G_{\beta F} \propto g^2$ – Wykład 4);

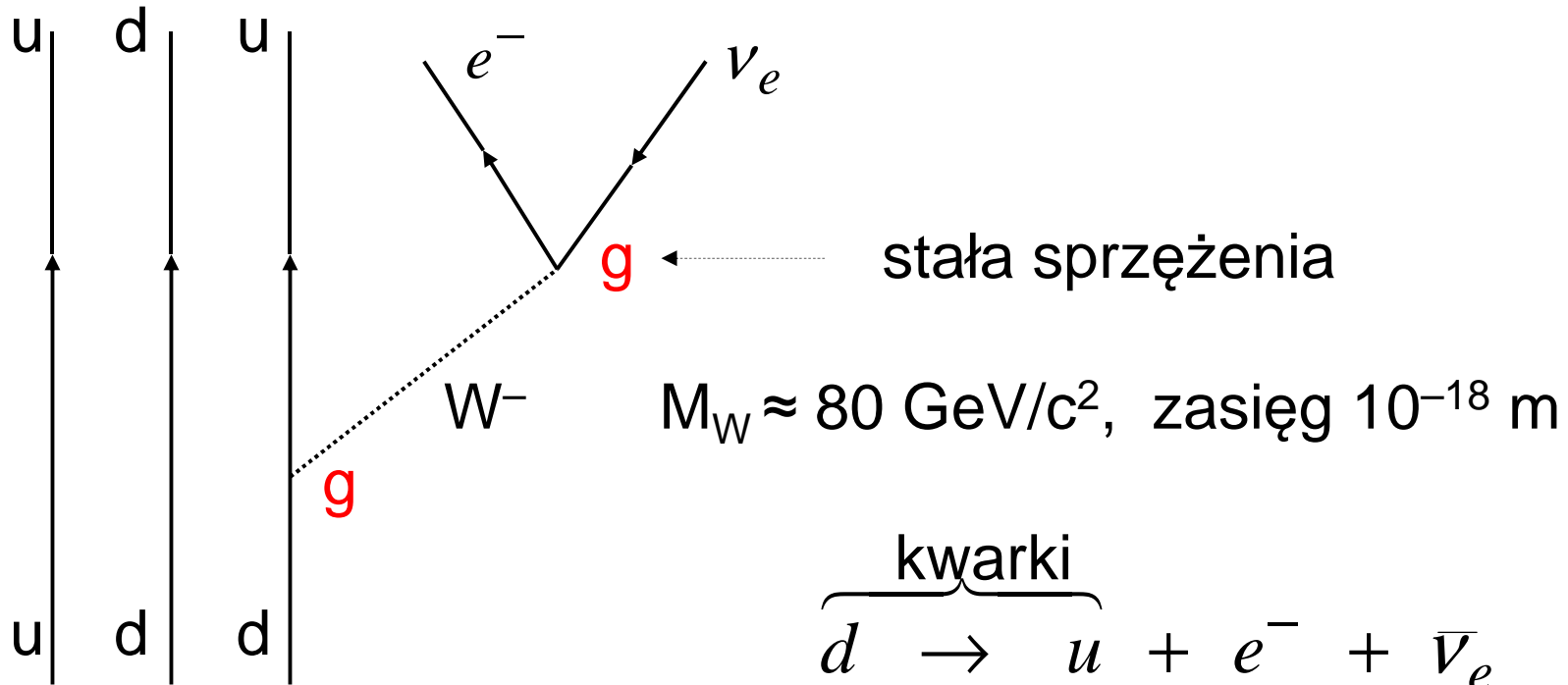
wymiar: $[G_{\beta F}] = J \cdot m^3$.

Element macierzowy: $H'_{fi} = G_{\beta F} \int u_e^* u_\nu^* u_f^* u_i d\tau$

$$[H'_{fi}] = J m^3 (1/m^{3/2})^4 m^3 = J$$

Przemiana β^- na poziomie elementarnym

proton



neutron

Q	$-1/3$	$+2/3$	-1	0
s^P	$1/2^+$	$1/2^+$	$1/2$	$1/2$

Założenie fali płaskiej dla leptonów

(dla cząstki β zaniedbanie oddz. kulomb. z jądrem)

$$u_e = \frac{1}{\sqrt{V}} e^{i\vec{k}_e \vec{r}}, \quad u_\nu = \frac{1}{\sqrt{V}} e^{i\vec{k}_\nu \vec{r}}$$

Ograniczenie się do zerowego orbitalnego moment pędu

$$u_e = u_\nu = 1/\sqrt{V}$$

Uzasadnienie wyboru $l = 0$: $\vec{k}\vec{r} \leq kR \ll 1$ (na ogół)

↑
promień jądra

Kwadrat elementu macierzowego przejścia dla neutronu

$$|H'_{fi}|^2 = \frac{1}{V^2} G_{\beta F}^2 |M|^2$$

Wg pierwotnej teorii Fermiego jądrowy element macierzowy
(zapis nie uwzględnienia formalizmu izospinowego)

$$|M|^2 = |M_F|^2 = \left| \int u_p^* u_n d\tau \right|^2 = 1$$

Po uwzględnieniu przejść Gamowa-Tellera

$$|M|^2 = \left(|M_F|^2 + R^2 |M_{GT}|^2 \right) = (1 + 3R^2)$$

$$R^2 = G_{\beta GT}^2 / G_{\beta F}^2$$

Widmo β bez uwzględnienia oddz. kulombowskiego
(dla neutronu – slajd 17)

$$W(K) = \frac{1}{2\pi^3 \hbar^7 c^5} G_{\beta F}^2 |M|^2 E p (K_0 - K)^2$$

Widmo β po zmianie jednostek
(energia w jedn. $m_e \cdot c^2$, pęd w jedn. $m_e \cdot c$)
i uwzględnieniu oddz. kulombowskiego:

$$W(K) dK = \frac{m^5 c^4}{2\pi^3 \hbar^7} G_{\beta F}^2 |M|^2 F(E, Z) E p (K_0 - K)^2 dK$$

↑
Funkcja Fermiego
(dla neutronu – slajd 21)

2.7. REGUŁA FERMIEGO (Nr 2)

Np. H.A. Enge i in. Wstęp do fizyki atomowej, PWN, W-wa 1983, str. 222

Szkic rozumowania – z myślą o przemianie beta

Stan początkowy: nuklid podlegający przemianie beta

f. falowa i energia ψ_m, E_m

(rozmycie energii – zasada nieoznaczoności)

Stan końcowy: nuklid końcowy + leptony

funkcja falowa i energia ψ_k, E_k

Układ fizyczny

bez oddziaływania słabego

$$H_0 \psi_n = E_n \psi_n$$

$$i\hbar \frac{\partial \Psi}{\partial t} = H_0 \Psi$$

$$\Psi = \psi_m e^{-i E_m t / \hbar}$$

$$\int \psi_m^* \psi_n d\tau = \delta_{mn}$$

z oddziaływaniem słabym



$$H = H_0 + H'$$

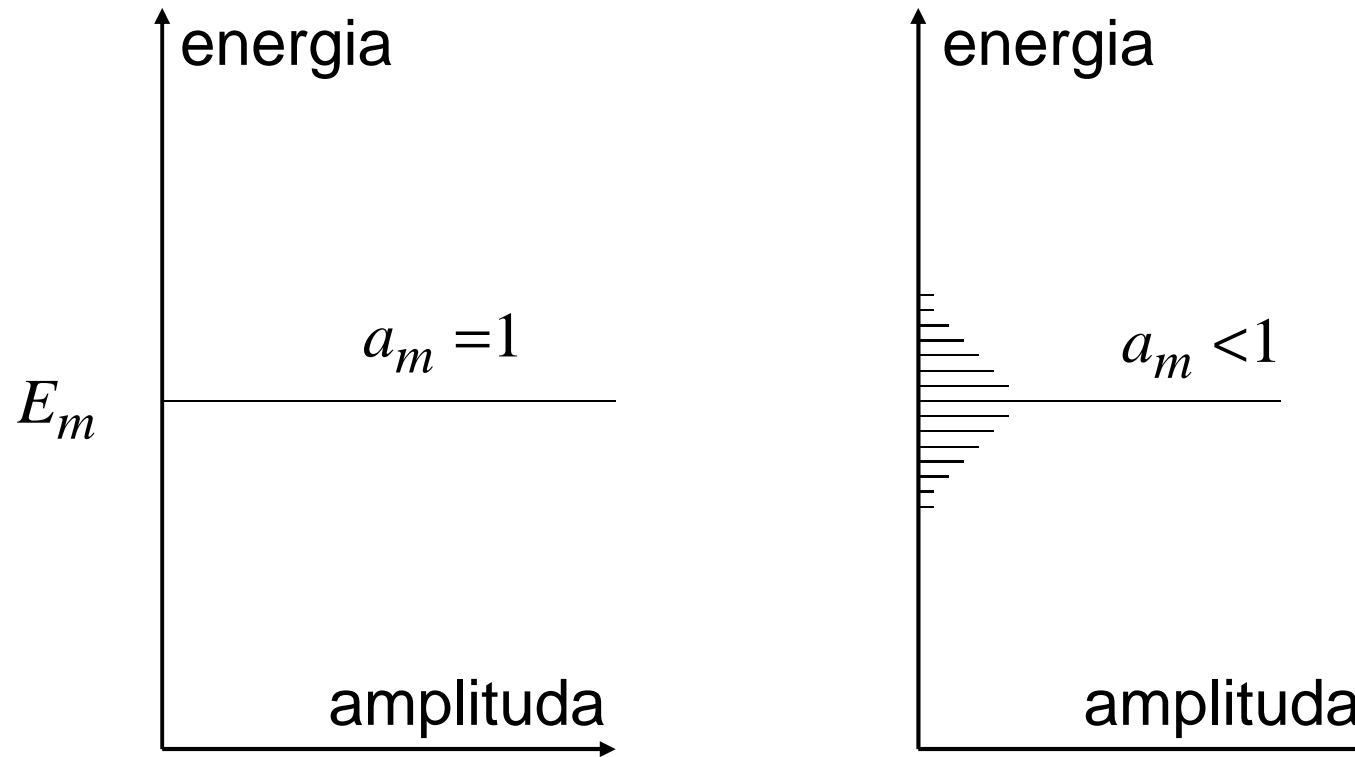
$$i\hbar \frac{\partial \Psi}{\partial t} = H \Psi$$

$$\Psi = \sum_n a_n(t) \psi_n e^{-i E_n t / \hbar}$$

$$\sum_n |a_n|^2 = 1$$

Oddziaływanie słabe H' :

„włączenie” w czasie $t=0$, „wyłączenie” w czasie $t=t_1$



Zmiana rozkładu amplitud prawdopodobieństwa (jakościowo)

Czas $0 \leq t \leq t_1$

$H = H_0 + H'$, H' nie zależy od czasu, hermitowski

Wstawiamy $\Psi = \sum_n a_n(t) \psi_n e^{-iE_n t / \hbar}$ do równania $i \hbar \frac{\partial \Psi}{\partial t} = H \Psi$,

obie strony mnożymy lewostronnie przez $\psi_k^* e^{iE_k t / \hbar}$
i całkujemy:

$$\dot{a}_k(t) = \frac{1}{i\hbar} \sum_n H'_{kn} a_n(t) e^{i\omega_{kn}t},$$

$$H'_{kn} = \int_0^t \psi_k^* H' \psi_n d\tau = H'_{nk}, \quad \omega_{kn} = (E_k - E_n) / \hbar.$$

Pierwszy rząd rachunku zaburzeń (Dirac)

Założenie:

czas t_1 krótki; dla $t \leq t_1$ wstawiamy $a_n(t) \approx a_n(0) = \delta_{mn}$

$$\dot{a}_k(t) = \frac{1}{i\hbar} \sum_n H'_{kn} a_n(t) e^{i\omega_{kn}t} \approx \frac{1}{i\hbar} H'_{km} e^{i\omega_{km}t}$$

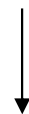
$$a_k(t) = \frac{1}{i\hbar} \int_0^t H'_{km} e^{i\omega_{km}t} dt$$

$$a_k(t) = \frac{H'_{km}}{\hbar} \frac{e^{i\omega_{km}t} - 1}{\omega_{km}} = \frac{H'_{km}}{\hbar} e^{i\omega_{km}t_1/2} \frac{2 \sin \omega_{km}t/2}{\omega_{km}}$$

Stała rozpadu λ = prawdopodobieństwo rozpadu/s

prawdopodob.,
że w czasie t_1
układ w stanie k

gęstość stanów końcowych

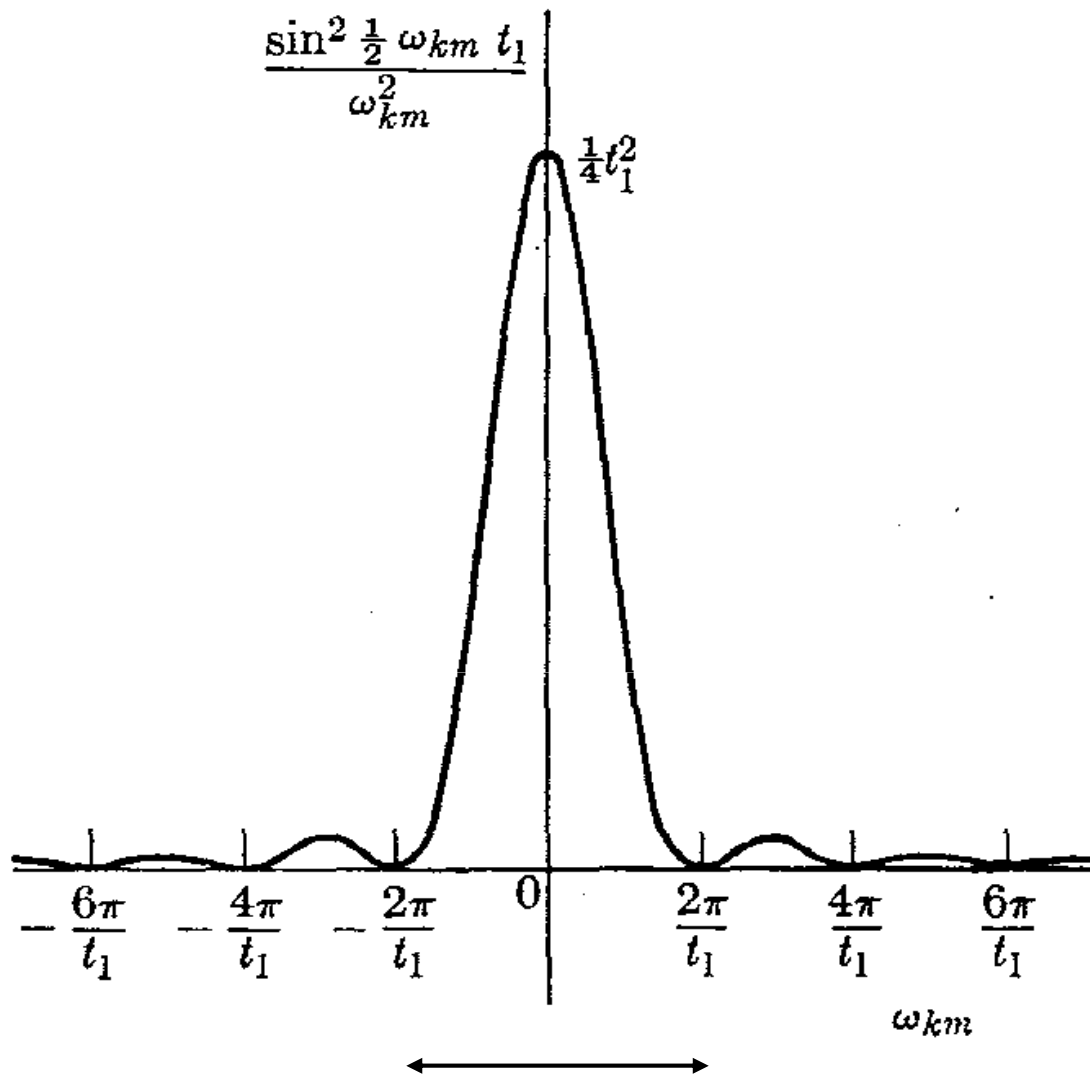


$$\lambda = \frac{1}{t_1} \sum_k |a_k|^2 = \frac{1}{t_1} \int_{-\infty}^{\infty} (|a_k|)^2 \frac{dN}{dE} dE_k$$

$$|a_k|^2 = \frac{|H'_{km}|^2}{\hbar} \frac{4 \sin^2(\omega_{km} t_1 / 2)}{\omega_{km}^2}$$

$$dE_k = \hbar d\omega_{km}$$

$$\lambda = \frac{4}{\hbar t_1} |H'_{km}|^2 \int_{-\infty}^{\infty} \frac{\sin^2(\omega_{km} t_1 / 2)}{\omega_{km}^2} \frac{dN}{dE} d\omega_{km}$$



najważniejszy przyczynek do całki

Przekształcenia

$$x = \omega_{km} t_1 / 2$$
$$-\pi \leq x \leq \pi \quad \Rightarrow \quad \frac{dN}{dE} \approx \text{const.}$$

$$\lambda = \frac{2}{\hbar} \left| H'_{km} \right|^2 \frac{dN}{dE} \underbrace{\int_{-\infty}^{\infty} \frac{\sin^2 x}{x} dx}_{=\pi}$$

Złota reguła Fermiego (Nr 2)

$$\lambda = \frac{2\pi}{\hbar} \left| H'_{km} \right|^2 \frac{dN}{dE}$$

(m – stan początkowy, k – stan końcowy)

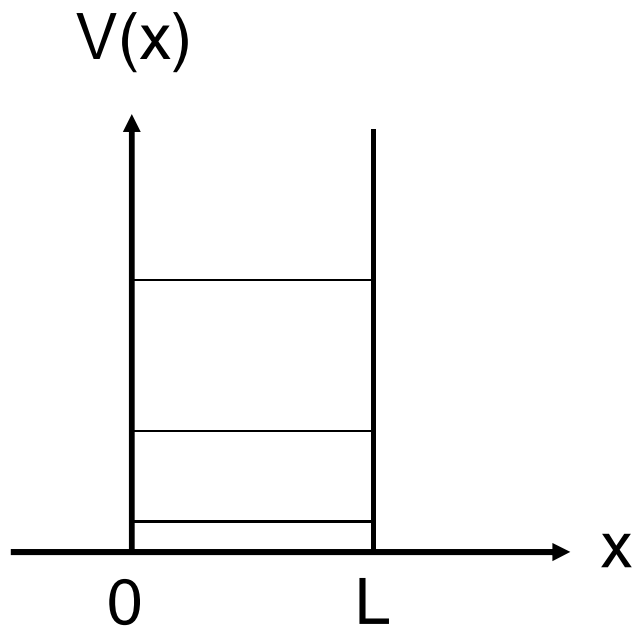
Gęstość stanów – prosty przykład

1 cząstka – jednowymiarowo, nierelatywistycznie

przestrzeń fazowa: x, p

prostokątna studnia potencjału:

$$\begin{cases} 0 < x < L & V(x) = 0 \\ x \leq 0, x \geq L & V(x) = \infty \end{cases}$$



$$\psi_n(x) = A \sin \frac{n \pi x}{L}$$
$$n = 1, 2, 3, 4, ..$$

$$E_n = \frac{\pi^2 \hbar^2}{2mL^2} n^2$$

Gęstość stanów: $\rho(p) = dN/dp$

$$p^2 = 2mE = \frac{\pi^2 \hbar^2}{L^2} n^2 \quad \Rightarrow \quad p = \pm \frac{\pi \hbar}{L} n$$

Dla $p > 0$, liczba stanów: $N = \frac{pL}{2\pi\hbar} = \frac{pL}{h}$.

Zakładamy duże L ; liczba stanów w przedziale $p, p+dp$

$$dN = \rho(p) dp = \frac{L dp}{h}.$$

Uwaga: $dx \cdot dp$ – element objętości w przestrzeni fazowej!

Gęstość stanów: $\rho(E) = dN/dE$

$$dN = \rho(p) dp = \frac{L dp}{h} = \rho(E) dE$$

$$2p dp = 2m dE$$

$$dp / dE = \frac{m}{p} = \sqrt{\frac{m}{2E}}$$

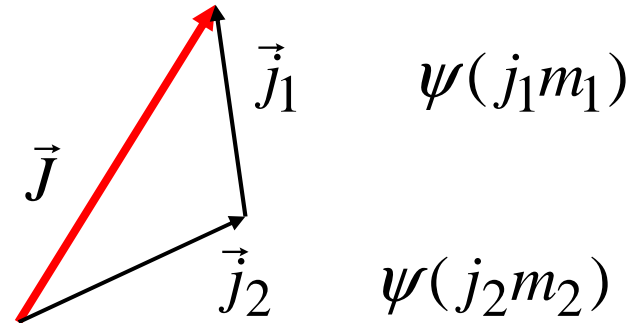
$$\rho(E) = \frac{dN}{dE} = \frac{L}{h} \sqrt{\frac{m}{2E}}$$

2.8. PRZEJŚCIA GAMOWA-TELLERA

- (i) Jednocząstkowe stany nukleonu
- (ii) Funkcje falowe i operatory spinowe
- (iii) Jednocząstkowe wartości $|M_{GT}|^2$
- (iv) Przemiana β jąder zwierciadlanych

(i) Jednocząstkowe stany nukleonu

Przypomnienie:
sprzężenie dwóch
momentów pędu



$$\Psi(j_1 j_2 J M) = \sum_{m_1 m_2} (j_1 m_1 j_2 m_2 | J M) \cdot \psi(j_1 m_1) \cdot \psi(j_2 m_2)$$

współczynniki Clebscha-Gordana (liczby rzeczywiste)

Jeżeli niespełnione są warunki

$$(i) \quad j_1 + j_2 \geq J \geq |j_1 - j_2|, \quad (ii) \quad M = m_1 + m_2$$

$$\text{to } (j_1 m_1 j_2 m_2 | J M) \equiv 0$$

2. Rozpad neutronu (JŻ 2015)

Stan nukleonu w modelu powłokowym (z podręcznika)

$$n, l, j, m$$

$$\vec{j} = \vec{l} + \vec{s}, \quad j = l \pm 1/2, \quad m = m_l + m_s = -j, -j+1, \dots, j$$

funkcja falowa (bez części izospinowej)

$$\psi(n, l, j, m) = \sum_{m_s m_l} \left(\frac{1}{2} m_s l m_l \mid jm \right) \cdot \varphi(n, l, m_l) \cdot \chi(m_s)$$

operatory momentu pędu

$$\begin{cases} \vec{j}^2 \psi(n, l, j, m) = j(j+1) \psi(n, l, j, m) \\ j_z \psi = m \psi \\ (j_x \pm i j_y) \psi = \sqrt{j(j+1) - m(m \pm 1)} \psi \end{cases}$$

(ii) Funkcje falowe i operatory spinowe

$$\chi(m_s = +1/2) = \begin{pmatrix} 1 \\ 0 \end{pmatrix}, \quad \chi(m_s = -1/2) = \begin{pmatrix} 0 \\ 1 \end{pmatrix}$$

$$s_x = \frac{1}{2} \sigma_x, \quad s_y = \frac{1}{2} \sigma_y, \quad s_z = \frac{1}{2} \sigma_z.$$

Macierze Pauliego

$$\sigma_x = \begin{pmatrix} 0 & 1 \\ 1 & 0 \end{pmatrix}, \quad \sigma_y = \begin{pmatrix} 0 & -i \\ i & 0 \end{pmatrix}, \quad \sigma_z = \begin{pmatrix} 1 & 0 \\ 0 & -1 \end{pmatrix}.$$

Operatory σ_κ , gdzie $\kappa = "+", "0", "-"$

$$\sigma_+ = \frac{1}{\sqrt{2}} (\sigma_x + i \cdot \sigma_y) = \sqrt{2} \begin{pmatrix} 0 & 1 \\ 0 & 0 \end{pmatrix},$$

$$\sigma_0 = \sigma_z = \begin{pmatrix} 1 & 0 \\ 0 & -1 \end{pmatrix},$$

$$\sigma_- = \frac{1}{\sqrt{2}} (\sigma_x - i \cdot \sigma_y) = \sqrt{2} \begin{pmatrix} 0 & 0 \\ 1 & 0 \end{pmatrix}.$$

$$\sigma_x = \frac{1}{\sqrt{2}} (\sigma_+ + \sigma_-), \quad \sigma_y = \frac{1}{i\sqrt{2}} (\sigma_+ - \sigma_-), \quad \sigma_z = \sigma_0.$$

Przykłady działania operatorów

$$\sigma_+ \chi(m_s = -1/2) = \sqrt{2} \begin{pmatrix} 0 & 1 \\ 0 & 0 \end{pmatrix} \begin{pmatrix} 0 \\ 1 \end{pmatrix} = \sqrt{2} \begin{pmatrix} 1 \\ 0 \end{pmatrix} = \sqrt{2} \chi(m_s = +1/2),$$

$$\sigma_+ \chi(m_s = +1/2) = \sqrt{2} \begin{pmatrix} 0 & 1 \\ 0 & 0 \end{pmatrix} \begin{pmatrix} 1 \\ 0 \end{pmatrix} = 0,$$

$$\sigma_0 \chi(m_s) = 2m_s \chi(m_s)$$

$$\sigma_- \chi(m_s = +1/2) = \sqrt{2} \chi(m_s = -1/2),$$

$$\sigma_- \chi(m_s = -1/2) = 0.$$

Jednocząstkowy stan początkowy

$$\begin{aligned}\psi_i &= \psi_i(n'l'j'm) \\ &= \sum_{m_s'm_l'} \left(\frac{1}{2} m_s' l' m_l' | j' m' \right) \varphi_i(n'l'm_l') \chi(m_s')\end{aligned}$$

Jednocząstkowy stan końcowy

$$\begin{aligned}\psi_f &= \psi_f(n''l''j''m'') \\ &= \sum_{m_s''m_l''} \left(\frac{1}{2} m_s'' l'' m_l'' | j'' m'' \right) \varphi_f(n''l''m_l'') \chi(m_s'')\end{aligned}$$

Element macierzowy operatora

$$\begin{aligned}\langle \sigma_K \rangle &= \langle \psi_i | \sigma_K | \psi_f \rangle = \int \psi_f^* \sigma_K \psi_i d\tau \\ &= \sum_{\substack{m_s' m_l' \\ m_s'' m_l''}} \left(\frac{1}{2} m_s'' l'' m_l'' | j'' m'' \right) \left(\frac{1}{2} m_s' l' m_l' | j' m' \right) \\ &\quad \times \langle m_s'' | \sigma_K | m_s' \rangle \\ &\quad \times \underbrace{\int \varphi_f^* (n'' l'' m_l'') \varphi_i (n' l' m_l') d\tau}_{\delta_{n'n''} \cdot \delta_{l'l''} \cdot \delta_{m_l'm_l''}}\end{aligned}$$

Reguły wyboru

$$n' = n'' (= n), \quad l' = l'' (= l), \quad m_l' = m_l'' (= m_l)$$

(iii) Jednocząstkowe wartości $|M_{GT}|^2$

$$\begin{aligned} |M_{GT}^{sp}|^2 &= |\langle \vec{\sigma} \rangle|^2 = \sum_{m''} \left\{ |\langle \sigma_x \rangle|^2 + |\langle \sigma_y \rangle|^2 + |\langle \sigma_z \rangle|^2 \right\} \\ &= \sum_{m''} \left\{ |\langle \sigma_+ \rangle|^2 + |\langle \sigma_0 \rangle|^2 + |\langle \sigma_- \rangle|^2 \right\} \end{aligned}$$

Reguły wyboru

zmiana momentu pędu

zmiana parzystości f. falowej

$$j = l \pm 1/2$$



$$\Delta j = 0, \pm 1$$

"nie"

Przykład obliczenia kwadratu elementu macierzowego

$$j'' = j' = l + 1/2, \quad m_s' = 1/2, \quad \langle \sigma_+ \rangle^2 = 0$$

(wynik nie zależy od wyboru m_s')

$$\boxed{\left| M_{GT}^{sp} \right|^2 = \langle \vec{\sigma} \rangle^2 = \sum_{m''} \left\{ \langle \sigma_0 \rangle^2 + \langle \sigma_- \rangle^2 \right\} = 1 + \frac{2}{2l+1} = \frac{2l+3}{2l+1}}$$

$$\sigma_0 \chi(m_s') = 2m_s' \chi(m_s') = \chi(m_s')$$

$$\langle m_s'' | \sigma_0 | m_s' \rangle = \chi^*(m_s'') \cdot \chi(m_s') = \delta_{m_s' m_s''}$$

$$\langle \sigma_0 \rangle = \left(\frac{1}{2} \frac{1}{2} l l \mid j j \right)^2 = 1$$

$$\langle \sigma_- \rangle = \left(\frac{1}{2} - \frac{1}{2} l l \mid j j-1 \right) \cdot \left(\frac{1}{2} \frac{1}{2} l l \mid j j \right) \cdot \sqrt{2} =$$

$$= \sqrt{\frac{1}{2l+1}} \sqrt{\frac{2l+1}{2l+1}} \sqrt{2} = \sqrt{\frac{2}{2l+1}}$$

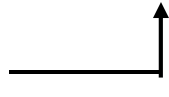
Zestawienie wzorów dla wartości $|M_{GT}^{sp}|^2$

mom. pędu \rightarrow \downarrow	$j_i = l + 1/2$	$j_i = l - 1/2$
$j_f = l + 1/2$	$\frac{2l + 3}{2l + 1}$	$\frac{4(l + 1)}{2l + 1}$
$j_f = l - 1/2$	$\frac{4l}{2l + 1}$	$\frac{2l - 1}{2l + 1}$

(iv) Przemiana β jąder zwierciadlanych

def. $Z' = N' \pm 1, \quad Z'' = N'' \mp 1, \quad Z' + N' = Z'' + N''$

Przemiana	l	$ M_{GT}^{sp} ^2$	$ M_F ^2$
${}^1_1H_0 \leftarrow {}^1_0n_1 \quad s_{1/2} \leftarrow s_{1/2}$	0	3	1
${}^{17}_9F_8 \rightarrow {}^{17}_8O_9 \quad d_{5/2} \rightarrow d_{5/2}$	2	7/5	1
${}^{41}_{21}Sc_{20} \rightarrow {}^{41}_{20}Ca_{21} \quad f_{7/2} \rightarrow f_{7/2}$	3	9/7	1

(Wykład 4) $T = |T_z| = 1/2$ 

2. Rozpad neutronu (JŻ 2015)

Przemiana beta ^{41}Sc

$$T_{1/2} = 0.5693(17) \text{ s}$$

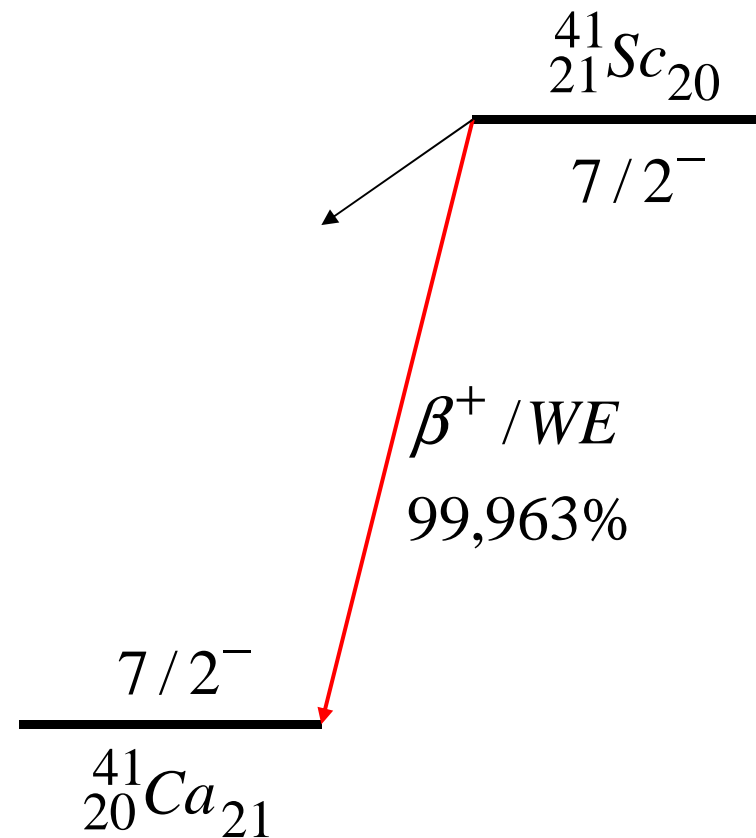
$$t = T_{1/2} / 0.99963 \\ = 0.5695(17) \text{ s}$$

$$Q_{WE} = 6.495(6) \text{ MeV}$$

$$f \approx f_{\beta^+} = 4736$$

$$ft = 2697 \text{ s}$$

$$\log ft = 3.45$$



„Doświadczalna” wartość $|M_{GT}|^2$

$$ft = \frac{D}{G_{\beta F}^2 (|M_F|^2 + R |M_{GT}^{\text{exp}}|^2)} = \frac{6144 \text{ s}}{1 + 1.6215 |M_{GT}^{\text{exp}}|^2}$$
$$\Rightarrow |M_{GT}^{\text{exp}}|^2 = 0.79$$

↑
Wykład 4, slajd 38

Czynnik utrudnienia przejścia GT (*hindrance factor*)

$$|M_{GT}^{\text{exp}}|^2 / |M_{GT}^{\text{sp}}|^2 \approx 0.61$$

↑

9/7

Wykład 3

STAŁE SPRZĘŻENIA, MACIERZ CKM, PLANY DALSZYCH BADAŃ

- 3.1. Cząstki elementarne o spinie $\frac{1}{2}$
- 3.2. Rozpad mionu i stała G_F
- 3.3. Związek między $G_{\beta F}$ z rozpadu neutronu i G_F
- 3.4. Macierz Cabibbo-Kobayashi-Maskawy
- 3.5. Wyniki badania unitarności macierzy CKM
- 3.6. Potrzeba dalszych badań
- 3.7. Spallacyjne źródła neutronów
- 3.8. „Precise Measurement of $R = G_A/G_V \dots$ ”

projekt eksperymentu w Oak Ridge (Uwaga: $G_{\beta GT} = G_A$, $G_{\beta F} = G_V$)

3.1. CZĄSTKI ELEMENTARNE O SPINIE $\frac{1}{2}$

Leptony

Rodzina		m (MeV/c ²)	τ (s)
1	ν_e	$< 2 \times 10^{-6}$	∞
	e^-	0.511	∞
2	ν_μ	< 0.19	∞
	μ^-	105.7	2.2×10^{-6}
3	ν_τ	< 18	∞
	τ^-	1777	2.9×10^{-13}

(+ antycząstki)

Cząstki element. o spinie $\frac{1}{2}$ – kwarki

zapach $\left\{ \begin{array}{ccc} u & c & t \\ d & s & b \end{array} \right. \left. \begin{array}{l} +2/3 \\ -1/3 \end{array} \right\}$ ładunek

(+ antykwarki)

Skład kwarkowy nukleonów

$p (uud)$

$n (udd)$

3.2. ROZPAD MIONU I STAŁA G_F

Particle Data Group 2013

Powstawanie mionów ujemnych

$$\pi^- \rightarrow \mu^- + \bar{\nu}_\mu \quad \text{ca } 100\%$$

Rozpad („czysto” leptonowy!) mionu

$$\mu^- \rightarrow e^- + \bar{\nu}_e + \nu_\mu \quad \text{ca } 100\%$$

Masa i czas życia
mionu

$$\left\{ \begin{array}{l} m = 105.6583715(35) \text{ MeV} / c^2 \\ \tau_\mu = 2.1969811(22) \times 10^{-6} \text{ s} \end{array} \right.$$

Od średniego czasu życia mionu do stałej sprzężenia G_F

$$\frac{G_F^2}{(\hbar c)^6} = \frac{\hbar}{\tau_\mu} \cdot \frac{192\pi^3}{(m_\mu c^2)^5 \cdot (1 + \varepsilon)}$$

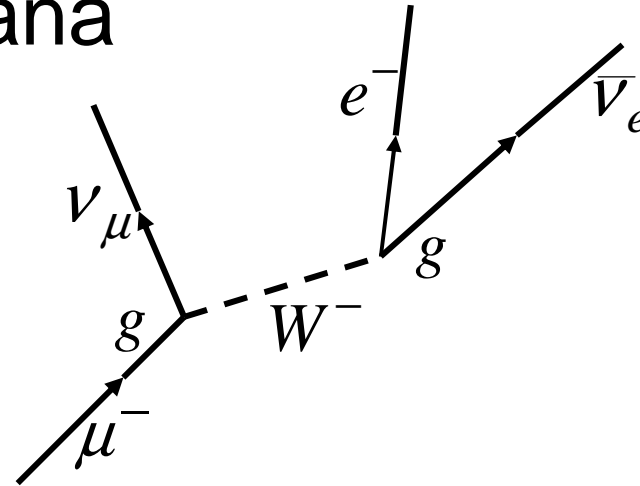
poprawka radiacyjna + uwzględnienie $m_e \neq 0$

W.J.Marciano, Ann. Rev. Nucl. Part. Sci. 41(1991)469

$$G_F = 1.4358504(7) \times 10^{-62} \text{ J m}^3$$

$$G_{GT} = G_F \quad (\text{inaczej niż dla neutronu!})$$

Diagram Feynmana



Związek między stałymi g i G_F

$$G_F = \frac{1}{4\sqrt{2}} \frac{g^2}{M_W^2} \left(\frac{\hbar}{c} \right)^2$$

R.J. Blin-Stoyle, Nuclear and Particle Physics,
Chapman & Hall, London 1991, p. 182

3.3. ZWIĄZEK MIĘDZY $G_{\beta F}$ Z ROZPADU NEUTRONU I G_F Z ROZPADU MIONU

Z doświadczalnych badań rozpadu neutronu

(pomiar $T_{1/2}$ i **jeden** eksperyment korelacyjny – Wykład 2)

$$G_{\beta F} = (1.4114 \pm 0.0012) \cdot 10^{-62} \text{ J m}^3$$

stąd stosunek stałych sprzężenia

$$G_{\beta F}/G_F = 0.9829 \pm 0.0008$$

Teoretyczna zależność stałych sprzężenia

I.S. Towner & J. Hardy, Phys. Rev. C66 (2002) 35501

$$G_{\beta F}^2 / G_{\mu F}^2 = |V_{ud}|^2 (1 + \Delta_R^V)$$

poprawka radiacyjna: $1 + \Delta_R^V = 1.0240 \pm 0.0008$

Z doświadczenia (slajd 7):

$$|V_{ud}|^2 (1 + \Delta_R^V) = 0.9829 \pm 0.0008$$

⇓

$$|V_{ud}|^2 = 0.9435 \pm 0.0017 \Rightarrow |V_{ud}| = 0.9713 \pm 0.0009$$

Interpretacja

Przemiana β^-

- na poziomie nukleonów $n \rightarrow p + e^- + \bar{\nu}_e$
- na poziomie kwarków $d \rightarrow u + e^- + \bar{\nu}_e$

Zakładamy zmieszanie stanów kwarkowych o $Q = -1/3$, np

$$|d\rangle \Rightarrow |d'\rangle = V_{ud}|d\rangle + V_{us}|s\rangle + V_{ub}|b\rangle$$
$$|V_{ud}|^2 + |V_{us}|^2 + |V_{ub}|^2 = 1$$

3.4. MACIERZ CABIBBO-KOBAYASHI-MASKAWY

Mieszanie się kwarków o ładunku $Q = -1/3$

$$\begin{pmatrix} d' \\ s' \\ b' \end{pmatrix} = \begin{pmatrix} V_{ud} & V_{us} & V_{ub} \\ V_{cd} & V_{cs} & V_{cb} \\ V_{td} & V_{ts} & V_{tb} \end{pmatrix} \times \begin{pmatrix} d \\ s \\ b \end{pmatrix}$$

Model Standardowy: unitarność macierzy CKM

w szczególności

$$|V_{ud}|^2 + |V_{us}|^2 + |V_{ub}|^2 = 1$$

(suma mniejsza od 1 mogłaby oznaczać istnienie 4-tej rodziny kwarków)

Zadaniem fizyki jądrowej dokładne wyznaczenie $|V_{ud}|^2$.

Test unitarności macierzy *CKM* (1-szy wiersz)

N. Severijns et al., Rev. Mod. Phys. 78 (2006) 991

z rozpadu mezonów *K* i in. $|V_{us}| = 0.2254 \pm 0.0021$

z rozpadu mezonów *B* $|V_{ub}| = (3.6 \pm 0.7) \times 10^{-3}$

Pomiar $T_{1/2}$ i eksper. korelacyjny Abele et al. (Wykład 2)

z rozpadu neutronu $|V_{ud}| = 0.9713 \pm 0.0009$

$$|V_{ud}|^2 + |V_{us}|^2 + |V_{ub}|^2 = 0.9943 \pm 0.0023$$

Uzupełnienie: kąt Cabibbo θ_C

przy zaniedbaniu roli kwarku b :
macierz $3 \times 3 \rightarrow$ macierz 2×2

$$\begin{pmatrix} d' \\ s' \end{pmatrix} = \begin{pmatrix} \cos \theta_C & \sin \theta_C \\ -\sin \theta_C & \cos \theta_C \end{pmatrix} \cdot \begin{pmatrix} d \\ s \end{pmatrix}$$

\Downarrow

$$\begin{cases} |d'\rangle = \cos \theta_C |d\rangle + \sin \theta_C |s\rangle \\ |s'\rangle = -\sin \theta_C |d\rangle + \cos \theta_C |s\rangle \end{cases}$$

$$\cos \theta_C = |V_{ud}| = 0.971 \quad \Rightarrow \quad \theta_C \approx 0.24 \text{ rad}$$

3.5. ZESTAWIENIE WYNIKÓW BADANIA UNITARNOŚCI MACIERZY *CKM*

$ V_{ud} ^2 + V_{us} ^2 + V_{ub} ^2$	wyznaczenie V_{ud}
$1.0000 \pm 0.0026^*)$	rozpad neutronu
$0.9999 \pm 0.0006^{**})$	przejścia $0^+ \rightarrow 0^+$

*) Dubbers & Schmidt, Rev. Mod. Phys. 81(2011) 1111

- $\tau_n = 881.9 \pm 1.3$ s (średnia uwzględnia wynik Serebrowa i in.)
- uwzględnione wyniki kilku eksperymentów korelacyjnych

***) Towner & Hardy, Rep. Progr. Phys. 73(2010) 46301

Ceccucci et al., in Particle Data Group Review,
{Nakamura et al., J. Phys. G37 (2010) 75021}

2-gi wiersz macierzy CKM

$$|V_{cd}|^2 + |V_{cs}|^2 + |V_{cb}|^2 = 1.101 \pm 0.074$$

1-sza kolumna macierzy CKM

$$|V_{ud}|^2 + |V_{cd}|^2 + |V_{td}|^2 = 1.002 \pm 0.005$$

2-ga kolumna macierzy CKM

$$|V_{us}|^2 + |V_{cs}|^2 + |V_{ts}|^2 = 1.098 \pm 0.074$$

3.6. POTRZEBA DALSZYCH BADAŃ

- Wyniki badania superdozwolonych przejść $0^+ \rightarrow 0^+$ zależą od właściwego opisu struktury badanych jąder, a ten opis w pracach Townera i Hardego budzi pewne wątpliwości (\rightarrow Wykład 4)
- Uzyskanie dokładniejszych wyników z badania rozpadu **neutronu** wiąże się z dużymi trudnościami technicznymi, ale pokonanie tych trudności opłacalne, bo wartości $|M_F|^2$ i $|M_{GT}|^2$ znane dokładnie.

Ogólne wyrażenie dla prawdopodobieństwa rozpadu β neutronu

z uwzględnieniem różnych korelacji kątowych
(jednak bez identyfikacji spinu e^-)

$$dW \propto (1 + 3R^2) F(E_e, Z) p_e E_e (E_0 - E_e)^2 dE_e d\Omega_e d\Omega_\nu$$

$$\times \left[1 + a \frac{\vec{p}_e c \cdot \vec{p}_\nu c}{E_e E_\nu} + b \frac{m_e}{E_e} + \langle \vec{\sigma}_n \rangle \left(A \frac{\vec{p}_e c}{E_e} + B \frac{\vec{p}_\nu c}{E_\nu} \right) \right]$$

p-kt 3.8: korelacja $e^- - \bar{\nu}_e$

(uwaga: $p \cdot c / E = v / c$)

Wykład 2, p-kt 2.5

człon Fiertza (modyfikuje kształt widma) – wyjście poza Model Stand.

Współczynniki korelacji

$$a = \frac{1 - R^2}{1 + 3R^2} \quad \text{elektron – antyneutrino}$$

$$A = -2 \frac{R(R+1)}{1 + 3R^2} \quad \text{spin neutr. – elektron (p-kt 2.5)}$$

$$B = 2 \frac{R(R-1)}{1 + 3R^2} \quad \text{spin neutronu – antyneutrino}$$

$$R = G_{\beta GT} / G_{\beta F} \quad (= G_A / G_V)$$

Porównanie dróg wyznaczenia R

przykłady dotychczasowych wyników

H. Abele, Progr. In Particle and Nuclear Physics 60(2008)1

$$a = -0.1054(55) \Rightarrow |R| = 1.271(17) \quad \text{Byrne et al. (2002)}$$

$$A = -0.1189(7) \Rightarrow R = -1.2739(19) \quad \text{Abele et al. (2002)}$$

$$B = 0.9821(40) \Rightarrow R = -1.338(50) \quad \text{wartość średnia}$$

Czułość wyznaczania wartości λ
poprzez a i A – porównywalna,
znacznie lepsza niż z wartości B

$$\frac{\partial a}{\partial R} / a \approx \frac{\partial A}{\partial R} / A \gg \frac{\partial B}{\partial R} / B$$

3.7. SPALLACYJNE ŹRÓDŁA NEUTRONÓW

Zalety: impulsowy charakter wiązek neutronów o dużym natężeniu

Źródła takie istnieją m. in. w:

- (i) Los Alamos Neutron Science Center
- (ii) Oak Ridge National Lab. (**SNS** – **S**pallation **N**eutron **S**ource)
- (iii) J-PARC (Japanese Spallation Neutron Source)
- (iv) Harwell (the Rutherford Appleton Lab.)

i planowane są w:

- (i) Lund (European Spallation Source)
- (ii) Dongguan (China Spallation Neutron Source)

SNS – spallacyjne źródło neutronów w ORNL

N. Fomin et al., Nucl. Instr. and Methods in Physics Research A773 (2015) 45

- Przyspieszanie jonów H^- do energii ca 1 GeV
(impulsy $1 \mu\text{s}$; częstość 60 Hz , średnia moc 1.4 MW)
- Kierowanie wiązki p na target Hg
(rtęć przepływająca w obiegu zamkniętym – intensywnie chłodzona)
- Spowalnianie neutronów
(wodór w temp. 20 K i – oddzielnie – woda)
- Kierowanie zimnych neutronów do stanowisk pomiarowych, m.in. do
 - (i) układu dla poszukiwania EDM neutronu
 - (ii) spektrometru Nab

3.8. PRECISE MEASUREMENT OF $R = G_A/G_V$ and search for Non-(V-A) Weak Interaction Terms in Neutron Decay

Funding proposal for the neutron decay spectrometer *Nab* at *SNS*
Oak Ridge National Laboratory

R. Alarcon,...., *R.K. Grzywacz*,...., *K.P. Rykaczewski*... – the *Nab* collab.

(*N* – neutron, *a* – współcz. korelacji, *b* – współcz. członu Fiertza, slajd 16)

Budowa aparatury do:

- (i) pomiaru korelacji elektron-antyneutrino i wyznaczenia *a* z dokł. 10^{-3}
- (ii) poszukiwanie członu Fierza $b \cdot m_e / E_e$ (patrz również: Wykład 5)

Uwaga: w Modelu Stand. $G_{\beta F} = G_V$ i $G_{\beta GT} = G_A$ (Wykład 5)

Rozkład kątowy antyneutrin w stosunku do kierunku emisji elektronu

$$dW \propto 1 + \frac{v_e}{c} a \cos \theta$$

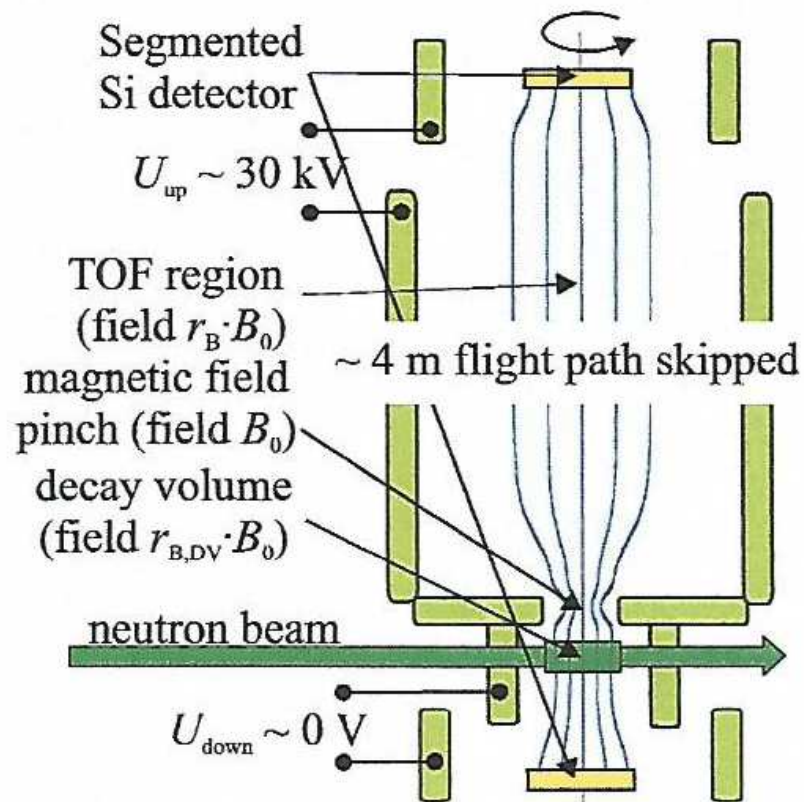
(v_e - prędkość elektronu)

Mierzone korelacje e^- – proton odrzutu,

wykorzystana zależność $\vec{p}_\nu = -(\vec{p}_e + \vec{p}_p)$

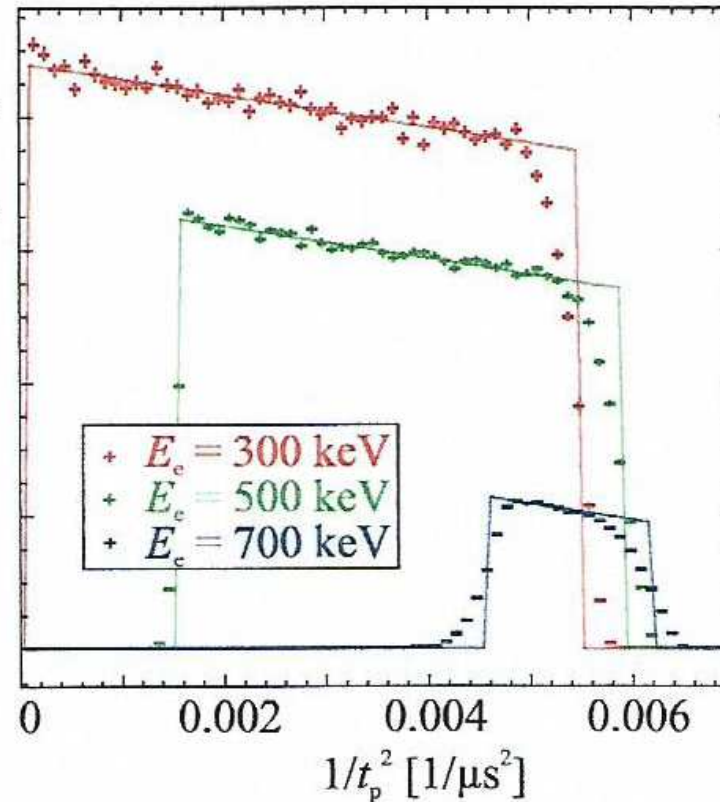
Zamiar zwiększenia dokładności a do 10^{-3}

Szkic spektrometru Nab (bez zachowania proporcji)



- Linie pola magnet. (niebieskie) i cewki (nie pokazane) – symetria osiowa.
- Elektrony rejestrowane w obu detektorach (dla uzyskania pełnej energii – sumowanie impulsów dla uwzględnienia odbić).
- Protony (po przyspieszeniu) rejestrowane w detektorze dalszym

Symulowana liczba zliczeń dla 3 energii elektronów
w funkcji $1/t_p^2$,
gdzie t_p – czas przelotu protonu (w μs)



Współczynnik a można otrzymać z tych rozkładów
(E_e oznacza tu energię kinetyczną)

Maksymalna energia protonów odrzutu i czas przelotu na drodze 4 m

Szczególny przypadek graniczny: $p_e = 0, \quad \vec{p}_p = -\vec{p}_v$

Energia kinetyczna protonu:

$$K_p = \frac{p_p^2}{2m_p} = \frac{(p_v c)^2}{2m_p c^2} \approx \frac{(782)^2}{938272} \text{ keV} = 0.236 \text{ keV}$$

stąd $K_p = 5.223 \times 10^{-17} \text{ J}$

$$v_p = \sqrt{2K_p / m_p} = 2.5 \times 10^5 \text{ m/s}$$

$$t_p = 16 \text{ } \mu\text{s} \Rightarrow 1/t_p^2 = 0.0039 \text{ (1/}\mu\text{s}^2)$$

Wykład 4

PRZEJŚCIA FERMIEGO $0^+ \rightarrow 0^+$ I MACIERZ *CKM*

4.1. Izospin nukleonu i izospin jądra

4.2. Elementy macierzowe przejść Fermiego

4.3. Stany analogowe (*IAS*)

4.4. Izotopy *Ga* – przejścia $0^+ \rightarrow 0^+$

4.5. Superdozwolone przejścia $0^+ \rightarrow 0^+$ i macierz *CKM*

4.6. Potrzeba dalszych badań rozpadu neutronu

Uzupełnienie:

4.7. Izospin układu dwóch nukleonów

4.1. IZOSPIN NUKLEONU I IZOSPIN JĄDRA

U podstaw wprowadzenia izospinu m.in.

- (i) $m_p \approx m_n$
- (ii) Oddziaływania pp , nn i np jednakowe
(po uwzględnieniu różnic wynikających z oddziaływania kulombowskiego i zasady Pauliego).

Przyjmujemy: proton i neutron – 2 stany nukleonu.

Analogia do momentu pędu

(i) Operator izospinu nukleonu $\hat{t} = (1/2) \hat{\tau}$

analogia do operatora spinu $\hat{s} = (1/2) \hat{\sigma}$

(ii) Liczba kwantowa izospinu $t = 1/2$

(iii) Rzut na oś 3 w przestrzeni izospinu

dla neutronu $t_3 = +1/2$

dla protonu $t_3 = -1/2$

(w fizyce cząstek elementarnych znaki przeciwne!)

Funkcje falowe nukleonu

$$|n\rangle = u_n(\vec{r}, \sigma_z) \begin{pmatrix} 1 \\ 0 \end{pmatrix} \quad |p\rangle = u_p(\vec{r}, \sigma_z) \begin{pmatrix} 0 \\ 1 \end{pmatrix}$$


w modelu powłokowym liczby kwantowe n, l, j, m

Macierze Pauliego i operatory składowych izospinu

$$\hat{\tau}_1 = \begin{pmatrix} 0 & 1 \\ 1 & 0 \end{pmatrix} \quad \hat{\tau}_2 = \begin{pmatrix} 0 & -i \\ i & 0 \end{pmatrix} \quad \hat{\tau}_3 = \begin{pmatrix} 1 & 0 \\ 0 & -1 \end{pmatrix}$$

$$\hat{t}_1 = (1/2) \hat{\tau}_1 \quad \hat{t}_2 = (1/2) \hat{\tau}_2 \quad \hat{t}_3 = (1/2) \hat{\tau}_3$$

Wartości własne operatora \hat{t}_3

działanie na stan neutronowy

$$\hat{t}_3 |n\rangle = u(\vec{r}, \sigma_z) \hat{t}_3 \begin{pmatrix} 1 \\ 0 \end{pmatrix} = (+1/2) |n\rangle$$

działanie na stan protonowy

$$\hat{t}_3 |p\rangle = u(\vec{r}, \sigma_z) \hat{t}_3 \begin{pmatrix} 0 \\ 1 \end{pmatrix} = (-1/2) |p\rangle$$

Izospin jądra – układu A nukleonów

operator izospinu $\hat{T} = \sum_{k=1}^A \hat{t}(k)$

liczba kwantowa T

trzecia składowa $T_3 = \sum_{k=1}^A t_3(k) = \frac{N - Z}{2} \leq T$

Ład. jądra (jedn. e) $Q = Z = \frac{A}{2} - T_3$

Formalizm rozszerza się na inne hadrony.

Dwa przykłady izospinu układów złożonych

Izobary $A=2$ → Uzupełnienie (p-kt 4.7)

Stan podstawowy **deuteronu**: tryplet spinowy, singlet izospinowy:

$$J=S=1, \quad T=0, \quad T_3=(N-Z)/2=0$$

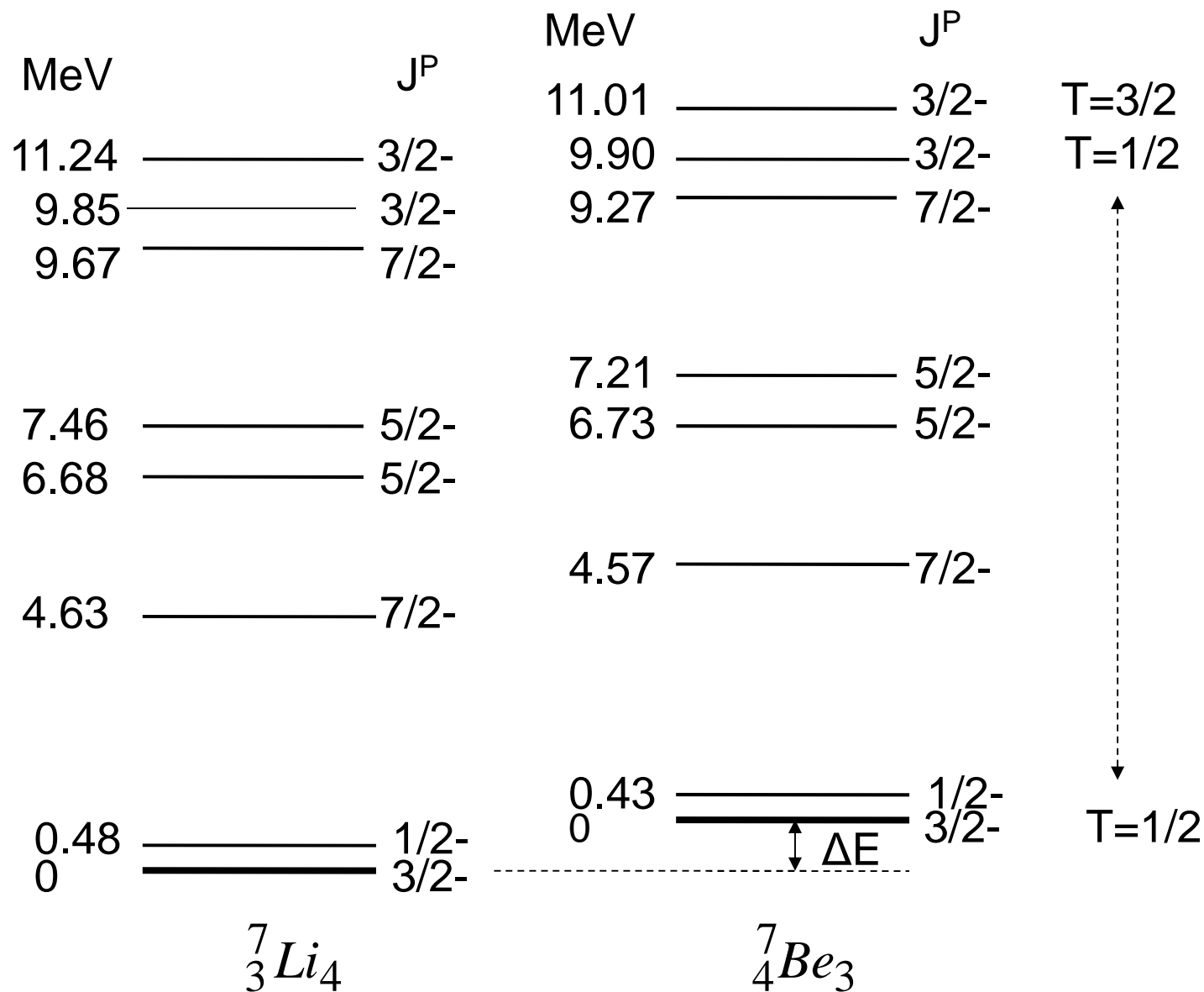
Singlet spinowy, tryplet izospinowy układu 2 nukleonów

$$J=S=0, \quad T=1 \quad \text{oraz} \quad T_3 = -1; \quad 0; \quad +1 \quad \text{dla} \quad pp; \quad np; \quad nn$$

↑
stan rezonansowy **deuteronu**

Izobary $A=7$ → slajdy 8 i 9

Stany kwantowe izobarów $A=7$



4. Przejścia $0 \rightarrow 0$ (JŻ 2015)

Dublet izospinowy jąder zwierciadlanych ($2T+1=2$)

	${}^7_3\text{Li}_4$	${}^7_4\text{Be}_3$
	$Z, N = Z + 1$	$Z' = N, N' = Z$
J^P	$3/2^+$	$3/3^+$
T_3	$+1/2$	$-1/2$
	$\underbrace{\hspace{10em}}$ $T=1/2$	
	\uparrow stany podstawowe	

Komentarze:

(i) Izospin stanu podstawowego na ogół: $T = |T_3| = |(N-Z)/2|$

(wyjątek: niektóre stany podstawowe jąder parzysto-parzystych o $N=Z$ mają $T=1$ – przykład ${}^{62}\text{Ga}$)

(ii) Stany ${}^7\text{Be}$ stanami analogowymi odpowiednich stanów ${}^7\text{Li}$.

4.2. ELEMENTY MACIERZOWE PRZEJŚĆ F

Operatory izospinowe i przemiana beta

definicja $\hat{t}_{\pm} \equiv \hat{t}_1 \pm i \hat{t}_2$

Przemiana β^+ i wychwytywanie elektronu

$$\hat{t}_+ = \frac{1}{2} \begin{pmatrix} 0 & 1 \\ 1 & 0 \end{pmatrix} + \frac{1}{2} i \begin{pmatrix} 0 & -i \\ i & 0 \end{pmatrix} = \begin{pmatrix} 0 & 1 \\ 0 & 0 \end{pmatrix}$$

$$\hat{t}_+ |p\rangle = |n\rangle \qquad \hat{t}_+ |n\rangle = 0$$

Przemiana β^-

$$\hat{t}_- = \frac{1}{2} \begin{pmatrix} 0 & 1 \\ 1 & 0 \end{pmatrix} - \frac{1}{2} i \begin{pmatrix} 0 & -i \\ i & 0 \end{pmatrix} = \begin{pmatrix} 0 & 0 \\ 1 & 0 \end{pmatrix}$$

$$\hat{t}_- |p\rangle = 0 \qquad \hat{t}_- |n\rangle = |p\rangle$$

Dla neutronu element macierzowy Fermiego

$$M_F = \langle f | \hat{t}_- | i \rangle = \langle p | \hat{t}_- | n \rangle = \langle p | p \rangle = 1$$

Ogólna postać elementu macierzowego M_F

Operator przejścia β^\pm dla jądra o liczbie masowej A

$$\hat{T}_\pm = \hat{T}_1 \pm i \hat{T}_2 = \sum_{k=1}^A \hat{t}_\pm(k)$$

Kwadrat elementu macierzowego

$$\begin{aligned} |M_F|^2 &= \left| \langle \alpha' T' T_3' | \hat{T}_\pm | \alpha T T_3 \rangle \right|^2 \\ &= (T \mp T_3)(T \pm T_3 + 1) \delta_{\alpha\alpha'} \delta_{TT'} \end{aligned}$$

α – zestaw pozostałych liczb kwantowych

(np. Fetter & Walecka, Kwantowa teoria układów wielu cząstek, PWN 1982)

Reguły wyboru

$$T' = T, \quad T_3' = T_3 \pm 1, \quad \alpha' = \alpha$$

Przykład przejścia $\Delta T = 0$

Przemiana β^- swobodnego neutronu przy $T=1/2$

neutron \rightarrow proton

$$T_3 = t_3 = 1/2 \quad T_3' = t_3' = -1/2$$

$$T = t = 1/2 = t' = T'$$

$$|M_F|^2 = (t + t_3)(t - t_3 + 1) = (1/2 + 1/2)(1/2 - 1/2 + 1) = 1$$

$$\left[|M_{GT}|^2 = 3 \right]$$

Drugi przykład przejścia $\Delta T = 0$

Przejście $0^+ \rightarrow 0^+$ przy $T=T=1$

$$\left. \begin{array}{l}
 {}^{14}_6\text{O}_8 \xrightarrow{\beta^+ / WE} {}^{14}_7\text{N}_7 (E^* = 2313 \text{ keV}) \\
 T_3 = 1 \qquad T_3' = 0 \\
 T = 1 \qquad T = 1 \\
 J^P = 0^+ \qquad J^P = 0^+
 \end{array} \right\} \Rightarrow \begin{cases} |M_F|^2 = 2 \\ |M_{GT}|^2 = 0 \end{cases}$$

Komentarze:

2. Stan podst. jądra ${}^{14}\text{O}$ **stanem analogowym** stanu wzbudzonego jądra ${}^{14}\text{N}$
3. $|M_F|^2 = 2$, jeżeli T dobrą liczbą kwantową;
w rzeczywistości $|M_F|^2$ jest nieco mniejsze od 2

Trzeci przykład przejścia $\Delta T = 0$

Przejście $0^+ \rightarrow 0^+$ przy $T=T'=1$

$$\left. \begin{array}{l}
 {}^{62}_{31}\text{Ga}_{31} \xrightarrow{\beta^+ / \text{WE}} {}^{62}_{30}\text{Zn}_{32} \\
 T_3 = 0 \qquad T_3' = +1 \\
 T = 1 \qquad T = 1 \\
 J^P = 0^+ \qquad J^P = 0^+
 \end{array} \right\} \Rightarrow \begin{cases} |M_F|^2 = 2 \\ |M_{GT}|^2 = 0 \end{cases}$$

Komentarze:

1. ${}^{62}\text{Ga}$ – odstępstwo od reguły $T=|T_3|$ dla stanu podst. jądra o $N=Z$
2. Stan podst. jądra ${}^{62}\text{Ga}$ **stanem analogowym** stanu podst. jądra ${}^{62}\text{Zn}$
3. $|M_F|^2 = 2$, jeżeli T dobrą liczbą kwantową;
w rzeczywistości $|M_F|^2$ jest nieco mniejsze od 2

4.3. STANY ANALOGOWE (*IAS*)

Definicja

$$\hat{T}_- |x\rangle = |IAS\rangle$$

$$T = T', \quad \alpha = \alpha'$$

dowolny stan

Isobaric Analog State

nuklid N,Z

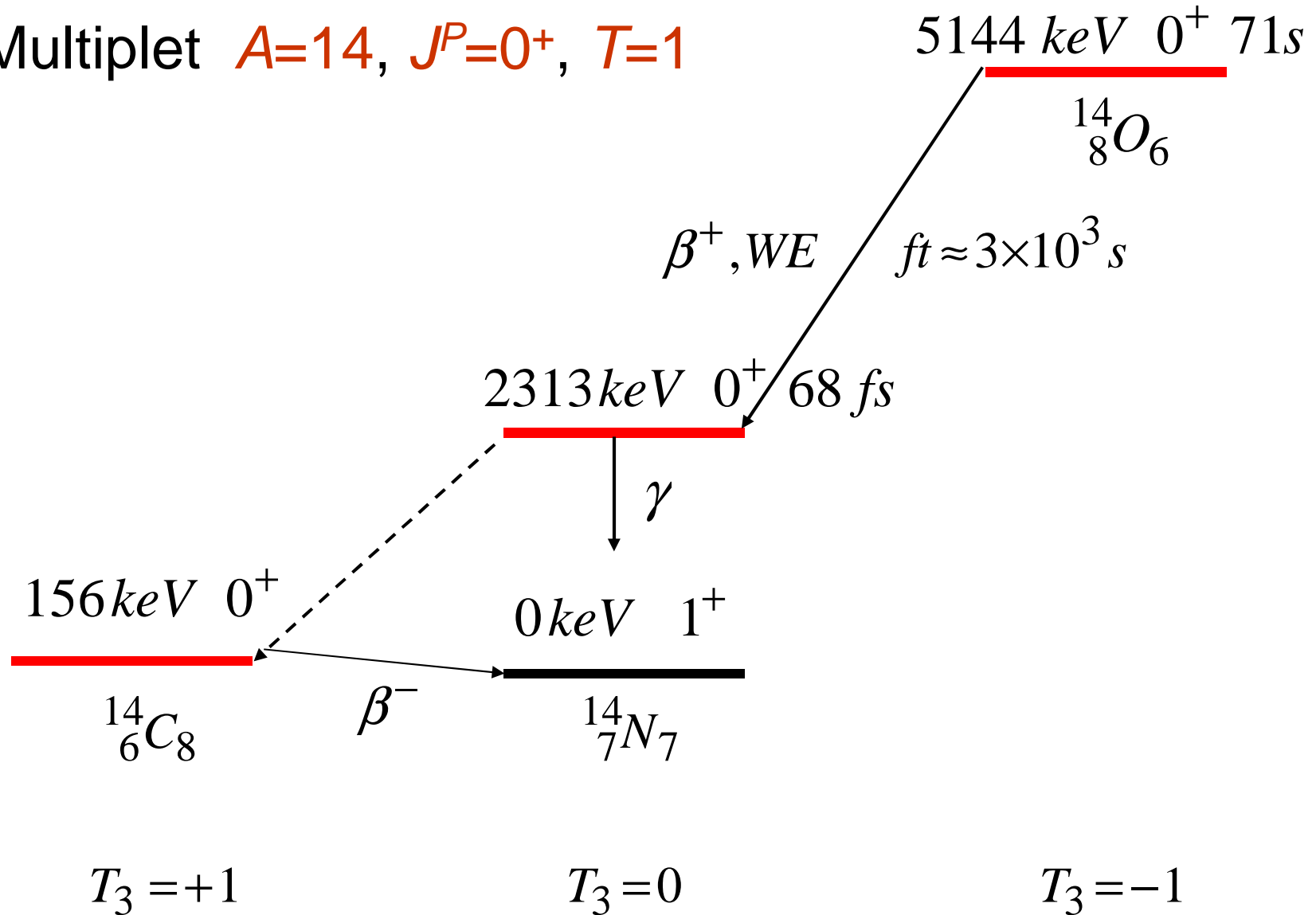
nuklid N-1, Z+1

Przykłady: stany analogowe dla $A=14$, $J^P=0^+$, $T=1$

$$\hat{T}_- \left| {}^{14}_6\text{C}, st. podst. \right\rangle = \left| {}^{14}_7\text{N}, 2.313 \text{ MeV} \right\rangle$$

$$\hat{T}_- \left| {}^{14}_7\text{N}, 2.313 \text{ MeV} \right\rangle = \left| {}^{14}_8\text{O}, st. podst. \right\rangle$$

Multiplet $A=14, J^P=0^+, T=1$



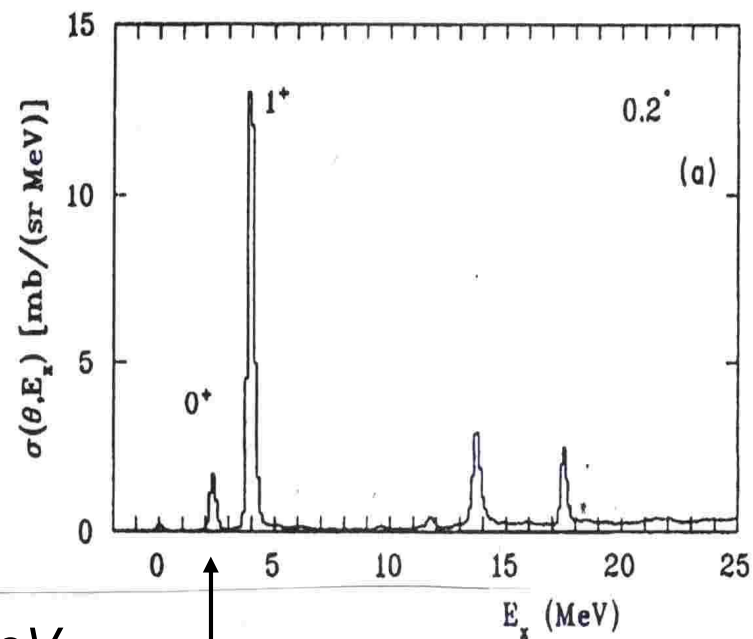
Wzbudzenie *IAS* w reakcji $^{14}\text{C}(p,n)^{14}\text{N}$

B.D.Anderson et al., Phys. Rev. C43 (1991) 1630

Energia protonów: 135 MeV, kąt rejestracji neutronów: $\theta \approx 0^\circ$

Różniczkowy przekrój czynny

w funkcji energii wzbudzenia jądra końcowego E_x



IAS, 2.313 MeV

Energia *IAS* względem stanu $|x\rangle$

$$\Delta E = \Delta E_C - \underbrace{(m_n - M_H)c^2}_{0.782 \text{ MeV}}$$

↑
różnica energii kulombowskiej jąder

Energia kulomb. wg modelu kropłowego: $E_C \approx 0.70 \frac{Z^2}{A^{1/3}} \text{ MeV}$

stąd
$$\Delta E_C \approx 0.70 \frac{(Z+1)^2 - Z^2}{A^{1/3}} = 1.4 \frac{Z+0.5}{A^{1/3}} \text{ MeV}$$

Dopasowanie do danych doświadcz.: *ADNDT* 66(1997)1

$$\Delta E_C = 1.4144 \frac{Z+0.5}{A^{1/3}} - 0.9127 \text{ MeV} \quad \text{dla } T=1$$

Różnice energii stanów multipletu

$$A=14, \quad J^P=0^+, \quad T=1, \quad |M_F|^2=2$$

nuklid (T_3)	${}^{14}_6\text{C}_8(+1)$	${}^{14}_7\text{N}_7(0)$	${}^{14}_8\text{O}_6(-1)$
------------------	---------------------------	--------------------------	---------------------------

ΔE dośw. (MeV)	2.157	2.831
------------------------	-------	-------

ΔE ze wzoru (MeV)	2.119	2.706
---------------------------	-------	-------

ADNDT 1997

4.4. IZOTOPY *Ga* – PRZEJŚCIA $0^+ \rightarrow 0^+$

Różnice energii stanów multipletu

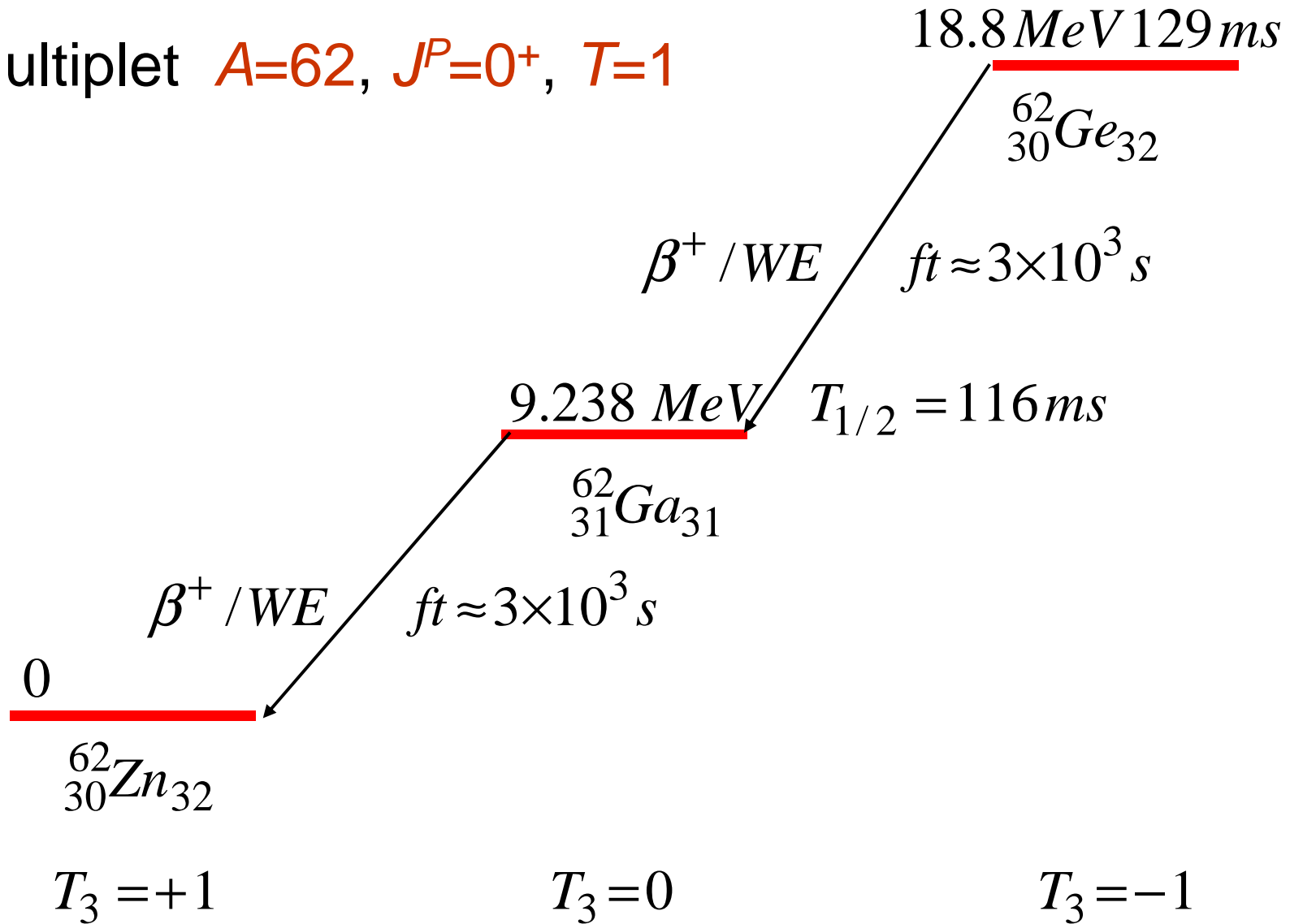
$$A=62, \quad J^P=0^+, \quad T=1, \quad |M_F|^2=2$$

Nuklid (T_3)	${}^{62}_{30}\text{Zn}_{32}(+1)$	${}^{62}_{31}\text{Ga}_{31}(0)$	${}^{62}_{32}\text{Ge}_{30}(-1)$
------------------	----------------------------------	---------------------------------	----------------------------------

ΔE dośw. (MeV)	9.1811(4)	10.09(14)
------------------------	-----------	-----------

ΔE z wzoru (MeV) ADNDT 1997	9.204	9.562
----------------------------------------	-------	-------

Multiplet $A=62, J^P=0^+, T=1$



Przejścia $0^+ \rightarrow 0^+$ izotopów *Ga*

Zestawienie przejścia **superdozwolonego** ($\Delta T=0$)
z przejściami wzbronionymi przez $\Delta T = 1$

Przejście*)	T_i	T_f	ft (s) **)	$\log ft$
$^{62}\text{Ga} \rightarrow ^{62}\text{Zn}$	1	1	$3 \cdot 10^3$	3.5
$^{64}\text{Ga} \rightarrow ^{64}\text{Zn}$	1	2	$4 \cdot 10^6$	6.6
$^{66}\text{Ga} \rightarrow ^{66}\text{Zn}$	2	3	$8 \cdot 10^7$	7.9

Wniosek: T nie jest dobrą liczbą kwantową!

*) między stanami podstawowymi izobarów,

**) tu: $f = f_{\beta^+} + f_{WE}$; t – parcjalny półokres rozpadu.

Odstępstwo od symetrii izospinowej

Symetria izospinowa rozważanych stanów 0^+

oznaczałaby, że jedyna różnica między danym stanem jądra i jego izospinowym analogiem polega na zamianie jednego neutronu w proton (lub na odwrót)

i że przestrzenno-spinowe funkcje falowe są identyczne.

Oddziaływanie kulombowskie protonów

przyczyną łamania symetrii izospinowej.

W szczególności: w modelu powłokowym studnie potencjału protonów i neutronów są nieco różne. Przy tych samych liczbach kwantowych nie ma pełnego przekrycia funkcji falowych.

Izospin nie jest idealnie dobrą liczbą kwantową

Wartość $|M_F|^2$ przejścia superdozwolonego

(tj. przejść $0^+ \rightarrow 0^+$, $T_i = 1$, $\Delta T = 0$)

$$|M_F|^2 = 2 \times (1 - \delta_C)$$



mała poprawka kulombowska
(uwzględnia domieszki $T \neq 1$
wskutek oddziaływania
kulombowskiego)

Dla przejść między stanami o $|\Delta T|=1$
mała domieszka izospinowa znosi wzbronienie.

Przejście Fermiego przy $|\Delta T|=1$

$(\Delta E_C = 9.83 \text{ MeV})$

IAS

9.05 MeV 0^+

$T=3$

$$|M_F^{IAS}|^2 = 6 \rightarrow$$

5.18 MeV 0^+

$T=2$

${}^{66}_{31}\text{Ga}_{35}$

$T_{1/2} = 9.49 \text{ h}$

$$|M_F|^2 \approx 8 \times 10^{-5} \Leftarrow ft \approx 7.9 \times 10^7 \text{ s}$$

$T=3$ 0 MeV 0^+

β^+ (50%), WE (0.5%)

${}^{66}_{30}\text{Zn}_{36}$

Stan podstawowy ^{66}Ga

$$\sqrt{1-\varepsilon^2} |T=2\rangle + \varepsilon |T=3, IAS\rangle$$

Kwadrat elementu macierzowego przejścia F (slajd 38)

$$\begin{aligned} |M_F|^2 &= \frac{6144 s}{ft} \approx \frac{6144}{7.9 \times 10^7} \approx 8 \times 10^{-5} \\ &= \varepsilon^2 \times |M_F^{IAS}|^2 = \varepsilon^2 \times 6 \end{aligned}$$

Domieszka IAS , która znosi wzbronienie przejścia
(skutek oddziaływania kulombowskiego)

$$\varepsilon^2 \approx 1.3 \times 10^{-5}$$

4.5. SUPERDOZWOLONE PRZEJŚCIA $0^+ \rightarrow 0^+$ I MACIERZ *CKM*

Porównawczy okres półrozpadu (przypomnienie)

$$ft = \frac{D}{G_{\beta F}^2 |M_F|^2} \quad D = 1.230580(2) \times 10^{-120} \text{ Jm}^3 \text{ s}$$

Dla rozważanych przejść $0^+ \rightarrow 0^+$ (stany o $T=1$) zamiana:

$$|M_F|^2 = 2 \quad \rightarrow \quad |M_F|^2 = 2 \times (1 - \delta_C)$$

↑
poprawka kulombowska

$$f \quad \rightarrow \quad f \cdot (1 + \delta_R)$$

↑
poprawka radiacyjna

Poprawiona wartość porównawczego półokresu rozpadu przejść $0^+ \rightarrow 0^+$

$$Ft = ft \cdot (1 + \delta_R) (1 - \delta_C) = \frac{D}{2 G \beta_F}$$

Dla otrzymania wartości FT

teoria

energia wzbudzenia jądra końc.

- wartość f dla danej doświadczalnej energii przejścia $Q_{WE} - E^*$
- wkład przejść Gamowa-Tellera $b(0^+ \rightarrow 1^+)$
- poprawki δ_C i δ_R

doświadczenie

- pomiar energii przejścia $Q_{WE} - E^*$ ($\rightarrow f$)
- pomiar $T_{1/2}$ i rozgałęzienia przejścia b ($\rightarrow t = T_{1/2} / b$)

Teoretyczne wartości $f = f_{\beta^+} + f_{EC}$ – dwa przykłady

rozpad	$^{14}\text{O} \rightarrow ^{14}\text{N}$	$^{62}\text{Ga} \rightarrow ^{62}\text{Zn}$
$Q_{EC} - E^*$ (keV)	2831.24(23)	9181.07(54)
E^* (keV)	2312.798(11)	0
$f(E_0, Z)^x$	42.772(23)	26400.2(83)
P_{WE} (%)	0.088	0.137

x) Dla ^{14}O i ^{62}Ga wartości f są w przybliżeniu niższe o 14% i 43% od obliczonych dla $F(E, Z)=1$.

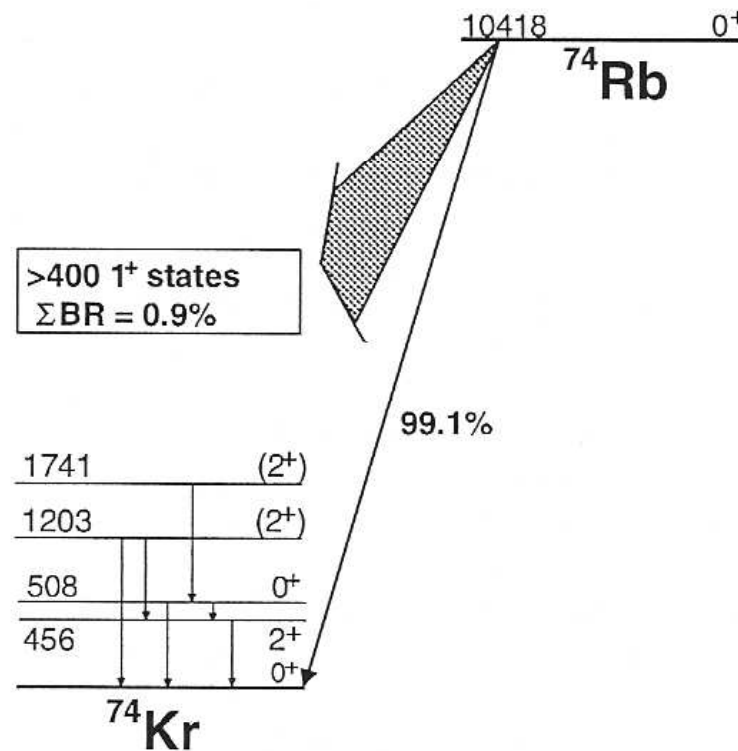
^{74}Rb : wkład przejść $0^+ \rightarrow 1^+$ (teoria)

J.C.Hardy & I.S.Towner, Phys. Rev. Lett. 88 (2002) 252501

$$\sum b(0^+ \rightarrow 1^+) = 0.009 \quad \Rightarrow \quad b(0^+ \rightarrow 0_{gs}^+) = 1 - \sum b(0^+ \rightarrow 1^+)$$

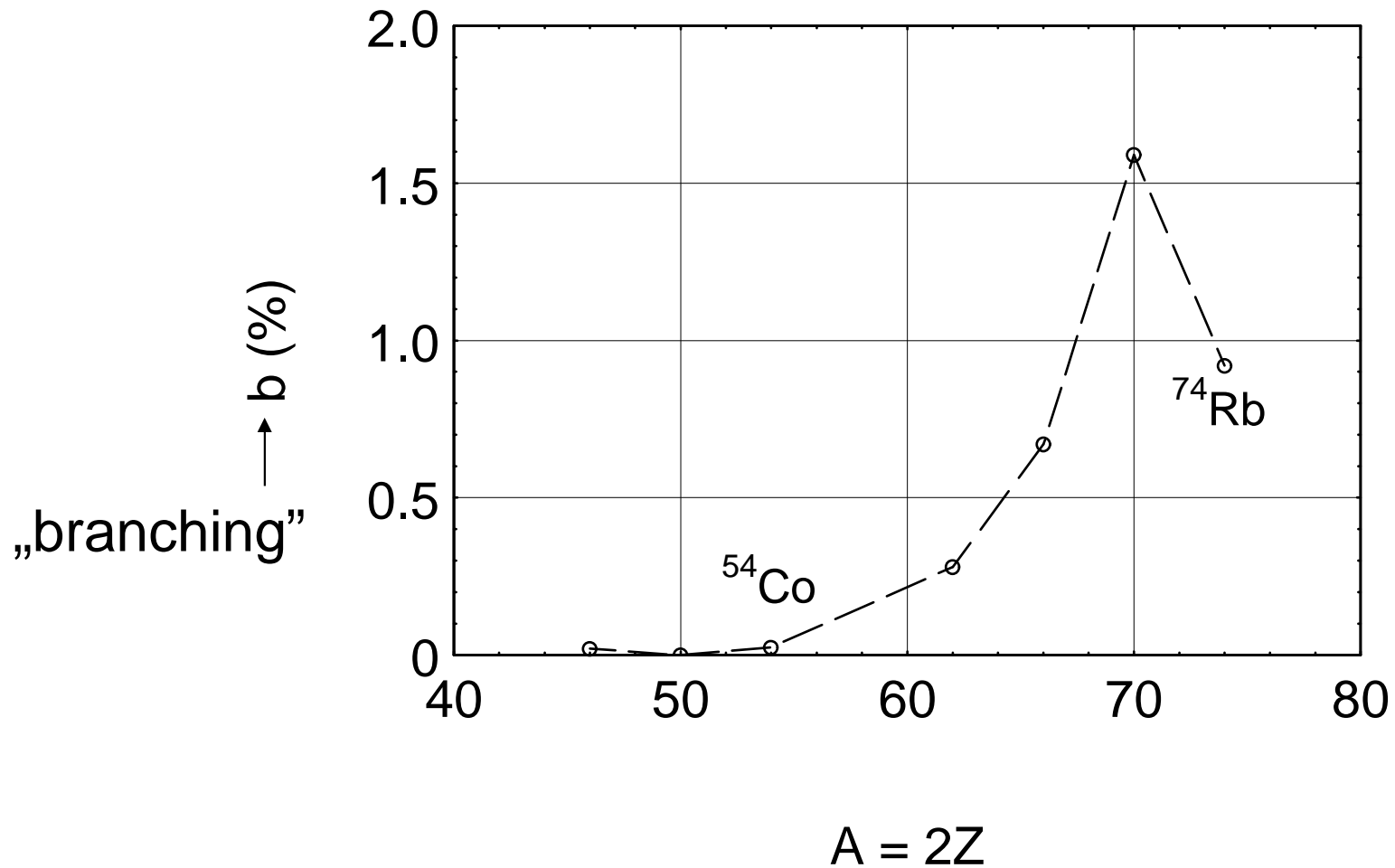
$$t(0^+ \rightarrow 0_{gs}^+) = T_{1/2} / b(0^+ \rightarrow 0_{gs}^+) = 64.76 \text{ ms} / 0.991 = 65.35 \text{ ms}$$

↑
parcjalny
okres
półrozpadu



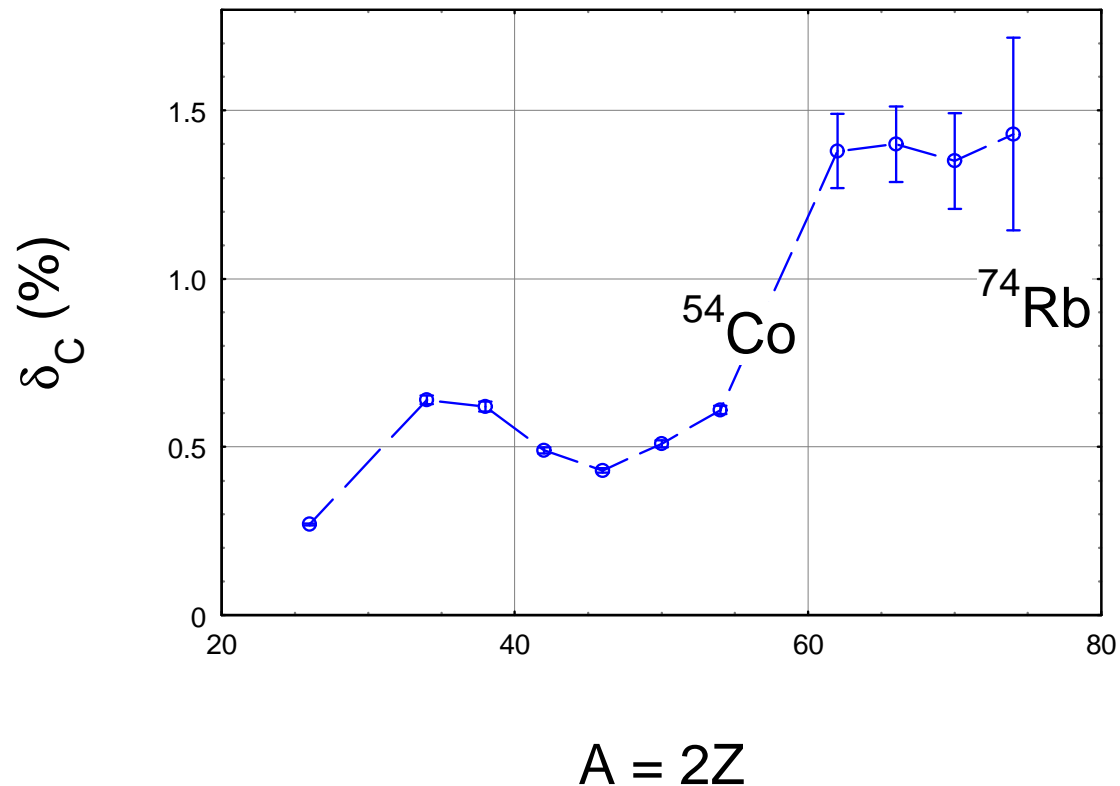
Teoria: $b(0^+ \rightarrow 1^+)$ dla izotopów o $Z=N$

J.C.Hardy & I.S.Towner, Phys. Rev. Lett. 88 (2002) 252501



Poprawki δ_C dla przejść $0^+ \rightarrow 0^+$ przy $Z=N$

I.S.Towner & J.C.Hardy, Phys. Rev. C66 (2002) 35501
„Calculated corrections to superallowed Fermi decay ...”



Teoret. poprawki δ_R i δ_C dla przejść $0^+ \rightarrow 0^+$

I.S. Towner & J.C. Hardy, arXiv:0710.3181v1 [nucl-th] 16 Oct 2007

J.C. Hardy & I.S. Towner, Phys. Rev. C79 (2009) 055502

Dwa przykłady:

	$\delta_R(\%) = \delta_R'(\%) + \delta_{NS}(\%)$	$\delta_C(\%)$
$^{14}\text{O} \rightarrow ^{14}\text{N}$ (2313 keV)	$1.543(8) - 0.245(50)$	$0.330(25)$
$^{62}\text{Ga} \rightarrow ^{62}\text{Zn}$	$1.459(87) - 0.045(20)$	$1.45(21)$

Wzór zmodyfikowany:

zależą od struktury jądra

$$FT = ft \cdot (1 + \delta_R') (1 + \delta_{NS} - \delta_C) = \frac{D}{2 \cdot G_{\beta F}}$$

nie zależy od struktury jądra

Dwa przykłady wartości Ft

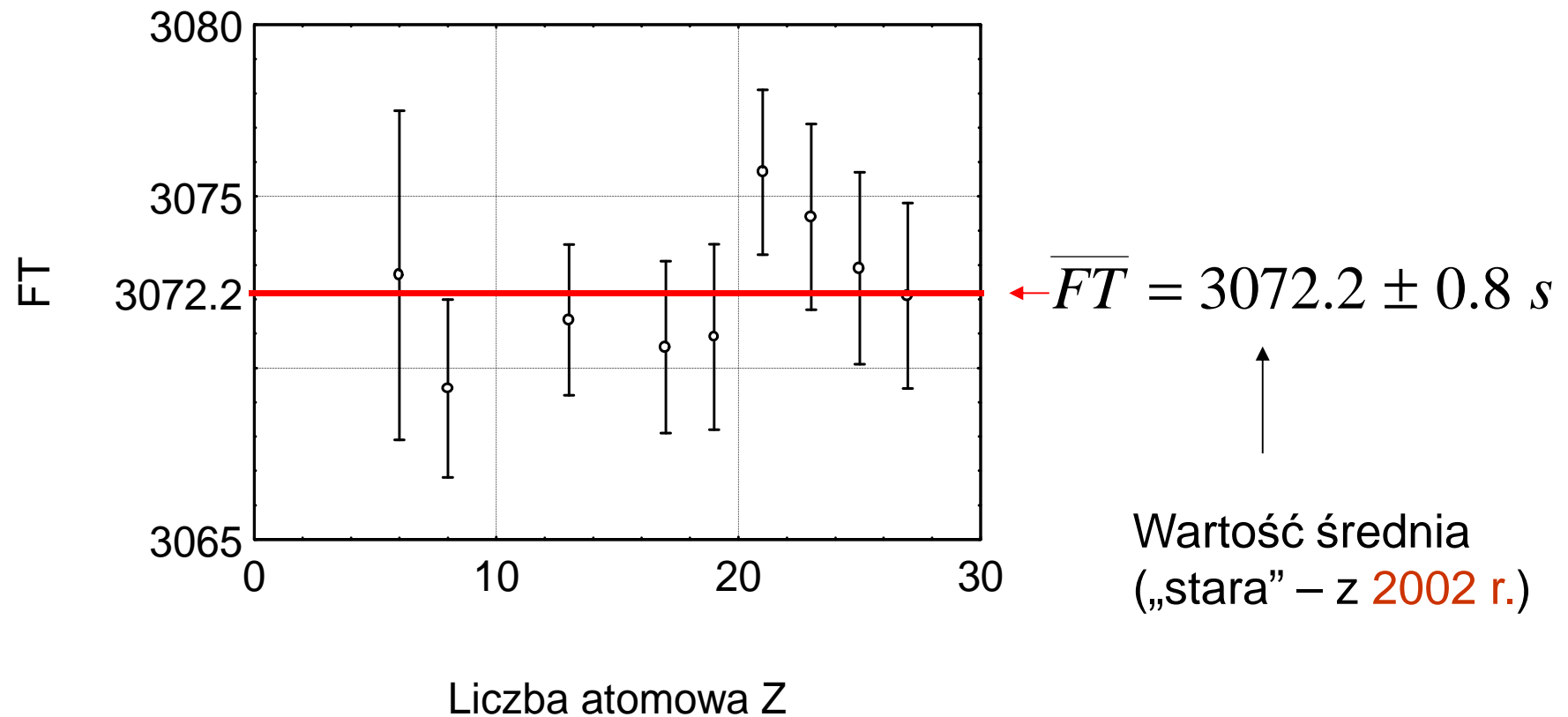
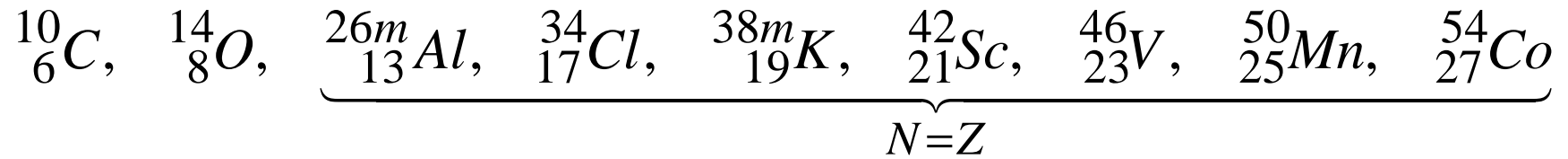
I.S. Towner & J.C. Hardy, arXiv:0710.3181v1 [nucl-th] 16 Oct 2007

J.C. Hardy & I.S. Towner, Phys. Rev. C79 (2009) 055502

Nuklid	^{14}C	^{62}Ga
$Q_{WE} - E^*(\text{keV})$	2831.24(23)	9181.07(54)
$b_{\text{dośw.}} (\%)$	99.374(68)	99.862(11)
$T_{1/2} (\text{ms})$	70620(15)	116.121(40)
$t (\text{ms})$	71127(51)	116.441(42)
$ft (\text{s})$	3042.3(27)	3074.1(15)
$FT (\text{s})$	3071.5(33)	3071.5(72)

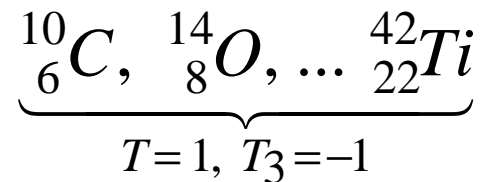
(idealna zbieżność wartości FT jest tu przypadkowa)

Superdozwolone przejścia $0^+ \rightarrow 0^+$

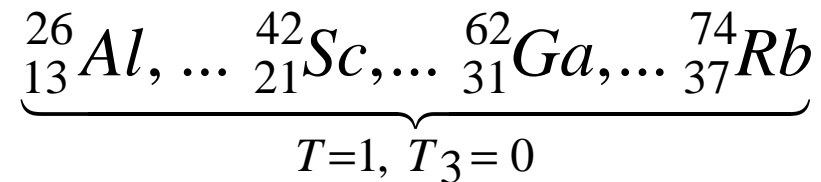


Średnia wartość FT i 1-szy wiersz macierzy CKM (2009 r.)

9 rozpadów



11 rozpadów



$$\langle FT \rangle = 3071.81 \pm 0.83 \text{ s}$$

\Downarrow

$$|V_{ud}| = 0.97425 \pm 0.00022$$

\Downarrow

$$|V_{ud}|^2 + |V_{us}|^2 + |V_{ub}|^2 = 0.9999 \pm 0.0006$$

Wzory dla przybliżonych obliczeń

Dla przejść $F + GT$:
$$ft = \frac{6144 \text{ s}}{|M_F|^2 + 1.6215 |M_{GT}|^2}$$

Dla przejść GT :
$$ft = \frac{3789 \text{ s}}{|M_{GT}|^2}$$

Komentarze:

- $2 \times 3071.81 \text{ s} \approx 6144 \text{ s}$
- $R = G_{\beta_{CT}}/G_{\beta_F} = 1.2734(19) \rightarrow R^2 = 1.6215$

z podsumowania badań rozpadu neutronu

Dubbers & Schmidt, Rev. Mod. Phys. 83 (2011) 1111

Obliczanie $f \cdot t$:

nndc → Structure and Decay → LOGFT Analysis Program

(National Nuclear Data Center)

Literatura:

- Dzelepov i in., Beta processy (po ros.), Nauka, Leningrad 1972
- Wilkinson & Macefield, Nucl. Phys. A232 (1974) 58 – rozpad β_{\pm}
- Bambynek et al., Rev. Mod. Physics 49 (1977) 77 – *WE*

4.6. POTRZEBA DALSZYCH BADAŃ ROZPADU NEUTRONU

Prace teoretyczne sugerujące, że poprawki δ_C są mniejsze niż otrzymane przez Townera i Hardego:

- (i) H. Liang et al., Phys. Rev. C79 (2009) 064316
- (ii) N. Auerbach, Phys. Rev. C79 (2009) 035502
- (iii) G.A. Miller and A. Schwenk, Phys. Rev. C80 (2009) 064319

W pracy (i) otrzymano:

$$|V_{ud}|^2 + |V_{us}|^2 + |V_{ub}|^2 = 0.9971(10) \div 0.9978(10)$$

Odwołując się do tych prac fizycy z ORNL wskazują na potrzebę dalszych badań rozpadu neutronu i przygotowują odpowiedni eksperyment (Wykład 3)

Uzupełnienie


4.7. UKŁAD DWÓCH NUKLEONÓW

Równanie Schrödingera dla układu **2** identycznych cząstek
(z podręcznika mechaniki kwantowej)

$$\left(i\hbar \frac{\partial}{\partial t} - \hat{H} \right) \psi(1,2) = 0$$

Operator zamiany tych cząstek $\hat{P}_{12}\psi(1,2) = \psi(2,1)$

komutuje z hamiltonianem. Wartości własne całkami ruchu.

$$\left. \begin{aligned} \hat{P}_{1,2} \psi(1,2) &= \lambda \psi(1,2) \\ \hat{P}_{12}^2 \psi(1,2) &= \lambda^2 \psi(1,2) \\ \hat{P}_{12}^2 \psi(1,2) &= \hat{P}_{12} \psi(2,1) = \psi(1,2) \end{aligned} \right\} \Rightarrow \lambda = \pm 1$$


Antysymetryczna funkcja falowa ($\lambda = -1$)

$$\psi_a = \frac{1}{\sqrt{2}} \{ \psi(1,2) - \psi(2,1) \}$$

Zał.: cząstki poruszają się niezależnie w stanach φ_I i φ_{II}

$$\psi_a(1,2) = \frac{1}{\sqrt{2}} \{ \varphi_I(1) \varphi_{II}(2) - \varphi_I(2) \varphi_{II}(1) \}$$

Jeżeli stany I i II identyczne, to $\psi_a(1,2)$ znika
(zakaz Pauliego!)

Uwzględnienie spinu i izospinu

Uogólniona zasada Pauliego:

Funkcja falowa układu dwóch nukleonów musi być antysymetryczna ze względu na jednoczesną zamianę zmiennych przestrzennych, spinowych i izospinowych.

Deuteron w przybliżeniu $L = 0$

Niektóre własności deuteronu z doświadczenia

Energia wiązania

$$B_d = 2.225 \text{ MeV}$$

Spin (parzystość)

$$S^{(P)} = 1^{(+)}$$

Dipolowy moment magnetyczny

$$\mu_d \approx 0.86 \mu_N \approx \mu_p + \mu_n$$

Promień średni kwadratowy

$$\sqrt{\langle r^2 \rangle} = 2.1 \text{ fm}$$

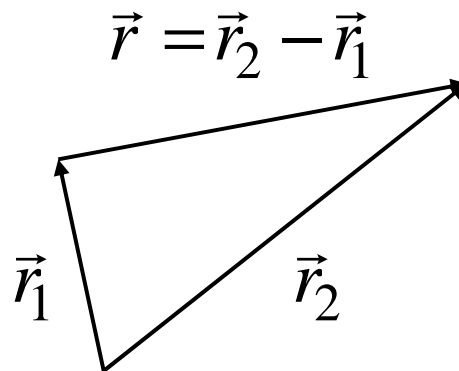
(przy zaniedbaniu deformacji

$$\langle r^2 \rangle = \int r^2 \rho(r) d\tau$$

Szkic teorii – przybliżenie sferyczne

Dwa nukleony – proton i neutron

(nie precyzujemy, który w punkcie 1, który w punkcie 2)



Potencjał oddziaływania neutron-proton: $V(r)$

$$r = |\vec{r}|$$

Równanie Schrödingera – ruch względny

$$\left\{ -\frac{\hbar^2}{2m} \nabla^2 + V(r) \right\} \psi(\vec{r}) = E \psi(\vec{r})$$

$$m = \frac{m_p m_n}{m_p + m_n} \quad \text{masa zredukowana}$$

$$\psi(r, \vartheta, \varphi) = \frac{u_L(r)}{r} Y_{LM}(\vartheta, \varphi) \quad P = (-1)^L$$

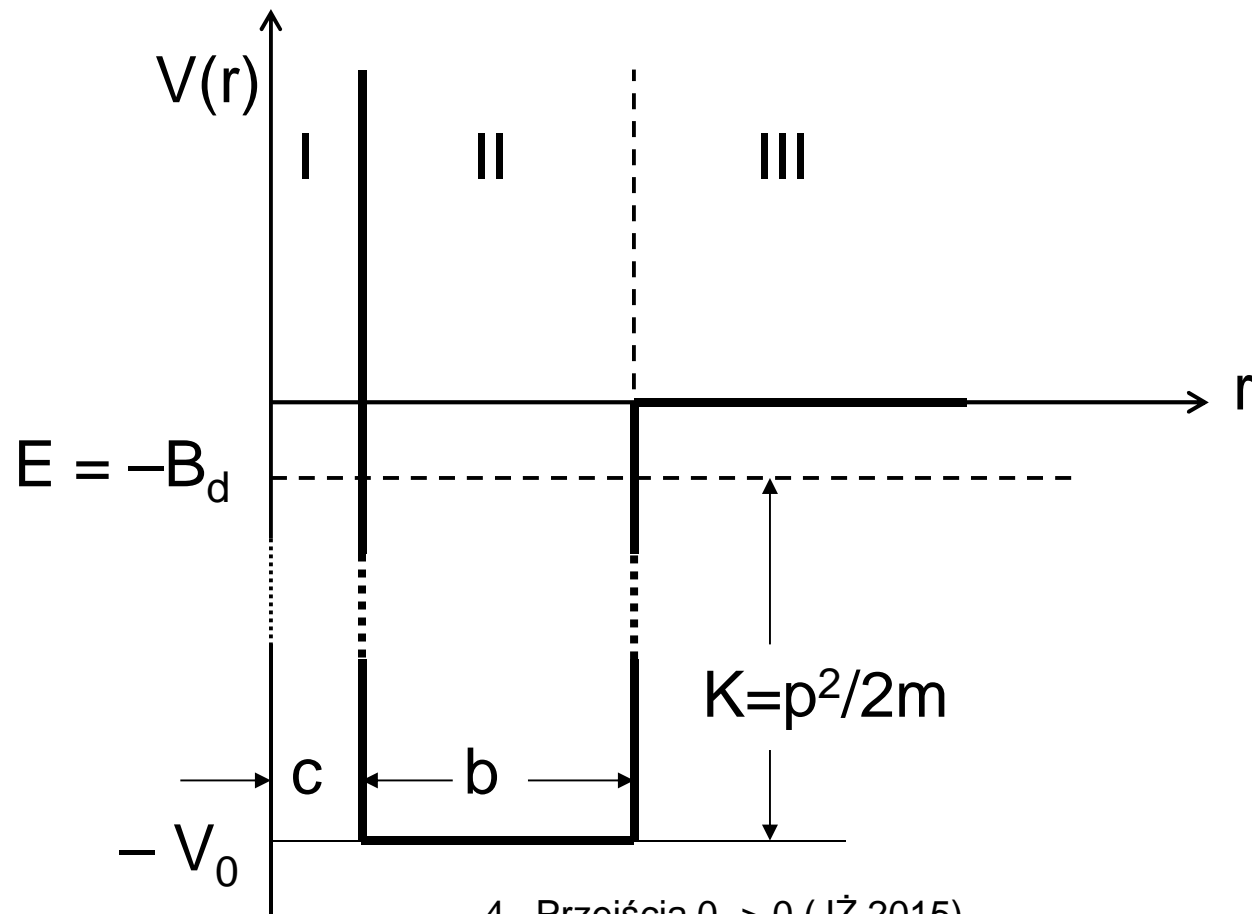
$$\frac{d^2 u_L}{dr^2} + \frac{2m}{\hbar} \left[E - V(r) - \frac{L(L+1)\hbar^2}{2m r^2} \right] u_L = 0$$

Stan podstawowy deuteronu: $L = 0$ (!)

Stan podstawowy deuteronu

$$L = 0, \quad S = s_p + s_n = 1, \quad P = (-1)^L = +1$$

Przybliżenie studni prostokątnej



Odtworzenie danych doświadczalnych

Otrzymuje się

$$E = K - V_o = -B_d = -2.225 \text{ MeV}, \quad \sqrt{\langle r^2 \rangle} = 2.1 \text{ fm}$$

dla parametrów $V_o = 73 \text{ MeV}$, $b = 1.34 \text{ fm}$

($c = 0.4 \text{ fm}$ z badania zderzeń wysokiej energii)

Pytanie:

dłaczego w stanie podstawowym $S = 1$, a nie $S = 0$?

Zależność sił jądrowych od spinu

Dwie studnie potencjału dla $L = 0$

$$S = 1 \quad V(r) \Rightarrow V_1(r) = V_C(r) + V_S(r)$$

$$S = 0 \quad V(r) \Rightarrow V_0(r) = V_C(r) - 3V_S(r)$$



potencjał centralny (slide 47)

Jeżeli $V_S(r) < 0$, to dla $S=0$ głębokość studni mniejsza niż dla $S=1$; stan $S=0$ niezwiązany, obserwowany jako rezonans w reakcji fotojądrowej na deuteronie (slide 51)!

Uzasadnienie

$$u(r) \Rightarrow u_S(r)|S\rangle, \quad S = \begin{cases} 1 \\ 0 \end{cases}$$

$$V(r) = V_C + \hat{\sigma}_n \hat{\sigma}_p V_S(r)$$

$$\hat{S} = \hat{s}_n + \hat{s}_p = \frac{1}{2} \hat{\sigma}_n + \frac{1}{2} \hat{\sigma}_p$$

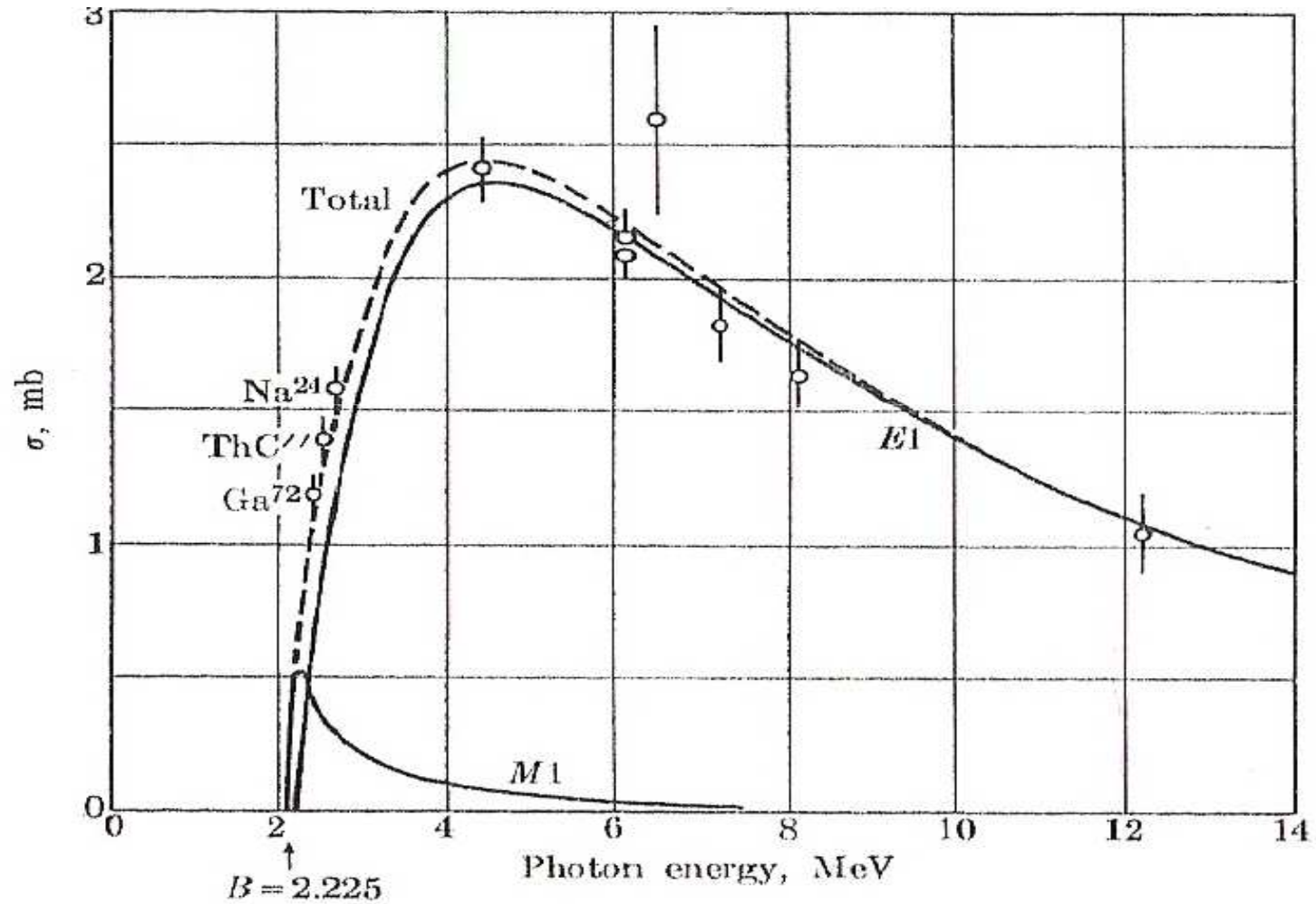
$$(\hat{S})^2 = \left[\frac{1}{2} (\hat{\sigma}_n + \hat{\sigma}_p) \right]^2 = \frac{1}{4} (\hat{\sigma}_n)^2 + \frac{1}{4} (\hat{\sigma}_p)^2 + \frac{1}{2} \hat{\sigma}_n \hat{\sigma}_p$$

$$\hat{\sigma}_n \hat{\sigma}_p = 2 \left\{ (\hat{S})^2 - \frac{1}{4} (\hat{\sigma}_n)^2 - \frac{1}{4} (\hat{\sigma}_p)^2 \right\}$$

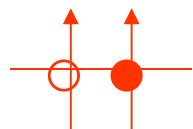
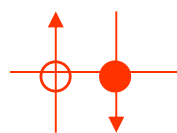
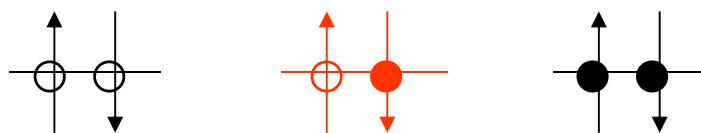
$$\hat{\sigma}_n \hat{\sigma}_p |S\rangle = 2 \{ S(S+1) - s_n(s_n+1) - s_p(s_p+1) \} |S\rangle$$

$$\hat{\sigma}_n \hat{\sigma}_p |1\rangle = 1 * |1\rangle, \quad \hat{\sigma}_n \hat{\sigma}_p |0\rangle = -3 * |0\rangle$$

Reakcja fotojądrowa na deuteronie



Porównanie deuteronu z 2n i 2p dla $L=0$



spin	izospin
S=0 singlet antysymetr.	T=1 tryplet symetryczny
S=1 tryplet symetryczny	T=0 singlet antysymetr.

$T_3=+1$ $T_3=0$ $T_3=-1$
 dineutron **deuteron** diproton

Funkcja falowa układu dwóch nukleonów przy zerowym orbitalnym momencie pędu

$$\Psi(\vec{r}, \vec{s}_1, \vec{s}_2, \vec{t}_1, \vec{t}_2) = \underbrace{\frac{u_0(r)}{r} Y_{00}}_{\text{część przestrzenna}} f_{\sigma}(\vec{s}_1, \vec{s}_2) f_{\tau}(\vec{t}_1, \vec{t}_2)$$

część przestrzenna

część spinowa

część izospinowa

(przy zaniedbaniu sprzężenia przestrzennych, spinowych i izospinowych stopni swobody)

Symbole stanów spinowych i izospinowych

stany spinowe nukleonu:

dla spinu $s_z = +1/2$ – funkcja falowa α

dla spinu $s_z = -1/2$ – funkcja falowa β

stany izospinowe nukleonu:

dla neutronu ($t_3 = +1/2$) – funkcja falowa ν

dla protonu ($t_3 = -1/2$) – funkcja falowa π

Stan podstawowy deuteronu jako układu nukleonu 1 i nukleonu 2

Symetryczny **tryplet** spinowy ($S = 1$)

$$f_{\sigma}(\vec{s}_1, \vec{s}_2) = \begin{cases} \alpha(1)\alpha(2) & M_S = +1 \\ \frac{1}{\sqrt{2}}\{\alpha(1)\beta(2) + \beta(1)\alpha(2)\} & M_S = 0 \\ \beta(1)\beta(2) & M_S = -1 \end{cases}$$

Antysymetryczny **singlet** izospinowy ($T=T_3=0$)

$$f_{\tau}(\vec{t}_1, \vec{t}_2) = \frac{1}{\sqrt{2}}\{\pi(1)\nu(2) - \pi(2)\nu(1)\}$$

2n , 1-szy stan rezonansowy deuteronu i 2p

Antysymetryczny **singlet** spinowy ($S = 0, M_S = 0$)

$$f_{\sigma} = \frac{1}{\sqrt{2}} \{ \alpha(1) \beta(2) - \beta(2) \alpha(1) \}$$

Symetryczny **tryplet** izospinowy ($T=1$)

$$f_{\tau} = \begin{cases} \nu(1) \nu(2) & T_3 = +1 \\ \frac{1}{\sqrt{2}} \{ \nu(1) \pi(2) + \pi(1) \nu(2) \} & T_3 = 0 \\ \pi(1) \pi(2) & T_3 = -1 \end{cases}$$

Podsumowanie

Przy orbitalnym momencie pędu $L = 0$

układ dwóch nukleonów ma funkcję falową antysymetryczną.

To samo obowiązuje dla układu dwóch nukleonów

przy dowolnym orbitalnym momencie pędu.

Układ dwóch nukleonów dla dowolnego L

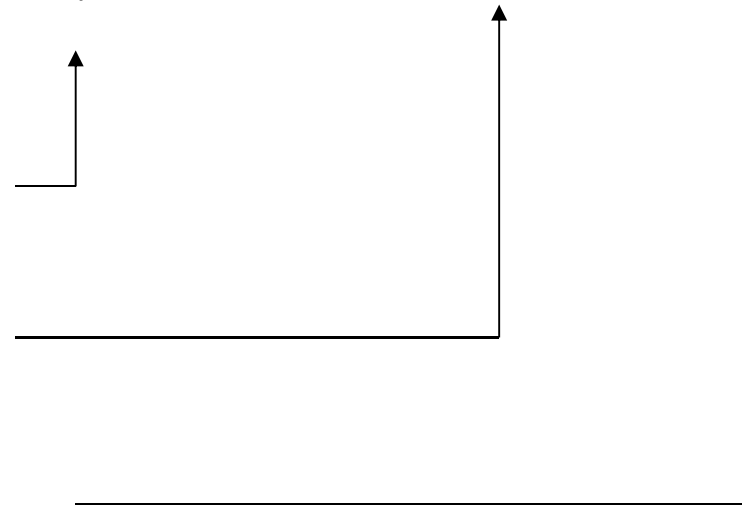
Funkcja falowa (**antysymetryczna**)

$$\Psi(\vec{r}, \vec{s}_1, \vec{s}_2, \vec{t}_1, \vec{t}_2) = \underbrace{R_{nl}(r) Y_{lm}(\vartheta, \varphi)}_{\text{część przestrzenna}} f_{\sigma}(\vec{s}_1, \vec{s}_2) f_{\tau}(\vec{t}_1, \vec{t}_2)$$

część przestrzenna

część spinowa

część izospinowa



Przestrzenna funkcja falowa $R_{nl}(r)Y_{lm}(\vartheta, \varphi)$

przy zamianie miejscami nukleonu 1 i nukleonu 2

(i) nie zmienia znaku dla L parzystego,

wówczas $f_\sigma f_\tau$ musi być funkcją antysymetryczną;

(ii) zmienia znak dla L nieparzystego,

wówczas $f_\sigma f_\tau$ musi być funkcją symetryczną.

Pełna funkcja falowa – antysymetryczna!

Przypomnienie notacji spektroskopowej

J – całkowity moment pędu układu nukleonów
o wypadkowym spinie S i orbit. momencie pędu L ,
określony przez zależność

$$\vec{J} = \vec{L} + \vec{S}$$

Stan układu nukleonów: $^{2S+1}L_J$

Uwaga:

zamiast liczbowych wartości	$L:$	0	1	2	3	...
stosuje się litery		S	P	D	F	...

Możliwe stany układu dwóch nukleonów (I)

J	Trypletowy stan spinowy	
	parzysty (P=+1)	nieparzysty (P=-1)
0	–	3P_0 (T=1)
1	${}^3S_1, {}^3D_1$ (T=0)	3P_1 (T=1)
2	3D_2 (T=0)	${}^3P_2, {}^3F_2$ (T=1)

3S_1 – stan podstawowy deuteronu

(wkład sił tensorowych \rightarrow domieszka ${}^3D_1 \rightarrow$ moment kwadrupol. $\neq 0$)

Możliwe stany dwóch nukleonów (II)

J	Singletowy stan spinowy	
	parzysty (P=+1)	nieparzysty (P=-1)
0	1S_0 (T=1)	–
1	–	1P_1 (T=0)
2	1D_2 (T=1)	–

1S_0 – pierwszy rezonansowy stan deuteronu

Wykład 5

POSZUKWANIE WKŁADU ODDZIAŁYWANIA SKALARNEGO I TENSOROWEGO

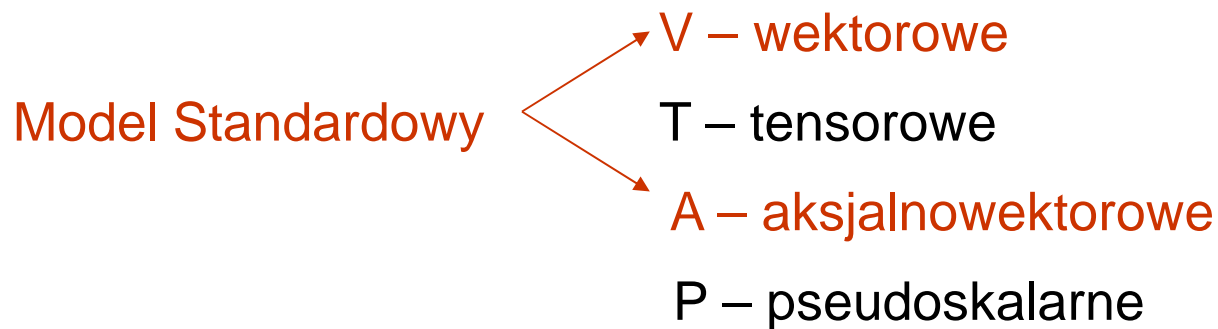
- 5.1. Oddziaływanie β (relatywistycznie)
- 5.2. Korelacje kątowe beta – neutrino
- 5.3. Rozpad ^{32}Ar – poszukiwanie oddziaływania S
- 5.4. Rozpad ^8Li – poszukiwanie oddziaływania T

5.1. ODDZIAŁYWANIE β – RELATYWISTYCZNIE

$$H'_{\beta} = \overbrace{H'_S + H'_V}^{\text{Fermi}} + \overbrace{H'_T + H'_A}^{\text{Gamow -Teller}} + H'_P$$

składniki H' niezmiennicze wzgl. transformacji Lorentza

S – skalarne



P – pseudoskalarne

N. Severijns, Weak interaction studies by precision experiments in nuclear beta decay

„The Euroschool lectures on physics with exotic beams”, Vol. I
J. Al-Khali and E. Roeckl (Eds.), Springer, Berlin 2004

Przy ograniczeniu się do oddziaływań V i A

$$H'_\beta = \frac{G_{\beta F}}{\sqrt{2}} \left[\sum_{\mu=1}^4 (\bar{\psi}_p \gamma_\mu \psi_n) (\bar{\psi}_e \gamma_\mu (C_V + C'_V \gamma_5) \psi_\nu) \right. \\ \left. - \sum_{\mu=1}^4 (\bar{\psi}_p \gamma_\mu \gamma_5 \psi_n) (\bar{\psi}_e \gamma_\mu \gamma_5 (C_A + C'_A \gamma_5) \psi_\nu) \right] + h.c.$$

Tu zakładamy: C_V, C'_V, C_A i C'_A – stałe rzeczywiste
(niezmienniczość względem odwrócenia czasu)

W Modelu Standardowym:

$$C_V = C'_V = 1, \quad C_A = C'_A = G_A/G_V (= G_{\beta GT}/G_{\beta F})$$

→ maksymalne niezachowanie parzystości

$$(C_x = C'_x = 0 \text{ dla } x = S, T, P)$$

Równanie Diraca dla swobodnego fermionu

$$\left(\vec{\alpha}\vec{p}c + \beta mc^2\right)\psi = E\psi$$

Macierze Diraca (4x4)

$$\alpha_x = \begin{pmatrix} 0 & \sigma_x \\ \sigma_x & 0 \end{pmatrix}, \quad \alpha_y = \begin{pmatrix} 0 & \sigma_y \\ \sigma_y & 0 \end{pmatrix}, \quad \alpha_z = \begin{pmatrix} 0 & \sigma_z \\ \sigma_z & 0 \end{pmatrix}, \quad \beta = \begin{pmatrix} I & 0 \\ 0 & -I \end{pmatrix}$$

$$\sigma_x, \sigma_y, \sigma_z \quad \text{– macierze Pauliego,} \quad I = \begin{pmatrix} 1 & 0 \\ 0 & 1 \end{pmatrix}$$

Inny zestaw macierzy

$$\gamma_4 = \beta, \quad \vec{\gamma} = -i\beta\vec{\alpha}, \quad \vec{\gamma} \equiv (\gamma_1, \gamma_2, \gamma_3), \quad \gamma_5 = \gamma_1\gamma_2\gamma_3\gamma_4$$

Czteroskładnikowa funkcja falowa

$$\psi = \begin{pmatrix} u_1 \\ u_2 \\ u_3 \\ u_4 \end{pmatrix}, \quad \psi^+ = (u_1^*, u_2^*, u_3^*, u_4^*), \quad \bar{\psi} = \psi^+ \gamma_4$$

Pytanie: czy do przejść Fermiego ma wkład oddziaływanie skalarne ?

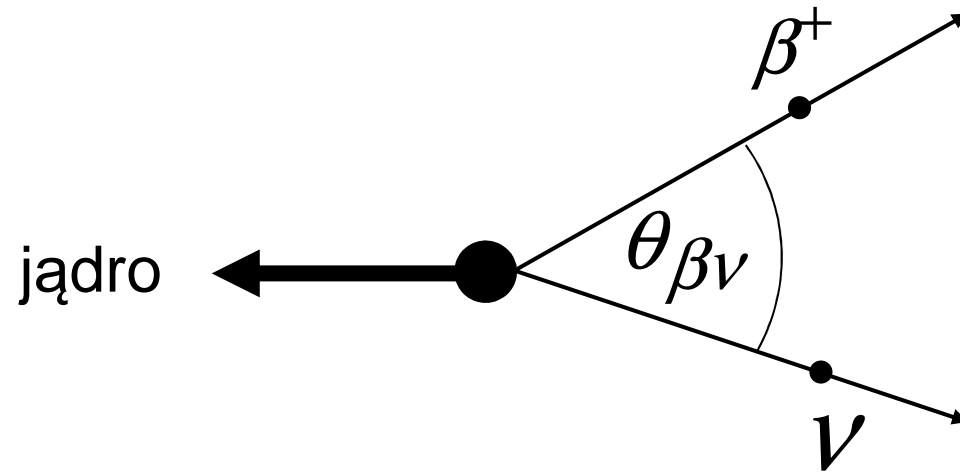
$$H'_\beta = \frac{G_{\beta F}}{\sqrt{2}} \left\{ \sum_{\mu=1}^4 (\bar{\psi}_p \gamma_\mu \psi_n) (\bar{\psi}_e \gamma_\mu (C_V + C'_V \gamma_5) \psi_\nu) \right. \\ \left. + (\bar{\psi}_p \psi_n) (\bar{\psi}_e (C_S + C'_S \gamma_5) \psi_\nu) \right\} + h.c.$$

Zakładamy: $C_V=C'_V$ i $C_S=C'_S$ – stałe rzeczywiste
(niezmienniczość względem odwrócenia czasu)

W Modelu Standardowym: $C_V = C'_V = 1$, $C_S = C'_S = 0$

5.2. KORELACJE KĄTOWE

$\beta - \nu$



Zależność prawdopodob. od kąta (główny człon)

$$W(\theta_{\beta\nu}) \propto \left(1 + a \frac{p_{\beta}c}{E_{\beta}} \cos\theta_{\beta\nu} + b \frac{m_e c^2}{E_{\beta}} \right)$$

Współczynniki a i b dla przejścia Fermiego

Adelberger et al., Phys. Rev. Lett. 83 (1999) 1299

„Positron-neutrino correlations in the $0^+ \rightarrow 0^+$ decay of ^{32}Ar ”

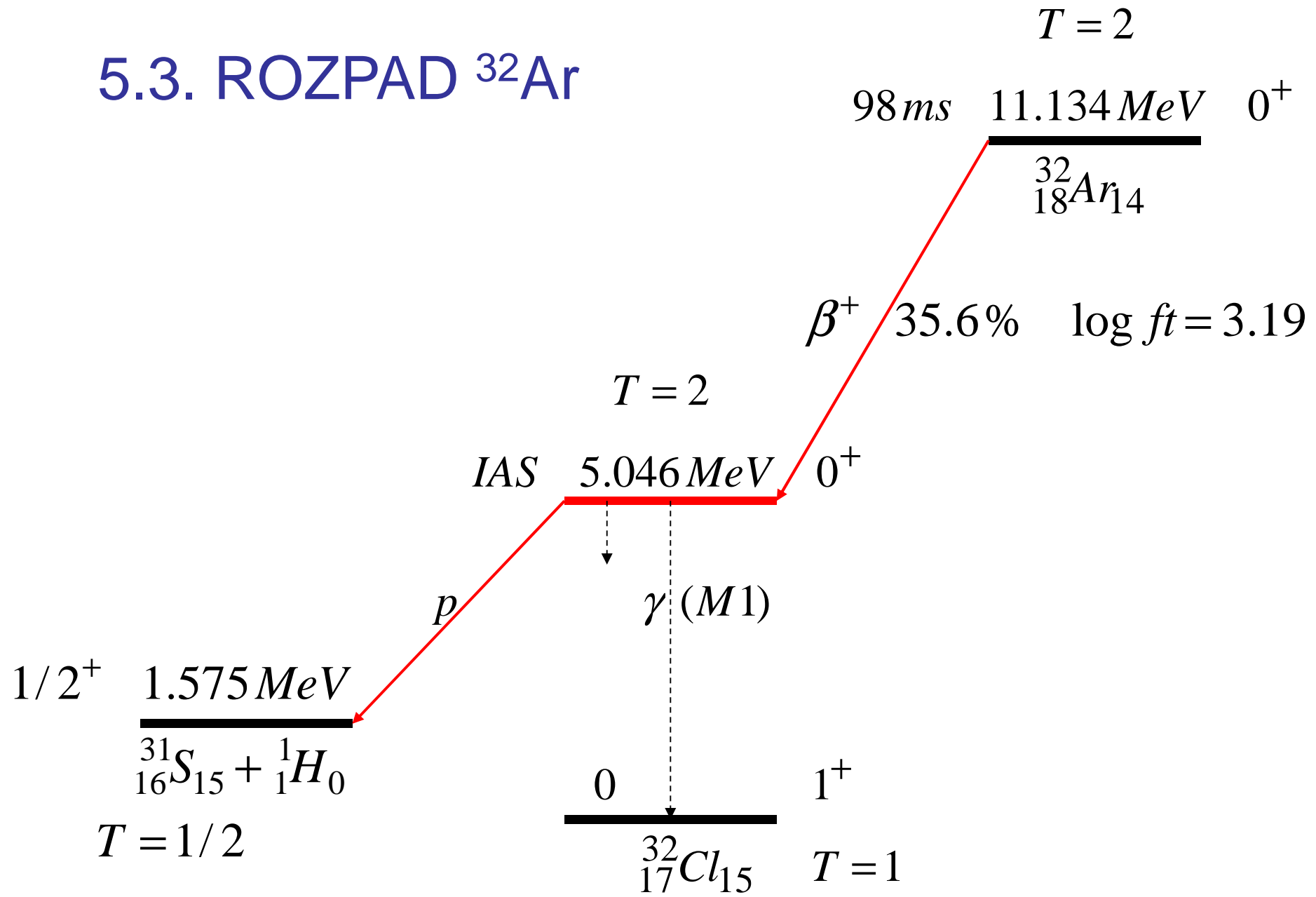
wzory uproszczone przy założeniu, że stałe $C=C'$ są rzeczywiste

$$a_F = \frac{C_V^2 - C_S^2}{C_V^2 + C_S^2} \Rightarrow \begin{cases} C_V = 0 & \Rightarrow a_F = -1 \\ C_S = 0 & \Rightarrow a_F = +1 \end{cases}$$

$$b_F = -2\sqrt{1 - (\alpha Z)^2} \frac{C_V \cdot C_S}{C_V^2 + C_S^2} \approx -2 \frac{C_S}{C_V}$$

↑
jeżeli $C_S \ll C_V$ i $Z=18$

5.3. ROZPAD ^{32}Ar



Isobaric Analog State (definicja „odwrócona”)

$$\left| {}^{32}\text{Cl}, 5.046 \text{ MeV} \right\rangle = |IAS\rangle = \hat{T}_+ \left| {}^{32}\text{Ar} \right\rangle$$

Różnica energii – doświadczenie

$$Q_{WE}({}^{32}\text{Ar}) - 5.046 \text{ MeV} = 6.088 \text{ MeV}$$

Różnica energii – z systematyki *ADNDT* 66(1997)1

$$\Delta E_C - 0.782 \text{ MeV} = 6.099 \text{ MeV}$$

Przejście Fermiego $0^+ \rightarrow 0^+$ przy $T=2$

$$|M_F|^2 = (T - T_3)(T + T_3 + 1) = 4 \quad \Rightarrow \quad \log ft = 3.19$$

Protony opóźnione z rozpadu ^{32}Ar

Energia kinet. protonów z *IAS* (po uwzgl. energii odrzutu)

$$K_p = \frac{(5.046 - 1.575) \text{ MeV}}{1 + 1/31} = 3.3625 \text{ MeV}$$

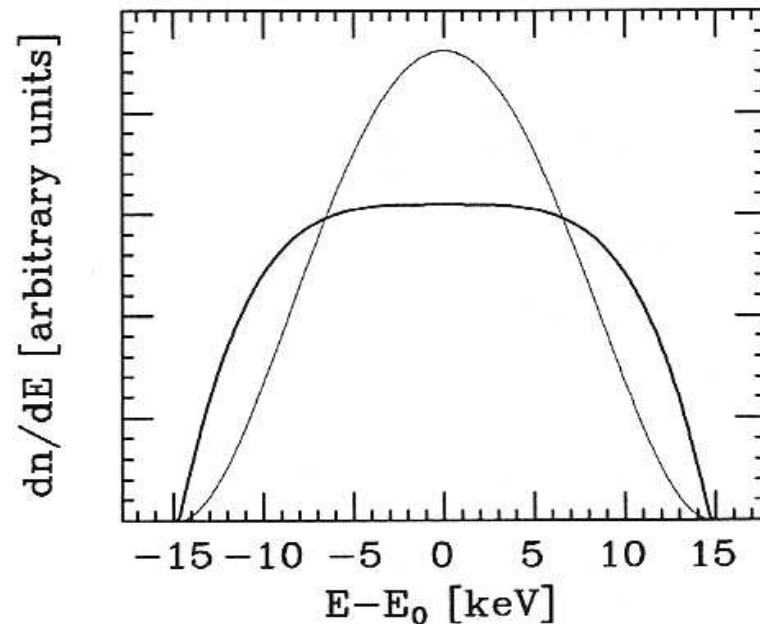
Szerokość stanu *IAS* ze względu na emisję protonu

$$\Gamma_p \approx 20 \text{ eV} \quad \Rightarrow \quad \tau \approx 3 \cdot 10^{-17} \text{ s}$$

Protony emitowane przez jądra końcowe w ruchu
(czas spowalniania $\gg \tau$)

Przewidywany kształt linii protonów z *IAS*

(protony emitowane z jąder w ruchu po emisji cząstki β i ν_e)

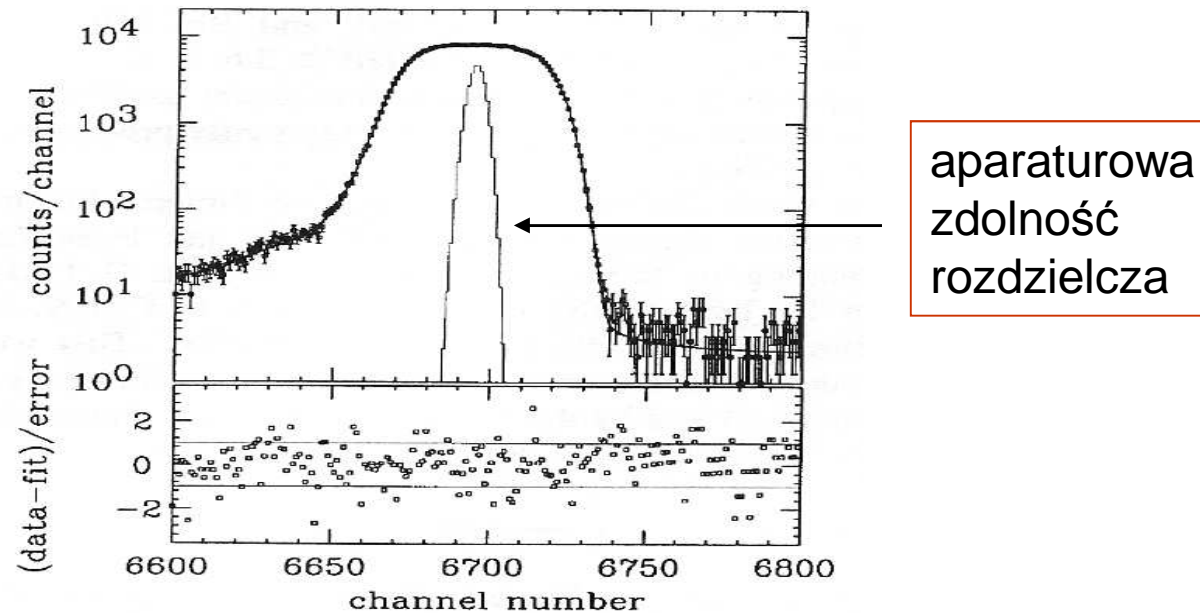


Krzywa gruba: $a_F = +1$, $b_F = 0$, $\Gamma_{IAS} = 0$ (oddz. wektorowe)

Krzywa cienka: $a_F = -1$, $b_F = 0$, $\Gamma_{IAS} = 0$ (oddz. skalarne)

Wyniki eksperymentu

E.G.Adelberger et al., Phys. Rev. Lett. 83 (1999) 1299



$$a_F = 0.999(9) \quad \Rightarrow \quad |C_S / C_V| \leq 3.6 \times 10^{-3}$$

(wynik zaokrąglony, błędy stat. i systemat. dodane przez J.Ż.)

Wynik Adelbergera i in. należałoby zapisać w postaci:

$$\tilde{a} = a / (1 + 0.1923 b_F) = 0.999 \pm 0.009$$

Hardy i Towner, Phys. Rev. Lett. 94 (2005) 092502,
z analizy danych dla przejść $0^+ \rightarrow 0^+$, otrzymali

$$b_F = +0.0001(26)$$

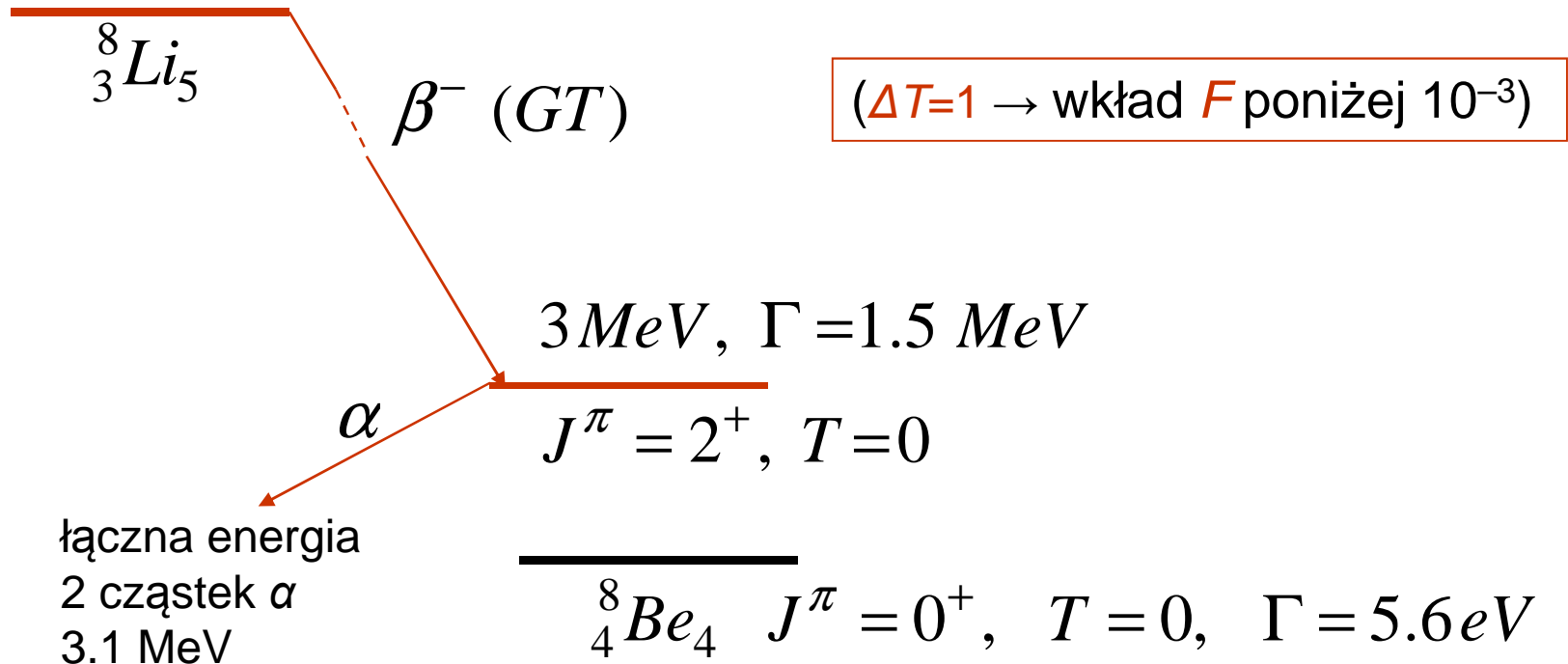
$$|C_S / C_V| \leq 1.3 \times 10^{-3}$$

(wartość $b_F \neq 0$ miałaby wpływ na kształt widma i wartość funkcji f ;
ten wpływ byłby różny dla różnych przejść $0^+ \rightarrow 0^+$,
a to przyniosłoby zwiększony rozrzut wartości FT , którego nie stwierdzono)

5.4. Rozpad ${}^8\text{Li}$ – poszukiwanie oddz. T

Sternberg et al., Phys. Rev. Lett. 115 (2015) 182501
 „Limit on tensor currents from ${}^8\text{Li}$ β decay”
 (Argonne National Laboratory)

$$Q_\beta = 16 \text{ MeV}, T_{1/2} = 0.84 \text{ s}, J^\pi = 2^+, T = 1$$



Pytanie: czy do przejść Gamowa- Teller
 ma wkład oddziaływanie tensorowe ?

$$\begin{aligned}
 H'_\beta &= H'_T + H'_A = \\
 &\frac{G_{\beta F}}{\sqrt{2}} \left[\frac{1}{2} \sum_{\mu=1}^4 \sum_{\lambda=1}^4 (\bar{\psi}_p \sigma_{\lambda\mu} \gamma_\mu \psi_n) (\bar{\psi}_e \sigma_{\lambda\mu} (C_T + C'_T \gamma_5) \psi_\nu) \right. \\
 &\left. - \sum_{\mu=1}^4 (\bar{\psi}_p \gamma_\mu \gamma_5 \psi_n) (\bar{\psi}_e \gamma_\mu \gamma_5 (C_A + C'_A \gamma_5) \psi_\nu) \right] + h.c.
 \end{aligned}$$

$$\sigma_{\lambda\mu} = -\frac{1}{2} i (\gamma_\lambda \gamma_\mu - \gamma_\mu \gamma_\lambda)$$

Badanie korelacji kątowych beta-neutrino

współcz. korelacji $a_{GT} = \frac{1}{3} \frac{|C_T|^2 - |C_A|^2}{|C_T|^2 + |C_A|^2}$

Mierzone korelacje β - α - $\alpha \rightarrow$ kompletna kinematyka

(po rozpadzie β energia odrzutu ${}^8\text{Be}$ do 12 keV $\rightarrow \Delta K_\alpha$ do 400 keV)

$$a_{GT} = -0.3342 \pm 0.0026_{stat} \pm 0.0029_{syst}$$

$$\tilde{a}_{GT} \rightarrow a_{GT} / (1 + b \cdot m_e / \langle E_e \rangle)$$

$$C_T = -C'_T \Rightarrow b = 0 \Rightarrow |C_T / C_A|^2 < 0.011$$

Autorzy biorą pod uwagę skrajną możliwość sprzężenia do prawoskrętnego neutrino, co oznaczałoby znikanie b .

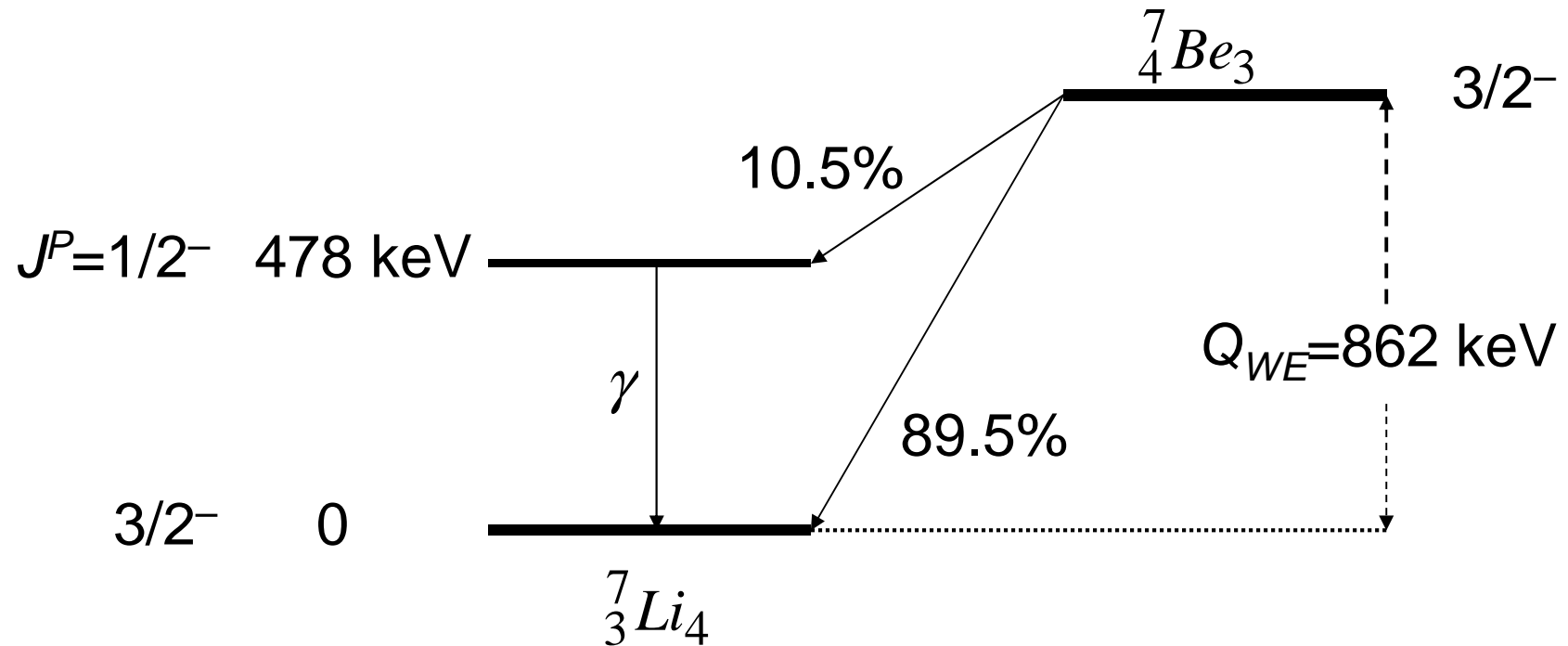
Wykład 6

WYCHWYT ELEKTRONU I MOŻLIWOŚĆ POMIARU MASY NEUTRINA

- 6.1. Przykład: przemiana *WE* izotopu ${}^7\text{Be}$
- 6.2. Zastosowanie złotej reguły Fermiego
- 6.3. Element macierzowy przejścia
- 6.4. Funkcje falowe elektronu
- 6.5. Wychwyt elektronu *K*
- 6.6. Uwzględnienie wyższych powłok
- 6.7. Konkurencja *WE* i przemiany β^+
- 6.8. Porównawczy okres półrozpadu *ft*
- 6.9. *WE* w ${}^{163}\text{Ho}$ i plany pomiaru masy neutrina

6.1. PRZEMIANA *WE* IZOTOPU ${}^7\text{Be}$

Struktura atomu berylu: $1s^2, 2s^2$



Stan podst. ${}^7\text{Be}$ stanem analogowym stanu podst. ${}^7\text{Li}$ (Wykład 4).

Okres półrozpadu ${}^7\text{Be}$

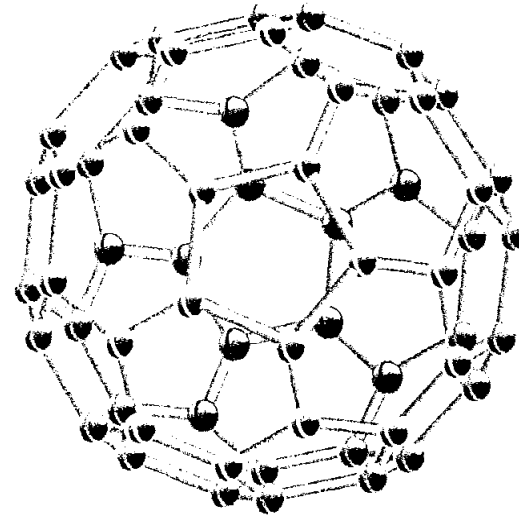
T.Ohtsuki et al., Phys. Rev. Lett. 93 (2004) 112501

Dla ${}^7\text{Be}$ w berylu metalicznym $T_{1/2} = 53.12(5)$ dni

Dla ${}^7\text{Be}$ wewnątrz „klatki” C_{60} $T_{1/2} = 52,68(5)$ dni

Fulleren C_{60}

60 atomów węgla związanych
w strukturze wielościennej
złożonej z pięciokątów
i sześciokątów.



Wpływ środowiska na $T_{1/2} ({}^7\text{Be})$ – również praca warszawska:
C. Mazzocchi et al., Acta Phys. Pol. 43 (2011) 279

Parcjalne półokresy rozpadu t

$$T_{1/2}({}^7\text{Be}) = 53.12 \text{ dni} = 4.59 \times 10^6 \text{ s}$$

Przejście $3/2^- \rightarrow 1/2^-$ (GT)

$$t = T_{1/2} / 0.105 = 4.4 \times 10^7 \text{ s}$$

$$(\log ft = 4.5)$$



p-kt 6.8



Przejście $3/2^- \rightarrow 3/2^-$ ($GT \& F$)

$$t = T_{1/2} / 0.895 = 5.1 \times 10^6 \text{ s}$$

$$(\log ft = 4.3)$$

Parcjalna stała rozpadu: $\lambda = \ln 2 / t$

Wykluczenie przemiany β^+ w rozpadzie ${}^7\text{Be}$

Energia rozpadu nuklidu (Z, N) do nuklidu $(Z-1, N+1)$ na drodze WE jest określona przez różnicę mas obojętnych atomów

$$Q_{WE} = (M_{Z,N} - M_{Z-1,N+1})c^2$$

Związek między energią rozpadu β^+ i energią rozpadu WE

$$Q_{\beta^+} = Q_{WE} - \underbrace{2m_e c^2}_{1022\text{keV}}$$

Przemiana β^+ niemożliwa, jeżeli $Q_{WE} < 1022\text{ keV}$, jak dla ${}^7\text{Be}$ (dotyczy to tym bardziej przejścia do stanu wzbudzonego ${}^7\text{Li}$).

6.2. ZASTOSOWANIE ZŁOTEJ REGUŁY FERMIEGO

gęstość stanów końcowych

Staća rozpadu dla **WE** z powłoki **x**:

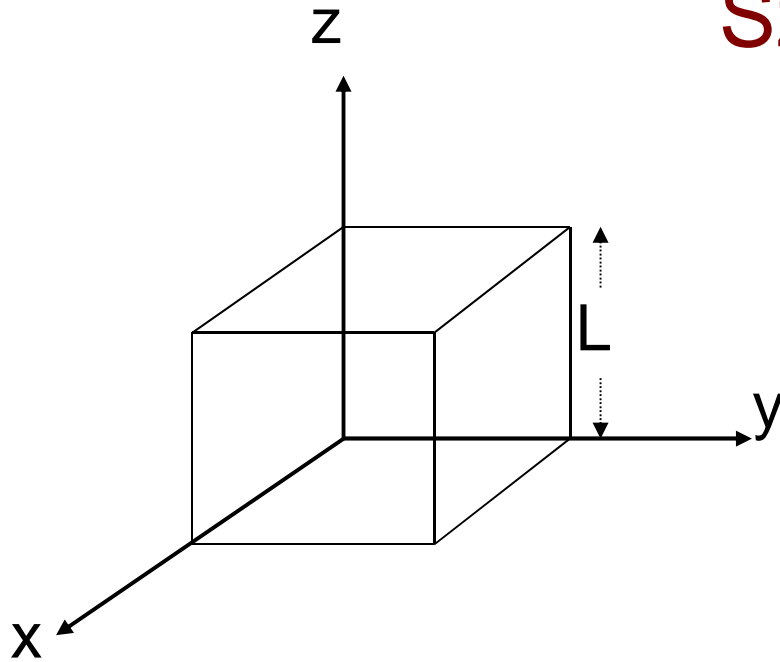
$$\lambda_x = \frac{2\pi}{\hbar} |H_{fi}(x)|^2 \rho(\tilde{E})$$

↑
element macierzowy przejścia

Pełna stała rozpadu **WE**

$$\lambda_{WE} = \sum_x \lambda_x = \underbrace{\lambda_K + \lambda_L + \lambda_M}_{\substack{^{54}_{27}\text{Co} \\ ^7_4\text{Be}, ^{14}_8\text{O}}} + \dots$$

Sześcián kwantowania



w objętości $V = L^3$
jedna cząstka
swobodna (**neutrino**)
o pędzie

$$\vec{q} = \vec{k} \hbar.$$

Fala płaska $u = \frac{1}{\sqrt{V}} e^{i\vec{k}\vec{r}}$ $\int_V u^* u d\tau = 1$

Założenie: $L \gg 2\pi/k =$ długość fali de Broglie'a

Wartość u jednakowa w odpowiadających sobie punktach przeciwległych ścian sześciąnu.

Gęstość stanów neutrina

$$\rho(E) = dN / dE$$

Liczba stanów w elemencie objętości przestrzeni fazowej

$$dN = \frac{\textit{element objętości}}{(2\pi\hbar)^3} = \frac{dV q^2 dq d\Omega}{(2\pi\hbar)^3}$$

Całkujemy po objętości i po kącie bryłowym,

przyjmujemy $m_\nu = 0 \Rightarrow E_\nu = K_\nu = qc, \quad dE_\nu = c dq$

$$\rho(E) = V \frac{4\pi q^2}{(2\pi\hbar)^3} = \frac{V}{2\pi^2 \hbar^3 c^3} K_\nu^2$$

Element macierzowy przejścia

Pełny hamiltonian układu

$$H = H_0 + H'$$



oddziaływanie słabe

$$H' = G_{\beta F}$$



stała sprzężenia wg Fermiego (1934)

Element macierzowy przejścia (całkowanie po objętości jądra)

$$H'_{fi} = \int \psi_f^* H' \psi_i d\tau$$

i – stan początkowy, f – stan końcowy

Stała rozpadu na drodze WE z powłoki x
dla „czystego” przejścia F

$$\lambda_x = \frac{V}{2\pi^2 \hbar^4 c^3} G_{\beta F}^2 \left| \int \psi_f^* \psi_i d\tau \right|^2 (K_\nu^x)^2$$

(całkowanie po objętości jądra)

Energia kinetyczna neutrina po wychwycie e^- z powłoki x

$$K_\nu^x = Q_{WE} - \underset{\substack{\uparrow \\ \text{energia wzbudzenia} \\ \text{jądra końcowego}}}{E^*} - \underset{\substack{\uparrow \\ \text{energia wiązania elektronu} \\ \text{na powłoce } x \text{ atomu końcowego}}}{b_x} (-m_\nu c^2)$$

(na razie zakładamy $m_\nu = 0$)

6.3. ELEMENT MACIERZOWY PRZEJŚCIA

dla „czystego” przejścia Fermiego
(M_F – jądrowy element macierzowy)

$$H'_{fi} = \frac{G_{\beta F}}{\sqrt{V}} \varphi_e(0) \cdot M_F$$

Zastąpiono tu: funkcję falową elektronu, φ_e , jej wartością w centrum jądra, a funkcję falową neutrina przez $1/\sqrt{V}$ (dobre przybliżenie, slajd 15).

Przypomnienie (Wykłady 2 i 3):

$$\begin{cases} G_{\beta F} = G_F \cdot V_{ud} \approx G_F \cdot \cos \theta_C \\ \Delta T = 0 \Rightarrow M_F = (T - T_3)(T + T_3 + 1) \end{cases}$$

Uwzględnienie przejść Gamowa-Tellera

(→ Wykłady 2 i 3)

$$|H'_{fi}|^2 = \frac{G_{\beta F}^2}{V} |\varphi_e(0)|^2 |M|^2$$

$$G_{\beta F}^2 = G_F^2 |V_{ud}|^2$$

$$|M|^2 = |M_F|^2 + R^2 |M_{GT}|^2$$

$$R^2 = G_{\beta GT}^2 / G_{\beta F}^2 = G_A^2 / G_V^2$$

6.4. FUNKCJE FALOWE ELEKTRONU

z podręcznika nierelatywistycznej mechaniki kwantowej

Funkcje falowe wodoropodobne: $\psi_{nlm} = R_{nl}(r) Y_{lm}(\theta, \phi)$

Pierwsze funkcje kuliste

$$\begin{cases} Y_{00} = 1/\sqrt{4\pi} \\ Y_{10} = \sqrt{3/4\pi} \cos \theta \\ Y_{1,\pm 1} = \sqrt{8/4\pi} \sin \theta e^{\pm i\phi} \end{cases}$$

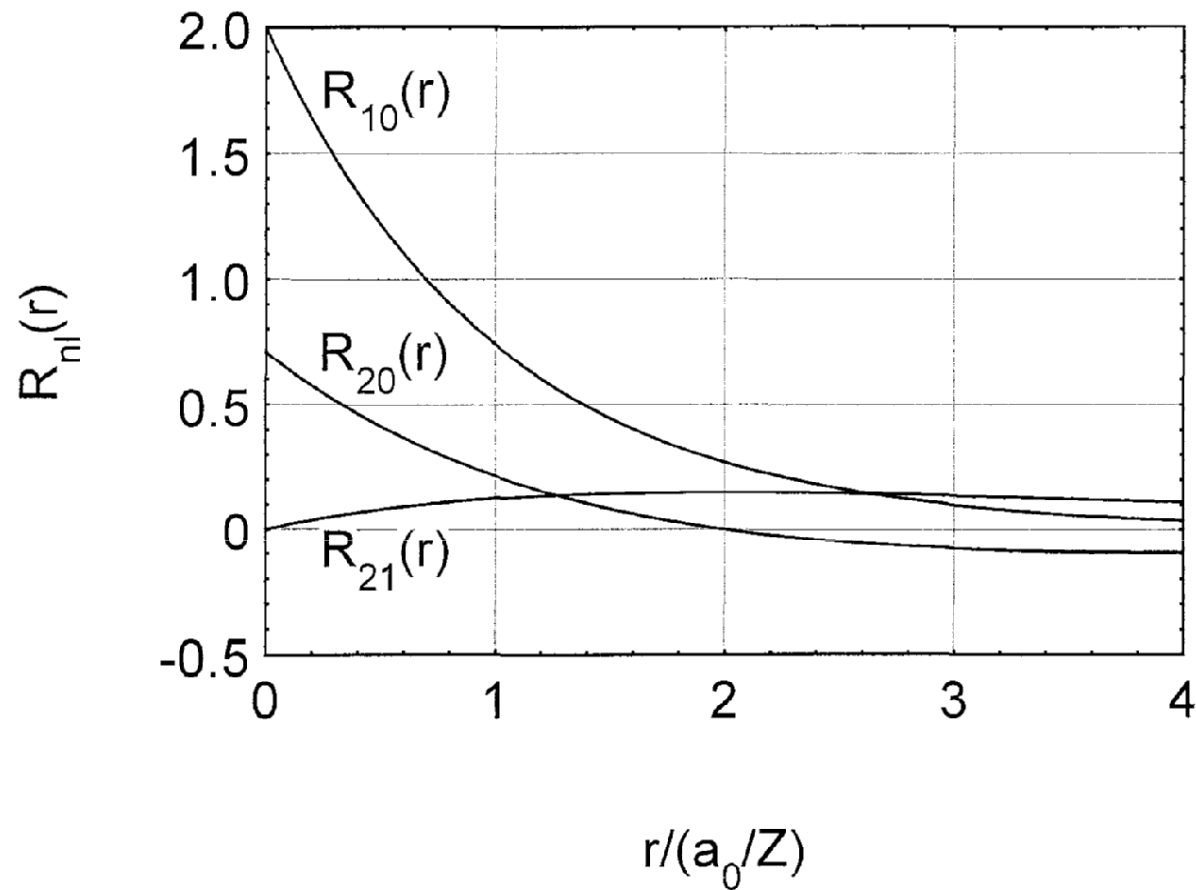
Radialne funkcje falowe

$$R_{10}(r) = (Z/a_0)^{3/2} \times 2 \exp(-Zr/2a_0)$$

$$R_{20}(r) = (Z/2a_0)^{3/2} \times 2 (1 - Zr/2a_0) \exp(-Zr/2a_0)$$

$$R_{21}(r) = (Z/2a_0)^{3/2} (Zr/\sqrt{3} a_0) \exp(-Zr/2a_0)$$

Przebieg radialnych funkcji falowych



Promień 1. orbity Bohra: $a_0 = 4\pi \varepsilon_0 \hbar^2 / m_e e^2 = 0.529 \times 10^{-10} \text{ m}$

6.5. WYCHWYT ELEKTRONU **K**

$$\varphi_e^{1s}(r) = \psi_{000} = Y_{00} R_{10}(r) = \frac{1}{\sqrt{4\pi}} \left(\frac{Z}{a_0}\right)^{3/2} 2 \exp\left(-\frac{Zr}{a_0}\right)$$

Zastąpienie funkcji przez jej wartość dla **r = 0**:

$$\varphi_e^{1s}(0) = \frac{1}{\sqrt{\pi}} \left(\frac{Z}{a_0}\right)^{3/2} = \frac{1}{\sqrt{\pi}} \left(\frac{Z m_e e^2}{4\pi\epsilon_0 \hbar^2}\right)^{3/2}$$

Uzasadnienie dla **³⁷Ar**:

$$R = 1.2 \times A^{1/3} \text{ fm} = 4.0 \text{ fm}$$

$$r = 4.0 \text{ fm}, \quad Z = 18 \quad \Rightarrow \quad \exp(-Z \cdot r / a_0) \approx 0.999$$

Stała rozpadu dla wychwytu K

$$\lambda_K \equiv \lambda_{1s} = \frac{2\pi}{\hbar} \underbrace{G_{\beta F}^2 \frac{|\varphi_e^{1s}(0)|^2}{V} |M|^2}_{|H'_{fi}|^2} \underbrace{\frac{V}{2\pi^2 \hbar^3 c^3} (K_\nu^{1s})^2}_{\rho(\tilde{E})}$$

Po wyrażeniu energii w jednostkach $m_e c^2$ (!)

$$\lambda_K = G_{\beta F}^2 \frac{\ln 2}{D} |M|^2 f_K$$

$$f_K = |\varphi_e^{1s}(0)|^2 (K_\nu^{1s})^2$$

$$D = \frac{2\pi^3 \hbar^7 \ln 2}{m_e^5 c^4} = 1.230580(2) \times 10^{-120} \text{ J m}^3 \text{ s}$$

FUNKCJA f_K DLA WYCHWYTU K

W przybliżeniu nierelatywistycznym

$$\begin{aligned} f_K &= 2\pi \left(\frac{Z e^2}{4\pi \varepsilon_0 \hbar c} \right)^3 (K_\nu^{1s})^2 \\ &= 2.44 \times 10^{-6} Z^3 (K_\nu^{1s})^2 \end{aligned}$$



$$f_K / (K_\nu^{1s})^2 = 0.043;$$

Relatywistycznie, z uwzględnieniem rozmiarów jądra (Dzhelepov i in.)

$$f_K / (K_\nu^{1s})^2 = 0.0585$$

6.6. UWZGLĘDNIENIE WYŻSZYCH POWŁOK

dla przejść dozwolonych

$$f_{WE} = \sum_x f_x = f_K + f_{L1} + f_{L2} + f_{M1} + f_{M2} + \dots$$

$$f_x = \left| \varphi_e^x(0) \right|^2 (K_v^x)^2$$

$$\lambda_{WE} = \lambda_K + \lambda_{L1} + \lambda_{L2} + \lambda_{M1} + \lambda_{M2} + \dots$$

Dla dużych energii przejścia główny (dla ${}^7\text{Be}$ – wyłączny) przyczynek do λ_{WE} pochodzi od elektronów K i L_1 :

$$\lambda_{WE} \approx \lambda_K (1 + \lambda_{2s} / \lambda_{1s})$$

Oszacowanie wkładu podpowłoki L_1

dla przejścia ze stanu podstawowego do stanu podstawowego
(przy dużym Q_{WE})

$$\frac{\lambda_{2s}}{\lambda_{1s}} = \frac{|\bar{\varphi}_e^{2s}(0)|^2}{|\varphi_e^{1s}(0)|^2} \left(\frac{K_\nu^{2s}}{K_\nu^{1s}} \right)^2 = \frac{1}{8} \left(\frac{Q_{WE} - b_{2s}}{Q_{WE} - b_{1s}} \right)^2 \approx \frac{1}{8}$$

Np. ^{54}Co : $Q_{WE} = 8244.6 \text{ keV}$, $b_{1s} \approx 7.1 \text{ keV}$, $b_{2s} \approx 0.85 \text{ keV}$

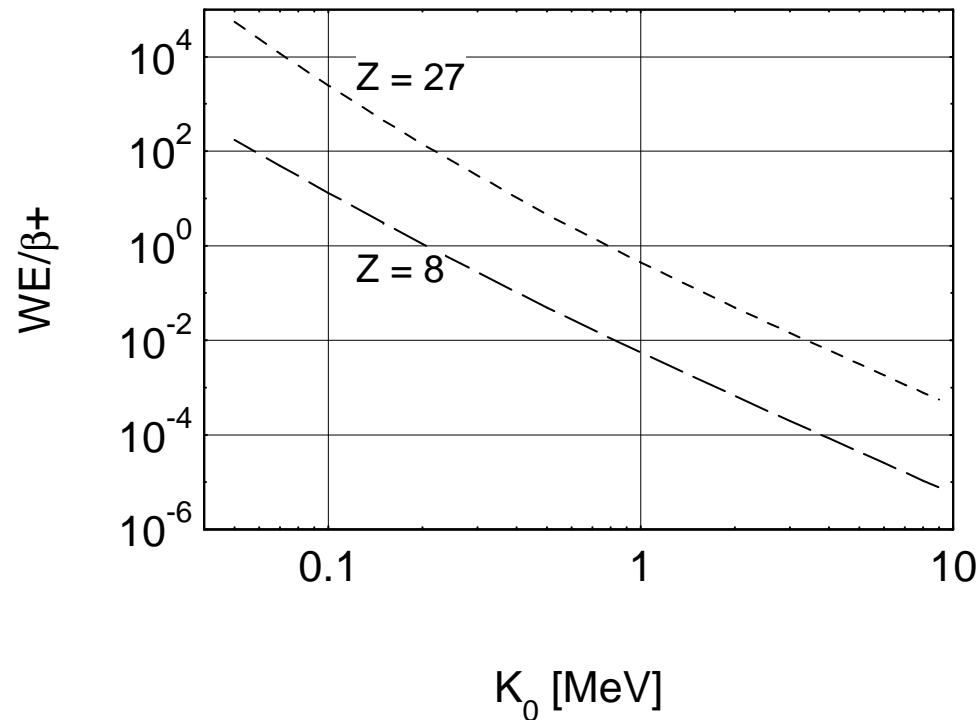
energie wiązania elektronów ($_{26}\text{Fe}$)

Uwaga: $\bar{\varphi}_e^{2s}(0)$ – wartość f. falowej uśrednionej po θ (dla $r=0$)
poprzez uwzględnienie, że

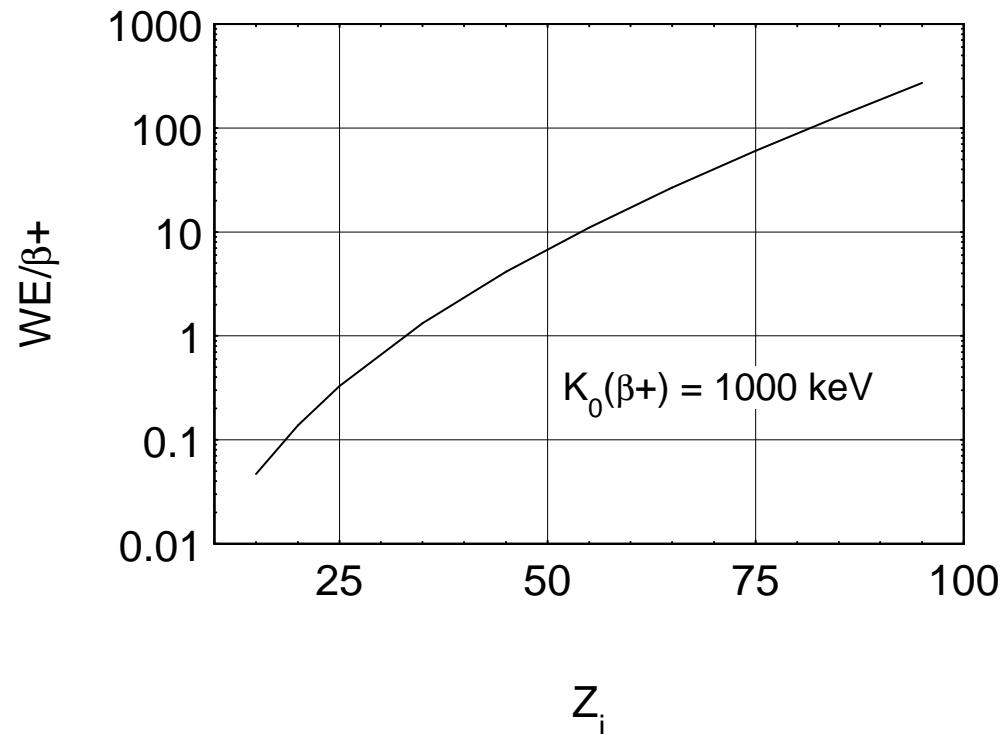
$$\int_0^\pi \cos^2 \theta \cdot \sin \theta \, d\theta / \int_0^\pi \sin \theta \, d\theta = 1/3$$

6.7. KONKURENCJA WE I PRZEMIANY β^+

Stosunek prawdopodobieństwa wychwytu elektronu i przemiany β^+ w funkcji energii granicznej widma pozytonów dla ustalonej liczby Z nuklidu początkowego 8 i 27 (teoria: Dzhelepov et al., Beta-processy, Nauka, Leningrad 1972).



Stosunek prawdopodobieństwa wychwytu elektronu i przemiany β^+ w funkcji liczby atomowej Z nuklidu początkowego przy ustalonej energii granicznej widma pozytonów (teoria).



6.8. PORÓWNAWCZY OKRES PÓŁROZPADU (*ft*)

(i) Czysty wychwyty elektronu $(Q_{WE} - E^* \leq 2m_e c^2)$

$$\lambda_{WE} = \lambda_K + \lambda_L + \dots = G_{\beta F}^2 \frac{\ln 2}{D} |M|^2 f = \frac{\ln 2}{t}$$

$$f = f_{WE} = \sum_x f_x = f_K + f_{L1} + \dots$$

(ii) Uwzględnienie przemiany β^+ $(Q_{WE} - E^* > 2m_e c^2)$

$$\lambda = \lambda_{WE} + \lambda_{\beta^+} = G_{\beta F}^2 \frac{\ln 2}{D} |M|^2 f = \frac{\ln 2}{t}$$

$$f = f_{WE} + f_{\beta^+}$$

Porównawczy okres półrozpadu w sekundach

$$ft = \frac{D}{G_{\beta F}^2 |M|^2} = \frac{1.23058 \times 10^{-120} \text{ J m}^3}{G_{\beta F}^2 |M|^2} \text{ s}$$

nie zależy od energii i od Z , zmienia się o rzędy wielkości.

Wartości $\log ft$

- dla przejść superdozwolonych (wykład 4) 3.5 ± 0.5
- dla przejść dozwolonych (np. ${}^7\text{Be}$) 5 ± 1
- dla przejść wzbronionych ($l_{lept} > 0$) > 6

6.9. *WE* W ^{163}Ho I PLANY POMIARU MASY NEUTRINA

B. Alpert et al., Eur. Phys. J. C75 (2015) 112

„The electron capture decay of ^{163}Ho to measure the electron neutrino mass with **sub-eV** sensitivity”

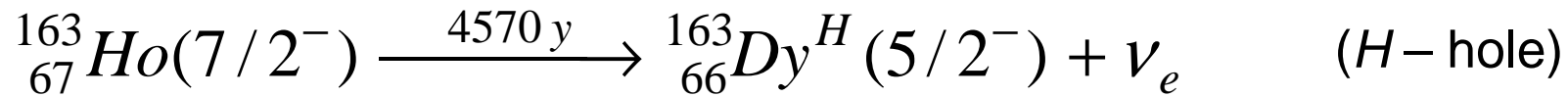
Projekt **HOLMES** finansowany przez *European Research Council* grant → prof. S. Ragazzi (2013)

Istituto Nazionale di Fisica Nuclear (INFN), Sezione di Milano-Bicocca (współpraca 11 instytucji z różnych krajów, w tym USA)

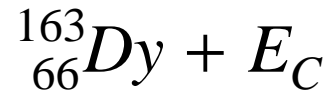
Plan zastosowania kriogenicznego kalorymetru do pomiaru promieniowania emitowanego w rozpadzie $^{163}\text{Ho} \rightarrow ^{163}\text{Dy}$, z wyłączeniem neutrino.

Idea: de Rujula & Lusignoli, Phys. Lett. 118B (1982) 429

Rozpad na drodze wychwytu elektronu



↓



Energia rozpadu – rozbieżne wyniki:

$$Q_{WE} = 2555 \pm 16 \text{ eV} \quad \text{Reich et al., Nucl. Data Sheets 111(2010)1211}$$

$$\left\{ \begin{array}{l} Q_{WE} = 2833 \pm 30(\text{stat}) \pm 15(\text{syst}) \text{ eV} \\ \text{S. Eliseev et al., Phys. Rev. Lett. 115 (2015) 062501} \\ \text{Pomiar w GSI (Darmstadt), wykorzystanie pułapki Penninga (SHIPTRAP)} \end{array} \right.$$

$$Q_{WE} = E_C + E_\nu = E_C + K_\nu + m_\nu c^2 \quad (E_C \approx b_x)$$

Wychwył elektronu z powłoki M i powłok wyŹszych
 (b_x – energia wiązania e^- na powłoce x w dysprozie, $Z=66$)

stan	$M1$	$M2$	$N1$	$N2$	$O1$
$b_x(\text{eV})$	2047	1845	420	340	50
$ \varphi_e(0) ^2$ *)	0.0708	0.0036	0.0164	0.0008	-

*) W. Bambynek et al., Rev. Mod. Phys. 49 (1977) 77

WE ze stanu x towarzyszy głównie emisja

- elektronów Kostera-Croniga,
- elektronów Augera;

wydajność fluorescencji $< 10^{-3}$.

^{163}Ho – widmo elektronów emitowanych po WE

wyrażenie przybliżone: Rujula & Lusignoli, Phys. Lett. 118B (1982) 429

(patrz również: Wykład 7, p-kt 7.2)

$$\frac{dW}{dE_C} \propto (Q_{WE} - E_C) \sqrt{(Q_{WE} - E_C)^2 - m_\nu^2 c^4}$$
$$\times \sum_H \left| \varphi_e^H \right|^2 \frac{\Gamma_H / 2\pi}{(Q_{WE} - E_C)^2 + \Gamma_H^2 / 4}$$

(zmiana oznaczeń: $x \rightarrow H$, $b_x \rightarrow E_C$)

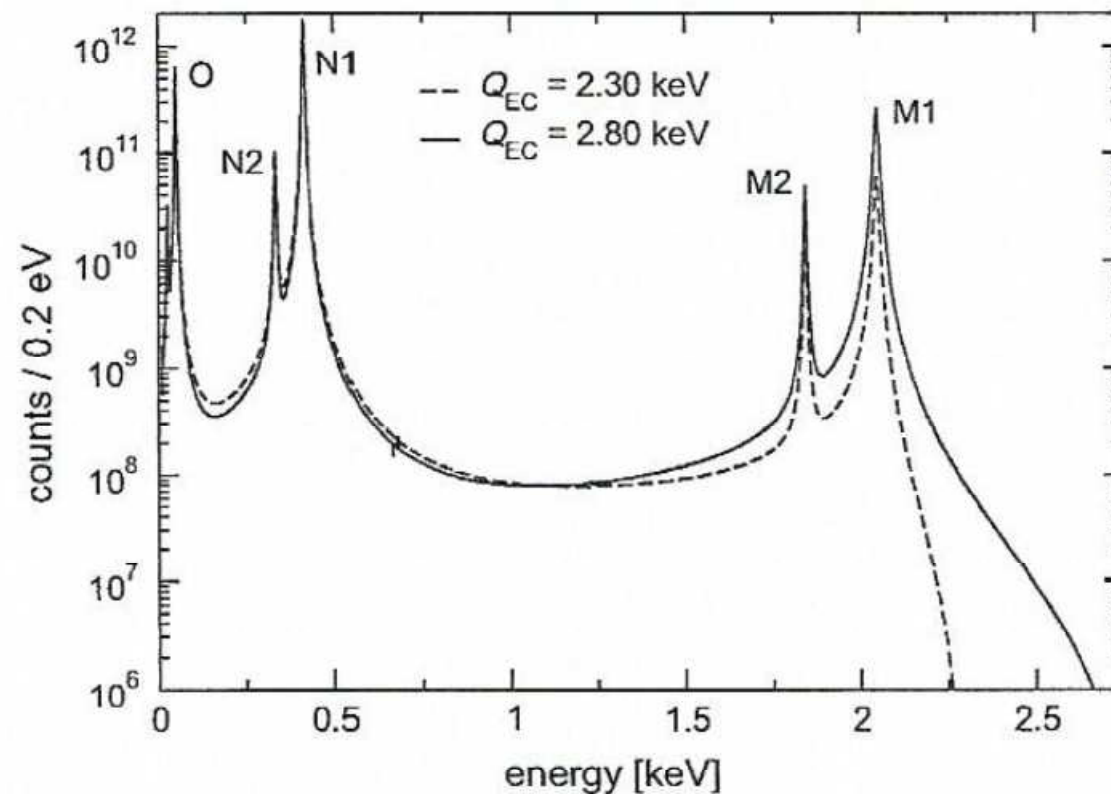
Dokładniejszy wzór w pracy: Alpert et al., EPJ C75 (2015) 112

(uwzględnia efekt elektronowej wymiany i przekrycia funkcji falowych)

Widmo „kalorymetryczne” ^{163}Ho

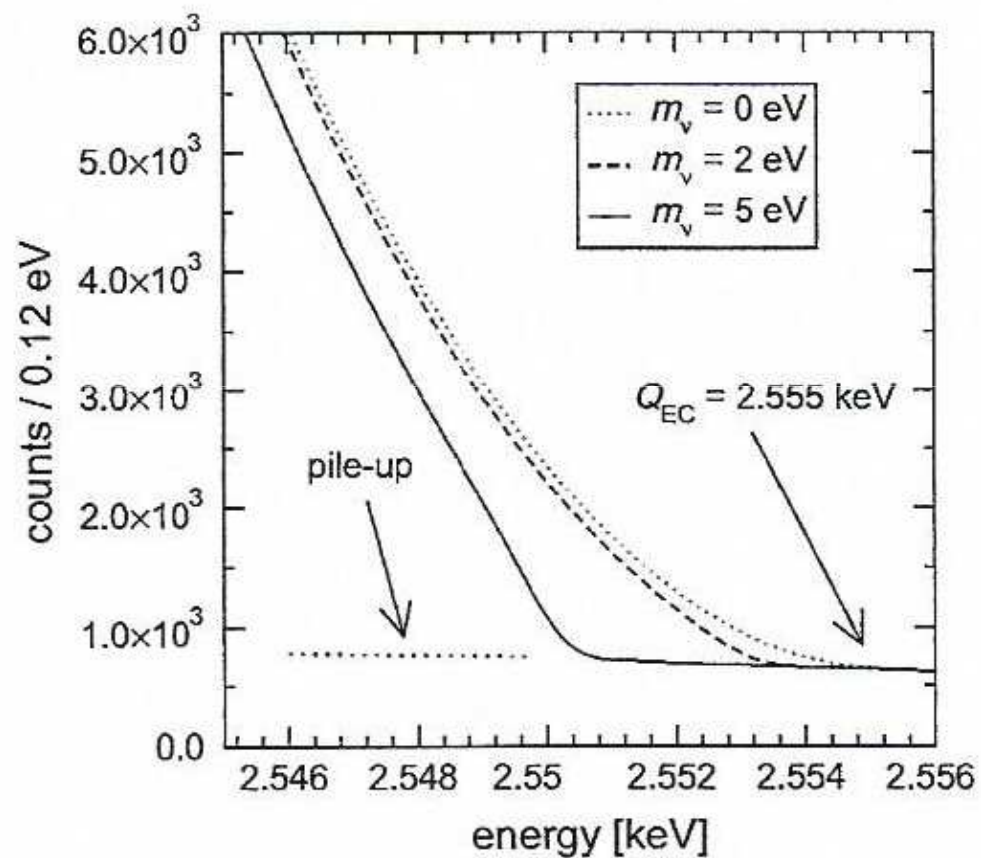
(Alpert et al., EPJ C75 (2015) 112)

obliczone przy założeniu zdolności rozdzielczej $\Delta_{\text{FWHM}} = 1 \text{ eV}$
i uwzględnieniu szerokości naturalnej poziomów (kilka eV)



Końcowy fragment „kalorymetrycznego” widma ^{163}Ho

obliczony (poprzedni slajd) przy założeniu różnych wartości m_ν



Etapy przygotowania eksperymentu

1. **Wytworzenie ^{163}Ho** (niezwykle ważna czystość źródła!)

$^{162}\text{Er}(n,\gamma)^{163}\text{Er} \rightarrow ^{163}\text{Ho}$ – ILL Grenoble

chemiczne wydzielenie Ho z Er_2O_3 – PSI Villingen (Szwajcaria)

problem: nieznaną przekrój czynny reakcji $^{163}\text{Ho}(n,\gamma)^{164}\text{Ho}$

2. **Wprowadzenie ^{163}Ho do absorbenta** mikrokalorymetru

specjalny implantator – INFN Genua

absorbent: warstwa Au z implantowanym ^{163}Ho obłożona warstwami Bi

6.5×10^{13} atomów ^{163}Ho w pojedynczym detektorze

aktywność 300 rozpadów na sekundę

izomer ^{166m}Ho ($T_{1/2} = 1200 \text{ a}$) wykorzystany dla testowania systemu, ale musi być dokładnie wyeliminowany ze źródła ^{163}Ho

3. Zastosowanie detektorów TES (Transition Edge Sensors)

Współpraca Nat. Inst. for Standard and Technology – Boulder (USA) i INFN Genua

- TES** – detektor z silną zależnością oporu od temperatury dla przejścia fazowego nadprzewodnika (tu Mo/Cu na membranie SiN_x)
- w bezpośrednim kontakcie z absorbentem (Au/Bi) zawierającym ^{163}Ho .

Zależność oporu od temperatury TES („na oko” – z wykresu)

T (mK)	98	100	102	104
R (Ω)	~ 0.3	~ 4.8	~ 9.7	~ 10

Prąd płynący przez **TES** → temp. robocza T_r nieco poniżej **100 mK**

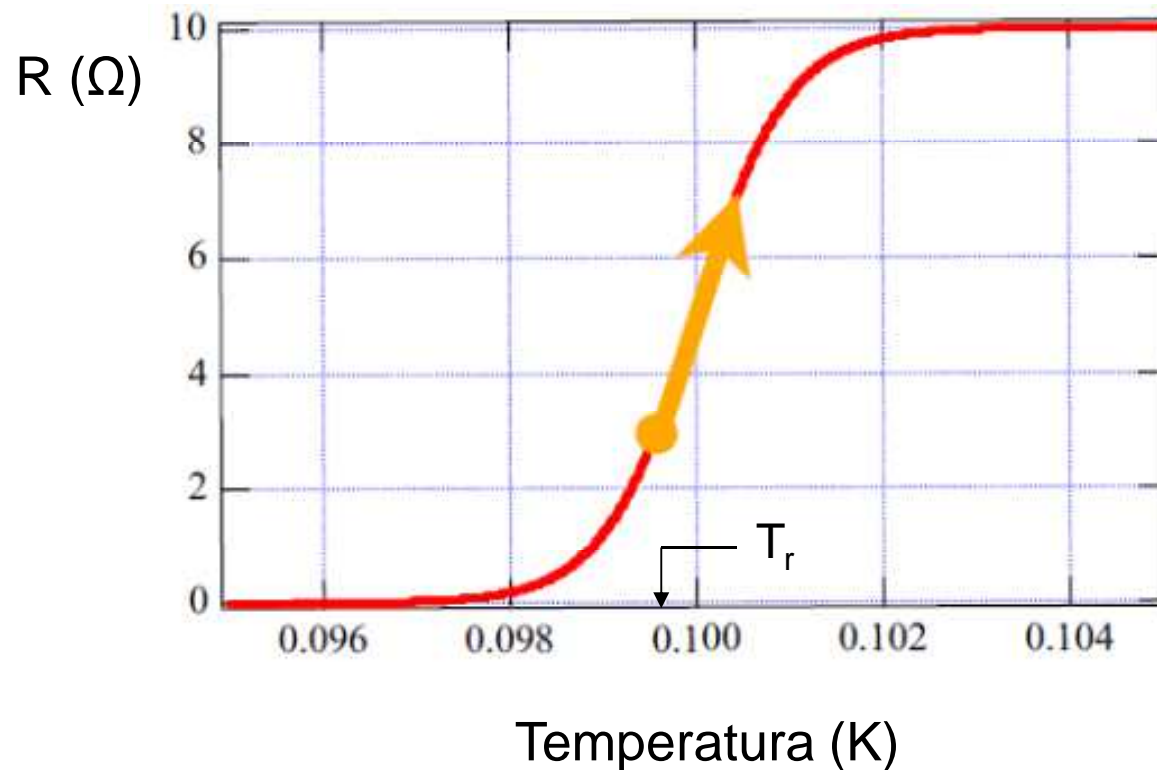
Detekcja elektronu: krótkotrwały wzrost temp. → wzrost oporu
→ rejestrowany spadek prądu płynącego przez **TES**,

Powrót do T_r („zimna kąpiel”)

A. Giachero

The electron neutrino mass measurement
by the Holmes experiment

Status report, June 2014 (internet)



Planowane pomiary

Pierwsza seria: 3 lata, Mediolan

(lub podziemne lab. Gran Sasso, gdyby tło było zbyt duże)

Zastosowanie 10^3 detektorów TES

Zdolność rozdzielcza: energetyczna 1 eV , czasowa – $1 \mu\text{s}$

Rejestracja 3×10^{13} rozpadów,

przewidywana czułość pomiaru m_ν na poziomie $0.4 \text{ eV}/c^2$

Dalsze badania

po udoskonaleniu układu pomiarowego możliwość

polepszenia czułości do $0.1 \text{ eV}/c^2$

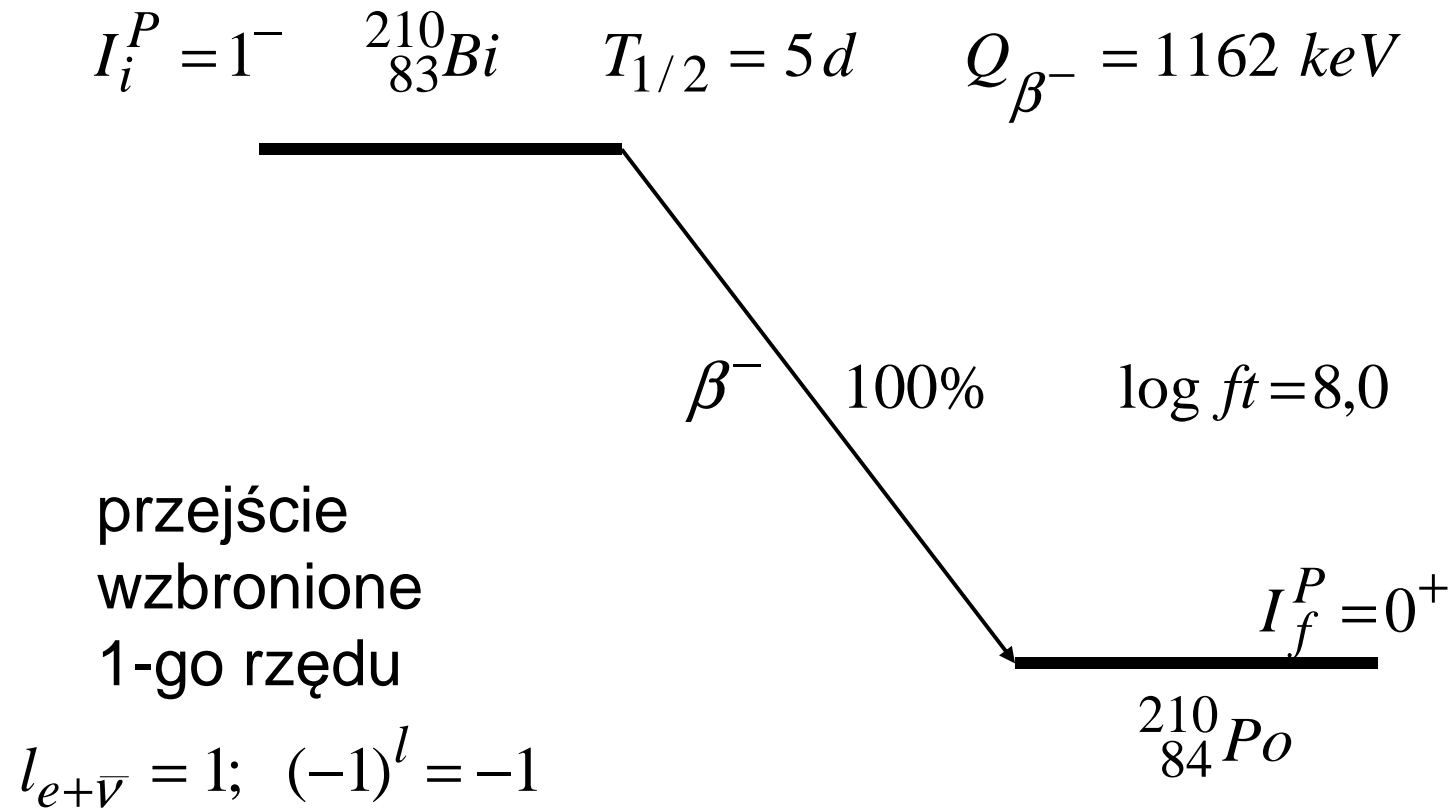
Wykład 7

NEUTRINO I LICZBA LEPTONOWA

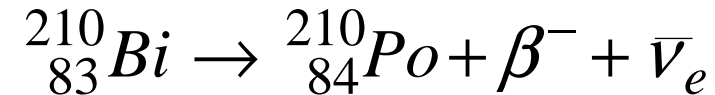
- 7.1. Przemiana beta i prawa zachowania (RaE i ^{37}Ar)
- 7.2. Górna granica masy neutrina
- 7.3. Odróżnienie neutrina i antyneutrina
- 7.4. Odkrycie antyneutrina elektronowego
- 7.5. Odkrycie niezachowania parzystości
- 7.6. Skrętność neutrina
- 7.7. Trzy rodziny (zapachy) neutrin i trzy liczby leptonowe
Uzupełnienie
- 7.8. Szkic dwuskładnikowej teorii neutrina

7.1. Przemiana β i prawa zachowania

Schemat rozpadu RaE tj. ^{210}Bi



Problem zachowania energii



Ch.D.Ellis & W.A.Wooster, Proc. Roy. Soc. 117(1927)109
„The average energy desintegration of radium E”

- zastosowanie mikrokalorymetru dla pomiaru średniej energii wydzielanej w jednym akcie przemiany RaE ,
- stwierdzenie, że ta energia wynosi ok. 30% wartości K_0 (w zgodności z wcześniejszą obserwacją ciągłości widma β).

Niels Bohr dopuszcza niezachowanie energii (posiedzenie Towarzystwa Chemicznego 1930)

„... At present stage of atomic theory, however, we may say that we have no argument, either empirical or theoretical, for upholding the energy principle in the case of β -ray desintegration ...”

W. Pauli ratuje zasadę zachowania energii

W liście z 4 X 1930 do uczestników seminarium w Tybindze sugeruje istnienie elektrycznie neutralnej cząstki o spinie $\frac{1}{2}$ (nazwanej później przez Fermiego neutrinem); energia wydzielana w przemianie β dzielona między tę cząstkę i elektron.

Istnienie neutrina i zachowanie energii

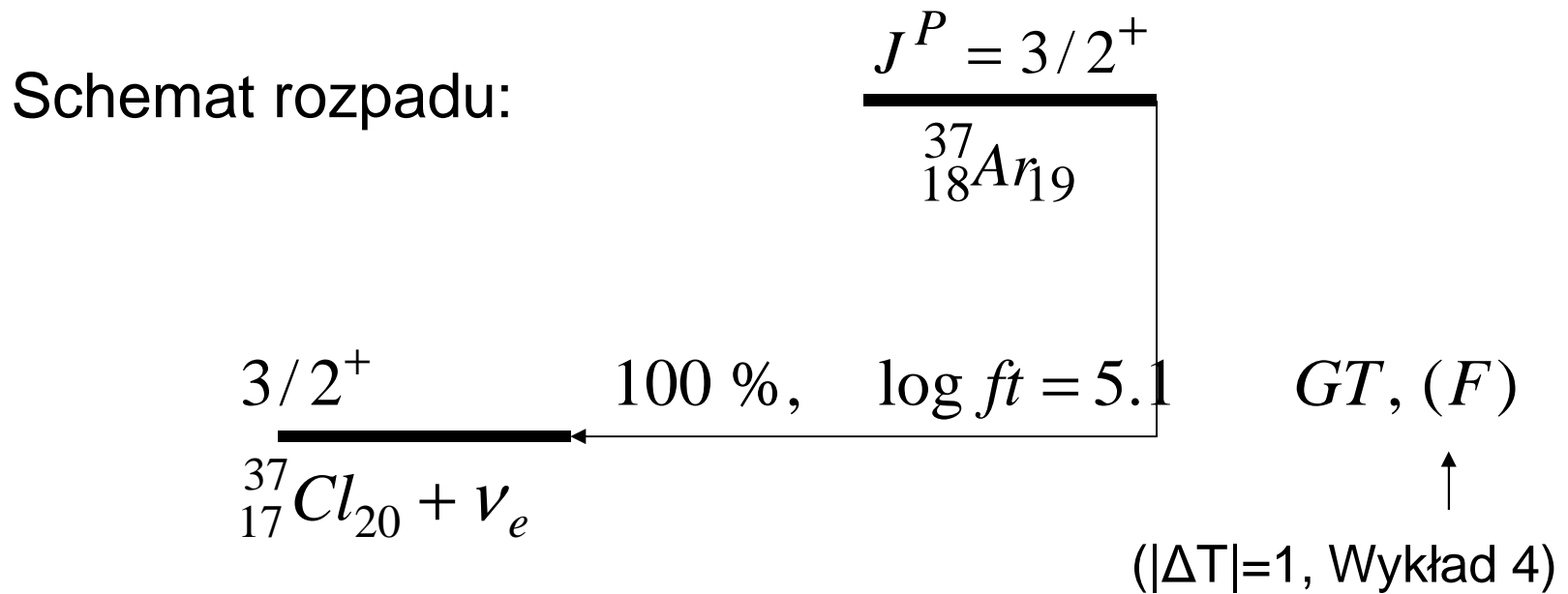
uwzględnione w teorii przemiany beta wg Fermiego 1934
(Wykład 2).

Założenie zachowania momentu pędu

w teorii przemiany beta wg Fermiego,
łącznie z obserwacją superdozwolonych przejść $0^+ \rightarrow 0^+$,
wskazuje na

spin neutrina = $\frac{1}{2}$.

^{37}Ar – przemiana na drodze WE



$$T_{1/2} = 35 \text{ dni} \approx 3 \times 10^6 \text{ s} = t$$

$$Q_{WE} = \left(\overset{\uparrow}{M(^{37}\text{Ar})} - \overset{\uparrow}{M(^{37}\text{Cl})} \right) c^2 = 813.87 \text{ keV} < \underset{\downarrow}{2m_e c^2}$$

masy atomowe (przemiana β^+ wykluczona)

^{37}Ar : zachowanie energii przy wychwycie elektronu K

$$Q_{WE} = 813.87 \text{ keV} = K_{Cl} + K_{\nu} + m_{\nu}c^2 + \varepsilon_K$$

gdzie

- K_{Cl} – energia kinetyczna odrzutu ^{37}Cl
- K_{ν} – energia kinetyczna neutrina
- m_{ν} – masa spoczynkowa neutrina ($< 2 \text{ eV}/c^2$)
- $\varepsilon_K \approx b_K$ – energia wzbudzenia atomu chloru
 \approx energia wiązania elektronu na powłoce K,
tj. 2.82 keV

^{37}Ar : zachowanie pędu przy wychwycie elektronu K

pęd neutrina $q = M_{Cl} V_{Cl} =$ pęd atomu ^{37}Cl

Przy zaniedbaniu masy neutrina

$$K_{Cl} = \frac{q^2}{2M_{Cl}} \approx \frac{(Q_{WE} - b_K)^2}{2M_{Cl} c^2} \approx 9.54 eV$$

Rodeback and Allen, Phys. Rev. 86(1952)446

Snell and Pleasonton, Phys. Rev. 97(1955)1396

$$K_{Cl} = 9.63 \pm 0.03 eV$$

^{37}Ar : bilans momentu pędu dla wychwytu K

spin jądra

spin elektronu K

$$J_i = J_f = 3/2$$

$$s_K = 1/2$$

przejście dozwolone

$$l_{e+\nu} = 0$$

zachowanie momentu pędu

$$\vec{J}_i + \vec{s}_K = \vec{J}_f + \vec{s}_\nu$$

dwie możliwości

$$\begin{cases} \vec{s}_K = \vec{s}_\nu & F \\ \vec{s}_K = -\vec{s}_\nu & GT \end{cases}$$

(przejście F znacznie osłabione przez $|\Delta T| = 1$, Wykład 4)

7.2. GÓRNA GRANICA MASY NEUTRINA

Rozpad β^- trytu

Chinese Physics C39 (2012) No 36
 AME2012
 NUBASE2012



$$Q_\beta = 18.591 \pm 0.001 \text{ keV}$$

$$T_{1/2} = 12.32 \pm 0.02 \text{ a}$$

energia rozpadu

graniczna energia widma β przy $m_\nu c^2 = 0$

$$\begin{array}{c}
 \downarrow \\
 Q_\beta \equiv \left(M({}^3H) - M({}^3He) \right) \cdot c^2 = K + K_\nu + m_\nu c^2 = K_0 \\
 \begin{array}{ccc}
 \uparrow & & \uparrow \\
 \text{masy atomowe} & & \text{energia kinet. cząstki } \beta
 \end{array} \\
 \downarrow
 \end{array}$$

(energia odrzutu i energia wzbudzenia atomu 3He tu zaniedbana)

Prawdopodobieństwo rozpadu β^- przy $m_\nu \neq 0$

bez uwzględnienia oddz. kulombowskiego (Wykład 2)

$$dW \propto \delta(x) p^2 dp d\Omega_\beta q^2 dq d\Omega_\nu$$

$$x = K + \sqrt{q^2 c^2 + m_\nu^2 c^4} - K_0, \quad x = 0 \Rightarrow \begin{cases} \text{zachowanie} \\ \text{energii} \\ \text{przy } m_\nu \neq 0 \end{cases}$$

Po scałkowaniu po kątach – przejście do widma $W(p)$

$$q^2 \propto (x + K_0 - K)^2 - m_\nu^2 c^4, \quad q dq \propto (x + K_0 - K) dx$$

$$\int_{-\infty}^{+\infty} \delta(x) q^2 dq \propto (K_0 - K) \sqrt{(K_0 - K)^2 - m_\nu^2 c^4}$$

$$W(p) dp \propto p^2 dp (K_0 - K) \sqrt{(K_0 - K)^2 - m_\nu^2 c^4}$$

Od widma pędowego do widma energii elektronów

$$W(p) dp = W(K) dK$$

$$E^2 = p^2 c^2 + m^2 c^4 = (K + mc^2)^2$$

$$\Rightarrow dp / dK \propto E / p$$

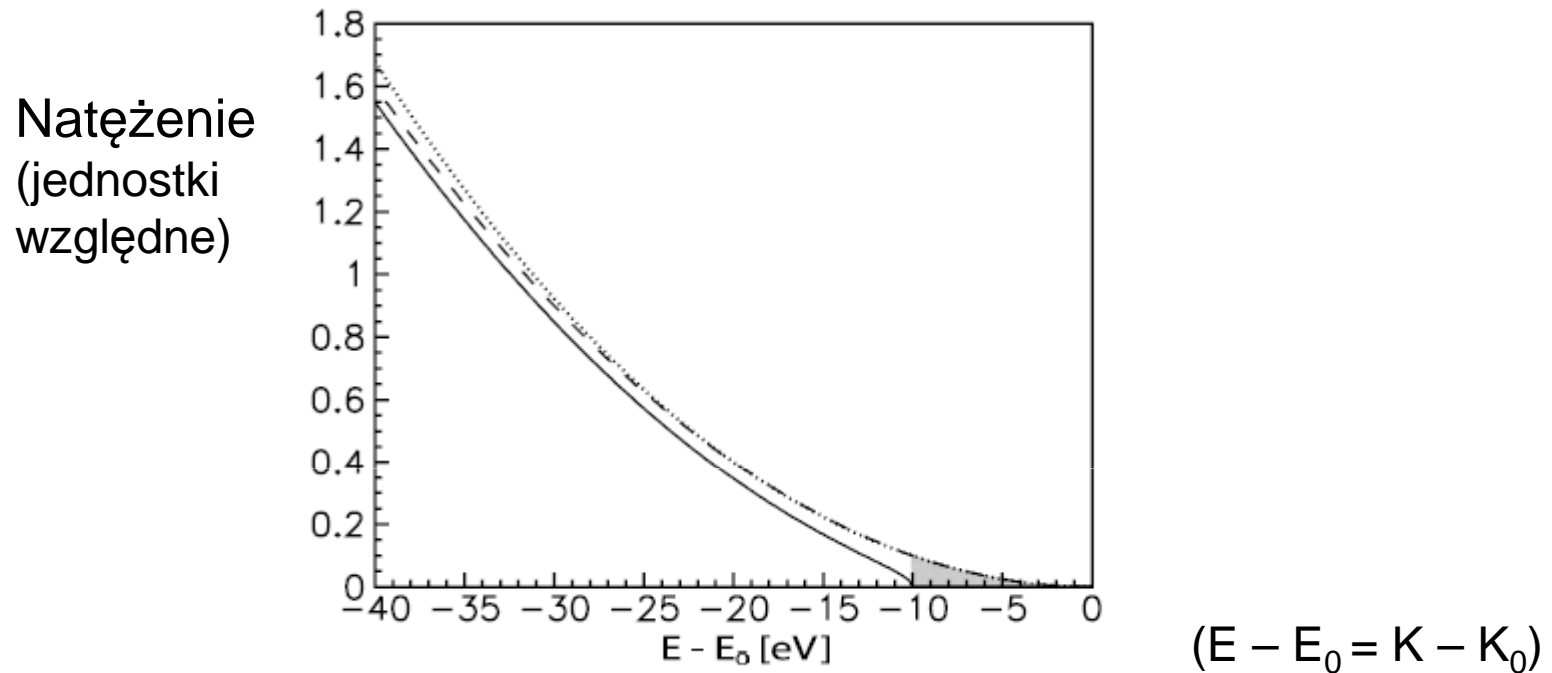
$$W(K) \propto E p (K_0 - K) \sqrt{(K_0 - K)^2 - m_\nu^2 c^4}$$

↑

$F(E, Z)$ { uwzględnienie kulombowskiego
oddziaływania jądro – β^-
(ale bez wzbudzeń atomu końcowego!)

Teoret. widmo β^- trytu w pobliżu energii granicznej E_0

(Ch. Kraus et al., Eur. Phys. J. C40 (2005) 447)



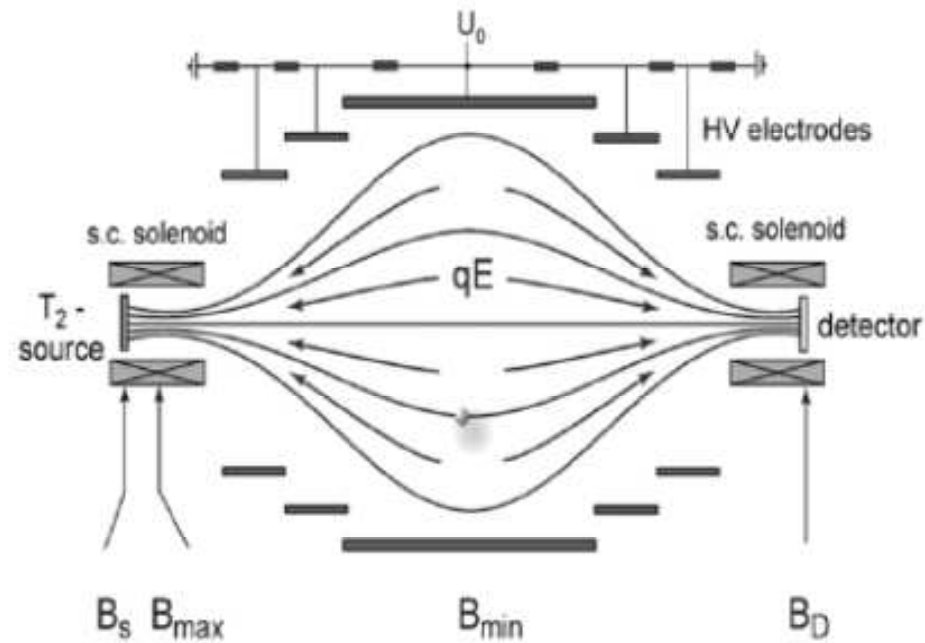
- widmo dla $m_\nu = 0$
- widmo uwzględniające wzbudzenia atomowe, dla $m_\nu = 0$
- jak wyżej, dla $m_\nu = 10 \text{ eV}/c^2$

Obszar zacieniony (0 do -10 eV) stanowi $2 \cdot 10^{-12}$ całości.

MAC-E-Filter – zasada działania

(Magnetic Adiabatic Collimation Electrostatic Filter)

E.W. Otten & C. Weinheimer, Rep. Progr. Phys. 71 (2008) 086201



Istotna rola pola magnetycznego i pola elektrycznego → slajd 15

MAC-E-Filter – zasada działania – c.d.

Rola pola magnetycznego

Elektrony, emitowane ze źródła w szerokim zakresie kątów, poruszają się po liniach spiralnych (z częstością cyklotronową) wzdłuż linii pola magnetycznego.

Te, które pokonają barierę potencjału elektrycz. w centrum układu są ogniskowane na detektorze.

Rola pola elektrycznego

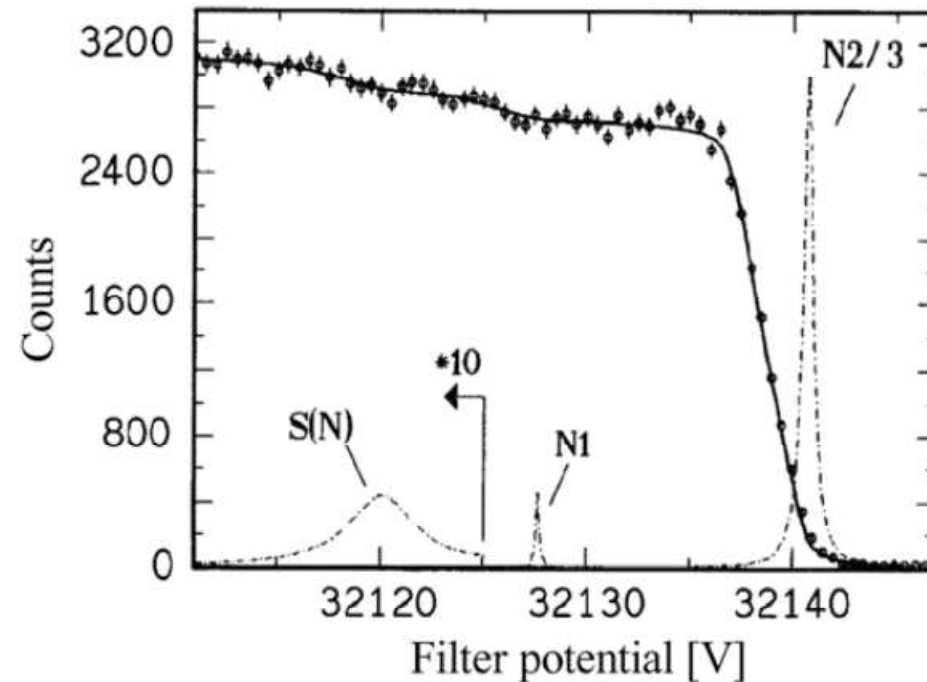
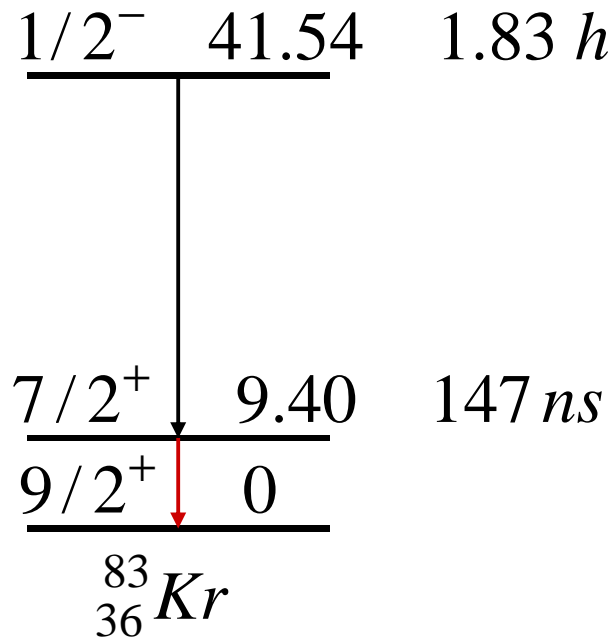
Po drodze od źródła do detektora elektrony są najpierw hamowane, a potem przyspieszane.

Jeżeli natężenie pola w centrum jest dostatecznie wysokie, wszystkie elektrony są zawracane – nie dochodzą do detektora.

Stopniowe obniżanie natężenia pola pozwala na pomiar liczby elektronów o energii powyżej zadanego progu.

Cechowanie MAC-E-Filter

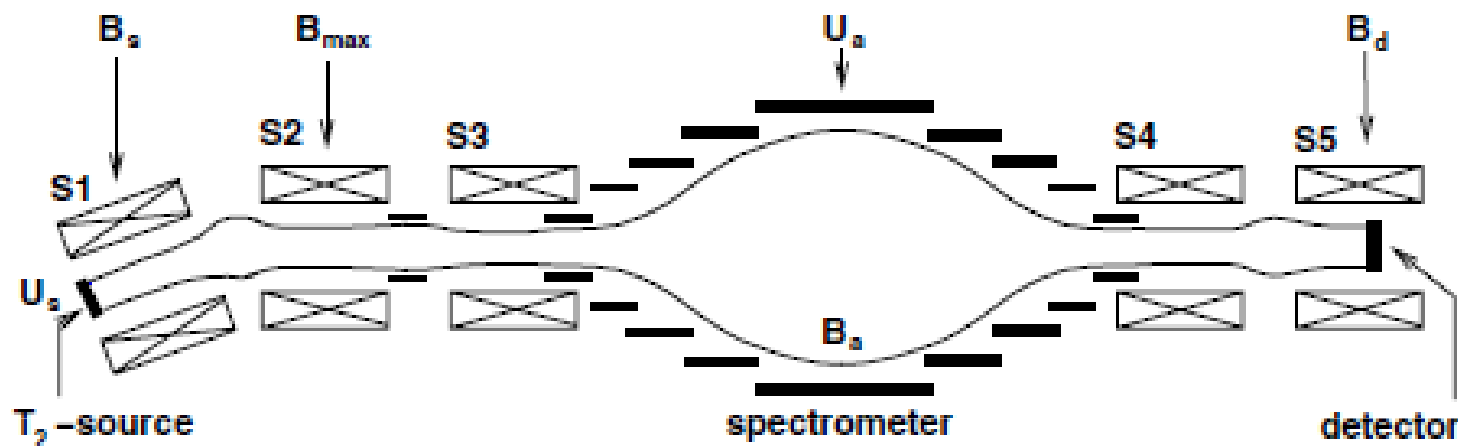
wykorzystanie elektronów wewn. konwersji na powłoce N
przejścia 9.40 keV w jądrze ^{83}Kr



Przy dostatecznie silnym polu elektr. elektrony linii $N2/N3$ (9.38 keV) nie są dopuszczane do detektora. Stopniowe obniżanie natężenia tego pola pozwala na pomiar całkowitego widma elektronów.

Univ. Mainz, Inst. Fizyki, spektrometr **MAC – E – Filter**

(Kraus et al. EPJ C40(2005)447 – układ ulepszony w stosunku do wersji z 1999 r.)



Odległość między źródłem i detektorem – ca 6 m.

S2 do S5 – solenoidy

Spektrometr z 27 elektrodami

Zaznaczone linie pola magnetycznego obejmują obszar, w którym poruszają się cząstki β .

- Wyniki pomiarów z wykorzystaniem MAC-E-Filter

Ch. Kraus et al. EPJ C40 (2005) 447

$$m_\nu^2 = -0.6 \pm 2.2(\text{stat}) \pm 2.1(\text{syst}) \text{ eV}^2 / c^4$$

⇓

$$m_\nu \leq 2.3 \text{ eV} / c^2 \quad (95\% \text{ conf. level})$$

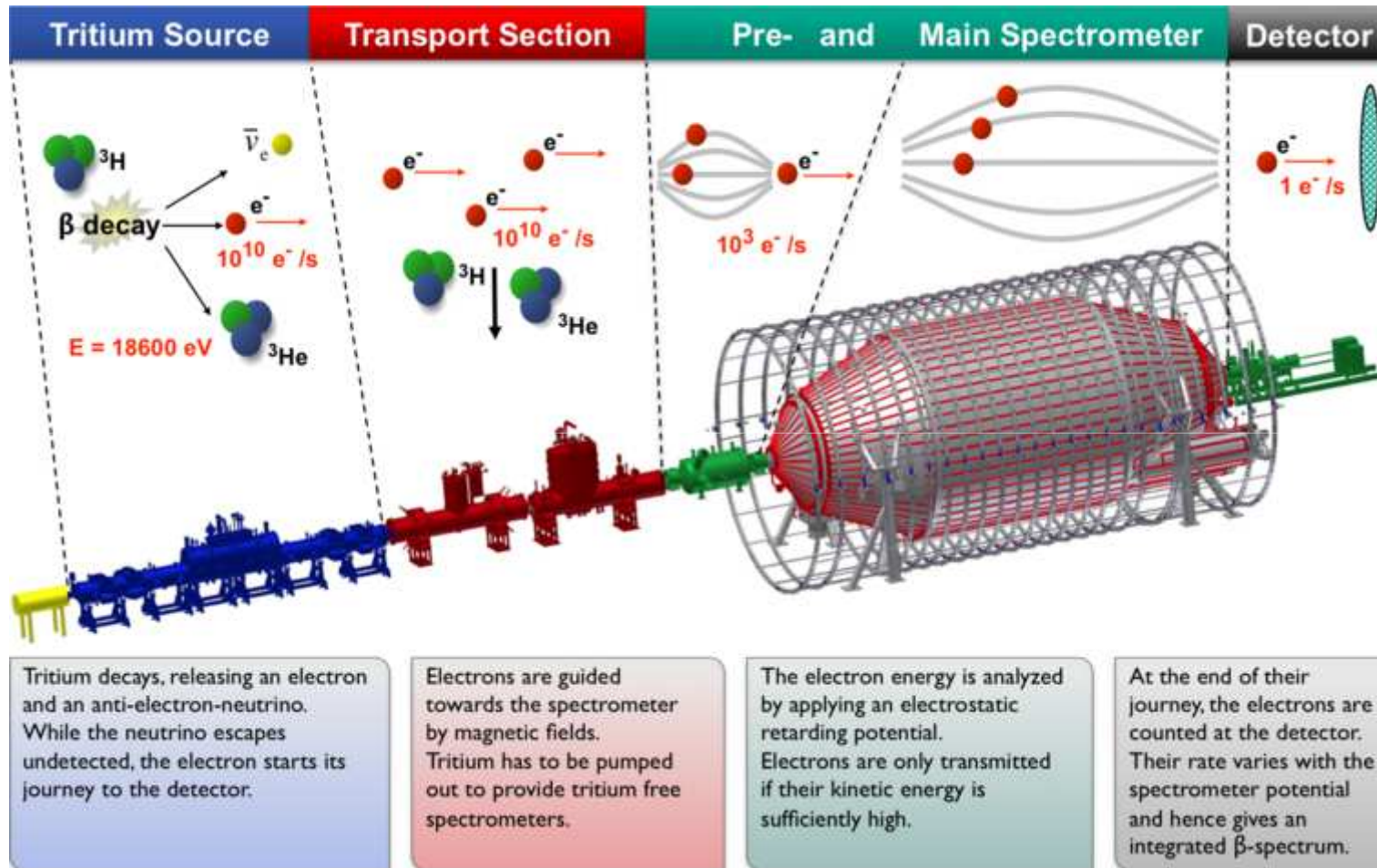
- Particle Data Group 2006

wyniki z Troitska i Mainz $\Rightarrow m_\nu < 2 \text{ eV} / c^2$ (95% c.l.)

- Karlsruhe – program **KATRIN**

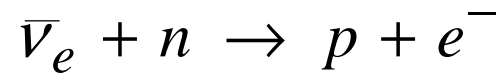
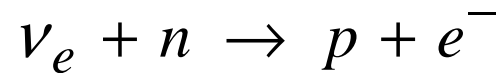
pomiar masy neutrina nawet na poziomie **0.2 eV/c²**

KATRIN = KARlsruhe TRitium N neutrino experiment (internet)



7.3. ODRÓŻNIENIE NEUTRINA OD ANTYNEUTRINA

Jeżeli ν_e i $\bar{\nu}_e$ cząstkami identycznymi, to reakcje



powinny mieć taki sam przekrój czynny, który można obliczyć.

Doświadczenie:

1-sza reakcja zachodzi,
2-ga – nie! (\rightarrow następny slajd).

Wniosek: ν_e i $\bar{\nu}_e$ nie są identyczne;

Negatywny wynik poszukiwania reakcji $\bar{\nu}_e + n \rightarrow p + e^-$

Davis, Phys. Rev. 97 (1955) 766

Źródło antyneutrin: Reaktor w Brookhaven National Lab.

Próba identyfikacji reakcji $\bar{\nu}_e + {}^{37}_{17}\text{Cl}_{20} \rightarrow {}^{37}_{18}\text{Ar}_{19} + e^-$



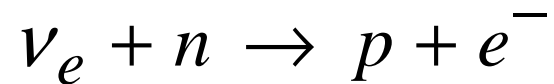
4000 litrów ciekłego CCl_4

Atomy Ar: – wyłukiwanie przy zastosowaniu helu,
– wymrażanie,
– poszukiwanie prom. X i elektronów Augera.

Wynik: $\sigma_{\text{exp}} < 0.9 \times 10^{-21} \text{ b}$, $\sigma_{\text{theor}} \approx 2.6 \times 10^{-21} \text{ b}$

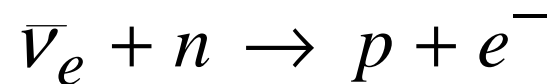
Addytywne prawo zachowania elektronowej liczby leptonowej L_e

np. proces dozwolony



$$L_e \quad 1 \quad 0 \quad 0 \quad 1 \quad \Delta L_e = 0$$

proces wzbroniony



$$L_e \quad -1 \quad 0 \quad 0 \quad 1 \quad \Delta L_e \neq 0$$

Uwaga: jak pokazują oscylacje neutrin (Wykł. 10),
to prawo spełnione tylko w przybliżeniu.

7.4. Obserwacja antyneutrina elektronowego



Ciepło reakcji (dla $m_\nu = 0$)

$$\begin{aligned} Q &= (m_p - m_n - m_e)c^2 \cong (M_H - m_n)c^2 - 2m_e c^2 \\ &= - (0.78 + 2 \times 0.51) \text{ MeV} = -1.80 \text{ MeV} \end{aligned}$$

Kinetyczna i całkowita energia pozytonu

$$K_{e^+} \approx K_\nu - |Q|$$

$$E_{e^+} \approx K_\nu - |Q| + m_e c^2 = K_\nu - 1.29 \text{ MeV}$$

Teoretyczny przekrój czynny

- złota reguła Fermiego
- elementy macierzowe dla rozpadu neutronu (Wykład 2)

$$\sigma = \frac{1}{\pi \hbar^4 c^3} G_{\beta F}^2 |M|^2 p_{e^+} E_{e^+}$$

$$|M|^2 = |M_F|^2 + R^2 |M_{GT}|^2 = 1 + (1.27)^2 \cdot 3 \approx 5.8$$

Oszacowanie przekroju czynnego dla $K_\nu = 2.5 \text{ MeV}$

$$E_{e^+} = 1.21 \text{ MeV} \quad \Rightarrow \quad 12 \times 10^{-20} b = 12 \times 10^{-48} m^2$$

Eksperyment

F.Reines & C.L.Cowan, Phys. Rev. 113 (1959) 273

i wcześniejsze prace tych autorów

Nagroda Nobla 1995 – F.Reines, Postępy Fizyki 5(1996)423

Źródła antyneutrin – reaktor

(przemiana β^- produktów rozszczepienia)

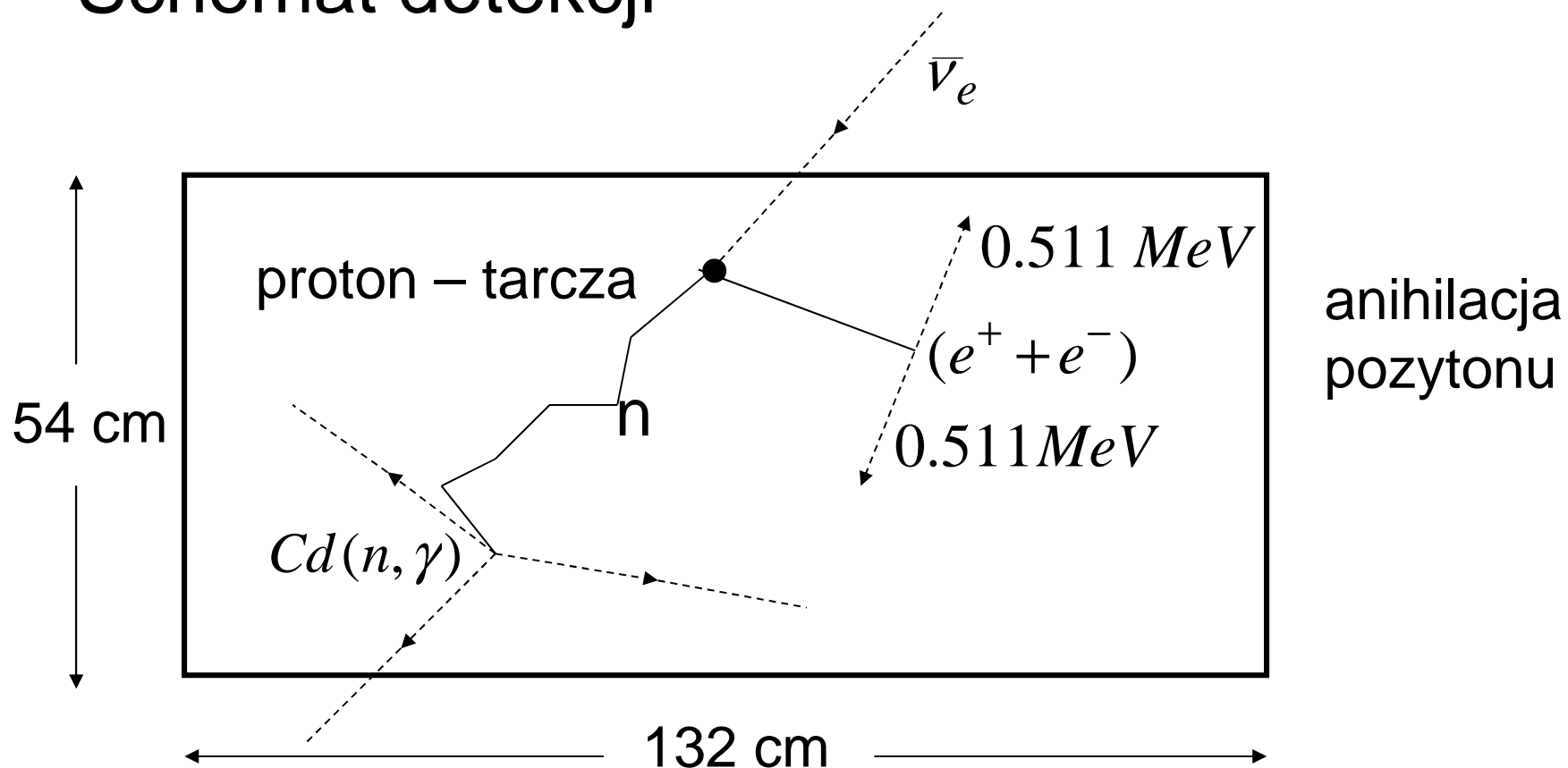
Detekcja fotonów – ciekły scyntylator z CdCl_2

(i) 2 fotony 0.511 keV z anihilacji pozytonów

(ii) kwanty γ po wychwycie neutronu przez Cd

(0.75 – 25.75 μs)

Schemat detekcji

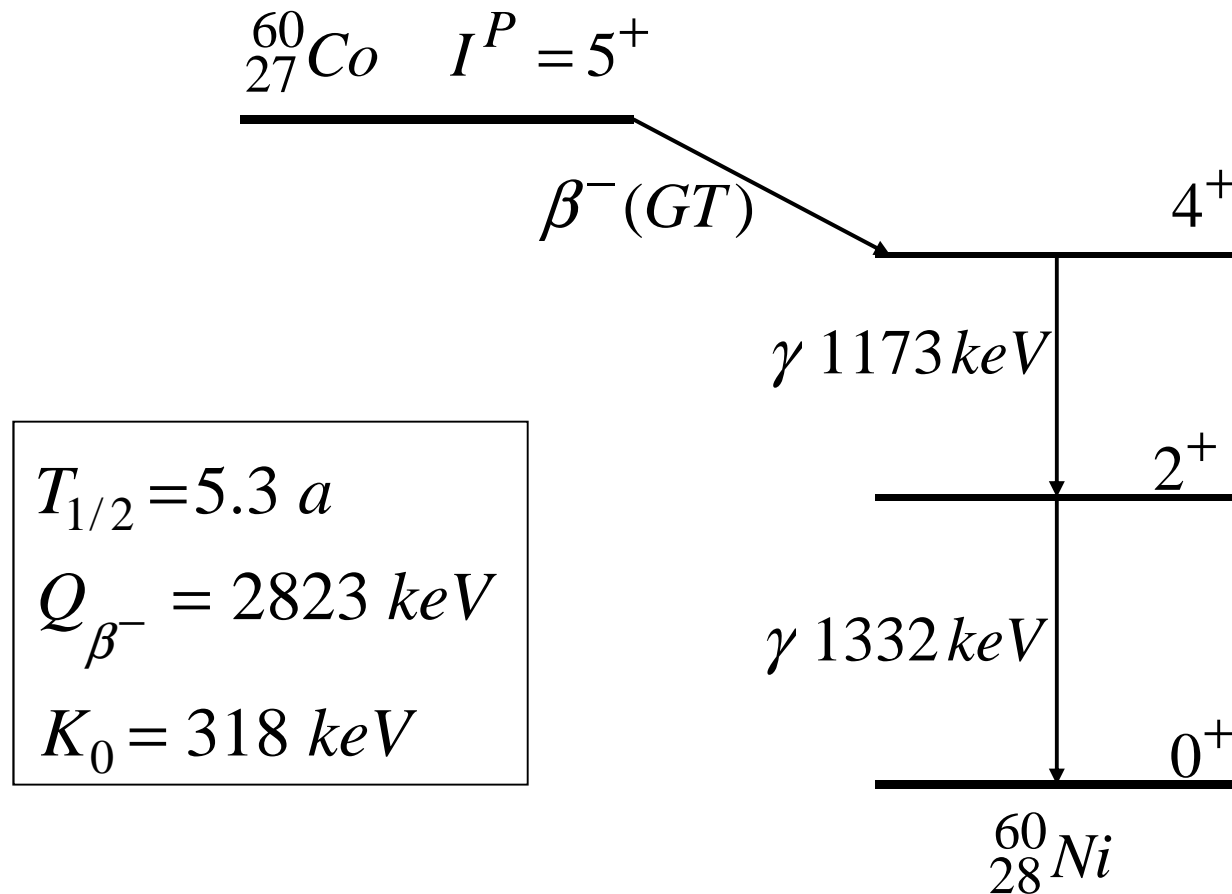


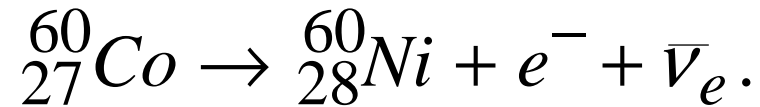
Dośw. przekrój czynny uśredniony po energii antyneutrin

$$\bar{\sigma} = (11.0 \pm 2.6) \times 10^{-48} \text{ m}^2$$

7.5. ODKRYCIE NIEZACHOWANIA PARZYSTOŚCI

Schemat rozpadu:





Moment magnetyczny ${}^{60}\text{Co}$: $\vec{\mu} = g \mu_N \vec{I}, \quad I=5$

czynnik Landego $g = 0.76$

magneton jądrowy $\mu_N = e\hbar / 2m_p \approx 3.15 \times 10^{-8} \text{ eV} / \text{T}$

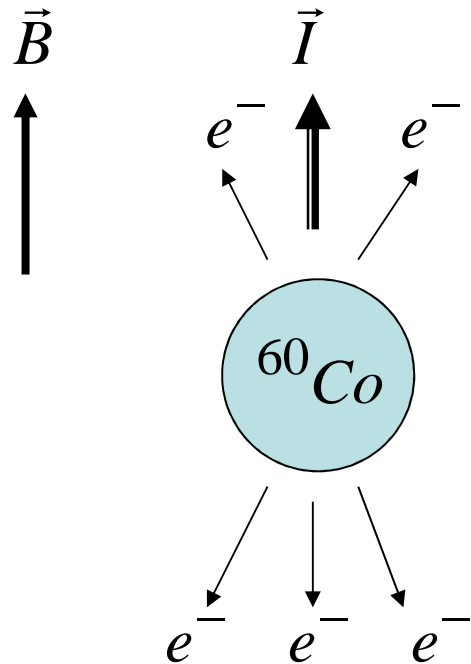
Energia jądra ${}^{60}\text{Co}$ w polu magnetycznym B

$$E = E_0 - g \mu_N M B, \quad M = I, I-1, \dots -I$$

W niskiej temperaturze przeważa obsadzenie najniższego stanu o $M = +5$; **jądra ${}^{60}\text{Co}$ spolaryzowane.**

Pomiar rozkładu kąтового elektronów

C.S. Wu et al., Phys. Rev. 105 (1957) 1381



Polaryzacja jąder ^{60}Co w niskiej temperaturze (0.01 K).

W kierunku spinu mniej e^- niż w kierunku przeciwnym.

Wniosek: $\langle \vec{I} \cdot \vec{p} \rangle \neq 0$

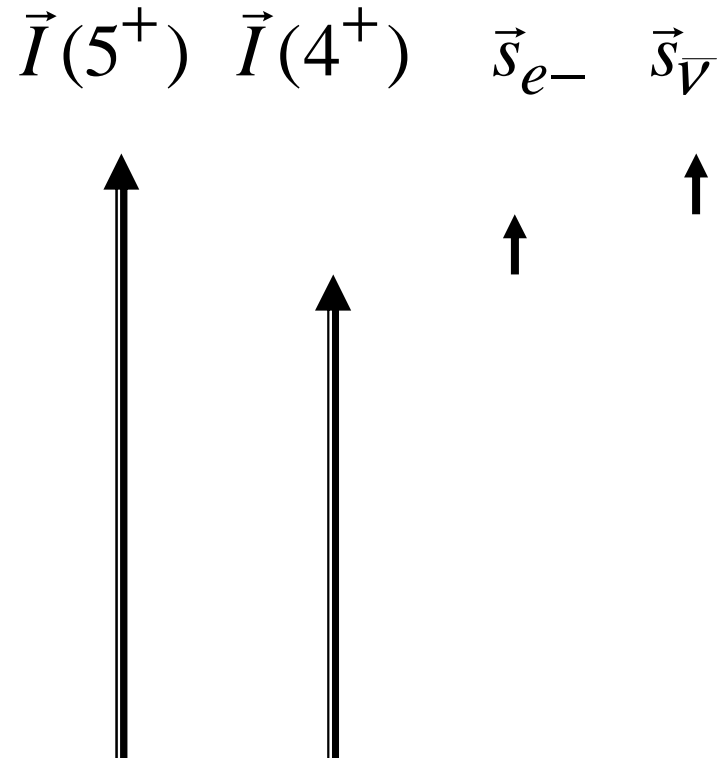
Funkcje falowe jąder – $\psi(\text{Co})$, $\psi(\text{Ni})$ – parzystość określona.

Parzystość funkcji $\psi_{e+\bar{\nu}}$ nieokreślona

Ustawienie spinów

Przejście Gamowa-Tellera
– spiny elektronu
i antyneutrino $\uparrow\uparrow$.

Wniosek z dośw. Wu et al.:
dominuje spin elektronu $\uparrow\downarrow$
w stosunku do jego pędu.



Inne eksperymenty: polaryzacja podłużna cząstek β^-

$$P = (N_{\uparrow\uparrow} - N_{\uparrow\downarrow}) / (N_{\uparrow\uparrow} + N_{\uparrow\downarrow}) = -v/c$$

Pytanie: jak skierowany spin antyneutrino względem pędu?

7.6. SKRĘTNOŚĆ NEUTRINA

Definicja skrętności (*helicity*)

$$h = \frac{\vec{\sigma} \cdot \vec{q}}{|\vec{q}|}$$

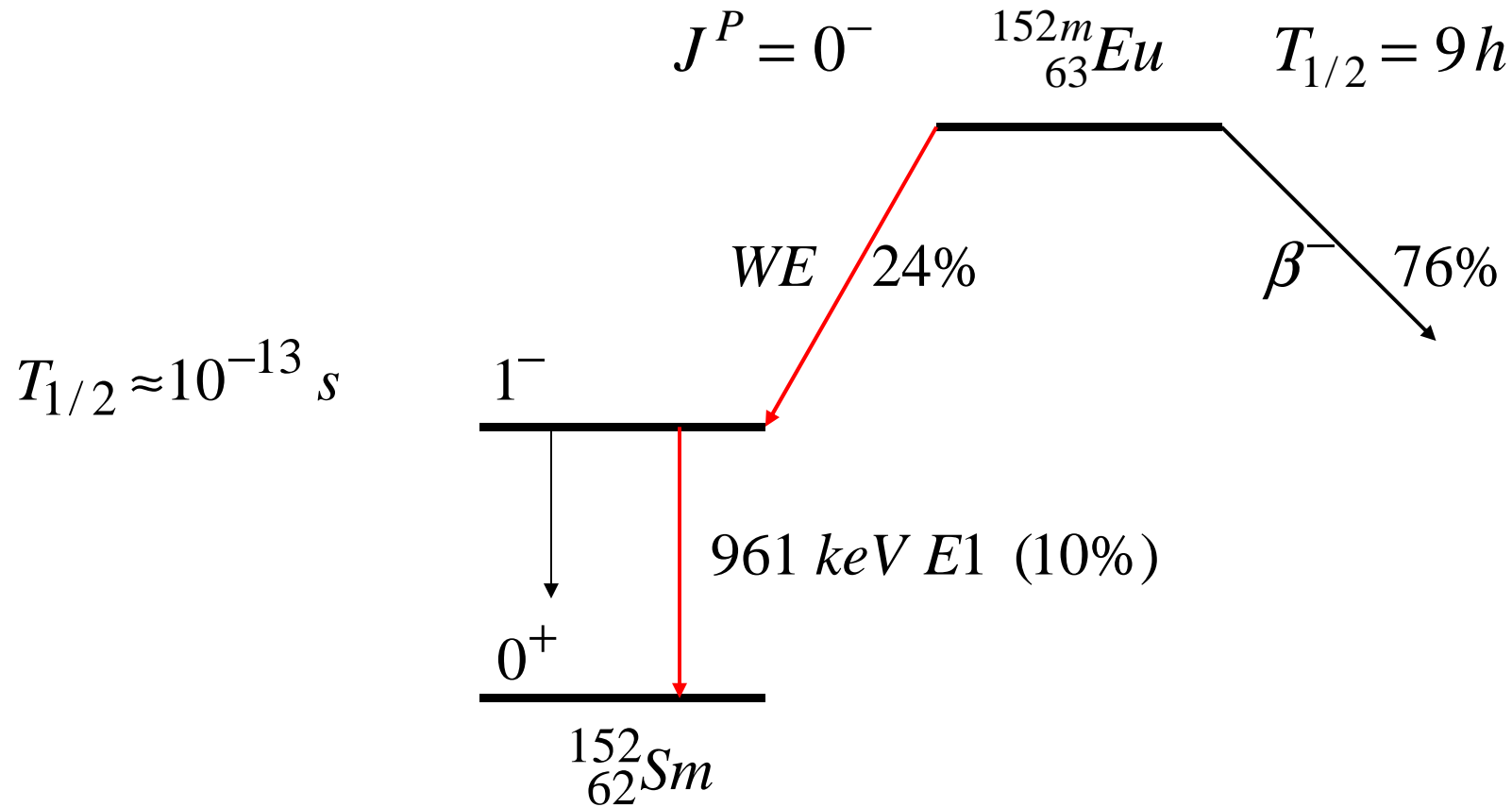
Dwuskładnikowa teoria neutrina

Założenie: masa neutrina = 0

Teoria Diraca \rightarrow dwa stany o $h = -1$ i $h = +1$.

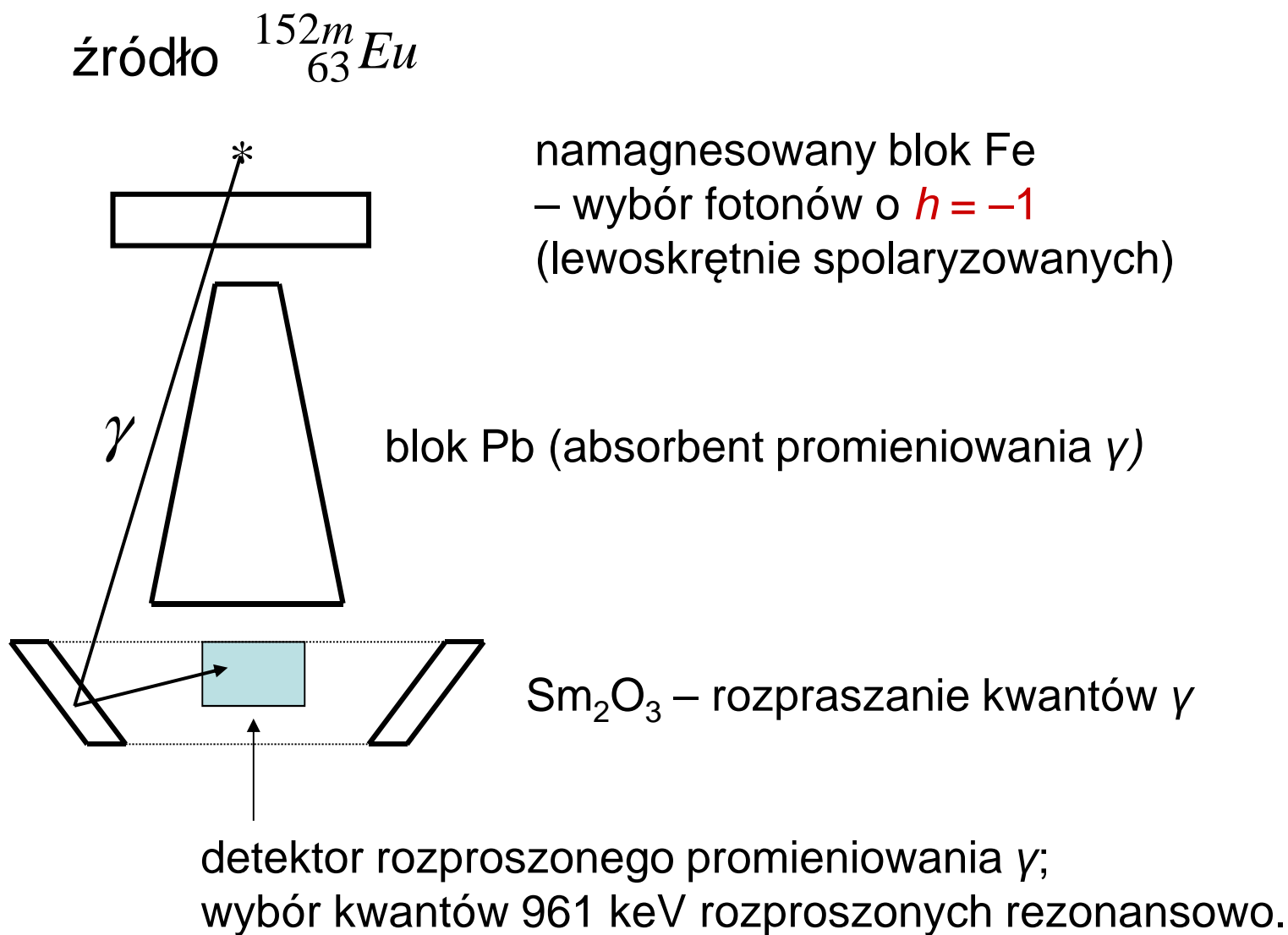
Pytanie: który stan odpowiada neutрино,
który antyneutrino?

M. Goldhaber et al., Phys. Rev. 109 (1958) 1015



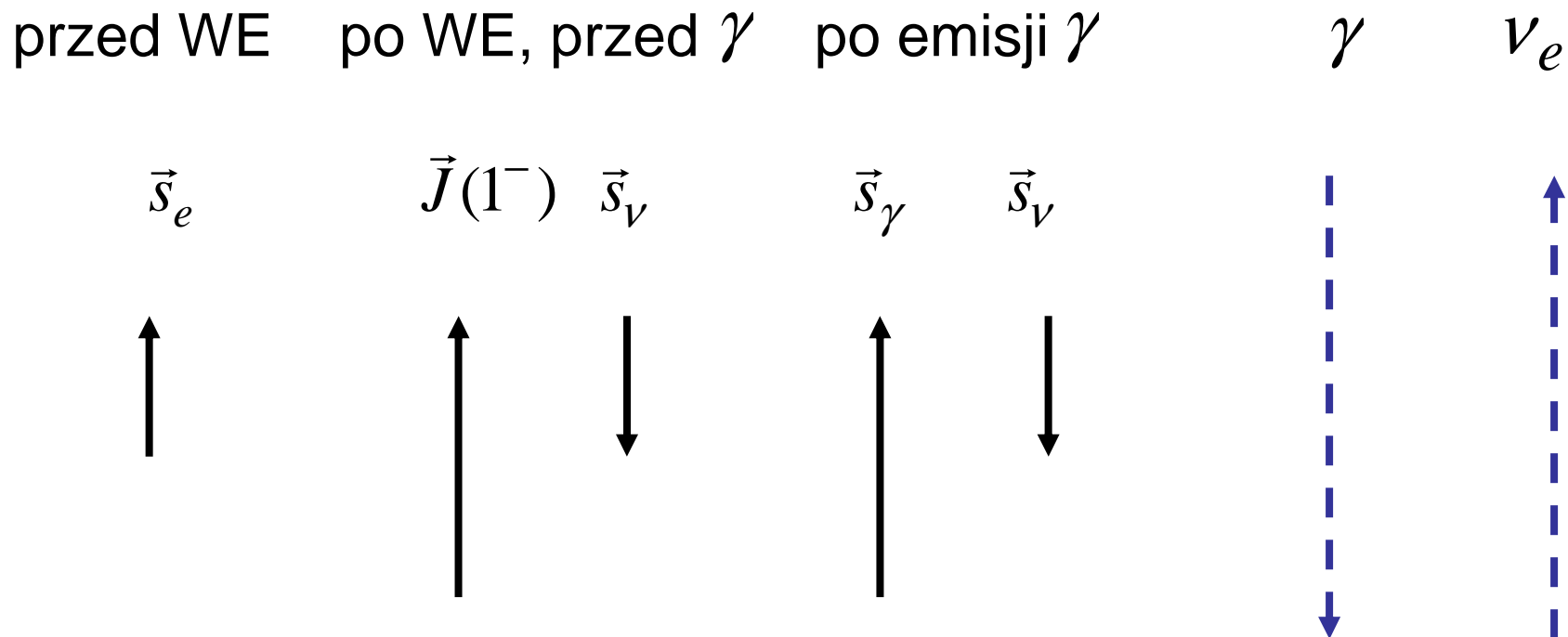
Doświadcz.: dla neutrino $h = -1$ (neutrino lewoskrętne!)

Schemat układu pomiarowego



Kierunki spinu

kierunki pędu



Ruch neutrina „do góry” ($h_\nu = -1$) warunkiem koniecznym obserwowania jądrowego rozproszenia rezonansowego kwantów γ -961 keV (kompensacja odrzutu; przy $K_\nu = 840$ keV istotny ruch termiczny ^{152}Sm).

7.7. TRZY RODZINY (ZAPACHY) LEPTONÓW, TRZY LICZBY LEPTONOWE

L_x	(e^-, ν_e)	(μ^-, ν_μ)	(τ^-, ν_τ)
L_e	1	0	0
L_μ	0	1	0
L_τ	0	0	1

Dla antyleptonów $L_x = -1$.

W Modelu Stand. liczby L_x zachowane oddzielnie.

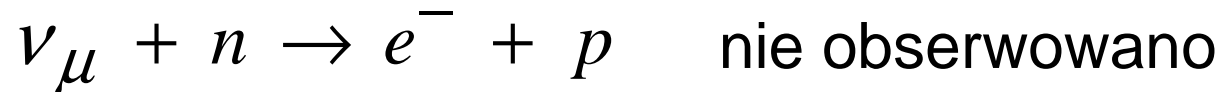
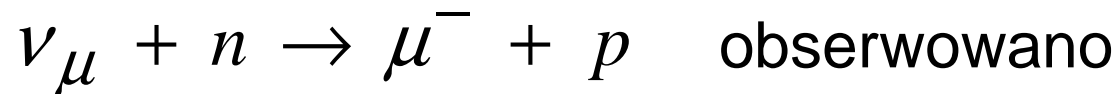
Przykład: rozpad pionów i mionów

$$\begin{array}{l} \pi^- \rightarrow \mu^- + \bar{\nu}_\mu, \quad \pi^+ \rightarrow \mu^+ + \nu_\mu \\ L_\mu \quad 0 \quad 1 \quad -1 \quad 0 \quad -1 \quad 1 \\ \\ \mu^- = e^- + \bar{\nu}_e + \nu_\mu, \quad \mu^+ = e^+ + \nu_e + \bar{\nu}_\mu \\ L_\mu \quad 1 \quad 0 \quad 0 \quad 1 \quad -1 \quad 0 \quad -1 \\ L_e \quad 0 \quad 1 \quad -1 \quad 0 \quad 0 \quad -1 \quad 1 \quad 0 \end{array}$$

Bezpośrednie wykazanie różnicy między ν_μ i ν_e

Eksperyment w Brookhaven National Lab. (1962)

Wiązka neutrin mionowych z rozpadu $\pi^+ \rightarrow \mu^+ + \nu_\mu$



L.Lederman, M.Schwartz i J.Steinberg, Nagroda Nobla 1988

„for the neutrino beam method and demonstration of the doublet structure of leptons through the discovery of the muon neutrino”.

Współczesne poszukiwania niezachowania liczby leptonowej

(i) Poniższej reakcji, w której nie zachowane byłyby dwie liczby leptonowe,



$$L_e \quad 0 \quad 1 \quad 0 \quad (\Delta L_e \neq 0)$$

$$L_\mu \quad 1 \quad 0 \quad 0 \quad (\Delta L_\mu \neq 0)$$

nie obserwowano z dokładnością $1,2 \times 10^{-11}$ na rozpad.

(ii) Inne eksperymenty – Wykłady 8 i 9.

7.8. DWUSKŁADNIKOWA TEORIA NEUTRINA

(C.S. Wu & S.A. Moszkowski, Beta decay, Wiley, N.Y. 1966, IFT 5766)

Cząstka swobodna: $E = c\sqrt{p^2 + m^2 c^2}$, \vec{p}

Równanie Diraca

$$\{\vec{\alpha} \cdot \vec{p}c + \beta mc^2\} \psi = E \psi$$

Macierze Diraca (4 x 4)

$$\alpha_x = \begin{pmatrix} 0 & \sigma_x \\ \sigma_x & 0 \end{pmatrix}, \quad \alpha_y = \begin{pmatrix} 0 & \sigma_y \\ \sigma_y & 0 \end{pmatrix}, \quad \alpha_z = \begin{pmatrix} 0 & \sigma_z \\ \sigma_z & 0 \end{pmatrix}, \quad \beta = \begin{pmatrix} 1 & 0 \\ 0 & -1 \end{pmatrix}$$

Macierze Pauliego (2 x 2)

$$\sigma_x = \begin{pmatrix} 0 & 1 \\ 1 & 0 \end{pmatrix}, \quad \sigma_y = \begin{pmatrix} 0 & -i \\ i & 0 \end{pmatrix}, \quad \sigma_z = \begin{pmatrix} 1 & 0 \\ 0 & -1 \end{pmatrix}.$$

Czterowymiarowa macierzowa reprezentacja operatorów spinu

$$\sigma_x^{(4)} = \begin{pmatrix} \sigma_x & 0 \\ 0 & \sigma_x \end{pmatrix}, \quad \sigma_y^{(4)} = \begin{pmatrix} \sigma_y & 0 \\ 0 & \sigma_y \end{pmatrix}, \quad \sigma_z^{(4)} = \begin{pmatrix} \sigma_z & 0 \\ 0 & \sigma_z \end{pmatrix}.$$

Rozwiązanie

fala płaska $\psi = u e^{i\{\vec{p}\cdot\vec{r} - Et\}/\hbar}$

$$u = \begin{pmatrix} u_1 \\ u_2 \\ u_3 \\ u_4 \end{pmatrix} = \text{spinor}$$

Ograniczenie się do ruchu w kierunku osi z

Równanie macierzowe $\{c\alpha_z p_z + \beta m c^2\}\psi = E\psi$

Układ równań jednorodnych

$$(mc^2 - E)u_1 + cp_z u_3 = 0$$

$$(mc^2 - E)u_2 + cp_z u_4 = 0$$

$$cp_z u_1 - (mc^2 + E)u_3 = 0$$

$$-cp_z u_2 - (mc^2 + E)u_4 = 0$$

Warunek niezerowego rozwiązania: wyznacznik = 0

stąd

$$\begin{cases} E_+ = c\sqrt{p_z^2 + m^2 c^2} \\ E_- = -c\sqrt{p_z^2 + m^2 c^2} \end{cases}$$

Cztery rozwiązania liniowo niezależne bez normalizacji ($u^\dagger u \neq 1$)

$$u_I = \begin{pmatrix} 1 \\ 0 \\ \frac{cp_z}{mc^2 + E_+} \\ 0 \end{pmatrix}, \quad u_{II} = \begin{pmatrix} 0 \\ 1 \\ 0 \\ -\frac{cp_z}{mc^2 + E_+} \end{pmatrix},$$

$$u_{III} = \begin{pmatrix} -\frac{cp_z}{mc^2 - E_-} \\ 0 \\ 1 \\ 0 \end{pmatrix}, \quad u_{IV} = \begin{pmatrix} 0 \\ \frac{cp_z}{mc^2 - E_-} \\ 0 \\ 1 \end{pmatrix}$$

Cząstka swobodna o zerowej masie

stany normalizowane

$$u_I = \frac{1}{\sqrt{2}} \begin{pmatrix} 1 \\ 0 \\ 1 \\ 0 \end{pmatrix}, \quad u_{II} = \frac{1}{\sqrt{2}} \begin{pmatrix} 0 \\ 1 \\ 0 \\ -1 \end{pmatrix},$$

$$u_{III} = \frac{1}{\sqrt{2}} \begin{pmatrix} -1 \\ 0 \\ 1 \\ 0 \end{pmatrix}, \quad u_{IV} = \frac{1}{\sqrt{2}} \begin{pmatrix} 0 \\ -1 \\ 0 \\ 1 \end{pmatrix}$$

Operator rzutu spinu na oś z

$$s_z = \frac{1}{2} \sigma_z^{(4)} = \frac{1}{2} \begin{pmatrix} 1 & 0 & 0 & 0 \\ 0 & -1 & 0 & 0 \\ 0 & 0 & 1 & 0 \\ 0 & 0 & 0 & -1 \end{pmatrix}$$

Dla lewoskrętnego neutrina rozwiązanie u_{II} :

$$s_z u_{II} = -\frac{1}{2} u_{II}$$

Dla prawoskrętnego antyneutrina rozwiązanie u_I :

$$s_z u_I = +\frac{1}{2} u_I$$

Dwuskładnikowa teoria neutrina o $m_\nu = 0$
(dobre przybliżenie dla $E_\nu \gg m_\nu c^2$)

Operator rzutu spinu na oś z

$$s_z = \frac{1}{2} \sigma_z = \frac{1}{2} \begin{pmatrix} 1 & 0 \\ 0 & -1 \end{pmatrix}$$

Dla lewoskrętnego **neutrino** (E_+)

$$u_{\downarrow}^+ = \begin{pmatrix} 0 \\ 1 \end{pmatrix} \Rightarrow s_z u_{\downarrow}^+ = -\frac{1}{2} u_{\downarrow}^+$$

Dla prawoskrętnego **antyneutrino** (E_-)

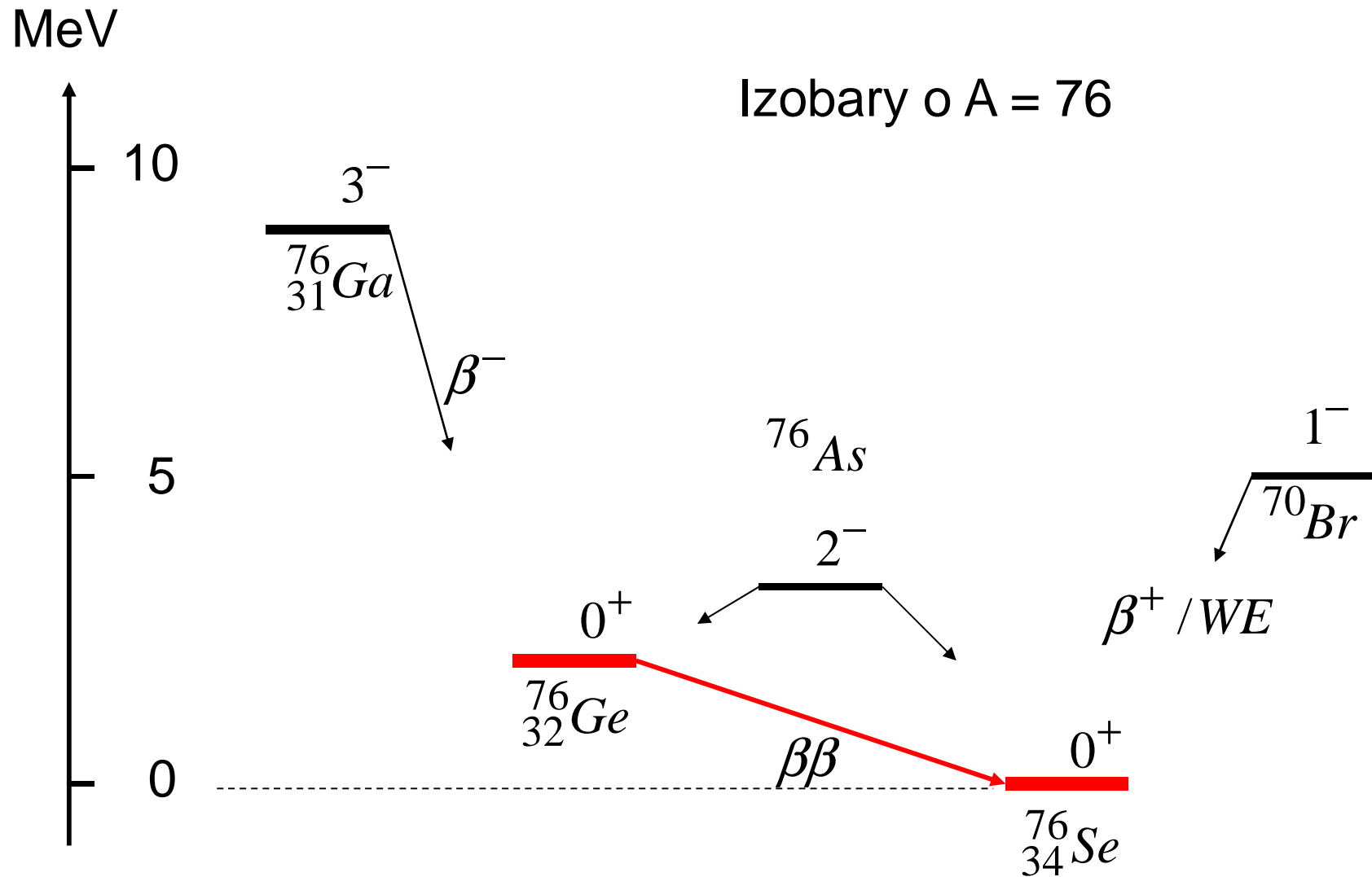
$$u_{\uparrow}^- = \begin{pmatrix} 1 \\ 0 \end{pmatrix} \Rightarrow s_z u_{\uparrow}^- = +\frac{1}{2} u_{\uparrow}^-$$

Wykład 8

POSZUKIWANIE PODWÓJNEGO ROZPADU BETA BEZ EMISJI NEUTRIN

- 8.1. Podwójny rozpad beta ^{76}Ge
- 8.2. Poszukiwany rozpad $\beta\beta 0\nu$ izotopu ^{76}Ge
- 8.3. Eksperyment w Gran Sasso
- 8.4. Gran Sasso – projekt CUORE – badanie ^{130}Te
- 8.5. Tunel Fréjus – NEMO-3 i SuperNEMO – wyniki dla ^{100}Mo
- 8.6. Poszukiwanie rozpadu $\beta\beta$ izotopu ^{136}Xe w USA i Japonii
- 8.7. Podwójny wychwyty elektronu?

8.1. PODWÓJNY ROZPAD BETA ^{76}Ge



Energia rozpadu $\beta\beta$ izotopu ^{76}Ge

Dwa trwałe izobary o $A=76$

$$Q_{\beta\beta} = [M(^{76}\text{Ge}) - M(^{76}\text{Se})] c^2 = 2039.006(50) \text{ keV}$$

G.Douysset et al., Phys.Rev.Letters 86(2002)4259

pułapka Penninga

pomiar częstości cyklotronowej

Obserwowany rozpad $\beta\beta 2\nu$

z zachowaniem liczby leptonowej
(zgodnie z Modelem Standardowym)



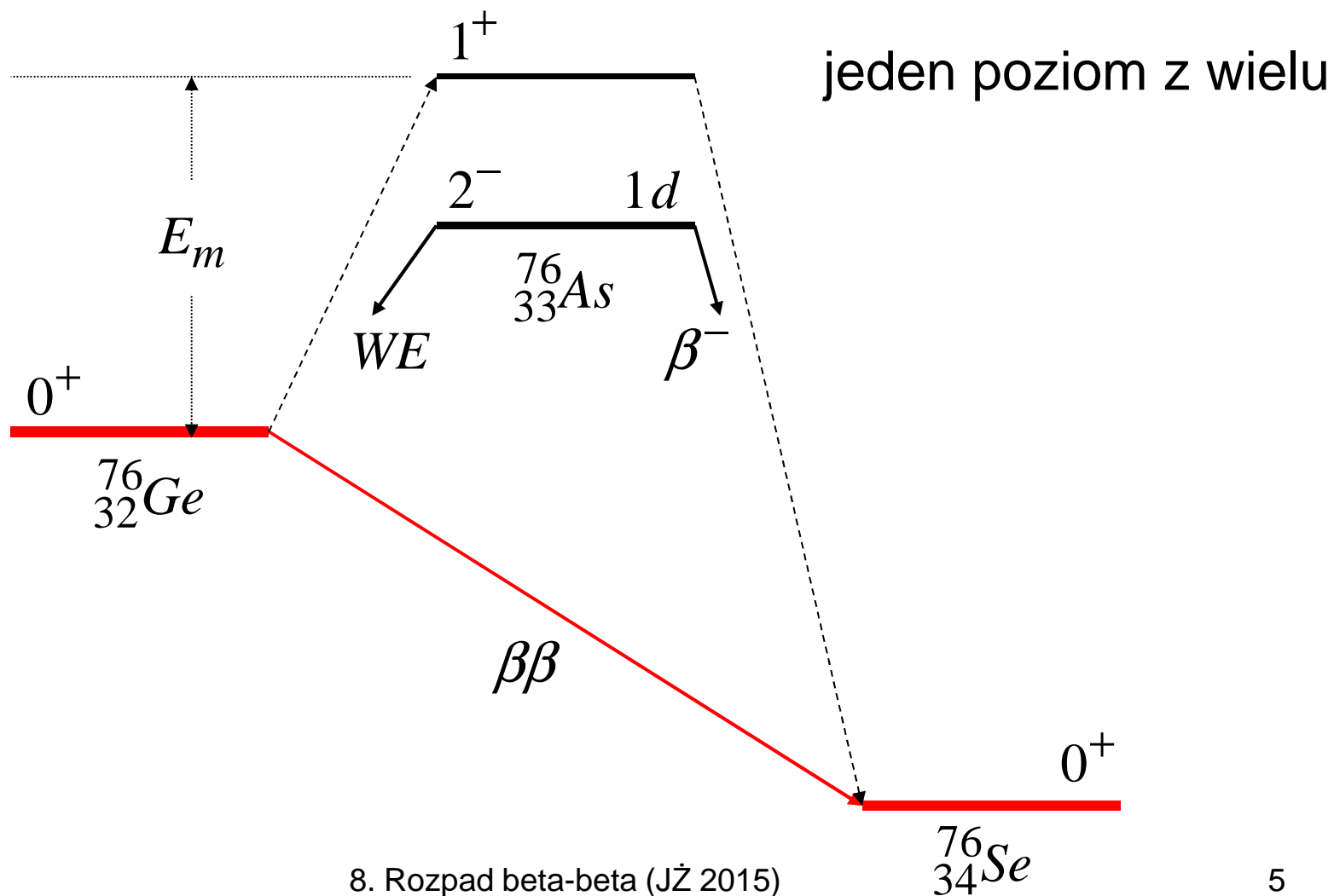
$$L_e \quad 0 \quad 0 \quad 1 \quad -1$$

$$(\Delta L_e = 0)$$

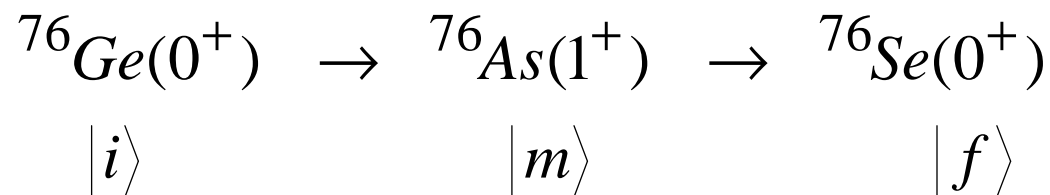
Klapdor et al., Phys. Lett. B586(2004)367

$$T_{1/2}^{2\nu} = 1.55 \times 10^{21} \text{ lat.}$$

Wirtualne przejścia Gamowa-Tellera



Łączny efekt wirtualnych przejść GT



$$M_{GT}^{2\nu} = \sum_m \frac{\langle f \| \sigma t_- \| m \rangle \langle m \| \sigma t_- \| i \rangle}{E_m - Q_{\beta\beta} / 2}$$

$$[T_{1/2}^{2\nu}(0^+ \rightarrow 0^+)]^{-1} = F^{2\nu}(Q_{\beta\beta}, Z) |M_{GT}^{2\nu}|^2 = \lambda_{2\nu} / \ln 2$$

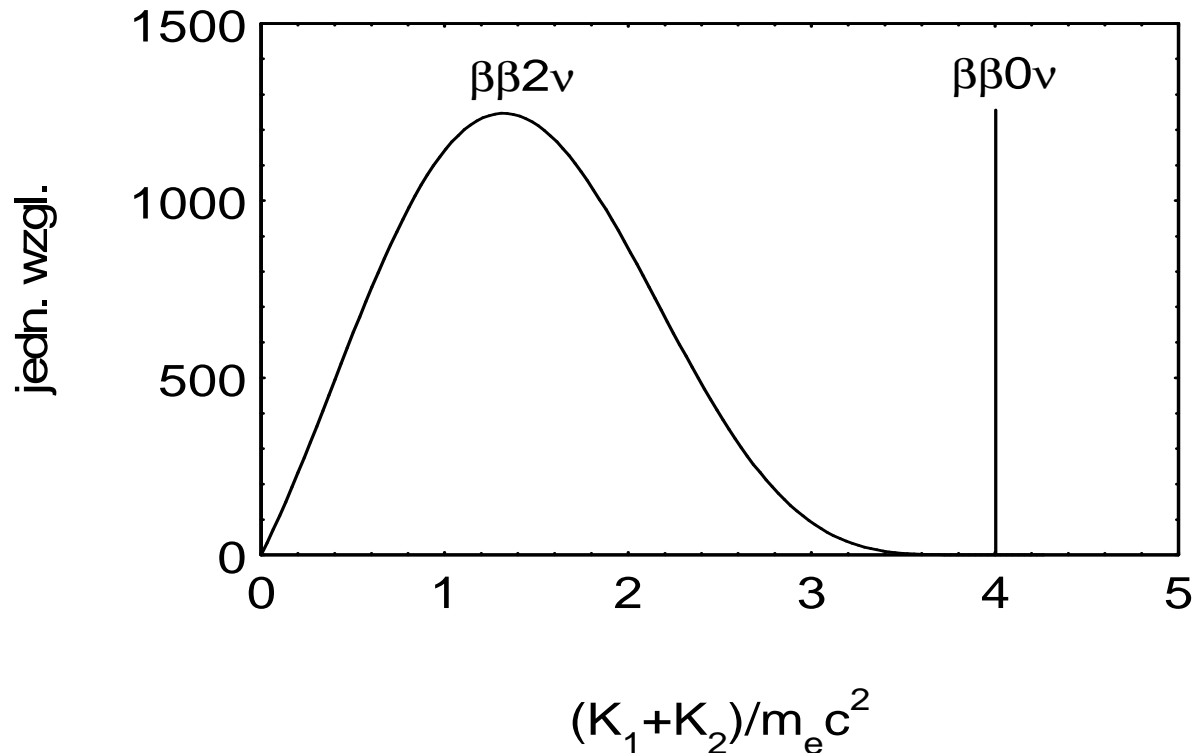


znana funkcja $\propto G_{GT}^4 \times$ czynnik przestrz. fazowej

Różne modele jądra: $T_{1/2}^{2\nu} = 1.5 \times 10^{20} \div 3 \times 10^{21} \text{ lat}$

Przewidywane widmo energetyczne

dwóch elektronów rejestrowanych jednocześnie dla ^{76}Ge
(Zuber, Neutrino Physics, IoP, Bristol 2004, p.163, eq. 7.28)



$$Q_{\beta\beta} / m_e c^2 = 2039 \text{ keV} / 511 \text{ keV} = 3.99$$

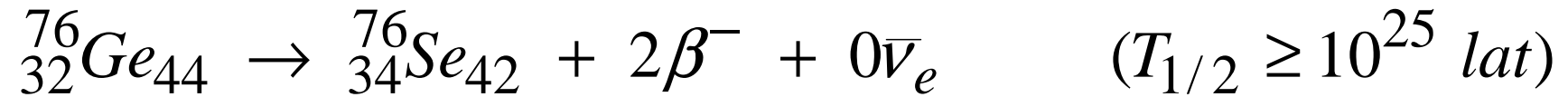
Zależność prawdopodobieństwa od energii

Dla $Q \equiv Q_{\beta\beta} / m_e c^2$ stałe rozpadu

$$\lambda_{2\nu} \propto Q^7 \left(1 + \frac{Q}{2} + \frac{Q^2}{9} + \frac{Q^3}{90} + \frac{Q^4}{1980} \right)$$

$$\lambda_{0\nu} \propto \left(\frac{Q^5}{30} - \frac{2Q}{3} + Q - \frac{2}{3} \right)$$

8.2. POSZUKIWANIE ROZPADU $\beta\beta 0\nu$



z zachowaniem liczby leptonowej w pierwszym etapie

$$\begin{array}{cccccc} & n & \rightarrow & p & + & e^{-} & + & \bar{\nu}_e \\ L_e & 0 & & 0 & & 1 & & -1 \end{array}$$

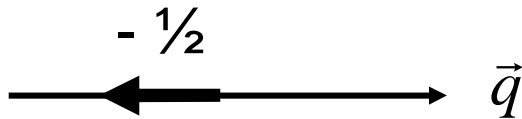
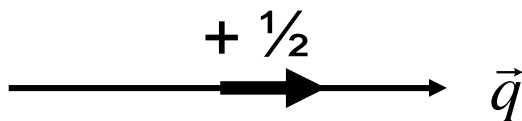
i naruszeniem jej zachowania ($\Delta L_e=2$) w etapie drugim

$$\begin{array}{cccccc} & \bar{\nu}_e & + & n & \rightarrow & p & + & e^{-} \\ L_e & -1 & & 0 & & 0 & & +1 \end{array}$$

wbrew Modelowi Standardowemu.

Neutrino w Modelu Standardowym: $m_\nu=0$

dwuskładnikowa teoria neutrina

Cząstka	Rzut spinu	Skrętność	L_e
ν_e	$-\frac{1}{2}$ 	$h = -1$	+1
$\bar{\nu}_e$	$+\frac{1}{2}$ 	$h = +1$	-1

Definicja skrętności (*helicity*) $h = \frac{\vec{\sigma} \cdot \vec{q}}{|\vec{q}|}$

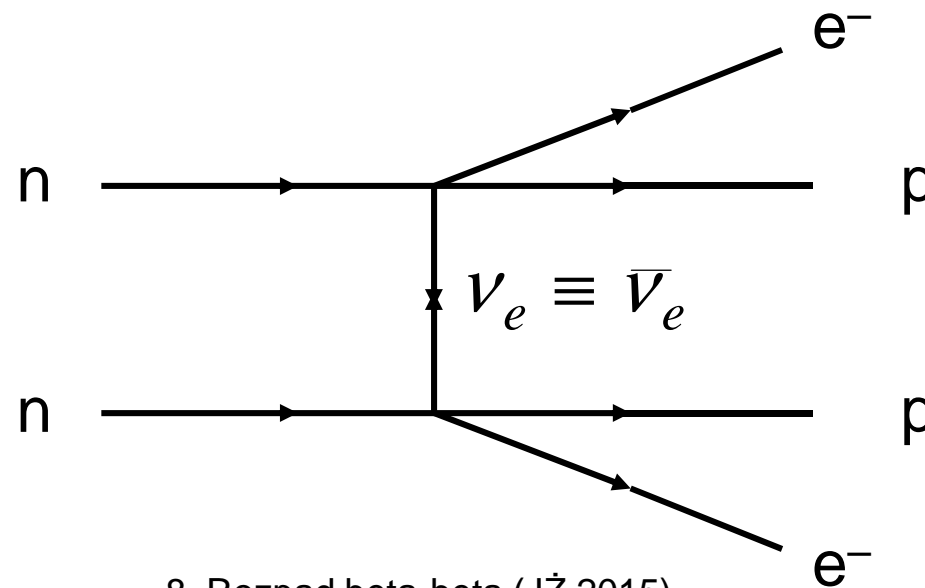
Warunki zachodzenia rozpadu $\beta\beta 0\nu$

(i) neutrino Majorany: $\nu_e \equiv \bar{\nu}_e$

(ii) $m_\nu \neq 0$

(iii) mieszanie stanów: $a|h = +1\rangle + b|h = -1\rangle$ $|a|^2 + |b|^2 = 1$

diagram
procesu



Okres połowicznego zaniku – teoria

znana funkcja

$$\left[T_{1/2}^{0\nu}(0^+ \rightarrow 0^+) \right]^{-1} = F^{0\nu}(Q_{\beta\beta}, Z) \overset{\uparrow}{|M^{0\nu}|^2} \left(\frac{m_\nu}{m_e} \right)^2 = \lambda_{0\nu} / \ln 2$$

jądrowy element macierzowy
(wkład przejść **GT** i **F**)

Oszacowanie $m_\nu c^2$

z porównania doświadcz. i teoretycznych wartości $T_{1/2}^{0\nu}$.

Warunek: oszacowanie $M^{0\nu}$ na gruncie modeli jądrowych.

8.3. EKSPERYMENT W GRAN SASSO

H.V.Klapdor et al., Modern Physics Letters 16 (2001) 2409
„Evidence for neutrinoless double beta decay”

Współpraca: Heidelber-Moskwa

Miejsce: Tunel Gran Sasso (Włochy)

Warstwa absorbująca równoważna: 3.5 km H_2O

Czas: sierpień 1990 – maj 2000

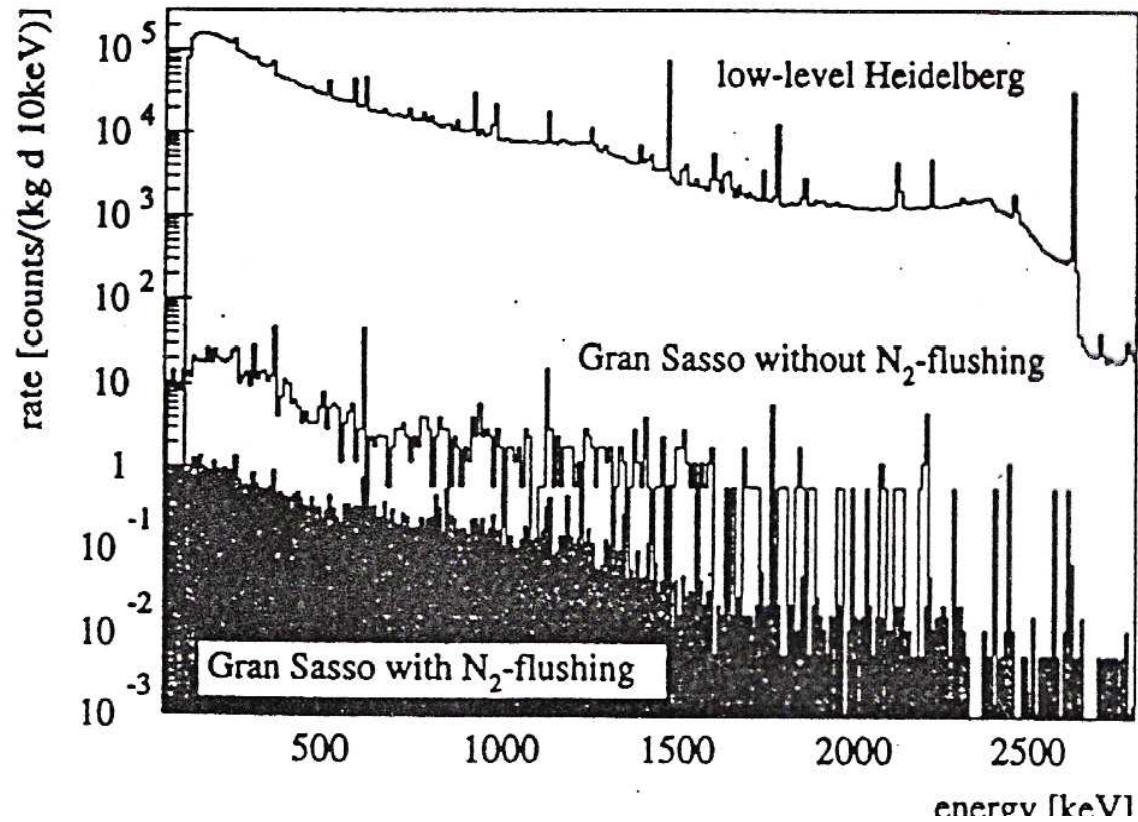
Układ 5 detektorów germanowych („high purity”)

łączna efektywna masa 11 kg

wzbogacenie w ^{76}Ge ca 86 %

(w naturalnym germanie 7.4 % izotopu ^{76}Ge)

Obniżenie tła rejestrowanego przez detektory



Wynik odjęcia tła dla 5 detektorów

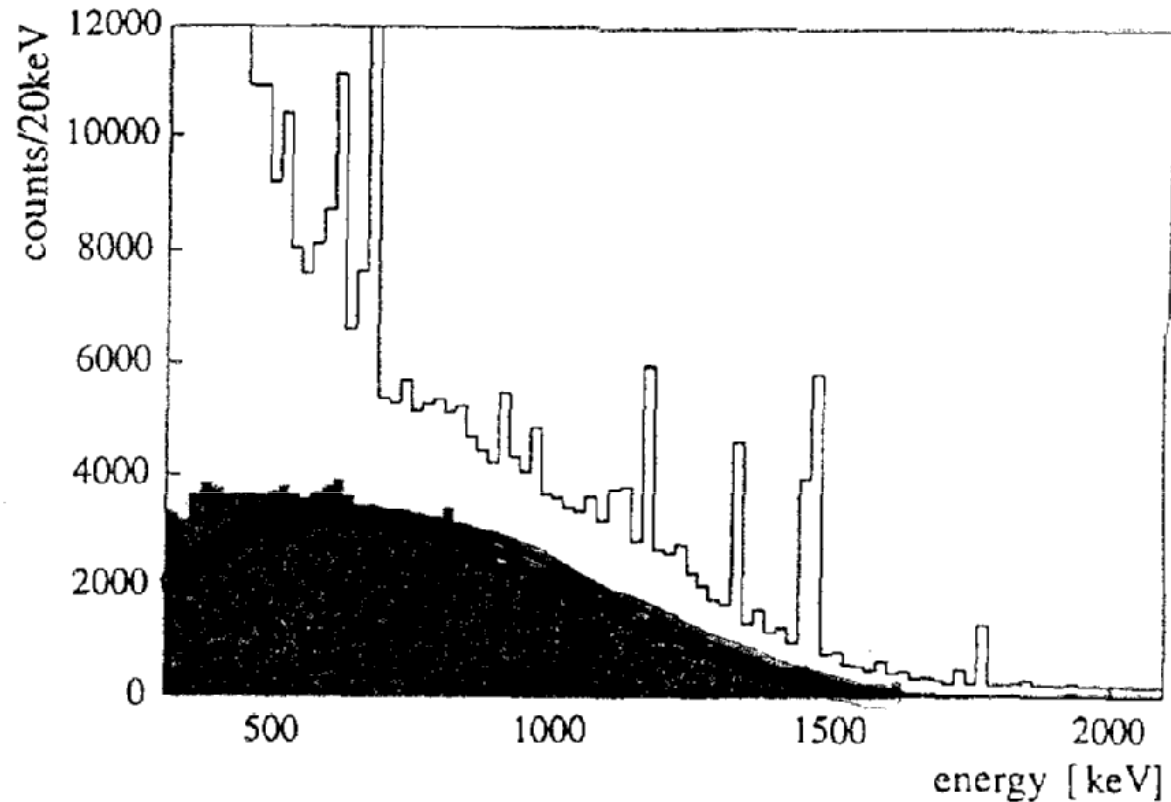


Fig. 3. Summed spectra of all five detectors after 47.7 kg y of measurement together with the residual spectrum after subtracting all identified background components. The thick line shows the fitted $2\nu\beta\beta$ signal.

Okres $T_{1/2}$ rozpadu $\beta\beta 2\nu$ izotopu ^{76}Ge

aktywność: $A = \lambda N$

liczba atomów ^{76}Ge : N

stała rozpadu: $\lambda = \ln 2 / T_{1/2}$

$$T_{1/2}^{2\nu} = \left(1.55 \pm 0.01 \begin{matrix} +0.19 \\ -0.15 \end{matrix} \right) \times 10^{21} \text{ a}$$

↑
błąd statyst. i syst.

Teoria: $T_{1/2}^{2\nu} = 1.5 \times 10^{20} \div 3 \times 10^{21} \text{ a}$

Okres $T_{1/2}$ rozpadu $\beta\beta 0\nu$ izotopu ^{76}Ge

okres półrozpadu na poziomie ufności 95 %

$$T_{1/2}^{0\nu} = \left(1.5^{+16.8}_{-0.7}\right) \times 10^{25} \text{ a}$$

Jądrowy element macierzowy $M^{0\nu}$ z pracy

A. Staudt et al., Europhys. Letters 13 (1990) 31

Masa neutrina: $m_\nu c^2 = \left(0.39^{+0.17}_{-0.28}\right) \text{ eV}$

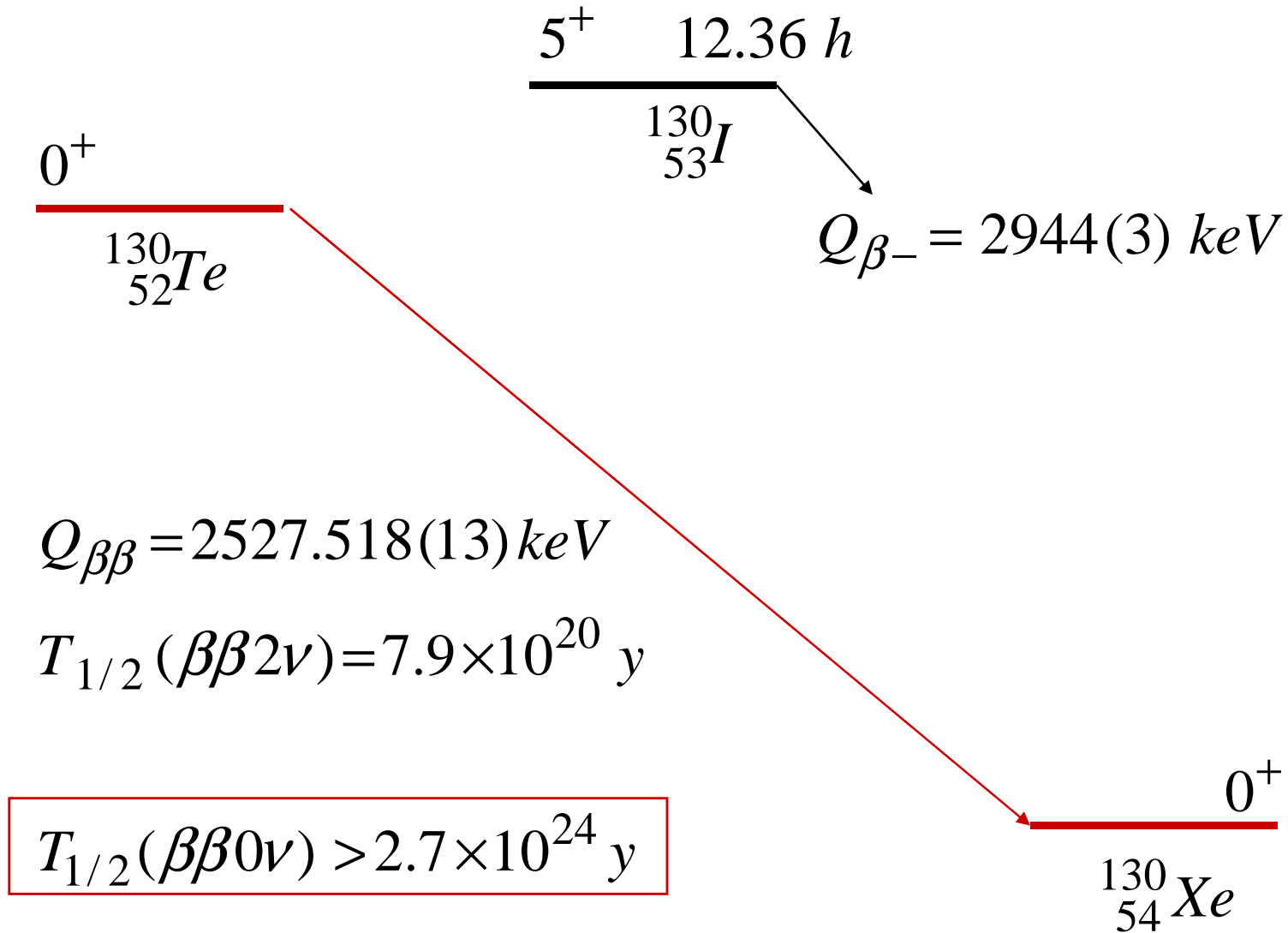
(wiarygodność tych wyników budzi wątpliwości!)

8.4. Gran Sasso – CUORE – wyniki dla ^{130}Te

CUORE = **C**ryogenic **U**nderground **O**bservatory
for **R**are **E**vents

- Poszukiwanie rozpadu $\beta\beta 0\nu$ izotopu ^{130}Te
- Zastosowanie bolometru
- 2015 r. – pierwsze wyniki (slajd 19) – CUORE-0
K. Alfonso et al. Phys. Rev. Lett. 115 (2015) 102502
- Przewidziana kontynuacja badań na dużą skalę

Podwójny rozpad beta ^{130}Te



8.5 NEMO-3 i SuperNEMO – ^{100}Mo

Współpraca: Francja, Japonia, USA, ... (9 krajów)

Podziemne laboratorium w tunelu Fréjus

(Alpy, pogranicze Francji i Włoch)

Warstwa absorbująca: 4800 m równoważnika wody

Badany rozpad $\beta\beta 2\nu$

Poszukiwany rozpad $\beta\beta 0\nu$

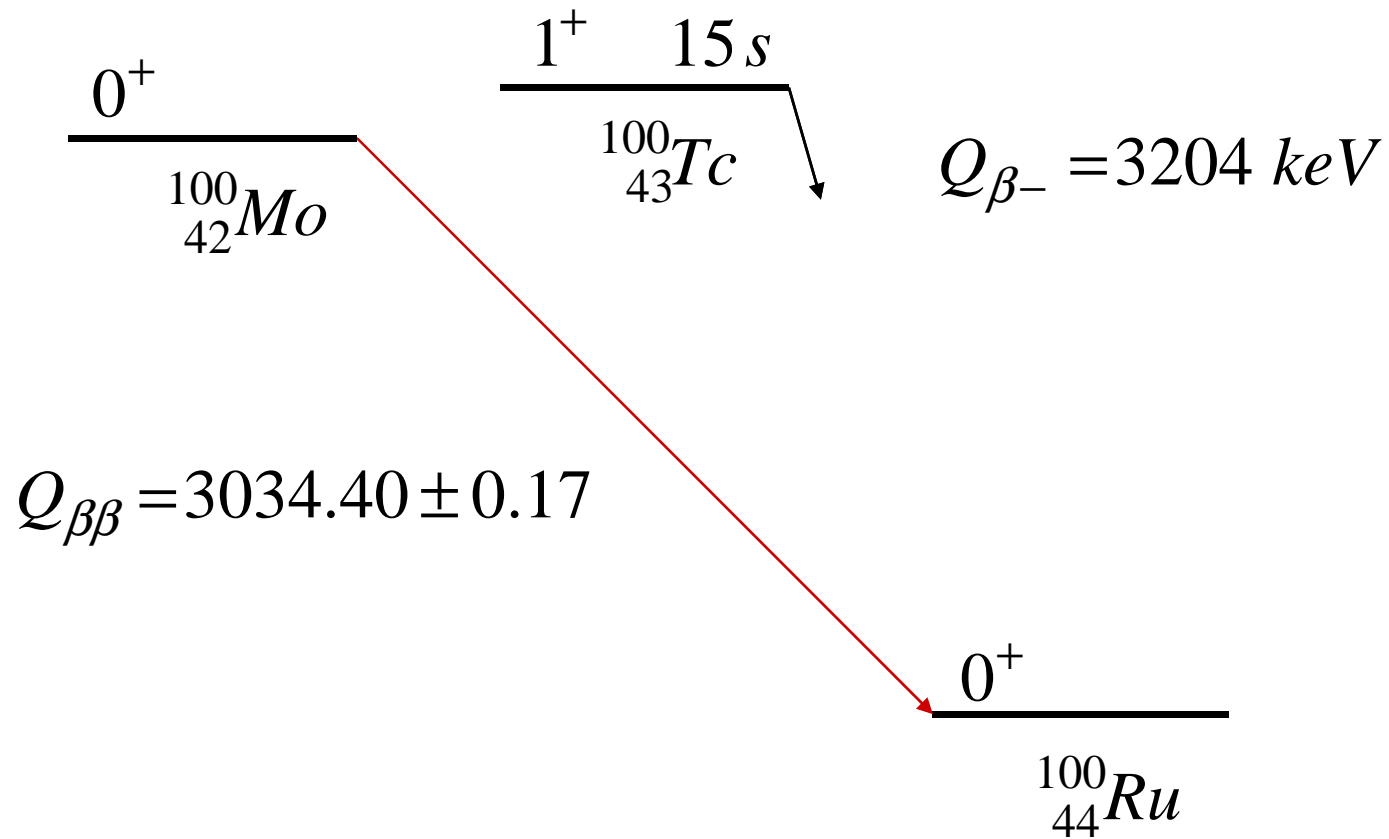
Wzbogacone izotopy: ^{82}Se , ^{100}Mo , ^{116}Cd , ^{130}Te , ...

Pierwsze wyniki dla ^{100}Mo (34.7 kg·y):

R. Arnold et al., Phys. Rev. D89(2014)111101(R)

K. Lang, wykład w CERN – 16.06.2015

Izobary $A=100$



NEMO-3 – pierwsze wyniki dla ^{100}Mo

$$T_{1/2}^{2\nu\beta\beta} = (7.16 \pm 0.01_{stat} + 0.54_{syst}) \times 10^{18} \text{ y}$$

$$Q_{\beta\beta 0\nu} > 1.1 \times 10^{24} \text{ y}$$

$$\left\{ \langle m_{\beta\beta} \rangle < (0.33 - 0.62) \text{ eV} \right.$$

 Jądrowe elementy macierzowe:
 J. Hyvarinen and J. Suhonen, Phys. Rev. C91 (2015) 1097

SuperNEMO – dążenie do:

$$T_{1/2}^{0\nu} > 1 \times 10^{26} \text{ y}$$

$$\langle m_{\beta\beta} \rangle < (0.04 - 0.14) \text{ eV}$$

8.6. Poszukiwania rozpadu $\beta\beta 0\nu$ izotopu ^{136}Xe w USA i Japonii

(i) USA – w pobliżu Carlsbad (N. Meksyk) – współpr. **EXO-200**

M. Auger et al., Phys. Rev. Lett. 109 (2012) 032505

$$T_{1/2}^{0\nu} > 1.6 \times 10^{25} \text{ y} \quad \Rightarrow \quad \langle m_{\beta\beta} \rangle < (0.14 - 0.38) \text{ eV}$$

(ii) Japonia, Laboratorium Kamioka, detektor **KamLAND-Zen**

$$T_{1/2}^{0\nu} > 1.9 \times 10^{25} \text{ y}$$

Połączenie obu wyników daje granice

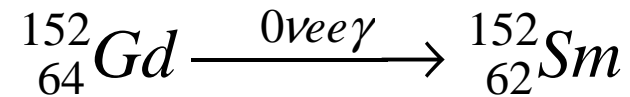
$$T_{1/2}^{0\nu} > 3.4 \times 10^{25} \text{ y} \quad (90\% \text{ C.L.})$$

$$\Rightarrow \quad \langle m_{\beta\beta} \rangle < (0.12 - 0.25) \text{ eV}$$

8.8. Podwójny radiacyjny wychwyt elektronu

Z. Sujkowski & S. Wycech, Phys. Rev. C70 (2004) 052501(R)

m. in. rozważany rozpad



$$\Delta M = 54.6(3.5) \text{ keV} / c^2$$

Przy założeniu $\langle m_{\beta\beta} \rangle = 1 \text{ eV}/c^2$
i uwzględnieniu efektów atomowo-rezonansowych
szacowana liczba rozpadów:

$10^3 - 10^{-1}$ na 1 tonę na 1 rok

(decydująca niepewność ΔM)

Artykuł przeglądowy n.t. podwójnego rozpadu beta

F.T. Avignone et al., Rev. Mod. Phys. 80 (2008) 480

„Double beta decay, Majorana neutrinos, and neutrino mass”

Z podsumowania:

- w nadchodzących latach prowadzenie badań na wielką skalę,
- ogromny postęp technologiczny (detektory, materiały o b. małym poziomie tła promieniotwórczego, ...),
- stwierdzenie, że neutrino i antyneutrino są identyczne będzie miało ogromne znaczenie poznawcze (dla teorii mas cząstek, wyjaśnienia dominacji materii nad antymaterią ...),
- nawet ustalenie tylko ostrej granicy $T_{1/2}(\beta\beta 0\nu)$ będzie cenne,
- badania procesu $\beta\beta 0\nu$ poważnym wyzwaniem dla teorii struktury jądra (możliwie dokładne obliczenie jądrowych elementów macierzowych).

Wykład 9

NEUTRINA SŁONECZNE, ATMOSFERYCZNE I REAKTOROWE

- 9.1. Wprowadzenie
- 9.2. Powstawanie neutrin słonecznych
- 9.3. Strumień i widmo neutrin słonecznych na powierzchni Ziemi
- 9.4. *SNO* – Sudbury Neutrino Observatory
- 9.5. Oddziaływanie neutrin z D_2O
- 9.6. Transformacja neutrin słonecznych
- 9.7. Badanie neutrin atmosferycznych
- 9.8. Obserwacja niedoboru antyneutrin reaktorowych

1. WPROWADZENIE

Dwie „neutrinowe” nagrody Nobla w XXI wieku

2002 – Raymond Davis Jr (USA)

„for pioneering contributions to astrophysics, in particular for detection of cosmic neutrinos”

(2-gi laureat: Masatoshi Koshiba – Japonia
– inne uzasadnienie)

2015 – Artur B. McDonald (Kanada)
i Takaaki Kajita (Japonia)

„for the discovery of neutrino oscillations, which shows that neutrinos have mass”

Doświadczenie Davisa

Podziemne laboratorium

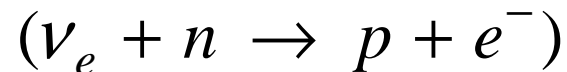
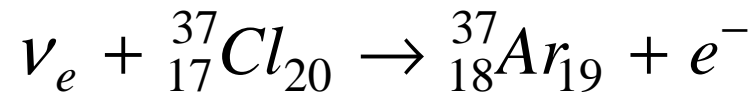
Homestake, South Dakota, USA – kopalnia złota (1.5 km skały)

C_2Cl_4 3.9×10^5 litrów

^{37}Cl 133 tony

Pomiar neutrino słonecznych

rejestrowane tylko ν_e (energia progowa $E_\nu > 0.814 \text{ MeV}$)



Doświadczenie Davisa (c.d.)

Przypomnienie:
$$\begin{cases} {}_{18}^{37}\text{Ar} \rightarrow {}_{17}^{37}\text{Cl} + \nu_e \\ T_{1/2} = 35 \text{ dni}, \quad Q_{WE} = 0.814 \text{ MeV} \end{cases}$$

Pomiar aktywności ${}^{37}\text{Ar}$ „wyplukanego” ze zbiornika (1 atom na 2 dni)

Wyniki (1970–94): eksperyment $2.56 \pm 0.22 \text{ SNU}$
teoria $7.7_{-1.0}^{+1.2} \text{ SNU}$

1 **SNU** (Solar Neutrino Unit) = 10^{-36} aktów reakcji na 1s na 1 atom)

Wniosek: deficyt neutrin słonecznych!

(Dalsze badania neutrin słonecznych – p-kt 9.4)

9.2. POWSTAWANIE NEUTRIN SŁONECZNYCH

- centrum Słońca: $T_c = 15.6 \times 10^6 \text{ K} \Rightarrow \frac{3}{2} k T_c \approx 1 \text{ keV}$,
- spalanie wodoru \rightarrow powstawanie neutrin,
- w chwili $t=0$ czyste stany neutrinowe: **tylko** ν_e !
- hipoteza: transformacja neutrin

z zachowaniem $L = L_e + L_\mu + L_\tau$,

przy niezachowaniu indywidualnych liczb L_j .

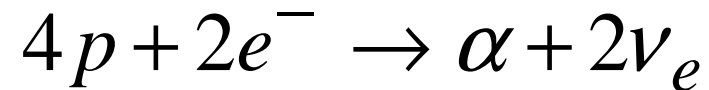
Dane o Słońcu wg Standardowego Modelu Słońca

J.N.Bahcall, *Neutrino Astrophysics*, University Press, Cambridge 1989

	$t = 4.6 \times 10^9 \text{ lat}$	$t = 0$
Jasność	$\equiv 1$	0.7
Promień (R_0)	696000 km	605500 km
Temperatura powierzchni	5773 K	5665 K
Temperatura rdzenia (T_C)	$15.6 \cdot 10^6 \text{ K}$	—
Gęstość rdzenia	148 g/cm^3	—
Wodór (H)	34.1 %	71 %
Hel (He)	63.9 %	27.1 %

Powstawanie neutrino słonecznych

spalanie wodoru – efekt sumaryczny



wyzwalana energia

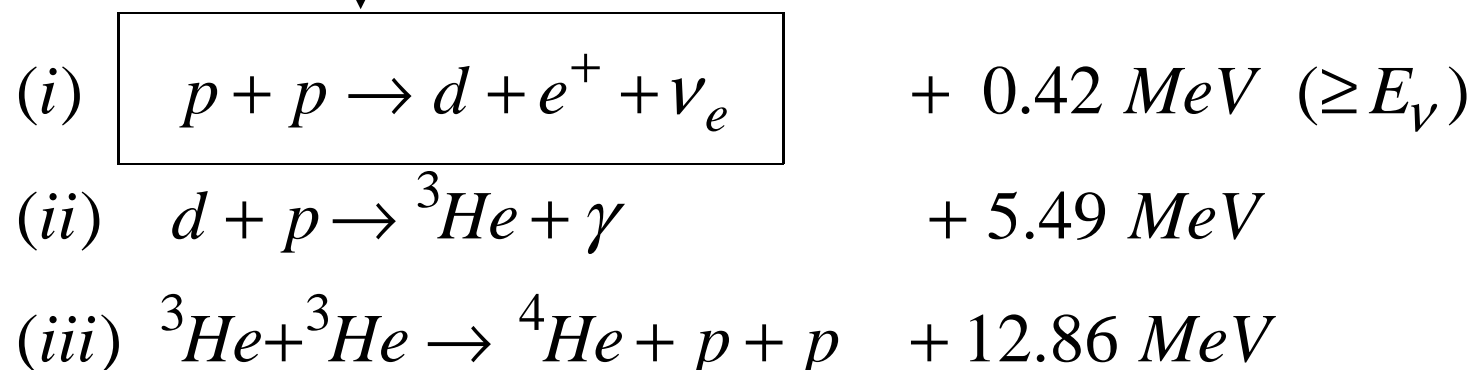
$$26.72 \text{ MeV}$$

średnia energia unoszona przez neutrino

$$\langle E(2\nu_e) \rangle = 0.59 \text{ MeV}$$

Synteza helu – etapy procesu pp-I

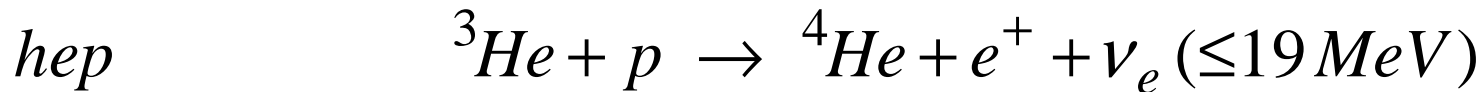
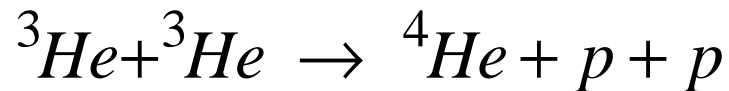
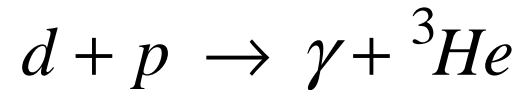
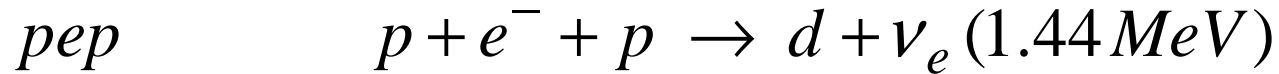
decyduje oddziaływanie słabe



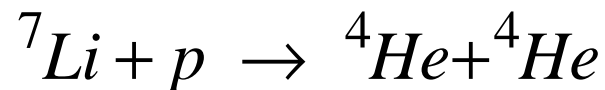
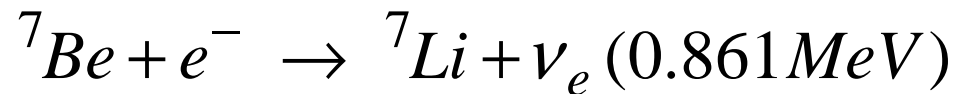
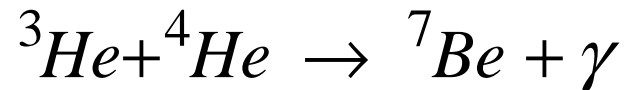
Składowe wyzwalanej energii

$$2 \times (0.42 + 5.49 + \underbrace{1.02}_{2m_e c^2}) \text{ MeV} + 12.86 \text{ MeV} = 26.72 \text{ MeV}$$

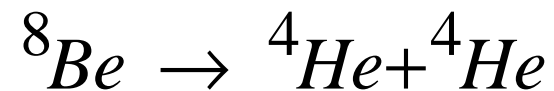
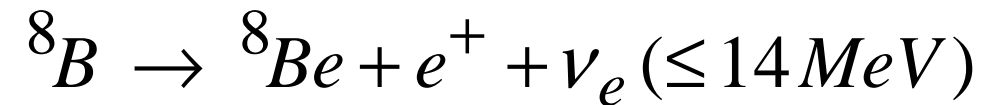
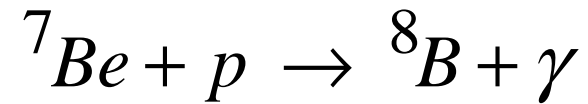
Warianty procesu *pp* (energia neutrin)



ppII



Proces pp-III



Rozpad ${}^8\text{B}$ podstawowym źródłem
neutrino wysokoenergetycznych!

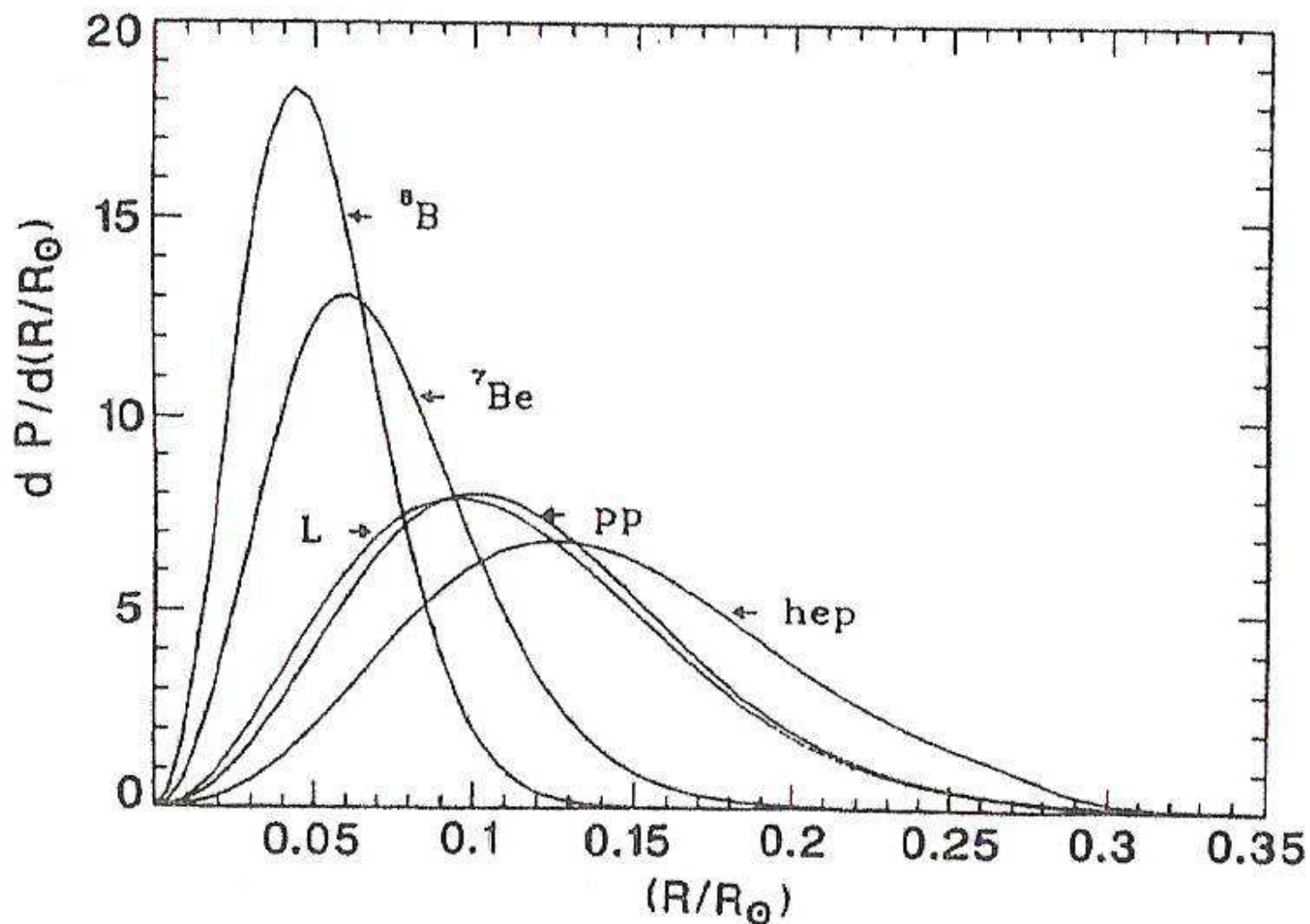
9.3. STRUMIEŃ I WIDMO NEUTRIN NA POWIERZCHNI ZIEMI

Wg Stand. Modelu Słońca – Bahcall, Phys.Lett. B433(1998)1

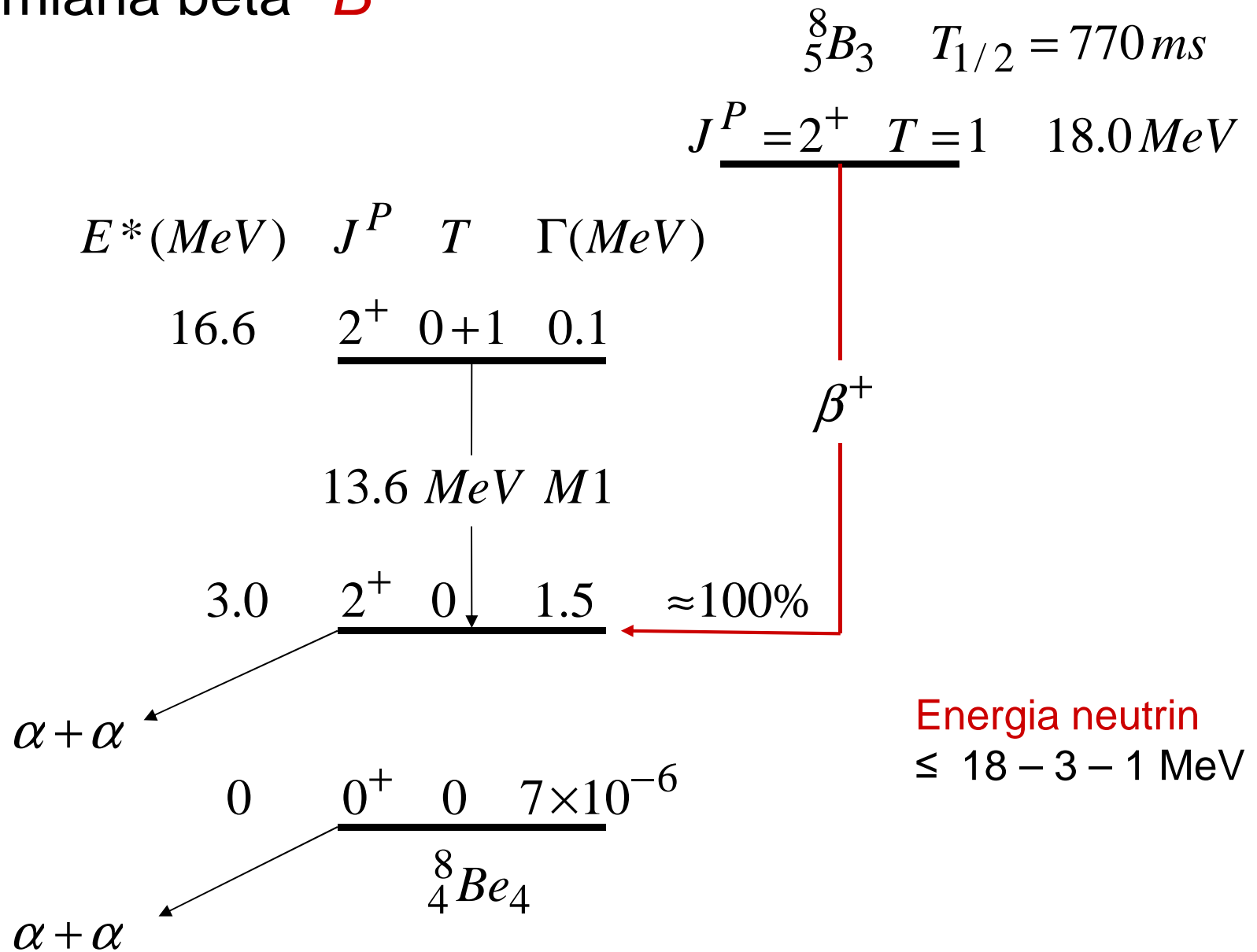
Źródło	Φ ($10^{10} \text{ cm}^{-2} \text{ s}^{-1}$)
pp	5.94
pep	1.39×10^{-2}
hep	2.10×10^{-7}
${}^7\text{Be}$	0.48
${}^8\text{B}$	$5.15 \times 10^{-4} \times (1.00^{+0.19}_{-0.14})$
CNO	0.11
	6.55

Produkcja neutrin w funkcji odległości od środka Słońca

J.N.Bahcall, *Neutrino Astrophysics*, University Press, Cambridge 1989

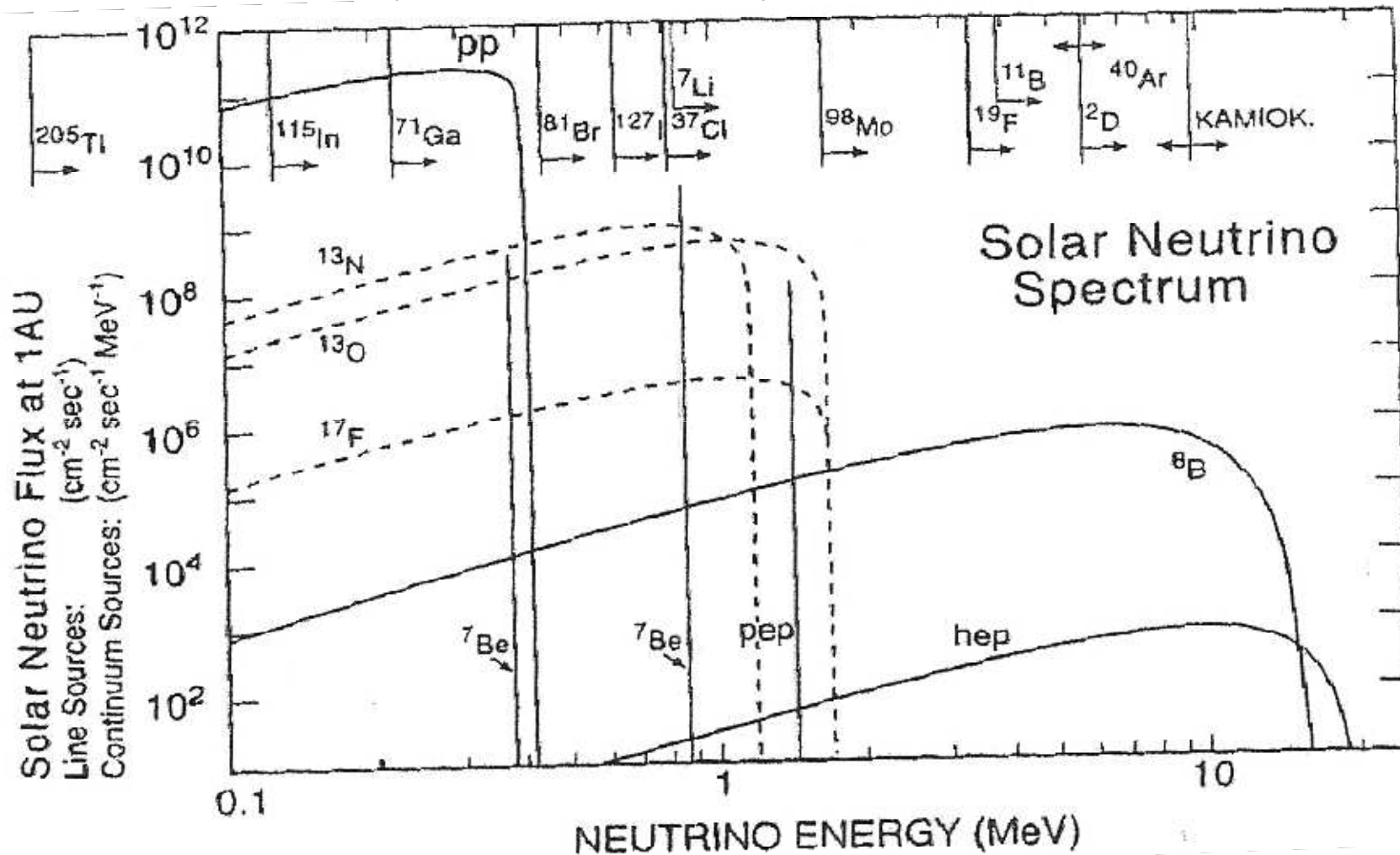


Przemiana beta 8B



Widmo neutrin słonecznych na powierzchni Ziemi

W.Hampel, J.Phys. G: Nucl. Part. Phys. 19 (1993) 209



9.4. SNO – SUDBURY NEUTRINO OBSERVATORY

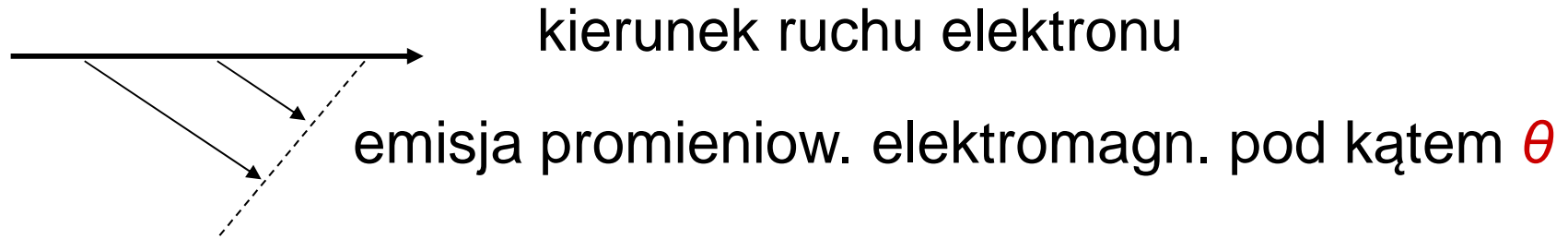
Lokalizacja

- Sudbury, Ontario, Kanada
- 2039 m pod powierzchnią Ziemi (skała równoważna 6 km wody)
- Średnia odległość od Słońca 1.5×10^{11} m

Detekcja neutrin poprzez elektrony wtórne

- detektor promieniowania Czerenkowa

Promieniowanie Czerenkowa (przypomnienie)



$$\cos \theta = \frac{c'}{v} = \frac{c}{v \cdot n}$$

c' – prędkość światła w danym ośrodku (tu w D_2O)

v – prędkość elektronu ($> c'$)

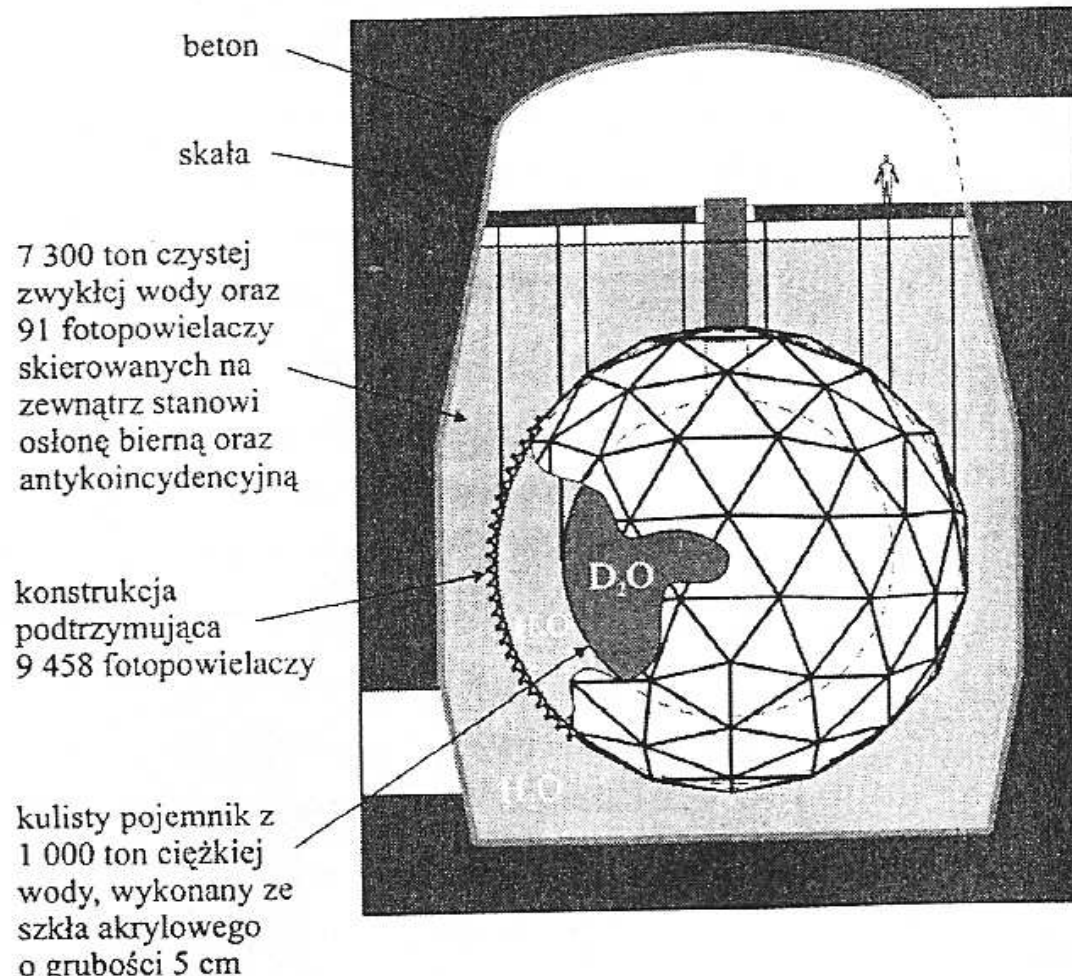
$n = c/c'$ współczynnik załamania

Detektor promieniowania Czerenkowa w SNO

- 1000 ton D_2O w kulistej powłoce akrylowej (5 cm) o średnicy 12 m
- 9456 fotopowielaczy
- osłona: 7000 ton H_2O w „beczce” (wysokość 34 m, średnica 22 m)
- próg energetyczny detekcji:
początkowo 6.75 MeV, potem 5 MeV

Detektor neutrin **SNO** – Sudbury

M.W.Wójcik i in., *Astronomia neutrin słonecznych*, *Postępy Fizyki* 53(2002)261



9.5 ODDZIAŁYWANIE NEUTRIN Z D_2O

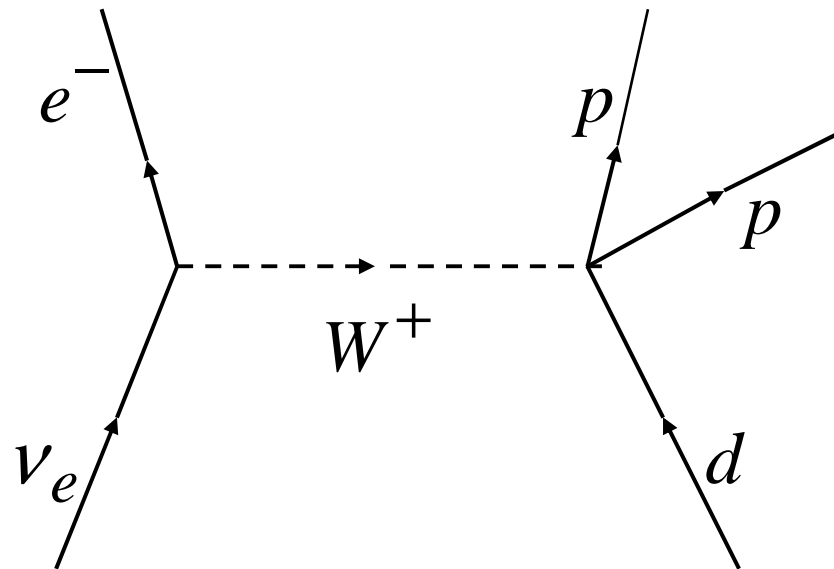
Trzy rodzaje neutrin: $x = e, \mu, \tau$

Oddziaływanie neutrin z deuteronami i elektronami

Symbol oddz.	Reakcja	Energia progowa
CC	$\nu_e + d \rightarrow p + p + e^-$ $(\nu_e + n \rightarrow p + e^-)$	$E_\nu > 1.4 MeV$
ES	$\nu_x + e^- \rightarrow \nu_x + e^-$	
NC	$\nu_x + d \rightarrow p + n + \nu_x$	$E_\nu > 2.2 MeV$

Proces **CC** (= **C**harged **C**urrent)

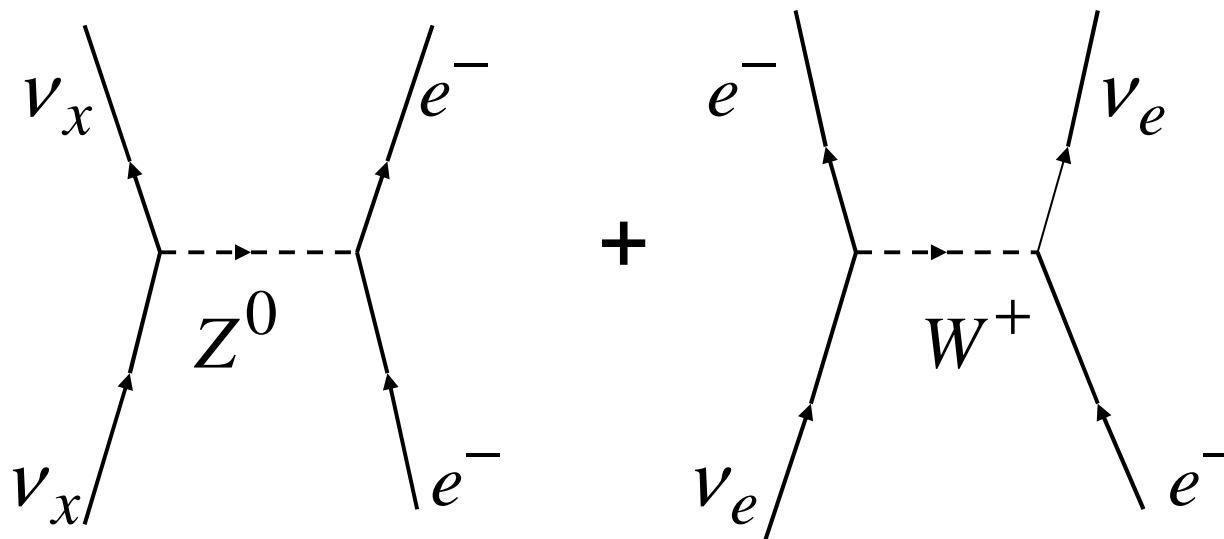
$$\nu_e + d \rightarrow p + p + e^-$$



Tylko neutrino elektronowe!

Proces **ES** (= **E**lastic **S**cattering)

$$\nu_x + e^- \rightarrow \nu_x + e^-$$



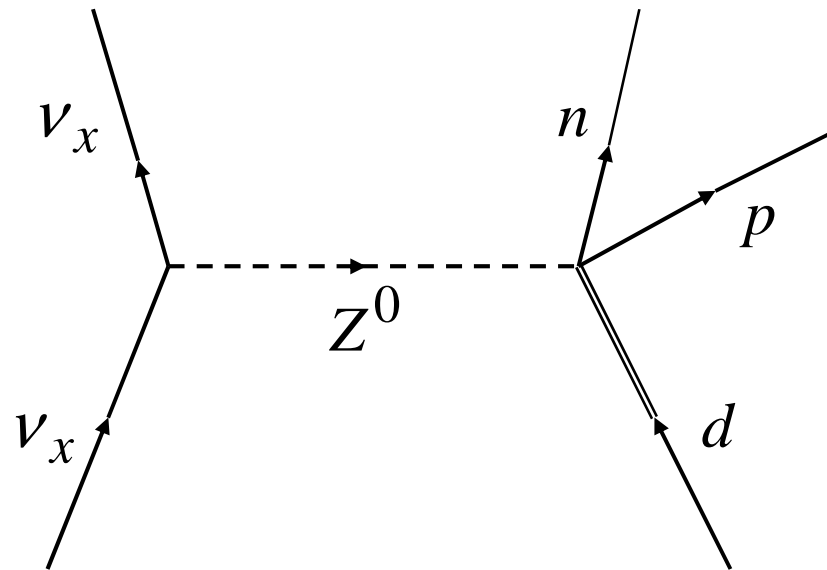
wszystkie neutrina

tylko neutrina elektronowe

$$\sigma(\nu_e e^-) \approx 6.5 \sigma(\nu_\mu e^-, \nu_\tau e^-)$$

Proces **NC** (= **N**eutral **C**urrent)

$$\nu_x + d \rightarrow p + n + \nu_x$$



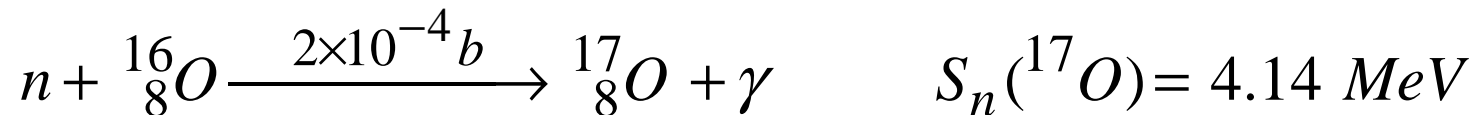
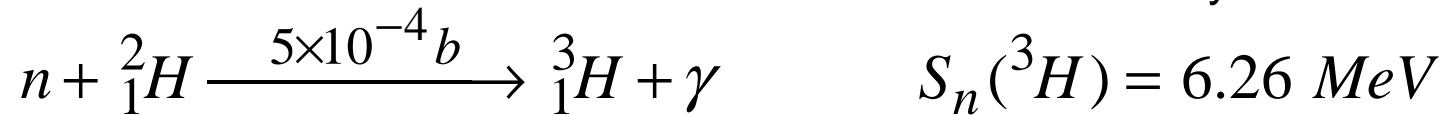
Wszystkie neutrino jednakowo

Detekcja: spowolnienie neutronów \rightarrow reakcja $(n, \gamma) \rightarrow$ wtórne elektrony

Proces **NC** → Reakcja (n,γ) → wtórne elektrony

Pochłanianie neutronów w **D₂O**

energia
wyzwalana



Dodanie **NaCl** (0.2% masy) → wydajność detekcji **x 3**

trwałe izotopy chloru	³⁵ Cl	³⁷ Cl
zawartość	76%	24%
σ(n,γ)	44 b	0.42 b

Energia separacji $S_n({}^{36}\text{Cl}) = 8.6 \text{ MeV}$

SNO – pomiar rozkładu kąтового elektronów

G.R.Ahmad et al., Phys.Rev.Letters 89 (2002) 11301

Kąt θ_0 – względem kierunku neutrin ze Słońca

ES

$$\theta_0 \approx 0, \quad \cos \theta_0 \approx 1$$

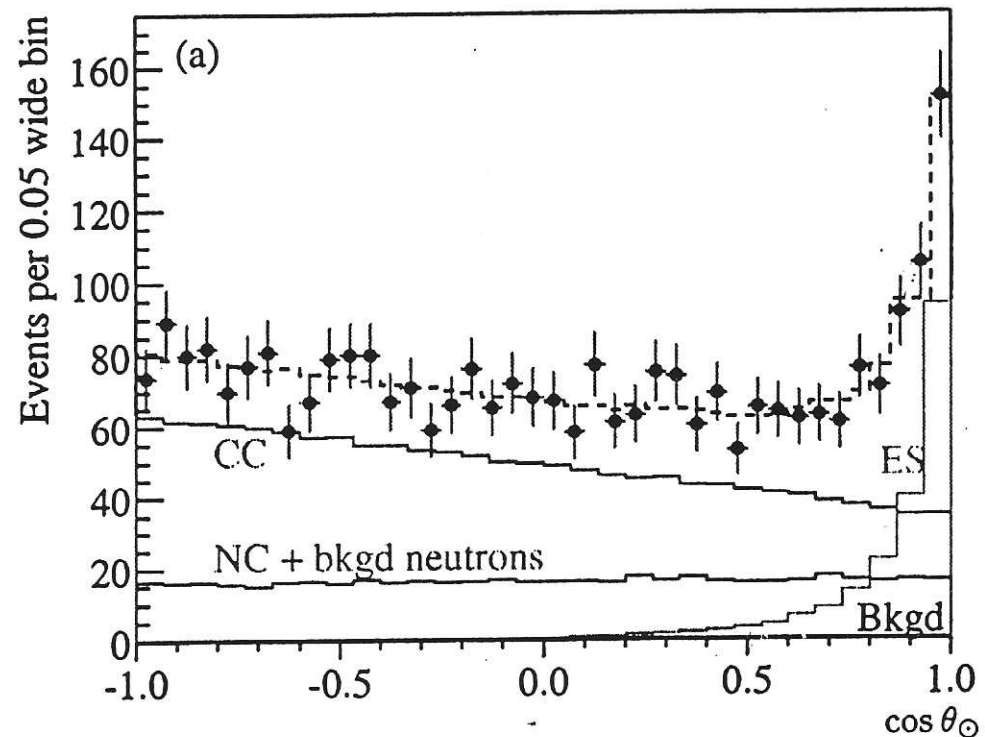
NC

$$N(\theta_0) = \text{const}$$

CC

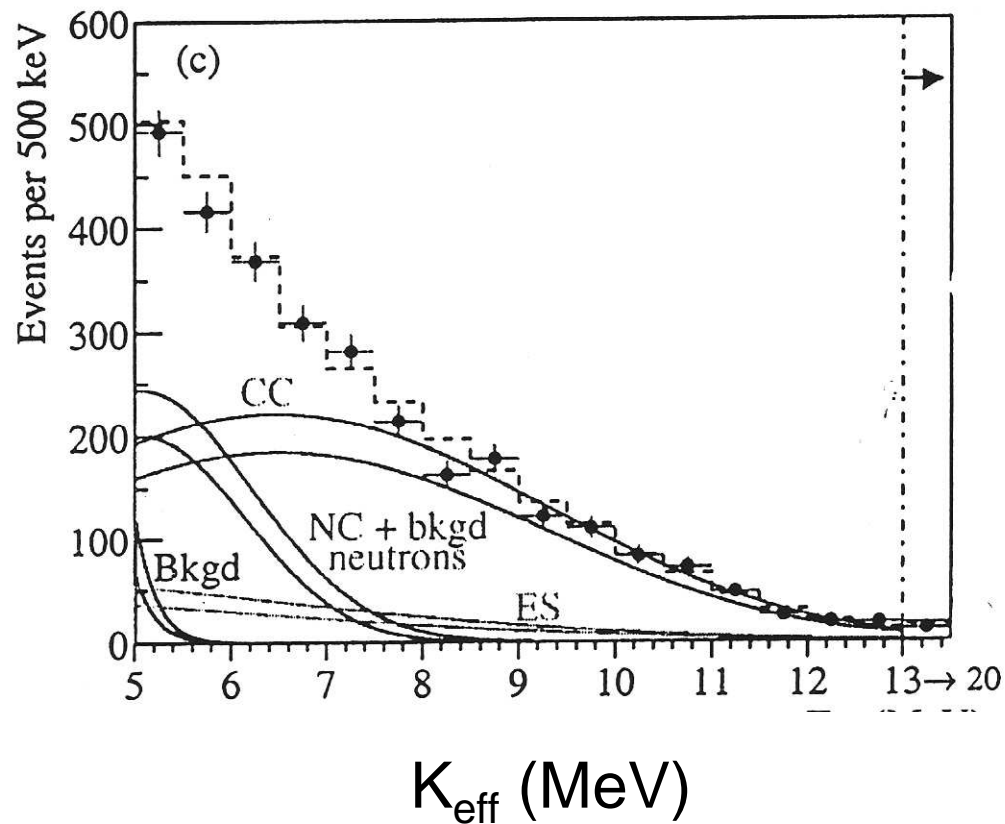
$$N(\theta_0) \sim (1 - 0.34 \cos \theta_0)$$

Bacon and Vogel, PRL 83 (1999) 5222



SNO – energetyczne widmo elektronów

Próg rejestracji elektronów: 5 MeV



Linie ciągłe – przewidywania (Monte Carlo) $\pm 1 \sigma$

9.6. TRANSFORMACJA NEUTRIN SŁONECZNYCH

Strumień neutrin słonecznych z rozp. 8B (jedn. $10^6 \text{ cm}^{-2} \text{ s}^{-1}$)

Model Słońca: $\Phi(\nu_e) = 5.15^{+0.98}_{-0.72}$

J.Bahcall et al., *Astroph. J.* 555 (2001) 990

Pomiar w SNO (254 dni)

S.N. Ahmed et al., *Phys.Rev.Letters* 92 (2004) 181301

$$\Phi^{CC}(\nu_e) = 1.59^{+0.08}_{-0.07} (stat) \quad {}^{+0.06}_{-0.08} (syst)$$

$$\Phi^{ES}(\nu_x) = 2.21^{+0.31}_{-0.26} (stat) \pm 0.10 (syst)$$

$$\Phi^{NC}(\nu_x) = 5.21 \pm 0.27 (stat) \pm 0.38 (syst)$$

Strumień neutrin słonecznych – komentarze

- (i) Wartość $\Phi^{ES}(v_x)$ na poprzednim slajdzie otrzymana przy zaniedbaniu różnicy przekrojów czynnych

$$\sigma(\nu_e e^-) \approx 6.5 \sigma(\nu_\mu e^-, \nu_\tau e^-);$$

uwzględnienie tej różnicy daje $\Phi^{ES}(v_x) \approx \Phi^{NC}(v_x)$.

- (ii) **Wniosek niezależny od modelu Słońca**

po drodze od Słońca do Ziemi

około **2/3** neutrin elektronowych z rozpadu ${}^8\text{B}$

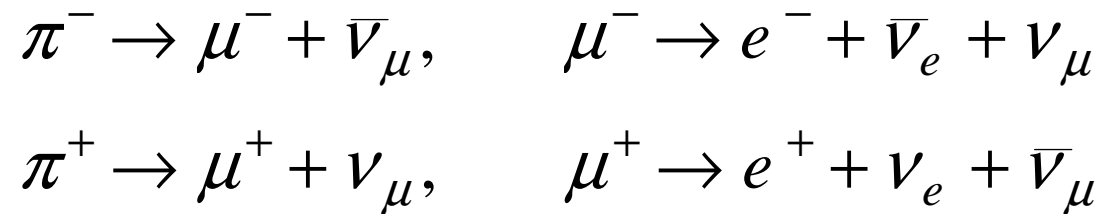
zamienia się na neutrina o innym zapachu (\rightarrow Wykł. 10)

9.7. Badanie neutrin atmosferycznych

Y. Fukuda et al. (D. Kiełczewska), Phys. Rev. Lett. 81 (1998) 1562

Źródło neutrin

oddziaływanie promieniowania kosmicznego, głównie protonów, z jądrami w zewn. warstwie atmosfery → wytwarzanie pionów



Początkowy stosunek strumieni: $R = \frac{\nu_\mu + \bar{\nu}_\mu}{\nu_e + \bar{\nu}_e} = 2$

Pomiar stosunku R

Detektor super-Kamiokande – 50000 ton wody
11146+1885 fotopowielaczy

Rejestrowanie promieniowania Czerenkowa

Identyfikacja

przypadków „ e -like” (kaskada elektronowo-fotonowa)

oraz przypadków „ μ -like” (bez kaskady)

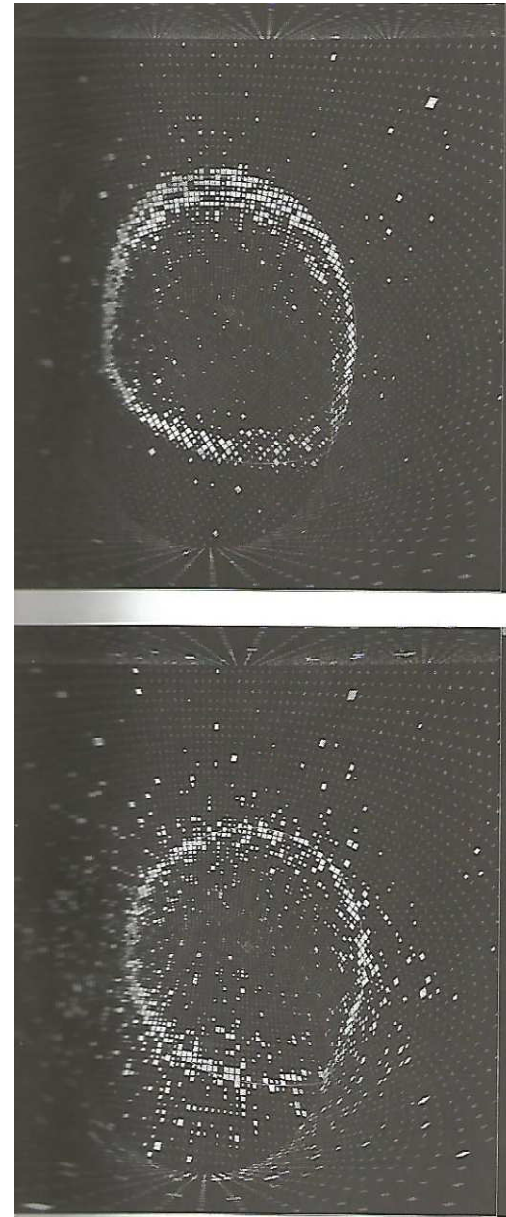
w funkcji kąta zenitalnego ϑ (od 0° do 180°),

tj. drogi pokonywanej przez neutrino (od ok. 10 do ok. 13000 km).

Dwa zdarzenia zarejestrowane w detektorze super-K (pierścienie promieniowania Czerenkowa):

„ μ -like” – u góry

„e-like” – u dołu



Realny czas zbierania danych: 1289 dni

Liczba zarejestrowanych zdarzeń

2864 (624) dla $E_\nu < 1 \text{ GeV}$

2788 (558) dla $E_\nu > 1 \text{ GeV}$

↑
tory obserwowane częściowo

Wyniki

od $R \approx 2:1$ dla $\vartheta \approx 00$

do $R \approx 1:1$ dla $\vartheta \approx 1800$

Wniosek: dla dużych ϑ część ν_μ podlega przemianie w inne neutrino (ν_τ – Wykład 10) .

9.8. Obserwacja niedoboru antyneutrin reaktorowych

E. Eguchi et al. (M.P. Decowski), Phys. Rev. Lett. 90 (2003) 021802

Podziemne laboratorium (równoważna warstwa H₂O – 2700 m)

Kamioka Liquid Scintillator Anti-Neutrino Detector – **KamLAND**

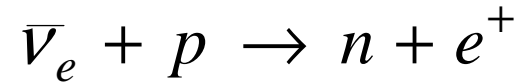
- 1000 ton ciekłego scyntylatora
- zbiornik o średnicy 13 m
- 1879 + ... fotopowielaczy

Źródło antyneutrin – szereg reaktorów japońskich i koreańskich

Średnia odległość reaktorów od detektora: **180 km**

(ważona wartościami strumieni antyneutrin w miejscu detektora)

Detekcja antyneutrin poprzez reakcję



Czas zbierania danych: 145 dni

Rejestracja zdarzeń

natychmiastowa – **pozytony** ($E = E_{\text{kin}} + 1.02 \text{ MeV} - 0.78 \text{ MeV} < 1.5 \text{ MeV}$)

opóźniona (spowalnianie neutronów) – **gamma** (2.2 MeV) po reakcji $p(n,\gamma)d$

Oczekiwana liczba rejestracji neutrin: $N_{\text{ocz}} = 86.8 \pm 5.6$

Wynik pomiarów (po odjęciu tła N_{BG})

$$\frac{N_{\text{obs}} - N_{BG}}{N_{\text{ocz}}} = 0.611 \pm 0.085(\text{stat}) \pm 0.041(\text{syst})$$

Wykład 10

OSCYLACJE I MASY NEUTRIN

- 10.1. Uwagi wstępne
- 10.2. Oscylacje w próżni dwóch neutrin
- 10.3. Neutrino słoneczne
- 10.4. Neutrino atmosferyczne (Super-Kamiokande)
- 10.5. Antyneutrino reaktorowe
- 10.6. $U_{\alpha k}$ - macierz zmieszania stanów neutrinowych
- 10.7. Masy neutrin
- 10.8. Poszukiwanie oscylacji z udziałem neutrin sterylnych

10.1. Uwagi wstępne

Wykłady w Warszawie

<http://neutrino.fuw.edu.pl/pl/edukacja/wyklady>

„Fizyka cząstek – neutrina” – D. Kiełczewska, (V rok, 2011-2012)

„From neutrinos to cosmic sources” – D. Kiełczewska i E. Rondio (2004-2009)

Ponadto: strona neutrino.fuw.edu.pl

Książki i artykuły przeglądowe

K. Zuber, Neutrino Physics, Inst. of Physics, Bristol 2004 – IFT22912

D. Griffiths, Intr. to elementary particle physics, Wiley 2012

E.W. Otten and C. Weinheimer, Rep. Progr. Phys. 71 (2008) 086201

„Neutrino mass limit from tritium decay”

²

F.T. Avignone et al., Rev. Mod. Phys. 80 (2008) 480

„Double beta decay, Majorana neutrinos, and neutrino mass”

Założenia

- Indywidualne liczby leptonowe zachowane w przybliżeniu;
- masy neutrin $\neq 0$;
- stany własne oddziaływań słabych ν_e, ν_μ, ν_τ ;

liniowymi komb. stanów własnych masy ν_1, ν_2, ν_3 :

$$\nu_x = \sum_{k=1}^3 U_{xk} \nu_k \quad x = e, \mu, \tau$$

elementy unitarnej macierzy zmieszania.

10.2. Oscylacje w próżni 2 neutrin

Dwa stany własne masy neutrina ν_k , o pędzie q_k , przy bardzo małych wartościach m_k , mają energie:

$$E_k = \sqrt{q_k^2 c^2 + m_k^2 c^4} \approx q_k c \left(1 + \frac{m_k^2 c^2}{2q_k^2}\right)$$

$k = 1 \text{ i } 2$

Stany neutrina o dwóch zapachach, np.

$$|\nu_\mu\rangle = |\nu_1\rangle \cos \theta + |\nu_2\rangle \sin \theta$$

$$|\nu_e\rangle = -|\nu_1\rangle \sin \theta + |\nu_2\rangle \cos \theta$$

Ewolucja stanu neutrina w czasie

Założenie: w czasie $t = 0$ – neutrino elektronowe

$$\nu(0) = |\nu_e\rangle = -|\nu_1\rangle \sin \theta + |\nu_2\rangle \cos \theta$$

$$\nu(t) = -|\nu_1\rangle \sin \theta e^{-iE_1 t / \hbar} + |\nu_2\rangle \cos \theta e^{-iE_2 t / \hbar}$$

Amplituda prawdopodobieństwa znalezienia neutrina w stanie $|\nu_\mu\rangle$ w funkcji czasu

$$\begin{aligned} a(t) &= \langle \nu_\mu | \nu(t) \rangle = \langle \nu_1 | \nu(t) \rangle \cos \theta + \langle \nu_2 | \nu(t) \rangle \sin \theta \\ &= -\sin \theta \cos \theta e^{-iE_1 t / \hbar} + \sin \theta \cos \theta e^{-iE_2 t / \hbar} \end{aligned}$$

Prawdopodob. znalezienia neutrina mionowego po upływie czasu t

$$\begin{aligned} P(\nu_e \rightarrow \nu_\mu) &= |a|^2 = a a^* \\ &= \sin^2(2\theta) \sin^2(\Delta E t / 2\hbar) \end{aligned}$$

gdzie

$$\Delta E = E_2 - E_1 = \frac{(m_2^2 - m_1^2) c^2}{2qc} = \frac{\Delta m_{21}^2 c^2}{2qc},$$

$$\Delta m_{21}^2 \equiv m_2^2 - m_1^2$$

Prawdopodob. znalezienia neutrina mionowego w czasie t (c.d.)

Zakładamy, że – w dobrym przybliżeniu –

- neutrina poruszają się z prędkością światła
(związek drogi i czasu: $L = c t$)
- energia $E = qc$.

Stąd

$$P(\nu_e \rightarrow \nu_\mu) = \sin^2(2\theta) \sin^2\left(\frac{\Delta m_{21}^2 c^4}{4 E \hbar c} L\right)$$

Wzór dla praktycznych zastosowań

$$\hbar c = 197.3 \times 10^{-15} \text{ MeV m};$$

$$[E_\nu] = \text{MeV}, \quad [\Delta m_{21}^2] = (\text{eV} / c^2)^2, \quad [L] = \text{m}.$$

$$P(\nu_e \rightarrow \nu_\mu) = \sin^2(2\theta) \sin^2\left(1.27 \frac{\Delta m_{21}^2 c^4}{E_\nu} L\right)$$

Jakościowo:

efektem oscylacji jest zmniejszenie prawdopodob. obserwowania neutrina elektronowego.

10.3. Oscylacje neutrin słonecznych

Długość oscylacji dla wybranej energii

$$\sin^2\left(\frac{1.27 \Delta m_{21}^2 c^4}{E_\nu} L\right) = \sin^2\left(\pi \frac{L}{L_{osc}}\right)$$

⇓

$$L_{osc} \approx \frac{2.5 E_\nu}{\Delta m_{21}^2 c^4}$$

$$\left. \begin{array}{l} E_\nu = 10 \text{ MeV} \\ \Delta m_{21}^2 \approx 10^{-4} (\text{eV} / c^2)^2 \end{array} \right\} \Rightarrow L_{osc} \approx 250 \text{ m}$$

Wskutek oscylacji ok. 2/3 neutrin elektronowych ulega transformacji w neutrina o innym zapachu (Wykład 9)

10.4. Oscylacje neutrin atmosferycznych (Super-K)

Prawdopodobieństwo, że **neutrino mionowe**,
po przebyciu drogi L ,
nie ulegnie transformacji (w neutrino taonowe)

$$P(\nu_{\mu} \rightarrow \nu_{\mu}) = 1 - \sin^2(2\theta) \sin^2 \left[1.27 \Delta m^2 \frac{L(\text{km})}{E_{\nu}(\text{GeV})} \right]$$

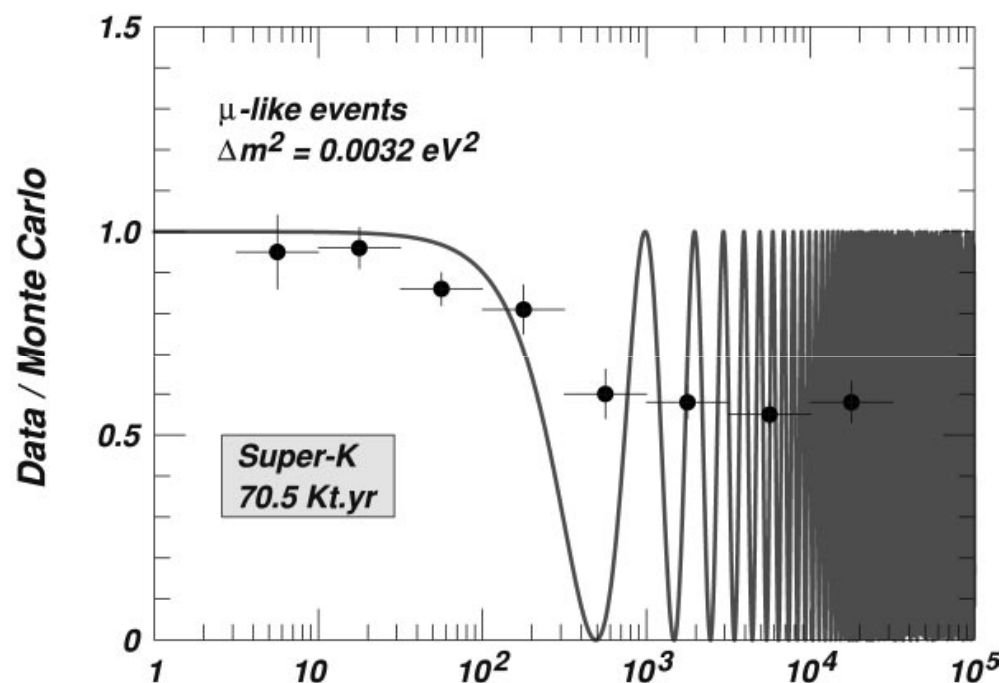
Obserwacja oscylacji poprzez pomiar odchylenia natężenia
neutrin mionowych od wartości oczekiwanej
w funkcji stosunku L/E .

Dopasowanie do wyników z Super-Kamiokande (następny slajd):

$$\Delta m^2 \approx 3.2 \times 10^{-3} (\text{eV} / c^2)^2, \quad \theta \approx \pi / 4$$

Analiza wyników eksperymentu Super-Kamiokande

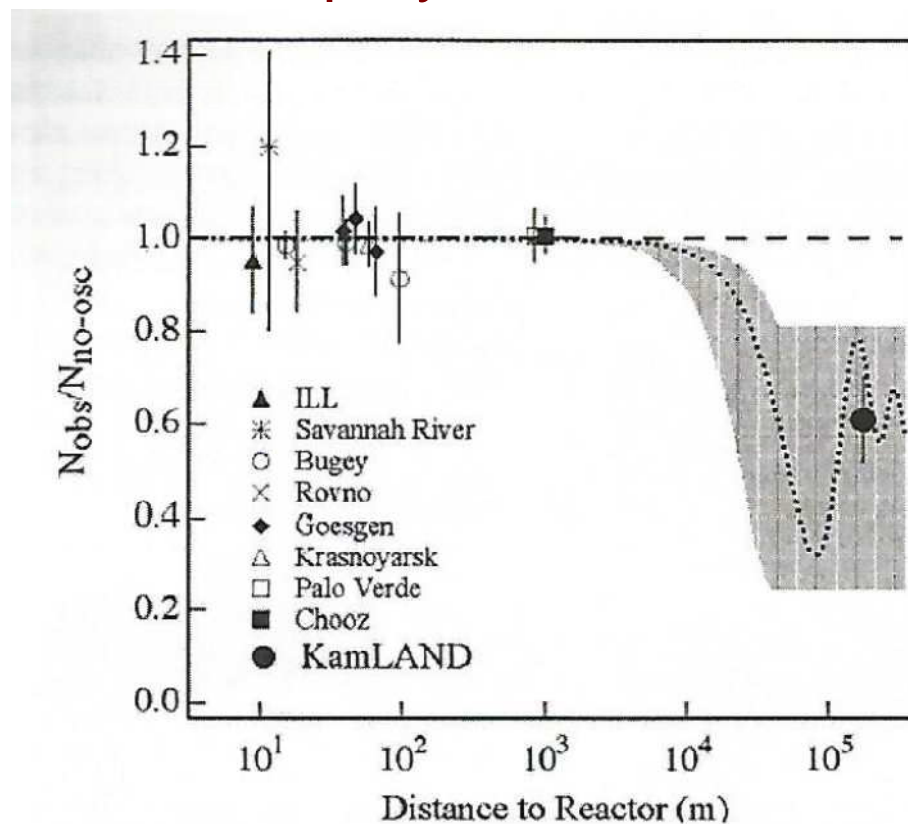
T.K. Gaisser & M. Honda, Ann. Rev. Nucl. Part. Science 52 (2002) 153



Prawdopodobieństwo oscylacji w funkcji L/E_ν (km/GeV)

10.5. Oscylacje antyneutrin reaktorowych

eksperyment KamLAND



K. Eguchi et al., Phys. Rev. Lett. 90 (2003) 021802

10.6. $U_{\alpha k}$ – macierz zmieszania stanów neutrinowych

stany
własne
zapachu

tylko w przypadku
neutrino Majorany

stany
własne
masy

$$\begin{pmatrix} \nu_e \\ \nu_\mu \\ \nu_\tau \end{pmatrix} = \begin{pmatrix} U_{e1} & U_{e2} & U_{e3} \\ U_{\mu1} & U_{\mu2} & U_{\mu3} \\ U_{\tau1} & U_{\tau2} & U_{\tau3} \end{pmatrix} \times \overbrace{\begin{pmatrix} 1 & 0 & 0 \\ 0 & \exp(i\alpha_2/2) & 0 \\ 0 & 0 & \exp(i\alpha_3/2) \end{pmatrix}} \times \begin{pmatrix} \nu_1 \\ \nu_2 \\ \nu_3 \end{pmatrix}$$

$$\left. \begin{aligned} U_{e1} &= \cos \theta_{12} \cdot \cos \theta_{13} \\ U_{e2} &= \sin \theta_{12} \cdot \cos \theta_{13} \\ U_{e3} &= \sin \theta_{12} \cdot \exp(-i\delta) \end{aligned} \right\} |U_{e1}|^2 + |U_{e2}|^2 + |U_{e3}|^2 = 1$$

Komentarze:

- Unitarność macierzy U , t. zn. $U^{-1}=U^\dagger$
- Przejście od st. wł. zapachu do st. wł. masy
(jeżeli mamy neutrino Diraca)

$$\begin{pmatrix} \nu_1 \\ \nu_2 \\ \nu_3 \end{pmatrix} = \begin{pmatrix} U_{e1}^* & U_{\mu 1}^* & U_{\tau 1}^* \\ U_{e2}^* & U_{\mu 2}^* & U_{\tau 2}^* \\ U_{e3}^* & U_{\mu 3}^* & U_{\tau 3}^* \end{pmatrix} \times \begin{pmatrix} \nu_e \\ \nu_\mu \\ \nu_\tau \end{pmatrix}$$

- Przyjmuje się, że fazy dirakowskie: $\theta_{12} \approx \theta_{sol}$, $\theta_{23} \approx \theta_{atm}$

doświadczenie: $\theta_{sol} = 34 \pm 2^\circ$, $\theta_{atm} = 45 \pm 8^\circ$, $\theta_{13} < 10^\circ$

10.7. Masy neutrin

Kwadrat masy neutrina elektronowego

$$m_{\nu e}^2 = m_1^2 |U_{e1}|^2 + m_2^2 |U_{e2}|^2 + m_3^2 |U_{e3}|^2$$

Masa neutrina Majorany z rozpadu $\beta\beta 0\nu$

$$\langle m_{\beta\beta} \rangle = \left| m_1 |U_{e1}|^2 + m_2 |U_{e2}|^2 e^{i(\alpha_2 - \alpha_1)} + m_3 |U_{e3}|^2 e^{i(-\alpha_1 - 2\delta)} \right|$$

Z doświadczenia wiemy, że

$$\Delta(m^2)_{sol} \approx 8 \times 10^{-5} \text{ (eV / c}^2\text{)}^2$$

$$\Delta(m^2)_{atm} \approx 2 \times 10^{-3} \text{ (eV / c}^2\text{)}^2$$

Dla stanów własnych masy mamy

$$\Delta_{21} = m_2^2 - m_1^2, \quad \Delta_{32} = m_3^2 - m_2^2, \quad \Delta_{31} = m_3^2 - m_1^2,$$

$$\Delta_{31} = \Delta_{21} + \Delta_{32}$$

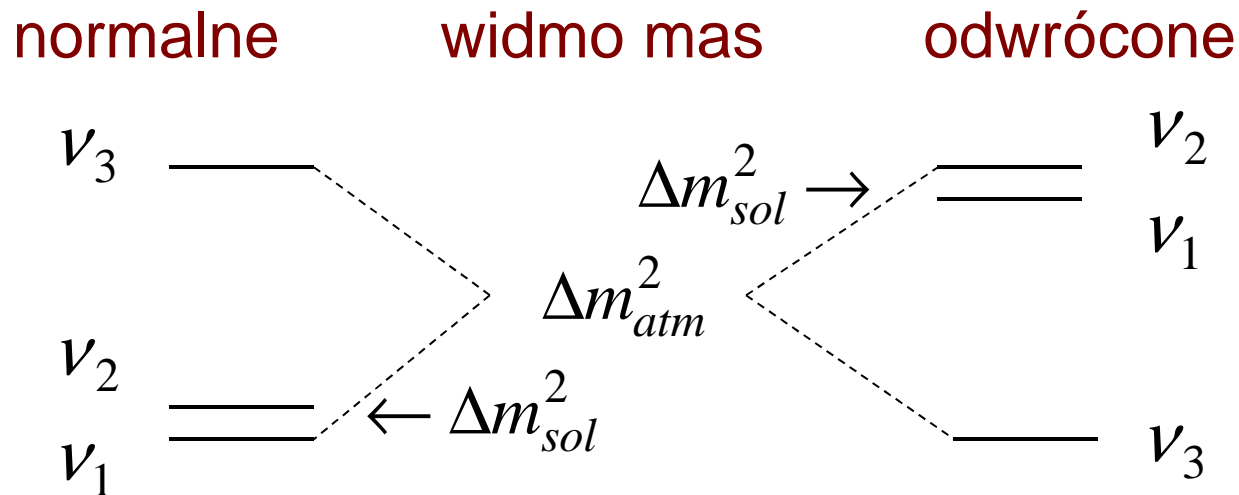
Tylko 2 różnice niezależne.

Z danych dla neutrin słonecznych i atmosferycznych wynika, że 2 masy są stosunkowo bliskie, a 1 znacznie się różni.

Przyjmujemy:

m_2 i m_1 bliskie, $m_2 > m_1$

m_3 różni się znacznie



J. Beringer et al. (Particle Data Group), Phys. Rev. D91 (2012) 072005

$$\Delta m_{21}^2 = \Delta m_{sol}^2 = 7.50_{-0.20}^{+0.19} \times 10^{-5} (eV / c^2)^2$$

$$\Delta m_{31}^2 \approx \left| \Delta m_{32}^2 \right| = \Delta m_{atm}^2 = 2.32_{-0.08}^{+0.12} \times 10^{-3} (eV / c^2)^2$$

10.8. Poszukiwanie oscylacji z udziałem neutrin sterylnych

S. Schael et al., Physics Reports, 427 (2006) 257

Dane z LEP (Large Electron-Positron Collider, CERN),
o bozonie pośredniczącym Z^0 , m. in. jego szerokości

$$\Gamma_Z = 2.4952 \pm 0.0023 \text{ GeV},$$

wskazują na liczbę zapachów leptonów uczestniczących w rozpadzie

$$2.9840 \pm 0.0082,$$

zgodnie z istnieniem 3 generacji fundamentalnych fermionów.

Ten wynik nie wyklucza hipotetycznych neutrin sterylnych.

Ciemna materia i neutrino sterylne

Istnienie **ciemnej materii** zakłada się, żeby wyjaśnić pewne efekty grawitacyjne, np. anomalną rotację galaktyk.

Szacuje się, że ciemna materia stanowi ok. **1/4** bilansu masy/energii Wszechświata.

Neutrino są jedynymi znanymi cząstkami ciemnej materii, ale ich masy są tak małe, że mogą być odpowiedzialne tylko za małą część tej materii. Szuka się innych cząstek.

Wśród różnych hipotez rozważa się możliwość istnienia t. zw. **neutrin sterylnych**

- oddziałujących grawitacyjnie,
- nie uczestniczących w oddziaływaniach słabych,
- mogących jednak uczestniczyć w zjawisku oscylacji neutrin.

Zakłada się, że ich **masy są znacznie większe niż masy neutrin znanych**.

Obserwacja ciężkich neutrin??

A.Aguilar et al. (LSND Collab., Los Alamos), PR D64 (2001) 112007

LSND – **L**iquid **S**cintillator **N**eutrino **D**etector (8.3 m, śred. 5.6 m)

protony 798 MeV (1 mA), produkcja π^+ , wiązka wtórnych μ^+

rozpad μ^+ w spoczynku

$$\mu^+ \rightarrow e^+ + \nu_e + \bar{\nu}_\mu, \quad \bar{\nu}_\mu \rightarrow \bar{\nu}_e, \quad \bar{\nu}_e + p \rightarrow e^+ + n$$

Zbieranie danych 1993 – 1998,

pomiar γ -2.2 MeV z reakcji $p(n,\gamma)$,

obserwacja $87.9 \pm 22.4 \pm 6.0$ zdarzeń

Interpretacja:

oscylacje odpowiadające $\Delta m^2 = 0.2 \div 10 \text{ (eV/c}^2\text{)}^2$

Poszukiwanie oscylacji neutrin atmosferycznych z udziałem neutrin sterylnych

K. Abe et al., (SK Collaboration), Phys. Rev. D91 (2015) 052019

Detektor **Super-Kamiokande**, pomiary 4438 dni

Szukanie oscylacji odpowiadających $\Delta m^2 \sim 1 \text{ (eV/c}^2\text{)}^2$, które mogłyby świadczyć o istnieniu neutrin sterylnych.

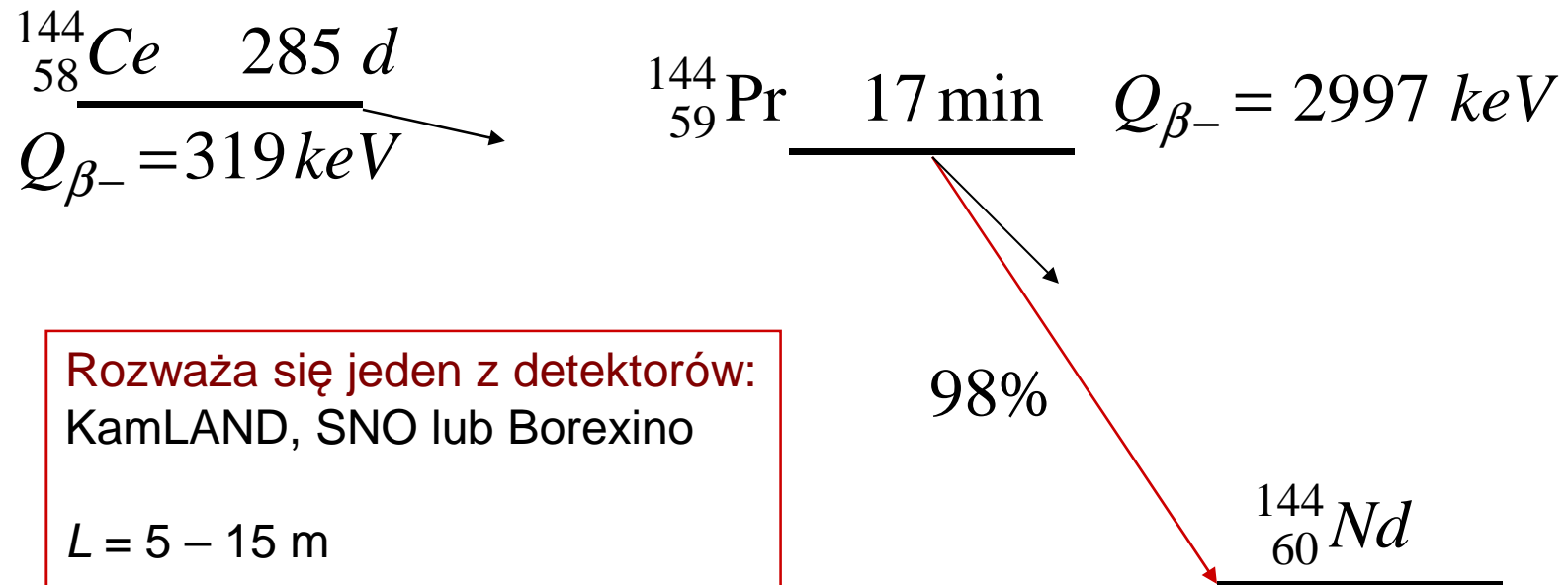
Wynik negatywny $|U_{\mu 4}|^2 < 0.041$, $|U_{\tau 4}|^2 < 0.16$

Kwestia istnienia neutrin sterylnych wciąż otwarta.

Projekt fizyków francuskich i rosyjskich

„Experimental parameters for Cerium 144 based intense electron antineutrino generator experiment at very short baseline”
J. Gaffiot et al., Phys. Rev. D91 (2015) 072005

Źródło antyneutrino ($\sim 10^{15}$ Bq – reaktor w Rosji)



Rozważa się jeden z detektorów:
KamLAND, SNO lub Borexino

$L = 5 - 15 \text{ m}$

$\Delta m^2 \sim 0.1 \div 5 \text{ (eV}/c^2)^2$

Wykład 11

SYMETRIE I PRAWA ZACHOWANIA

11.1. Uwagi wstępne

11.2. Wielkości zachowane i symetrie

11.3. Unitarna transformacja ciągła

11.4. Zachowanie pędu

11.5. Zachowanie energii

11.6. Moment pędu i izospin

(m.in. H. Frauenfelder & E.M. Henley, *Subatomic Physics*, Prentice-Hall 1974)

11.1. UWAGI WSTĘPNE

Prawa zachowania w fizyce subatomowej

- wnoszą ład do danych doświadczalnych (istotne przy niedoskonałości teorii),
- niektóre stosują się tylko w mikroświecie,
- to, co nie jest wzbronione przez pełen zestaw praw zachowania, powinno być obserwowane,
- stany fizyczne mogą być określone przez wielkości zachowane
(np. cząstkę charakteryzujemy podając masę, bo energia zachowana; podobnie z ładunkiem itd.).

Symetrie i prawa zachowania

- Każde prawo zachowania wiąże się z jakimś rodzajem symetrii (pochodzenie nie zawsze znane);
- niektóre symetrie – „doskonałe” (odpowiednie wielkości zachowane ściśle),
- inne bywają „łamane” (odpowiednie wielkości zachowane w przybliżeniu).

Klasyfikacja praw zachowania istotnych m.in. w przemianie β

- (i) Prawa zachowania pochodzenia geometrycznego (obowiązujące dla wszystkich oddziaływań)
- (ii) Prawa zachowania ładunków (częściowo o nieznanym pochodzeniu fizycznym)
- (iii) Inne prawa zachowania (spełnione nie dla wszystkich oddziaływań)

(i) Prawa zachowania pochodzenia geometrycznego
(obowiązujące ściśle dla wszystkich oddziaływań)

Wielkość	Symbol	Pochodzenie fizyczne
Energia	E	jednorodność czasu
Pęd	p	jednorodność przestrzeni
Moment pędu	J	izotropowość przestrzeni

(ii) Prawa zachowania ładunków (częściowo nieznanе pochodzenie fizyczne)

Ładunek	Symbol	Zachowanie
elektryczny	Q	ściśle
barionowy	B	ściśle (?)
leptonowy elektrony	L_e	w przybliżeniu
mionowy	L_μ	w przybliżeniu
taonowy	L_τ	w przybliżeniu
sumaryczny	$L=L_e+L_\mu+L_\tau$?

Komentarze

Notacja/terminologia

$Q = q/|e|$ – ładunek elektryczny bezwymiarowy

B – liczba barionowa

L_i – liczby leptonowe

Niezachowanie L_i –

wniosek m.in. z zaobserwowania transformacji neutrin słonecznych.

(iii) Inne prawa zachowania

(spełnione nie dla wszystkich oddziaływań)

m.in. prawa związane z

- obrotem w przestrzeni izospinu,
- odbiciem przestrzennym **P**,
- sprzężeniem ładunkowym **C**,
- odwróceniem czasu **T**.

11.2. WIELKOŚCI ZACHOWANE I SYMETRIE

Warunek zachowania wielkości fizycznej

Założenia:

- Układ fizyczny opisany hamiltonianem \hat{H} ,
- obserwowalnej wielkości fizycznej F
odpowiada operator hermitowski \hat{F} ,
- oba operatory nie zależą od czasu.

Warunkiem zachowania wielkości F
jest komutowanie \hat{F} i \hat{H} (\rightarrow slajd 10)

Równanie Schrödingera

$$i\hbar \frac{\partial \psi}{\partial t} = \hat{H} \psi \quad \Rightarrow \quad -i\hbar \frac{\partial \psi^*}{\partial t} = \psi^* \hat{H}$$

Warunek zachowania wielkości F

$$\frac{d}{dt} \langle \hat{F} \rangle = \frac{d}{dt} \int \psi^* \hat{F} \psi d\tau = \int \frac{\partial \psi^*}{\partial t} \hat{F} \psi d\tau + \int \psi^* \hat{F} \frac{\partial \psi}{\partial t} d\tau =$$

$$\frac{i}{\hbar} \int \psi^* (\hat{H} \hat{F} - \hat{F} \hat{H}) \psi d\tau = \int \psi^* [\hat{H}, \hat{F}] \psi d\tau$$

$$[\hat{H}, \hat{F}] = 0 \quad \Rightarrow \quad \frac{d}{dt} \langle \hat{F} \rangle = 0$$

Transformacje unitarne i symetrie

Operator transformujący funkcję falową

$$\psi'(\vec{r}, t) = \hat{U} \psi(\vec{r}, t)$$

Operacja odwrotna

$$\hat{U}^{-1} \psi' = \hat{U}^{-1} \hat{U} \psi = \psi$$

Warunek normalizacji

$$\int \psi^* \psi d\tau = 1 = \int \psi'^* \psi' d\tau = \int (\hat{U}\psi)^* \hat{U}\psi d\tau = \int \psi^* \hat{U}^+ \hat{U}\psi d\tau$$

↑
def. operatora hermitowsko sprzężonego

Unitarność operatora \hat{U} :

$$\hat{U}^+ \hat{U} = \hat{U} \hat{U}^+ = 1$$

$$\hat{U}^+ \hat{U} = 1 \quad \Rightarrow \quad \hat{U}^+ \underbrace{\hat{U} \hat{U}^{-1}}_1 = \hat{U}^{-1} \quad \Rightarrow \quad \hat{U}^+ = \hat{U}^{-1}$$

Operacja symetrii

Układ fizyczny opisany funkcją falową ψ
jest **niezmienniczy** względem operacji \hat{U}
jeżeli ψ i $\psi' = \hat{U}\psi$ spełniają to samo
równanie Schrödingera.

Wówczas \hat{U} **operatorem symetrii**.

Hamiltonian niezmienniczy względem transformacji \hat{U}

Zał.: \hat{U} operatorem **symetrii**, tj.

$$\begin{cases} i\hbar \frac{\partial \psi}{\partial t} = \hat{H} \psi \\ i\hbar \frac{\partial \hat{U} \psi}{\partial t} = \hat{H} \hat{U} \psi \end{cases}$$

↓

$$i\hbar \frac{\partial \psi}{\partial t} = \hat{U}^{-1} \hat{H} \hat{U} \psi$$

$$\hat{H} = \hat{U}^{-1} \hat{H} \hat{U} \quad \Rightarrow \quad \hat{U} \hat{H} = \hat{H} \hat{U} \quad \Rightarrow \quad \boxed{[\hat{H}, \hat{U}] = 0}$$

Hamiltonian **komutuje** z operatorem symetrii.

Przykłady transformacji

Transformacje **ciągłe**

- przesunięcie – związek z zasadą zachowania pędu i energii
- obroty – związek z zachowaniem momentu pędu (i izospinu)

Transformacje **nieciągłe** (Wykład 13)

- np. odbicie przestrzenne – związek z zachowaniem parzystości

11.3. UNITARNA TRANSFORMACJA CIĄGŁA

$$\hat{U} = e^{i\varepsilon\hat{F}} \approx 1 + i\varepsilon\hat{F} + \frac{(i\varepsilon\hat{F})^2}{2} + \dots$$

gdzie ε – parametr rzeczywisty,

\hat{F} – generator operatora \hat{U} .

$$\hat{U} = e^{i\varepsilon\hat{F}} \neq e^{-i\varepsilon\hat{F}} = \hat{U}^+ \quad \text{operator nie hermitowski}$$

Dalej zakładamy ε bardzo małe.

\hat{F} – operatorem hermitowskim

Dowód: z założenia unitarności operatora \hat{U}

$$\begin{aligned} 1 &= \hat{U}^\dagger \hat{U} = (1 - i\varepsilon \hat{F}^\dagger)(1 + i\varepsilon \hat{F}) \\ &\approx 1 + i\varepsilon (\hat{F} - \hat{F}^\dagger) \end{aligned}$$

stąd $\hat{F} = \hat{F}^\dagger$.

Wniosek: F wielkością obserwowalną (obserwablą).

F wielkością zachowaną

jeżeli $\hat{U} = 1 + i\varepsilon \hat{F}$ operatorem symetrii, tj. $[\hat{H}, \hat{U}] = 0$.

Dowód: $[\hat{H}, \hat{U}] = 0$

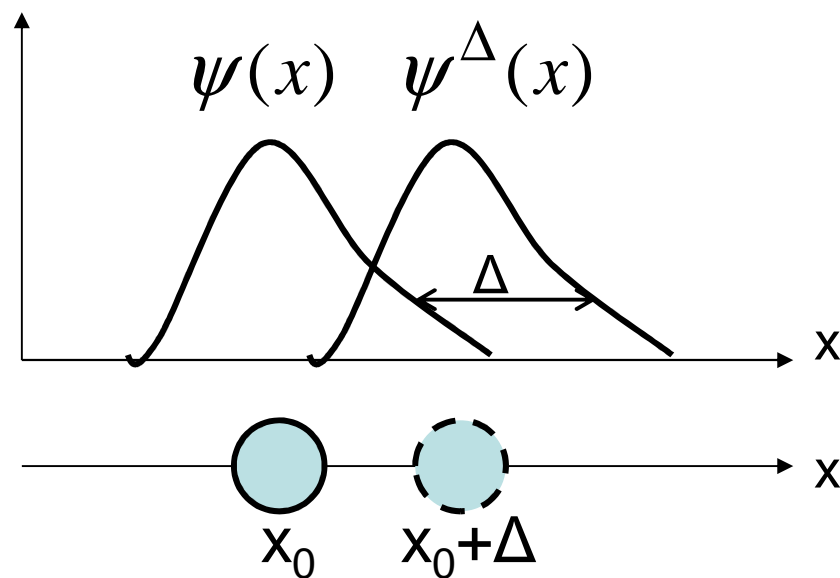
$$\hat{H} (1 + i\varepsilon \hat{F}) - (1 + i\varepsilon \hat{F}) \hat{H} = 0$$

$$\hat{H}\hat{F} - \hat{F}\hat{H} = 0 \quad \Rightarrow \quad [\hat{H}, \hat{F}] = 0$$

11.4. ZACHOWANIE PĘDU

– NIEZMIENNICZOŚĆ WZGL. PRZESUNIĘCIA

Cząstka swobodna (układ cząstek) – ruch w kier. x



Transformacja

$$\psi^\Delta(x) = \hat{U}(\Delta)\psi(x)$$

Poszukiwanie unitarnego operatora symetrii \hat{U} ,
(i odpowiedniego generatora \hat{F})
który zapewni niezmienniczość układu, tj.:

$$\psi(x) = \psi^\Delta(x + \Delta)$$

Dla nieskończenie małego przesunięcia Δ :

$$\psi(x) \approx \psi^\Delta(x) + \frac{d\psi^\Delta}{dx} \Delta = \left(1 + \Delta \frac{d}{dx}\right) \psi^\Delta(x);$$

mnożymy lewostronnie przez $\left(1 - \Delta \frac{d}{dx}\right)$.

Poszukiwanie unitarnego operatora symetrii,

który zapewni niezmienniczość układu (ciąg dalszy)

$$\psi^\Delta(x) \approx \left(1 - \Delta \frac{d}{dx}\right) \psi(x)$$

$$\hat{U} \approx 1 - \Delta \frac{d}{dx} = 1 + i \Delta \hat{F}$$

$$\hat{F} = i \frac{d}{dx} = -\frac{1}{\hbar} \left(-i \hbar \frac{d}{dx} \right) = -\frac{1}{\hbar} \hat{p}_x$$

$$[\hat{H}, \hat{F}] = 0 \quad \Rightarrow \quad [\hat{H}, \hat{p}_x] = 0$$

Spełniony warunek zachowania pędu.

Spełnienie równania Schrödingera przez $\psi(x)$, $\psi^\Delta(x)$

$$1) \quad i\hbar \frac{\partial}{\partial t} \psi = \hat{H} \psi = -\frac{\hbar^2}{2m} \frac{d^2}{dx^2} \psi$$

$$\begin{aligned} 2) \quad \hat{H} \psi^\Delta &= -\frac{\hbar^2}{2m} \frac{d^2}{dx^2} \psi^\Delta = -\frac{\hbar^2}{2m} \frac{d^2}{dx^2} (\hat{U} \psi) \\ &= -\frac{\hbar^2}{2m} (\hat{U} - 1) \frac{d^2}{dx^2} \psi = (\hat{U} - 1) \hat{H} \psi \\ &= i\hbar (\hat{U} - 1) \frac{\partial}{\partial t} \psi = i\hbar \frac{\partial}{\partial t} (\hat{U} \psi) = i\hbar \frac{\partial}{\partial t} \psi^\Delta \end{aligned}$$

11.5. ZACHOWANIE ENERGII

NIEZMIENNICZOŚĆ WZGL. PRZESUNIĘCIA W CZASIE

L.I.Schiff, Mechanika kwantowa, PWN, W-wa 1977, s.176

Układ fizyczny przesuwamy w czasie $\psi^\tau(t) = \hat{U}(\tau)\psi(t)$

Szukamy unitarnego operatora symetrii, który zapewni niezmienniczość układu przy przesunięciu infinitezymalnym

$$\psi(t) \downarrow = \psi^\tau(t + \tau) \approx \left(1 + \tau \frac{d}{dt}\right) \psi^\tau(t)$$

$$\psi^\tau(t) = \left(1 - \tau \frac{d}{dt}\right) \psi(t)$$

Unitarny operator symetrii

(przy wykorzystaniu równania Schrödingera z czasem)

$$\hat{U} \approx 1 - \tau \frac{d}{dt} = 1 + \frac{i}{\hbar} \tau \hat{H}$$

Ten operator komutuje z hamiltonianem,
zatem funkcje

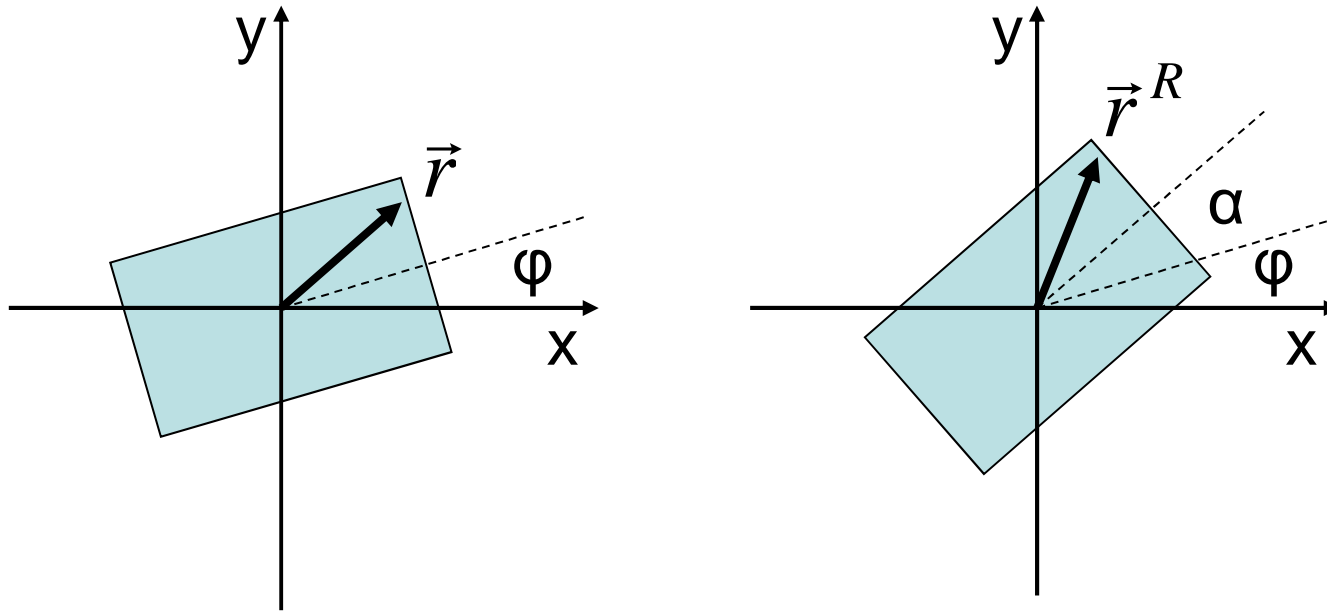
$$\psi^\tau(t) = \hat{U} \psi(t) \quad i \quad \psi(t)$$

spełniają to samo równanie Schrödingera;
układ jest niezmienniczy względem transformacji \hat{U} .

11.6. MOMENT PĘDU I IZOSPIN

NIEZMIENNICZOŚĆ WZGLĘDEM OBROTÓW

Układ fizyczny w płaszczyźnie x,y (położenie określone przez kąt φ) obracamy o kąt α dookoła osi z .



Zakładamy brak sił zewnętrznych (lub siły centralne)

Rotacja przeprowadza punkt \vec{r} w punkt \vec{r}^R

$$\vec{r} \rightarrow \vec{r}^R = R_z(\alpha) \vec{r}$$

Transformacja funkcji falowej

$$\psi(\vec{r}) \rightarrow \psi^R(\vec{r}) = \hat{U}_z(\alpha) \psi(\vec{r})$$

Warunek niezmienniczości względem obrotu

$$\psi(\vec{r}) = \psi^R(\vec{r}^R)$$

Obrót o bardzo mały kąt $\delta\alpha$

$$\begin{aligned}\psi(\vec{r}) &= \psi^R(\vec{r}^R) \approx \psi^R(\vec{r}) + \frac{\partial \psi^R(\vec{r})}{\partial \varphi} \delta\alpha \\ &= \left(1 + \delta\alpha \frac{\partial}{\partial \varphi}\right) \psi^R(\vec{r})\end{aligned}$$

mnożymy przez $\left(1 - \delta\alpha \frac{\partial}{\partial \varphi}\right)$, zaniedbujemy $(\delta\alpha)^2$

$$\psi^R(\vec{r}) = \left(1 - \delta\alpha \frac{\partial}{\partial \varphi}\right) \psi(\vec{r}) = \hat{U}_z(\delta\alpha) \psi(\vec{r})$$

Zachowanie orbitalnego momentu pędu

$$\hat{U}_z(\delta\alpha) = 1 - \delta\alpha \frac{\partial}{\partial \varphi} = 1 + i\varepsilon \hat{F}$$

$$\varepsilon = \delta\alpha, \quad \hat{F} = i \frac{\partial}{\partial \varphi} = -\frac{\hat{L}_z}{\hbar}$$

$$[\hat{H}, \hat{F}] = 0 \quad \Rightarrow \quad [\hat{H}, \hat{L}_z] = 0$$

Tu: zachowanie z-towej składowej orbitalnego mom. pędu.

Ogólnie: $[\hat{H}, \hat{J}] = 0$

Z podręcznika mechaniki kwantowej

$$x = r \sin \vartheta \cos \varphi, \quad y = r \sin \vartheta \sin \varphi, \quad z = r \cos \vartheta$$

$$\hat{H} = -\frac{\hbar^2}{2m} \nabla^2 + V(r)$$

$$\nabla^2 = \frac{1}{r^2} \frac{\partial}{\partial r} \left(r^2 \frac{\partial}{\partial r} \right) - \frac{\hat{L}^2}{\hbar r^2}$$

$$\hat{L}^2 = -\hbar^2 \left(\frac{1}{\sin \vartheta} \frac{\partial}{\partial \vartheta} \sin \vartheta \frac{\partial}{\partial \vartheta} + \frac{1}{\sin^2 \vartheta} \frac{\partial^2}{\partial \varphi^2} \right)$$

$$\hat{L}_z = -i\hbar \frac{\partial}{\partial \varphi}$$

Niezmienniczość względem obrotów
w przestrzeni izospinu

→ zachowanie izospinu,

w fizyce jądrowej spełnione w przybliżeniu
z powodu oddziaływania kulombowskiego
i słabego

(Wykład 4).

Wykład 12

ADDYTYWNE PRAWA ZACHOWANIA

- 12.1. Ładunki Q , B , L_i i $L = \sum L_i$
- 12.2. Zachowanie ładunku elektrycznego Q
- 12.3. Zachowanie Q i transformacja cechowania
- 12.4. Kwestia zachowania liczby barionowej B
- 12.5. Dawne oceny stabilności nukleonów
- 12.6. Poszukiwanie 2 kanałów rozpadu protonu
- 12.7. Poszukiwanie rozpadu $p \rightarrow \nu + K^+$
- 12.8. Kwestia zachowania liczb leptonowych L_i

12.1. ŁADUNKI Q, B, L_i | $L = \sum L_i$

Ładunek	Symbol	Zachowanie
elektryczny	$Q = q/ e $	ściśle
barionowy	B	ściśle (?)
leptonowy elektronowy	L_e	przybliżone
mionowy	L_μ	przybliżone
taonowy	L_τ	przybliżone
sumaryczny	$L = \sum L_i$?

Notacja/terminologia

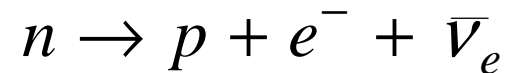
$Q = q/|e|$ – ładunek elektryczny bezwymiarowy

B – ładunek barionowy = liczba barionowa

L_i – ładunki leptonowe = liczby leptonowe

Addytywny charakter rozważanych praw zachowania,

przykład rozpadu β^- neutronu



$$Q \quad 0 \quad 1 \quad -1 \quad 0 \quad \Rightarrow \quad \Delta Q = 0$$

$$B \quad 1 \quad 1 \quad 0 \quad 0 \quad \Rightarrow \quad \Delta B = 0$$

$$L_e \quad 0 \quad 0 \quad 1 \quad -1 \quad \Rightarrow \quad \Delta L_e = 0$$

12.2. ZACHOWANIE ŁADUNKU ELEKTRYCZNEGO Q

Rozpad $e^- \rightarrow \nu_e + \gamma$

wzbroniony **tylko** przez zasadę zachowania ładunku.

Gdyby ten rozpad zachodził, obserwowalibyśmy promieniowanie γ o energii ok. $m_e c^2/2 = 255.5 \text{ keV}$.

Wynik poszukiwania negatywny (H.O. Back et al. 2002):

$T_{1/2} > 4.6 \cdot 10^{26} \text{ lat}$ – poziom ufności 90%.

(ten wynik podawany przez Particle Data Group 2014)

Poszukiwanie rozpadu $e^- \rightarrow \gamma + \nu_e$

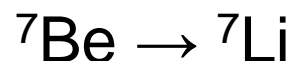
H.O. Back et al. (M. Wójcik, UJ), Physics Letters B525 (2002) 29

Podziemne laboratorium Gran Sasso

Detektor CTF (Counting Test Facility) – prototyp detektora Borexino

Detektor Borexino

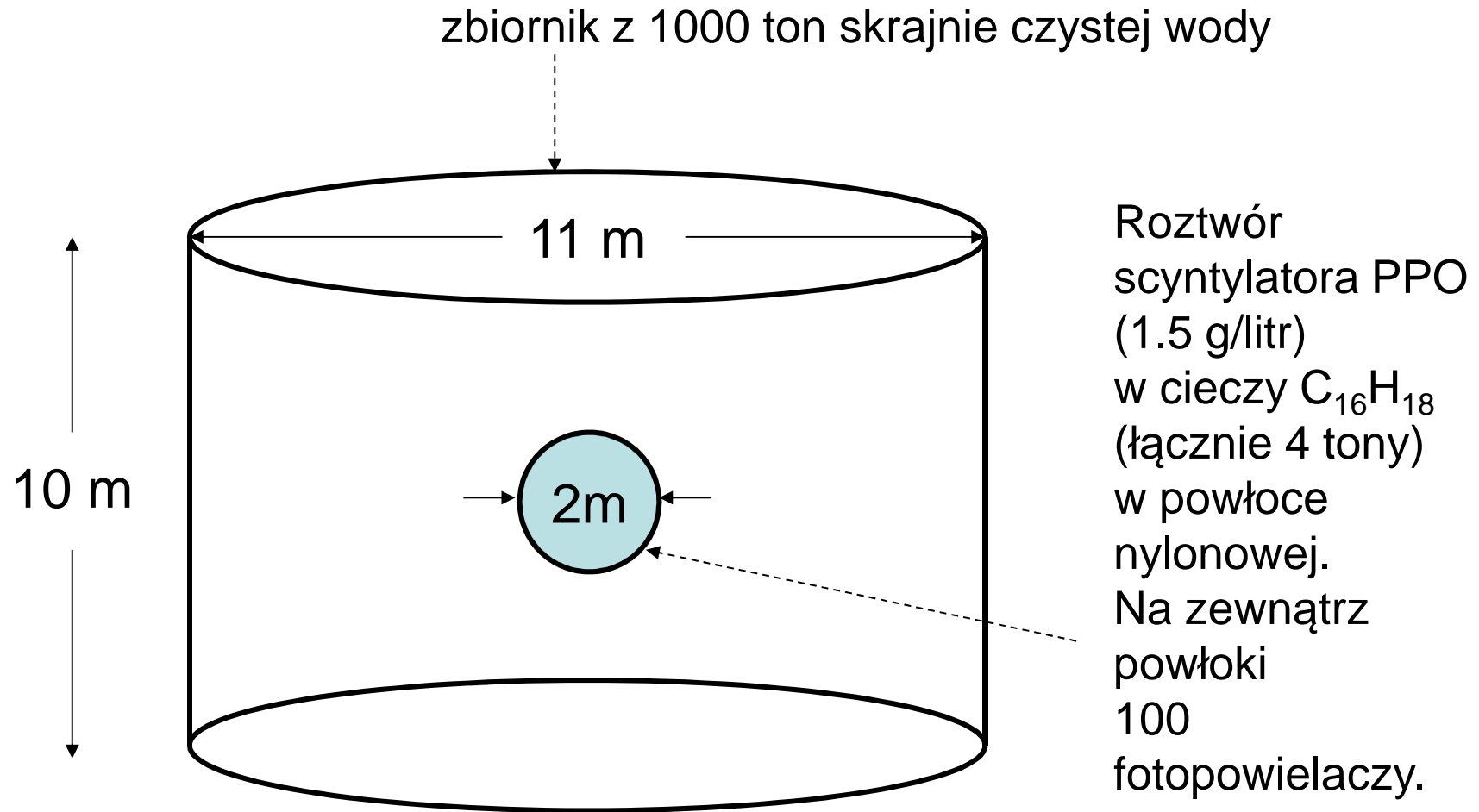
dla pomiaru strumienia neutrin słonecznych 0.86 MeV z rozpadu



poprzez badanie sprężystego rozproszenia neutrin na elektronach w skrajnie czystym scyntylatorze ciekłym (300 ton).

Wójcik i in., *Astronomia neutrin słonecznych*, Postępy Fizyki 53(2002)261

Detektor CTF w Gran Sasso

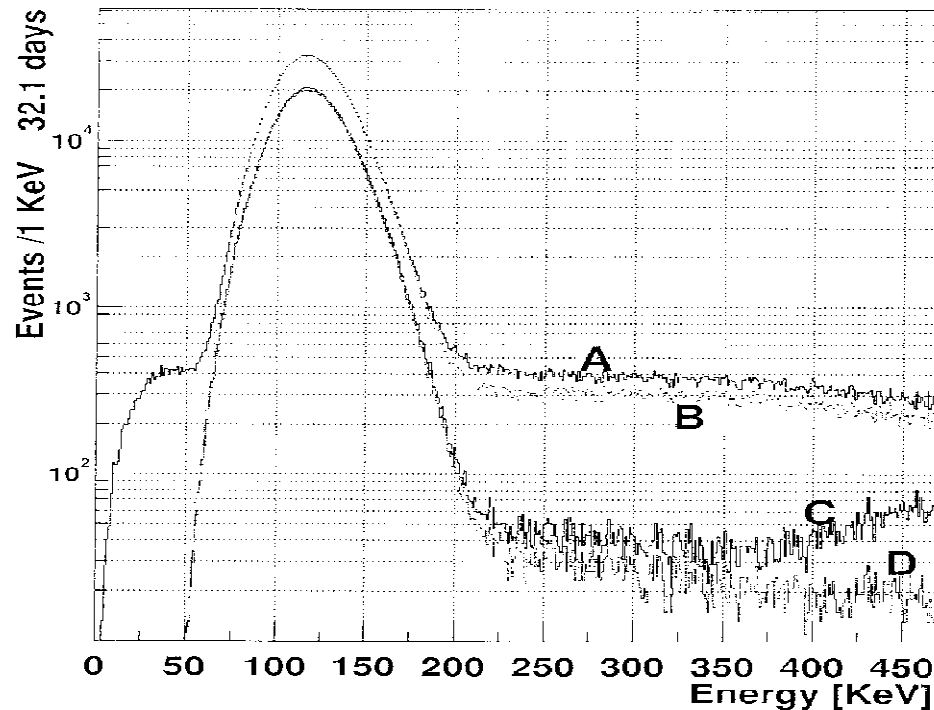


Pomiar 32 dni.

Potrzeba bardzo niskiego tła

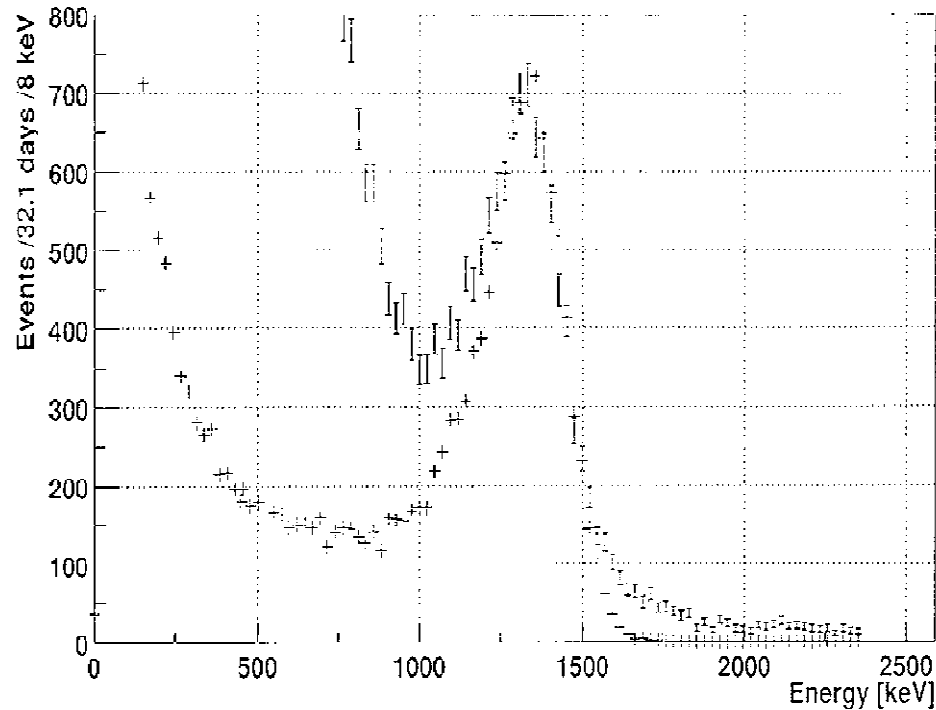
Staranne oczyszczenie scyntylatora – ilość ^{238}U i ^{232}Th $\leq 10^{-16}$ g/g.
Fotopowielacze ze szkła o niskim poziomie radioaktywności.

Tło poniżej 200 keV – głównie promieniowanie beta ^{14}C ($K_{max}=156$ keV)



- A – wyniki „surowe”,
- B – obcięcie mionów,
- C – obcięcie do $R=1\text{m}$,
- D – odróżnienie α/β .

Widmo tła izotopu ^{40}K – linia gamma 1460 keV



Górna krzywa
– pomiar

Dolna krzywa
– symulacja
Monte Carlo

Widmo gamma ^{40}K i widmo beta ^{14}C
wykorzystano do celów kalibracyjnych.

12.3. ZACHOWANIE Q I TRANSFORMACJA CECHOWANIA

Dla stanu o ładunku q funkcja falowa ψ_q ;

zakładamy, że ta funkcja spełnia równanie Schrödingera

$$i\hbar \frac{d\psi_q}{dt} = \hat{H}\psi_q$$

Operator ładunku elektr. (niezależny od czasu, hermitowski)

$$\hat{Q}\psi_q = q\psi_q$$

Transformacja cechowania

$$\psi'_q = e^{i\varepsilon\hat{Q}}\psi_q$$

gdzie ε – parametr rzeczywisty.

Niezmienniczość wzgl. transformacji cechowania

oznacza: ψ'_q spełnia to samo równanie Schrödingera co ψ_q

$$i\hbar \frac{d\psi'_q}{dt} = \hat{H} \psi'_q,$$

$$i\hbar \frac{d\psi_q}{dt} = \hat{H} \psi_q$$

$$i\hbar \frac{d}{dt} (e^{i\varepsilon \hat{Q}} \psi_q) = \hat{H} e^{i\varepsilon \hat{Q}} \psi_q$$

$\times e^{-i\varepsilon \hat{Q}}$ lewostronnie

$$e^{-i\varepsilon \hat{Q}} \hat{H} e^{i\varepsilon \hat{Q}} \psi_q = i\hbar \frac{d}{dt} \underbrace{(e^{-i\varepsilon \hat{Q}} e^{i\varepsilon \hat{Q}} \psi_q)}_1 = \hat{H} \psi_q$$

$$e^{-i\varepsilon \hat{Q}} \hat{H} e^{i\varepsilon \hat{Q}} = \hat{H}$$

Zachowanie ładunku elektrycznego

Wielkość parametru dowolna; dla bardzo małego ε możemy zaniedbać człony z ε^2

$$(1 - i\varepsilon \hat{Q}) \hat{H} (1 + i\varepsilon \hat{Q}) = \hat{H}$$



$$[\hat{Q}, \hat{H}] = 0$$

Komutowanie operatora Q z hamiltonianem H oznacza zachowanie ładunku.

Połączenie elektryczności (Q) z mechaniką kwantową (ψ)!

12.4. KWESTIA ZACHOWANIA LICZBY B

Liczba barionowa zachowana

we wszystkich rozpadach i reakcjach dotąd obserwowanych.

np. w reakcji odkrycia antyprotonu

$$p + p \rightarrow p + \bar{p} + p + p$$

B	1	1	1	-1	1	1
-----	---	---	---	----	---	---

Opis jak dla ładunku Q

z zastosowaniem transformacji

$$\psi'_b = e^{i\varepsilon \hat{B}} \psi_b$$

Pochodzenie tej transformacji cechowania nieznane.
Zapewnienie zachowania B tylko w sposób formalny.

Teoretyczne przewidywania rozpadu protonu

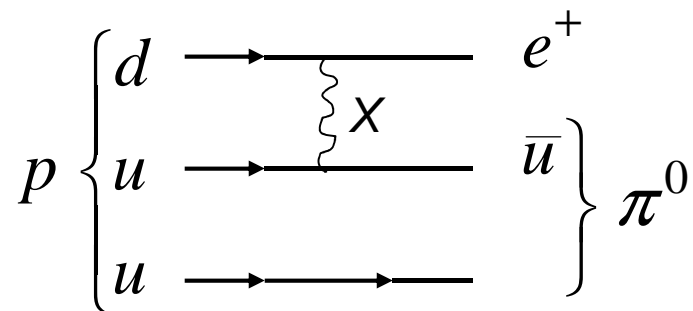
(wyjście poza Model Stand. – niezachowanie liczby barionowej)

D.H. Perkins, Wstęp do fizyki wysokich energii (rodz. 9), PWN, W-wa 2004

UGT – Grand Unified Theory – teoria wielkiej unifikacji

próba połączenia teorii oddziaływań elektroslabych i oddziaływań silnych, możliwość przekształcania się kwarków w leptyony w wyniku wymiany bozonów cechowania X ($Q=-4/3$) i Y ($Q=-1/3$) o wielkich masach.

Jeden z najbardziej prawdopodobnych kanałów rozpadu: $p \rightarrow e^+ + \pi^0$



plus trzy diagramy
z wymianą bozonu Y

M_X rzędu 10^{14} GeV/c²

Masa bozonu b . duża \rightarrow prawdopodob. rozpadu b . małe

GUT: średni (parcjalny) czas życia dla $p \rightarrow e^+ + \pi^0$

$$\tau / b(p \rightarrow e^+ \pi^0) = 10^{31 \pm 1} \text{ y}$$

↑
rozgałęzienie (branching)

SUSY-GUTs – modele GUT uwzględniające **supersymetrie**

(tj. symetrie między fermionami i bozonami)

przewidują m. in.

- znaczne spowolnienie rozpadu $p \rightarrow e^+ + \pi^0$,
- przedział $10^{32} \text{ y} < \tau/b < 10^{35} \text{ y}$ dla rozpadu $p \rightarrow \nu K^+$.

12.5. DAWNE OCENY STABILNOŚCI NUKLEONÓW

Granica średniego czasu życia p i n w jądrach ^{130}Te

J.C.Evans & R.I.Steinberg, Science 197 (1977) 989

$$\tau > 1.6 \times 10^{25} \text{ lat}$$

U podstaw oszacowania:

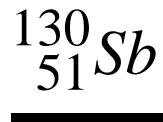
Wyniki pomiaru zawartości izotopów ksenonu w rudzie telluru
(której wiek ocenia się na $(2.46 \pm 0.08) \times 10^9 \text{ lat}$)

z pracy poświęconej rozpadowi $\beta\beta$ izotopów ^{130}Te i ^{128}Te

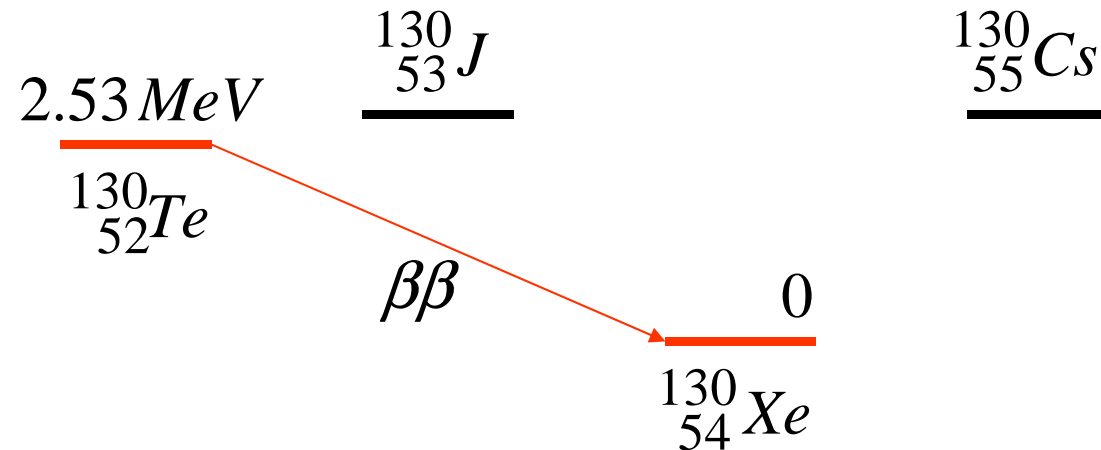
E.W. Hennecke et al., Phys. Rev. C11 (1975) 1378

Z tablicy nuklidów

Trwałe izotopy telluru: ^{120}Te , ^{122}Te ÷ ^{126}Te , ^{128}Te , ^{130}Te (34%)
(uwaga: ^{129}Te – nietrwały!)



Izobary $A=130$ i podwójny rozpad β



Zawartość **Xe** w rudzie **telluru** (wygrzanej do 600 °C)
i w atmosferze

izotop	zawartość w rudzie *)	składowa atmosfer.	nadmiar
^{128}Xe	0.63	0.34	0.29
^{129}Xe	11.0	4.63	6.37
^{130}Xe	509.7	0.72	509.0 **)
^{131}Xe	6.27	3.71	2.56
^{132}Xe	4.71	4.71	–

*) Jednostka: 10^{-13} cm³ gazu (w war. standard.)
na 1 g rudy

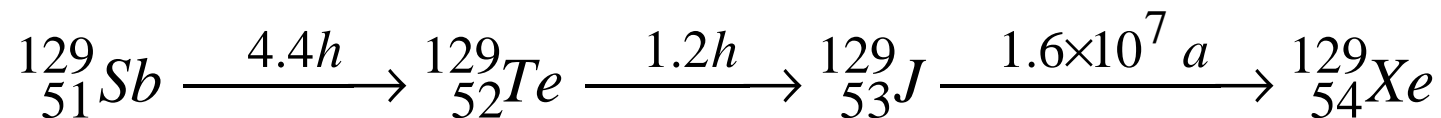
**) Nadmiar ^{130}Xe wskutek podwójnego rozpadu beta ^{130}Te ,
średni czas życia $\tau_{\beta\beta} = 1.4 \times 10^{21}$ lat

Rozpad ^{130}Te ze zmianą liczby barionowej

	energia wzbudzenia jądra	energia separacji nukleonu
	↓	↓
zniknięcie protonu	→ ^{129}Sb ,	$E^* = E_b - 10.0 \text{ MeV}$
zniknięcie neutronu	→ ^{129}Te ,	$E^* = E_b - 8.4 \text{ MeV}$
		↑ energia wiązania nukleonu

Oszacowania na gruncie modelu powłokowego

dla części stanów E^* małe – emisja γ zamiast nukleonu,
potem rozpad β :



Interpretacja nadmiaru ^{129}Xe

Nadmiar ^{129}Xe w rudzie telluru mogłyby świadczyć o rozpadzie protonu lub neutronu ze średnim czasem życia 5.8×10^{24} lat ale zapewne należy go łączyć z promieniowaniem kosmicznym, np.:

- z wychwytem spowolnionych mionów przez jądra ^{130}Te ,
- z wychwytem wtórnych neutronów przez ^{128}Te .

Oszacowanie wkładu tych procesów

→ dolna granica średniego czasu życia nukleonu:

$$\tau > 1.6 \times 10^{25} \text{ lat}$$

Późniejsza ocena stabilności nukleonów

„Search for nucleon decay using the IMB-3 detector”

C. McGrew et al. (D. Kiełczewska), Phys. Rev. D59 (1999) 052004

IMB-3 – wodny detektor promieniowania Czerenkowa
masa wydzielonego obszaru (fiducial mass) – 3.3 kton
2048 fotopowielaczy

Podziemne lab. w USA (Fair Salt Mine, Kansas) na głębokości ca 600 m

Pomiary 835 dni

badane rozpady: 18 kanałów dla neutronu, 22 kanały dla protonu

Wyniki m.in.
$$\begin{cases} \tau / b(p \rightarrow e^+ \pi^0) > 5.4 \times 10^{32} \text{ y} \\ \tau / b(p \rightarrow \mu^+ \pi^0) > 4.73 \times 10^{32} \text{ y} \end{cases}$$

12.6. POSZUKIWANIE 2 KANAŁÓW ROZPADU PROTONU

z zastosowaniem wodnego detektora Czerenkowa
Super-Kamiokande

Protonowa aktywność H_2O przy założeniu $\tau = 10^{33}$ y

- masa cząsteczkowa ca 18, liczba protonów 2+8
- liczba protonów w 1 kg wody: $6.02 \times 10^{26} \times 10 / 18 \approx 3.34 \times 10^{26}$
- liczba protonów w 1 tonie wody: 3.34×10^{29}
- aktywność 22.5 kton wody

$$N = 3.34 \times 10^{29} \times 22.5 \times 10^3 = 7.5 \times 10^{33}$$

$$A = N / \tau = 7.5 \times 10^{33} / 10^{33} \text{ lat} = 7.5 \text{ rozp. na rok.}$$

„Search for proton decay via $p \rightarrow e^+\pi^0$ and $p \rightarrow \mu^+\pi^0$...”

H.Nishina et al. (D. Kiełczewska), Phys. Rev. Lett. 102 (2009) 141801

Super-Kamiokande Collaboration

Podziemne laboratorium

Detektor: 50 kton wody,

w tym 22.5 kton – wewnętrzny obszar (*fiducial volume*)
dla rejestrowania aktów rozpadu,
„widziany” przez 11146 fotopowielaczy.

Detekcja promieniowania Czerenkowa (p-kt 9.7)

{ 1 pierścień – e^+ lub μ^+
2 pierścienie – e^- wtórne od fotonów z rozp. $\pi^0 \rightarrow 2\gamma$
(akceptowane przypadki ucieczki 1 γ)

Dwuciałowy rozpad 2 swobodnych protonów (jąder wodoru w cząsteczce H₂O)

pęd leptonu = pęd mezonu

$$Q = (m_p^2 - m_{lept}^2 - m_\pi^2) c^2 = K_{lept} + K_\pi$$

Zestawienie energii (w MeV)
dla rozważanych kanałów rozpadu

kanał	Q	K_e	K_μ	K_π
$p \rightarrow e^+ + \pi^0$	803	459	–	344
$p \rightarrow \mu^+ + \pi^0$	698	–	360	338

Rozpad 8 protonów związanych w jądrze tlenu

Zakłada się, że prawdopodobieństwo rozpadu protonu związanego takie samo jak dla swobodnego, należy jednak uwzględnić możliwość absorpcji π^0 w jądrze.

Rozkład pędów i energii

inny niż dla rozpadu swobodnych protonów ze względu na **ruch Fermiego** i **energię wiązania** tych protonów w jądrze.

Pomiary

1996-2001 – etap I

2001 – zniszczenie znacznej liczby fotopowielaczy przy napełnianiu detektora wodą (fala uderzeniowa);
rekonstrukcja detektora

2002-2005 – etap II

Tło od neutrin atmosferycznych

Teoretyczna ocena wkładu procesów, jak np. $\nu N \rightarrow l N' \pi^0$,

(N – nukleon, l – lepton)

Wyniki końcowe

$$\begin{cases} \tau / b(p \rightarrow e^+ \pi^0) > 8.2 \times 10^{33} \text{ y} \\ \tau / b(p \rightarrow \mu^+ \pi^0) > 6.6 \times 10^{33} \text{ y} \end{cases}$$

12.7. POSZUKIWANIE ROZPADU $p \rightarrow \nu + K^+$

K. Abe et al. (Super-Kamiokande Collaboration), PR D90 (2014) 072005

Większość modeli **SUSY-GUTs** przewiduje zachowanie $B - L$ co oznacza, że w rozpadzie powstaje **antyneutrino**.

Modele **SUSY-GUTs** przewidują, że kanał rozpadu $p \rightarrow \nu + K^+$ ma średni parcjalny czas życia $10^{32} < \tau/b < 10^{35}$).

Nie ma możliwości doświadczalnego odróżnienia

- neutrino od antyneutrino,
- zapachu e , μ lub τ ,
- neutrino od innej cząstki o małej masie, np. **gravitino***).

*) hipotetyczna cząstka elementarna – składnik ciemnej materii – supersymetryczny odpowiednik grawitonu.

Detektor Super-Kamiokande

Pomiary: kwiecień 1996 – luty 2014

Mezony K^+ nie obserwowane bezpośrednio, bo ich pęd poniżej progu dla promieniowania Czerenkowa (560 MeV/c).

Większość K^+ rozpada się w spoczynku; ich identyfikacja

poprzez kanały rozpadu $K^+ \rightarrow \begin{cases} \mu^+ + \nu_\mu & 236 \text{ MeV} / c \\ \pi^+ + \pi^0 & 205 \text{ MeV} / c \end{cases}$

Wynik końcowy: $\tau / b > 5.9 \times 10^{33} \text{ y}$

12.8. Kwestia zachowanie liczb leptonowych L_i

Obserwowane dotychczas procesy rozpadu lub reakcji z udziałem leptonów (Wykład 7) zachodzą zgodnie z podanymi niżej regułami wyboru

$$\Delta L_e = 0, \quad \Delta L_\mu = 0, \quad \Delta L_\tau = 0$$

oraz $\Delta L = \Delta(L_e + L_\mu + L_\tau) = 0$.

Zaobserwowanie w przyszłości rozpadu protonu – np. kanału $p \rightarrow e^+ + \pi^0$ – oznaczałoby odstępstwo od tych reguł.

Odstępstwo od prawa zachowania liczb L_i

Oscylacje neutrin

– proces obserwowany (Wykłady 9 i 10)

- niezachowanie L_i
- zachowanie $L = \sum L_i$ (!)

Podwójny rozpad beta bez emisji neutrin

– proces poszukiwany (Wykład 8)

- niezachowanie L_i oraz $L = \sum L_i$

Wykład 13

TRANSFORMACJE P , C , T I PRAWA ZACHOWANIA

13.1. Definicje i przykłady

13.2. Prawo zachowania parzystości P

13.3. Zachowanie P w oddziaływaniach silnych i elektromagnetycznych

13.4. Wewnętrzne parzystości hadronów

13.5. Niezachowanie P w oddziaływaniach słabych

13.6. Cząstki i antycząstki

13.7. Odwrócenie czasu T

13.8. Test niezmienniczości względem transformacji T

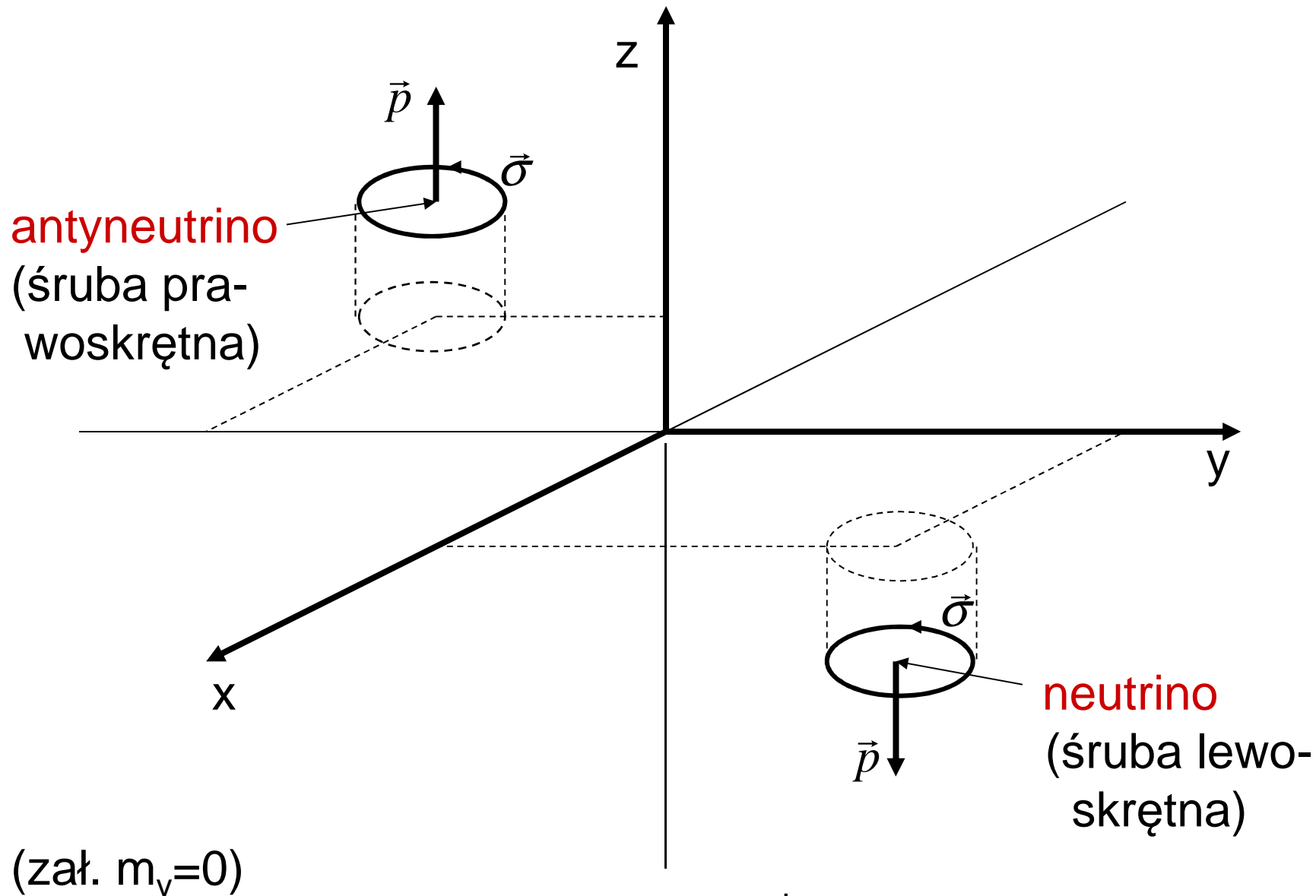
13.1. DEFINICJE I PRZYKŁADY

Transformacja	definicja	skutek
odbicie przestrzenne P	$\vec{r} \rightarrow -\vec{r}$	$\vec{p} \rightarrow -\vec{p}, \vec{J} \rightarrow \vec{J}$
sprzężenie ładunkowe C	$N \rightarrow -N$	cząstka \rightarrow antycząst.
odwrócenie czasu T	$t \rightarrow -t$	$\vec{p} \rightarrow -\vec{p}, \vec{J} \rightarrow -\vec{J}$

Komentarze:

- moment pędu \vec{J} pseudowektorem, np. $\vec{l} = \vec{r} \times \vec{p}$
- w fizyce jądrowej $N = Q, B, L$ (i S – dziwność).

Odbicie przestrzenne P i sprzężenie ładunkowe C



Komentarze:

1. Zastosowanie operacji P przeprowadza antyneutrino prawoskrętne w stan nieistniejący (w Modelu Stand.) – antyneutrino lewoskrętne.
2. Zastosowanie operacji C przeprowadza antyneutrino prawoskrętne w stan nieistniejący (w Modelu Stand.) – neutrino prawoskrętne.
3. Łączne zastosowanie operacji P i C przeprowadza antyneutrino prawoskrętne w neutrino lewoskrętne.
4. Zastosowanie operacji T przeprowadza neutrino lewoskrętne w neutrino lewoskrętne poruszające się w przeciwnym kierunku

13.2. PRAWO ZACHOWANIA PARZYSTOŚCI

Funkcja falowa cząstki w polu centralnym (współrz. sferycz.)

$$\psi_{nlm}(\vec{r}) = R_{nl}(r) Y_{lm}(\theta, \varphi)$$

Transformacja P

$$\vec{r} \rightarrow -\vec{r}$$

$$r \rightarrow r, \quad \theta \rightarrow \pi - \theta, \quad \varphi \rightarrow \varphi + \pi$$

$$Y_{lm}(\pi - \theta, \varphi + \pi) = (-1)^l Y_{lm}(\theta, \varphi)$$

$$\psi_{nlm}(-\vec{r}) = (-1)^l \psi_{nlm}(\vec{r})$$

Terminologia

f. falowa parzysta (parzystość f.f. dodatnia) $\psi(-\vec{r}) = +\psi(\vec{r})$

f. falowa nieparzysta (parzystość f.f. ujemna) $\psi(-\vec{r}) = -\psi(\vec{r})$

Operator odbicia przestrzennego $\hat{U} = \hat{P}$

Działanie na funkcję falową

$$\hat{P}\psi(\vec{r}) = \psi(-\vec{r})$$

$$\hat{P}^2\psi(\vec{r}) = \hat{P}\psi(-\vec{r}) = \psi(\vec{r}) \quad \Rightarrow \quad \hat{P}^2 = 1 \quad \Rightarrow \quad \hat{P} = \hat{P}^{-1}$$

Wniosek:

Jeżeli zażądamy unitarności operatora odbicia przestrzeni.

$$\hat{P}^\dagger = \hat{P}^{-1}$$

to operator ten jest hermitowski

$$\hat{P} = \hat{P}^{-1} = \hat{P}^\dagger$$

i reprezentuje wielkość fizyczną obserwowalną.

Założenie niezmienniczości \hat{H} względem operacji P

$$[\hat{H}, \hat{P}] = 0$$

$$\hat{H}\psi(\vec{r}) = E\psi(\vec{r})$$

$$\hat{H}\hat{P}\psi(\vec{r}) = \hat{P}\hat{H}\psi(\vec{r}) = \hat{P}E\psi(\vec{r}) = E\hat{P}\psi(\vec{r})$$

$$\psi'(\vec{r}) \equiv \hat{P}\psi(\vec{r})$$

$$\hat{H}\psi'(\vec{r}) = E\psi'(\vec{r})$$

Funkcje ψ' i ψ spełniają równanie Schrödingera odpowiadające tej samej wartości własnej E , tj. opisują ten sam stan, i muszą być proporcjonalne.

Parzystość funkcji falowej

Proporcjonalność $\hat{P}\psi$ i ψ ,
przy współczynniku proporcjonalności P , oznacza

$$\hat{P}\psi(\vec{r}) = P \psi(\vec{r})$$

$$\hat{P}^2 \psi(\vec{r}) = P^2 \psi(\vec{r}) = \psi(\vec{r}) \quad \Rightarrow \quad P = \pm 1$$

Jeżeli $\hat{P}\psi(\vec{r}) = \psi(\vec{r})$ funkcja falowa parzysta, $P = +1$,
jeżeli $\hat{P}\psi(\vec{r}) = -\psi(\vec{r})$ funkcja falowa nieparzysta, $P = -1$.

Liczbę kwantową P nazywamy parzystością
funkcji falowej (parzystością stanu).

Rozpad $A \rightarrow B + C$

f. falowe stanów wewnętrznych ψ_A, ψ_B, ψ_C

(zakładamy, że parzystości tych funkcji są określone!)

f. falowa stanu końcowego (ruch względny)

$$\psi_f = \psi_B \cdot \psi_C \cdot \overbrace{(R(r) \cdot Y_{lm})}$$

$$\hat{P}\psi_f = \hat{P}\psi_B \cdot \hat{P}\psi_C \cdot \hat{P}(R(r)Y_{lm})$$

Multiplikatywne prawo zachowania parzystości

$$P_A = P_f = P_B \cdot P_C \cdot (-1)^l$$

Reakcja $a + b \rightarrow c + d$

Funkcja falowa stanu początkowego

$$\psi_i = \psi_a \cdot \psi_b \cdot (R_i Y_{l_i m_i})$$

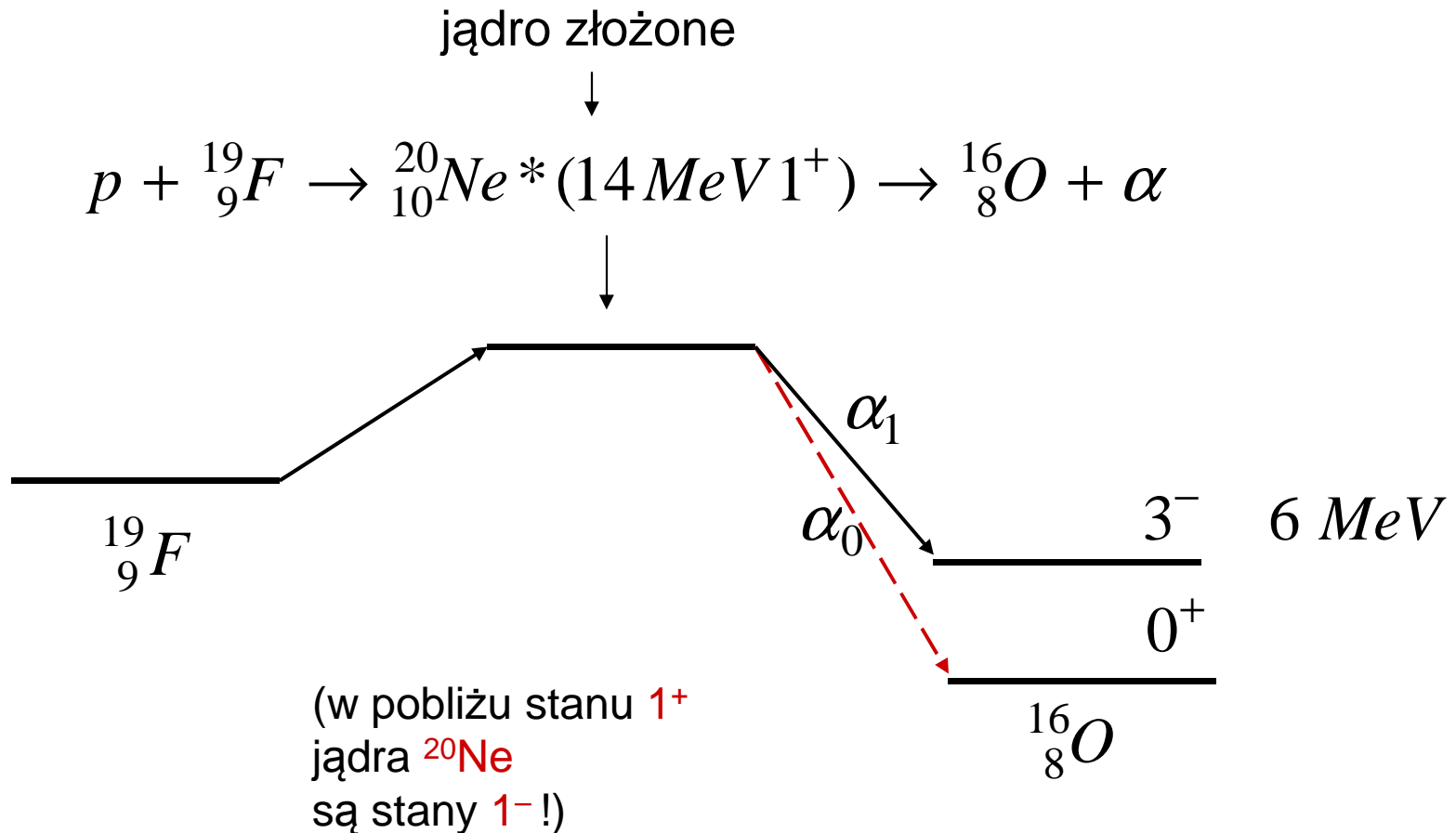
Funkcja falowa stanu końcowego

$$\psi_f = \psi_c \cdot \psi_d \cdot (R_f Y_{l_f m_f})$$

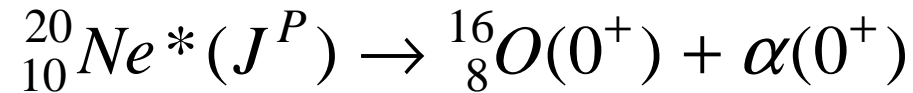
Multiplikatywne prawo zachowania parzystości

$$P_a \cdot P_b \cdot (-1)^{l_i} = P_c \cdot P_d \cdot (-1)^{l_f}$$

13.3. ZACHOWANIE P W ODDZIAŁYWANIACH SILNYCH I ELEKTROMAGNETYCZNYCH



Rozpad α stanu wzbudzonego ^{20}Ne



Reguły wyboru dla rozpadu α :

$$\begin{cases} \vec{J}_i = \vec{J}_f + \vec{l}, \\ P_i = P_f \times (-1)^l \end{cases}$$

rozpad $J^P=1^+ \rightarrow 0^+$ wzbroniony ($\Delta J=-1 \rightarrow l=1 \rightarrow (-1)^l = -1$),

rozpad $J^P=1^- \rightarrow 0^+$ dozwolony (przy $\Delta T=0$).

Przejście α_0 możliwe, jeżeli

$$|Ne^* 14 MeV\rangle = a |1^+\rangle + b |1^-\rangle \quad |a|^2 + |b|^2 = 1$$

N. Tanner, Phys. Rev. 107 (1957) 1203

$$|b|^2 / |a|^2 \leq 4 \times 10^{-8}$$

Dalsze poszukiwania niezachowania parzystości w jądrze ^{20}Ne

L.K. Fifield et al., Nuclear Physics A394 (1983) 1

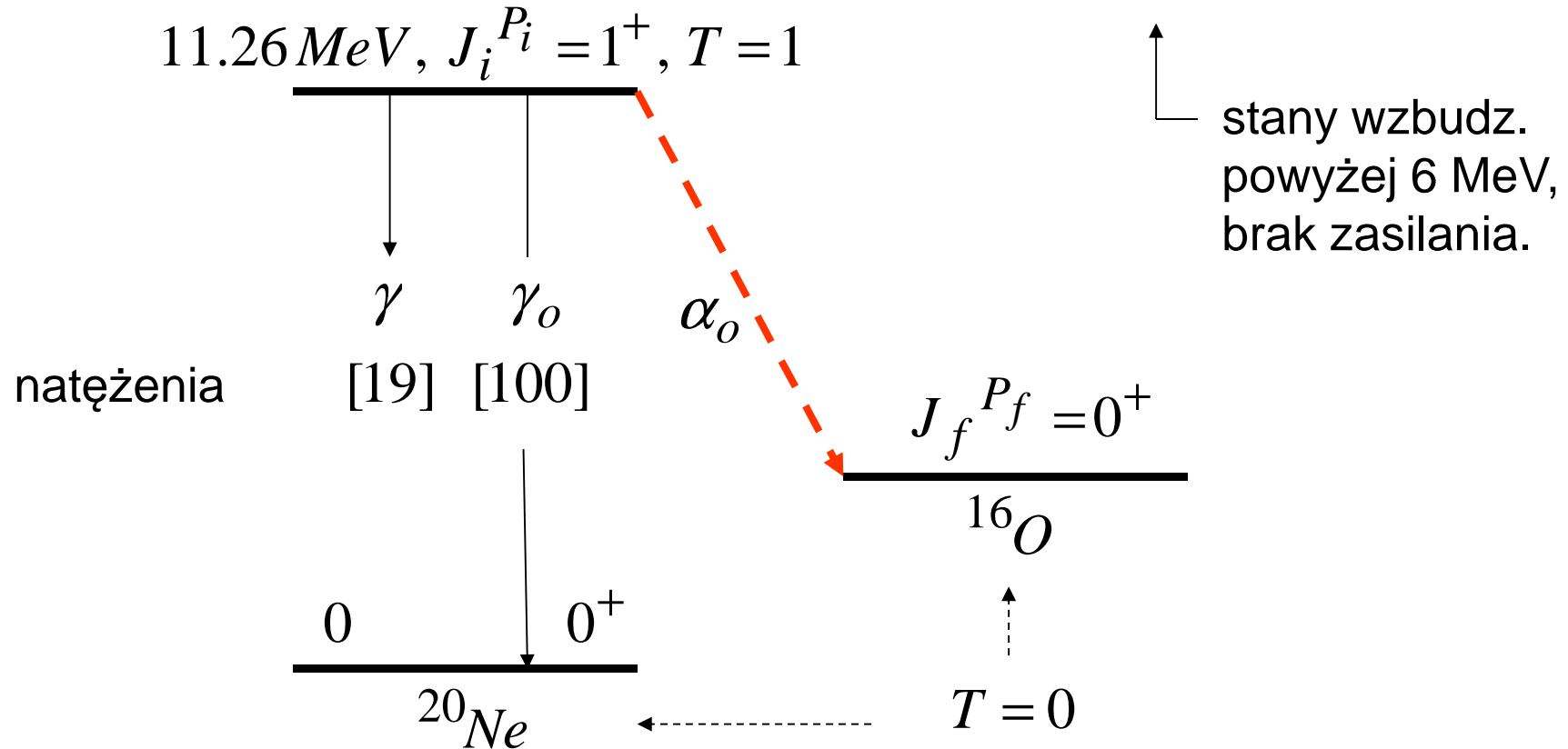
Badanie stanów wzbudzonych ^{20}Ne

11.26 MeV 1^+ oraz 11.24 MeV 1^-

przy zastosowaniu reakcji

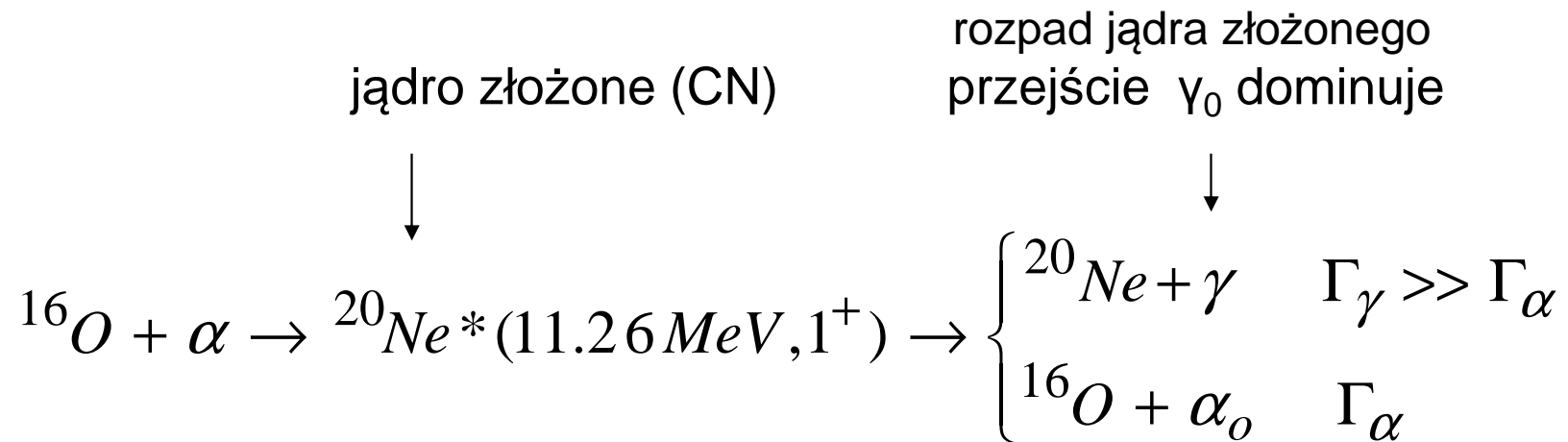
$^{16}\text{O}(\alpha, \gamma)^{20}\text{Ne}$

Schemat rozpadu do stanu podstawowego ^{16}O



Przejście α_0 – przy zachowaniu parzystości – **wzbronione** (ze stanu 11.24 MeV 1^- odpowiednie przejście **dozwolone!**).

Reakcja $^{16}\text{O}(\alpha, \gamma_0)^{20}\text{Ne}$ poprzez stan $11.26 \text{ MeV } 1^+$?



$$\sigma_{CN} = \pi \hat{\lambda}^2 g \frac{\Gamma_\alpha \Gamma}{(E - E_r)^2 + \Gamma^2 / 4} \quad \Gamma = \Gamma_\gamma + \Gamma_\alpha$$

↑
czynnik zależny od spinów

Jeżeli parzystość zachowana to: $\Gamma_\alpha = 0 \Rightarrow \sigma_{CN} = 0.$

Zidentyfikowanie reakcji $^{16}\text{O}(\alpha, \gamma_0)^{20}\text{Ne}$
poprzez stan **11.26 MeV 1^+** jądra neonu?

L.K. Fifield et al., Nuclear Physics A394 (1983) 1

Ślad linii γ_0 11.26 MeV $\Rightarrow \Gamma_\alpha = (42 \pm 20) \times 10^{-6} \text{ eV}$

Komentarz:

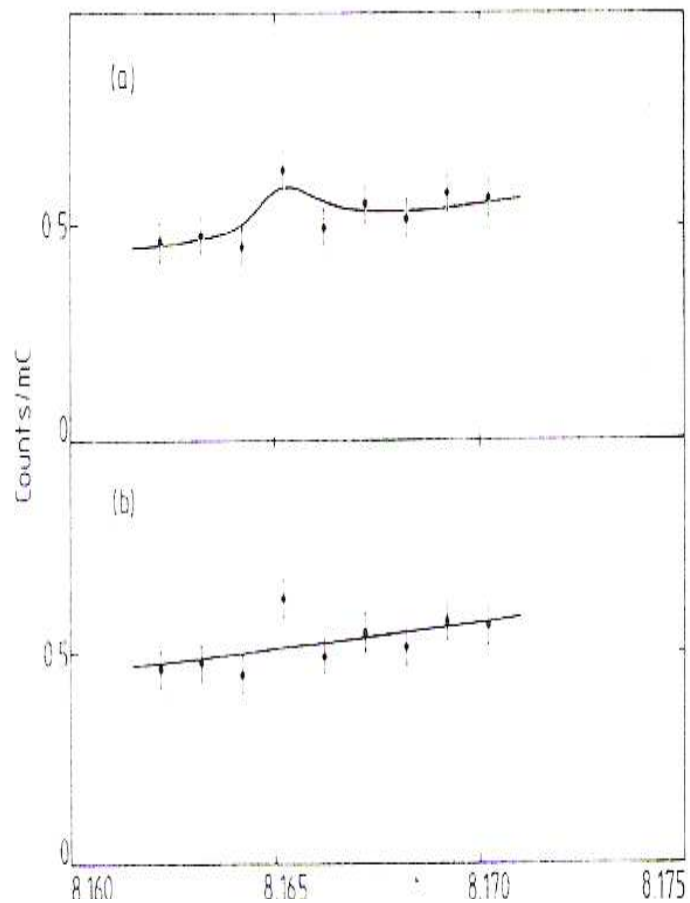
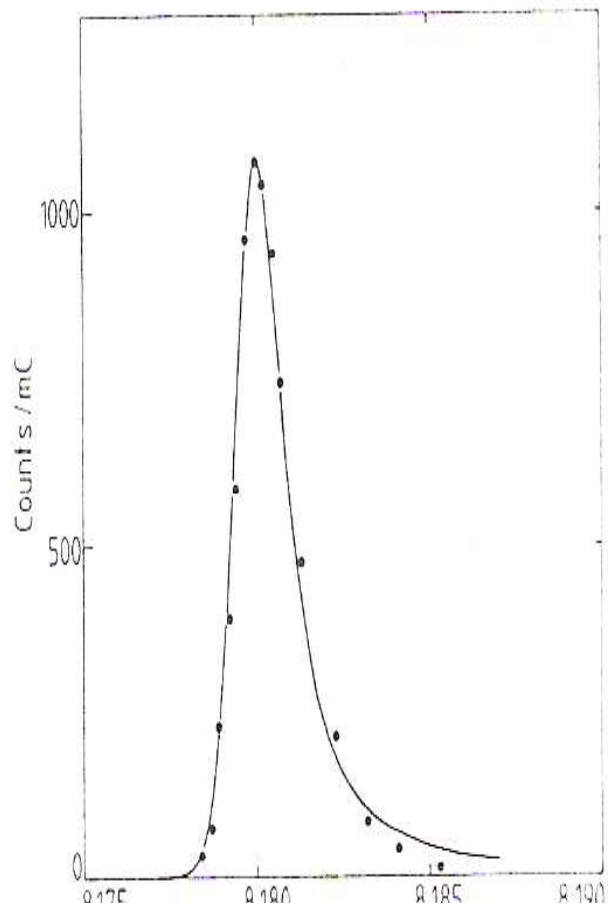
$$\sigma_{\alpha, \gamma} = \sigma_{CN} (\Gamma_\gamma / \Gamma) \approx \sigma_{CN}$$

$$\int_{-\infty}^{+\infty} \sigma_{\alpha, \gamma}(E) dE = 2\pi^2 g \lambda^2 \frac{\Gamma_\alpha \Gamma_\gamma}{\Gamma} \approx 2\pi^2 g \lambda^2 \Gamma_\alpha$$

Reakcja $^{16}\text{O}(\alpha, \gamma)^{20}\text{Ne}$ (L.K. Fifield et al. 1983)

Poziom 11.24 MeV 1^-
 $T=0$

Poziom 11.26 MeV 1^+
 $T=1$



E_α (MeV)

E_α (MeV)

Uproszczona interpretacja niezachowania P w ^{20}Ne

Table of Isotopes 1996 & Fifield et al. 1983

E^* (MeV)	J^P	T	Γ_{tot} (keV)	Γ_{α} (eV)
11.24	1^-	0	175	$175 \times 10^3 = \Gamma_{\alpha}(1^-)$
11.26	1^+	1	$\approx 0.03^*$	$(40 \pm 20) \times 10^{-6} = \Gamma_{\alpha}(\text{PNC})$
11.28	1^-	1	< 0.3	?

$*$) Oszacowanie Weisskopfa (JŽ)

Parity Nonconservation

Zmieszanie stanów o przeciwnej parzystości

$$|11.26 \text{ MeV}, J = 1\rangle = |1^+\rangle + F |1^-\rangle$$

Oszacowanie zmieszania stanów 1^+ i 1^- jądra ^{20}Ne

wkład oddziaływań słabych do oddz. jądrowych

$$\Gamma_{\alpha}(PNC) = \left| \frac{\langle 1^+ | V_{PNC} | 1^- \rangle}{\Delta E + (i/2)\Gamma_{tot}(1^-)} \right|^2 \Gamma_{\alpha}(1^-)$$

$$\langle 1^+ | V_{PNC} | 1^- \rangle \approx 1.5 \text{ eV}$$

$$|r|^2 = \Gamma_{\alpha}(PNC) / \Gamma_{\alpha}(1^-) \approx 3 \times 10^{-10}$$

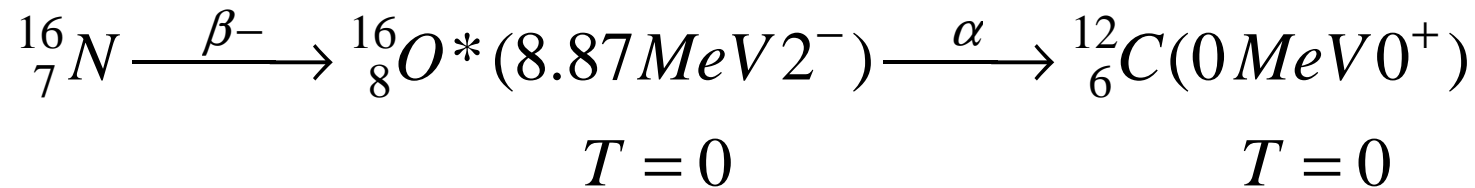
Uwagi: • w *Table of Isotopes* wyniku Fifiolda et al. nie ma,

• bezpieczniej przyjąć: $|r|^2 \leq 3 \times 10^{-10}$

(ponadto: inne stany 1^- należałoby również uwzględnić).

Uzupełnienie

K. Neubeck et al., Phys. Rev. C10 (1974) 320



Rozpad alfa $2^- \rightarrow 0^+$ wzbroniony przez zmianę parzystości.

Doświadczenie:

$$\Gamma_\alpha = (1.03 \pm 0.28) \times 10^{-10} \text{ eV}$$

Interpretacja (J.Ż.):

Wzbronienie zniesione przez domieszkę znanego stanu 9.84 MeV 2^+ , $T=0$?

13.4. WEWN. PARZYSTOŚCI HADRONÓW

Dla nukleonów i hiperonu Λ zakładamy:

$$P_p = P_n = P_\Lambda = +1,$$

stosujemy zasadę zachowania parzystości,

dedukujemy wewnętrzne parzystości innych hadronów.

Przykład określenia parzystości wewn. mezonu π^- ($J=0$):

Rozważamy reakcję $\pi^- + d \rightarrow n + n$.

Przypomnienie: stan podstawowy deuteronu

$$J_d = 1 \quad P_d = P_p P_n (-1)^0 = +1$$

Wychwył mezonu π^- z powłoki K

Stan pocz. $J_i = J_d = 1, \quad P_i = P_{\pi^-} \times (-1)^0 \times P_d = P_{\pi^-}$

Dopuszczalne stany (antysymetryczne) 2 neutronów (Wykł. 4)

$${}^{2S+1}L_J : \quad {}^1S_0 \quad {}^3P_{0,1,2} \quad {}^1D_2$$

$$\begin{array}{c} \updownarrow \\ J_f = J_d = 1 \end{array}$$

Przy założeniu zachowania parzystości

$$P_i = P_f$$

dla 2 neutronów w stanie o $l=1$

$$\begin{array}{c} \updownarrow \\ \boxed{P_{\pi^-} = P_n \times P_n \times (-1)^1 = -1} \end{array}$$

13.5. NIEZACHOWANIE P W ODDZ. SŁABYCH

C.N. Yang & T.D. Lee, Nagroda Nobla 1957

„for their penetrating investigation of the so-called parity laws which has led to important discoveries regarding the elementary particles”

Prezentacja współczesna – mezon K^+ ($S = +1$)

$$m = 494 \text{ MeV} / c^2, \quad \tau = 1.2 \times 10^{-8} \text{ s}, \quad J^P = 0^-$$

Wybrane kanały rozpadu

kanał	rozgałęzienie (%)	parzystość P_f
$\rightarrow \pi^+ \pi^0$	21.13(14)	dodatnia
$\rightarrow \pi^+ \pi^+ \pi^-$	5.576(31)	ujemna
$\rightarrow \pi^0 e^+ \nu_e$	4.87(6)	nieokreślona

Wszystkie rozpady zachodzą wskutek **oddz. słabego!**

Wartość oczekiwana pseudoskalara $\langle \vec{J} \cdot \vec{p} \rangle$
w stanie ψ o określonej parzystości

- w prawoskrętnym układzie x, y, z

$$\langle \vec{J} \cdot \vec{p} \rangle = \int \psi^*(\vec{r}) \{ \vec{J} \cdot \vec{p} \} \psi(\vec{r}) d\tau$$

- w lewoskrętnym układzie $-x, -y, -z$

$$\begin{aligned} \langle \vec{J} \cdot \vec{p} \rangle &= \int \psi^*(-\vec{r}) \{ -\vec{J} \cdot \vec{p} \} \psi(-\vec{r}) d\tau \\ &= -\int \psi^*(\vec{r}) \{ \vec{J} \cdot \vec{p} \} \psi(\vec{r}) d\tau = -\langle \vec{J} \cdot \vec{p} \rangle = 0 \end{aligned}$$

Jeżeli z doświadczenia $\langle \vec{J} \cdot \vec{p} \rangle \neq 0$
to ψ nie ma określonej parzystości!

Niezachowanie parzystości w rozp. β neutronu

Wykład 2 (p-kt 2.5):

rozkład kątowy e^- dla neutronów spolaryzowanych
(prawdopodobieństwo emisji **elektronu** w funkcji kąta θ
między kierunkiem spinu neutronu i pędem elektronu)

$$W(\theta) = W_0 \left(1 + \frac{v}{c} P A \cos \theta \right)$$

Z wartości $A = -0.1189$ (Abele et al. 2002) wynika, że

$$\langle \vec{s}_n \cdot \vec{p}_e \rangle \neq 0$$

Wniosek: $A \neq 0$ oznacza **niezachowanie parzystości**
w rozpadzie neutronu.

Komentarz

zachowanie parzystości w rozpadzie neutronu oznaczałoby:

$$P_n = P_p \cdot P_{e+\bar{\nu}} \cdot (-1)^{l_{e+\bar{\nu}}}$$

Wiemy, że

$$\begin{cases} P_n = P_p = +1 \\ l_{e+\bar{\nu}} = 0 \end{cases} \Rightarrow (-1)^{l_{e+\bar{\nu}}} = 1$$

Stwierdzenie niezachowania parzystości oznacza, że wewn. parzystość leptonów jest nieokreślona.

Przypomnienie:

po raz pierwszy niezachowanie parzystości w rozpadzie β zaobserwowano dla ^{60}Co (Wykład 7).

13.6. CZĄSTKI I ANTYCZĄSTKI

(i) Przypomnienie wiadomości elementarnych

Dla cząstki o pędzie \mathbf{p} i masie m

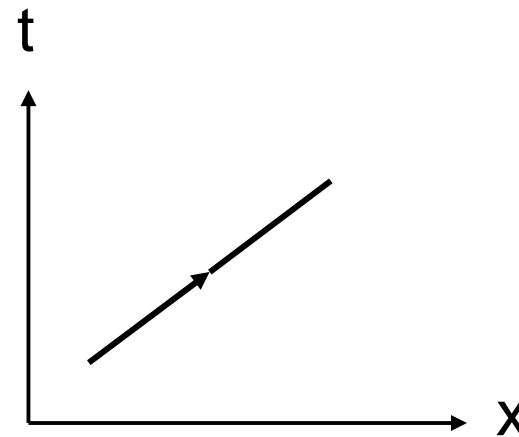
$$E^2 = (pc)^2 + (mc^2)^2 \Rightarrow \begin{cases} E^+ = +\sqrt{(pc)^2 + (mc^2)^2} \\ E^- = -\sqrt{(pc)^2 + (mc^2)^2} \end{cases}$$

Przy dodatniej energii

$$\psi(x,t) \propto e^{(i/\hbar)(px - E^+t)}$$

$$px - E^+t = \text{const.}$$

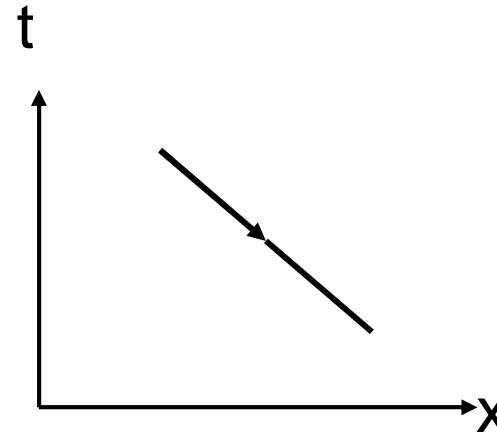
$$x = x_0 + \frac{E^+}{p}t$$



Rozwiązanie odpowiadające energii ujemnej

$$\psi(x,t) \propto e^{(i/\hbar)(px - E^- t)}$$

$$x - x_0 = \frac{E^-}{p} t = -\frac{|E^-|}{p} t = \frac{|E^-|}{p} (-t)$$



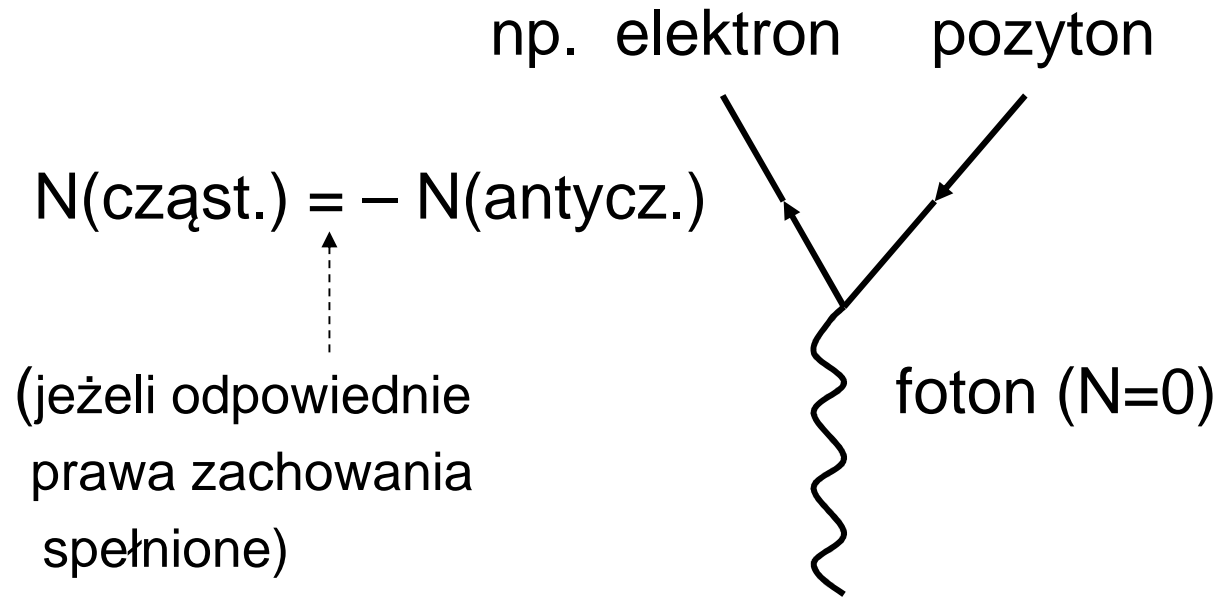
Interpretacja: cząstka o dodatniej energii $|E^-|$ porusza się w czasie „wstecz”.

Klasyczne równanie ruchu cząstki o ładunku $-q$ w polu magnetycznym

$$m \frac{d^2 \vec{r}}{dt^2} = -q \left(\frac{d\vec{r}}{dt} \times \vec{B} \right) = q \left(\frac{d\vec{r}}{d(-t)} \times \vec{B} \right).$$

Interpretacja: cząstka o ładunku $-q$, poruszająca się w czasie „wstecz”, spełnia takie samo równanie ruchu jak cząstka o ładunku q poruszająca się w czasie „do przodu”.

Produkcja pary cząstka-antycząstka (w polu jądra!)



N – addytywna liczba kwantowa (Q, B, L, \dots)

$$m(\text{cząst.}) = m(\text{antycz.}), \quad J(\text{cząst.}) = J(\text{antycz.})$$

(identyczne cząstki poruszające się w czasie w przeciwnym kierunku)

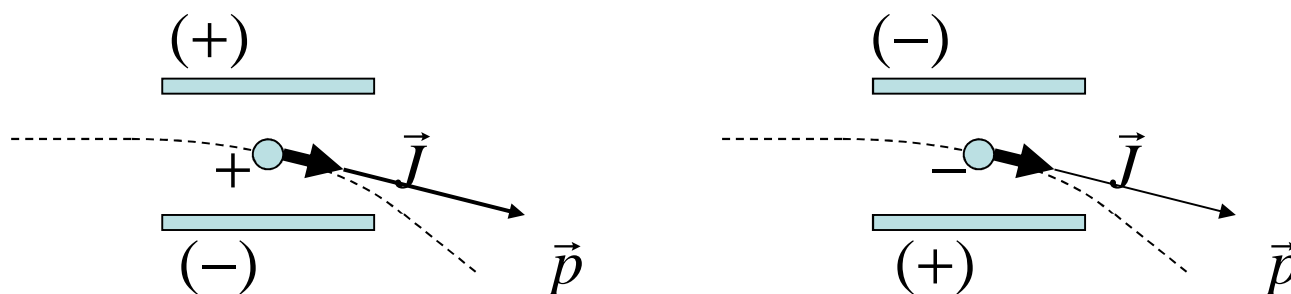
(ii) Sprzężenie ładunkowe C

Cząstka opisana przez ket $|N\rangle$, gdzie N – addytywne liczby kwantowe.

Sprzężenie ładunkowe: $\hat{C}|N\rangle = | -N\rangle$ $\hat{C}^2 = 1$

Operator unitarny ↑ ↑
cząstka antycząstka

Cząstka (np. proton) – w polu elektrycz. – antycząstka (np. antyproton)



Jeżeli sprzężenie ładunkowe C działa na cały układ to tory cząstek i antycząstek są takie same (\mathbf{p} i \mathbf{J} niezmiennione)

Pytanie:

czy \hat{C} ma zawsze wartości własne i stany własne?

$$\downarrow$$
$$\hat{C}|N\rangle = \eta_c |N\rangle?$$

Odpowiedź:

tylko dla cząstek istotnie obojętnych

$$\hat{C}|N=0\rangle = \eta_c |N=0\rangle, \quad \eta_c = \pm 1.$$

↑
parzystość ładunkowa

Cząstki naładowane i operacja C

Równanie na wartości własne dla cząstki o ładunku q (np. mezonu π^\pm)

$$\hat{Q}|q\rangle = q|q\rangle$$

Zastosowanie operacji sprzężenia ładunkowego do tegoż stanu:

$$\hat{C}|q\rangle = |-q\rangle$$

Zastosowanie obu operatorów

$$\begin{cases} \hat{C}\hat{Q}|q\rangle = q\hat{C}|q\rangle = q|-q\rangle \\ \hat{Q}\hat{C}|q\rangle = \hat{Q}|-q\rangle = -q|-q\rangle \\ (\hat{C}\hat{Q} - \hat{Q}\hat{C})|q\rangle = 2q|-q\rangle \end{cases}$$

Jeżeli $q \neq 0$, operatory \hat{C} i Q nie komutują;
cząstki są stanami własnymi operatora Q ,
nie są stanami własnymi operatora \hat{C} .

Cząstki istotnie obojętne: $[\hat{H}, \hat{C}] = 0$

$$\hat{C}|N=0\rangle = \eta_c |N=0\rangle, \quad \eta_c = \pm 1.$$

Przykład 1

Parzystość ładunkowa fotonu gamma

potencjał wektorowy $\vec{A} \xrightarrow{C} -\vec{A} \quad \Rightarrow \quad \eta_c(\gamma) = -1$

Przykład 2

Parzystość pionu obojętnego: $\pi^0 \rightarrow 2\gamma \quad \Rightarrow \quad \eta_c(\pi^0) = +1$

Przykład 3

Wzbroniony rozpad $\pi^0 \rightarrow 3\gamma \quad (<3 \times 10^{-6}\%)$

Zachowanie **C** w oddziaływaniach elektromagnetycznych!

Oddziaływania silne – niezmienniczość wzgl. C

Niezmienniczość sprawdzana w reakcjach typu

$$p\bar{p} \rightarrow \pi^+ \pi^- \pi^0.$$

Działanie \hat{C} daje

$$\bar{p}p \rightarrow \pi^- \pi^+ \pi^0.$$

Stan wyjściowy identyczny w obu przypadkach.

Niezmienniczość względem operacji C
(w pewnym stopniu potwierdzona w doświadczeniu)
oznacza m.in. jednakowe widma π^+ i π^- .

13.7. ODWRÓCENIE CZASU T

Definicja transformacji $t \xrightarrow{T} -t, \quad \vec{r} \xrightarrow{T} \vec{r}.$

Ponieważ $\vec{p} = d\vec{r} / dt$

to $\vec{p} \xrightarrow{T} -\vec{p}, \quad \vec{J} \xrightarrow{T} -\vec{J};$

ponadto $\vec{B} \xrightarrow{T} -\vec{B},$

$$\vec{E} \xrightarrow{T} \vec{E}.$$

T operatorem symetrii, tj. spełniony jest warunek $[\hat{H}, \hat{T}] = 0,$
jeżeli $\hat{T}\psi(t)$ i $\psi(t)$ spełniają to samo równanie Schrödingera.

Bliższe określenie operacji T

Wyjściowe równanie Schrödingera $i\hbar \frac{d\psi(t)}{dt} = \hat{H} \psi(t),$

równanie Schrödingera dla stanu po transformacji

$$i\hbar \frac{d\hat{T}\psi(t)}{dt} = \hat{H}\hat{T}\psi(t).$$

Przyjęcie $\hat{T}\psi(t) = \psi(-t) = \psi(t'), \quad t' = -t$

prowadzi do równania $-i\hbar \frac{d\psi(t')}{dt'} = \hat{H} \psi(t'),$

które jest różne od wyjściowego!

Właściwy wybór transformacji **T**

Wigner 1932

$$\hat{T}\psi(t) = \psi^*(-t)$$

Równanie Schrödingera $i\hbar \frac{d\hat{T}\psi(t)}{dt} = \hat{H}\hat{T}\psi(t)$

⇓

$$i\hbar \frac{d\psi^*(-t)}{dt} = \hat{H}\psi^*(-t)$$

(...)* z obu stron

⇓

jeżeli \hat{H} rzeczywiste $i\hbar \frac{d\psi(t')}{dt'} = \hat{H}\psi(t'), \quad t' = -t.$

Równanie tej samej postaci
co równanie wyjściowe!

Odwrócenie czasu dla cząstki swobodnej

Cząstka przed transformacją porusza się z pędem \vec{p}

$$\psi(\vec{r}, t) = e^{i(\vec{p}\vec{r} - Et)/\hbar}.$$

Po transformacji – cząstka poruszająca się z pędem $-\vec{p}$

$$\hat{T}\psi(\vec{r}, t) = \psi^*(\vec{r}, -t) = e^{-i(\vec{p}\vec{r} + Et)/\hbar} = e^{i(-\vec{p}\vec{r} - Et)/\hbar}.$$

Interpretacja transformacji:

$$\hat{T}|\vec{p}, \vec{J}\rangle = |-\vec{p}, -\vec{J}\rangle;$$

zamiast ruchu „wstecz” w czasie, odwrócenie kierunku ruchu.

Antyunitarność transformacji **T**

(H.Frauenfelder & E.M.Henley, Subatomic Physics, Prentice-Hall 1974, p.213)

Unitarne transformacje **U** (takie, jak **P** i **C**) są liniowe

$$\hat{U}(c_1\psi_1 + c_2\psi_2) = c_1\hat{U}\psi_1 + c_2\hat{U}\psi_2.$$

Antyunitarna transformacja

$$\hat{T}(c_1\psi_1 + c_2\psi_2) = c_1^*\hat{T}\psi_1 + c_2^*\hat{T}\psi_2.$$

Równanie $\hat{T}\psi(t) = \eta_T\psi(t)$ nie ma sensu,

niezmienniczość wzgl. **T** testowana na innej drodze.

13.8. TEST NIEZMIENNICZOŚCI WZGLĘDEM T

F.Boehm, *Time reversal tests in nuclei*

(in *Symmetries and fundamental interactions in nuclei*,

eds. Haxton & Henley, World Scientific, Singapore 1995) – IFT 20685

I.B. Khriplovich & S.K.Lamoreaux

CP violation without strangeness – electric dipole moments of particles, ...

Springer, Berlin 1997 – IFT 21242

Drogi testowania

- poszukiwanie elektrycz. momentu dipolowego ($E1$) neutronu,
- korelacje kierunkowe w rozpadzie β jąder spolaryzowanych,
(• zastosowanie zasady równowagi szczegółowej reakcji).

Założenie

niezmienniczość wzgl. CPT

(i) Moment $E1$ neutronu

Oddziaływanie d_n z polem elektrycznym

$$\hat{H}_{\text{int}} = \vec{d}_n \cdot \vec{E} \propto \vec{s}_n \cdot \vec{E}$$

↑
spin neutronu

Wartość $d_n \neq 0$ wykluczona przy niezmienniczości względem odwrócenia czasu T (i odbicia przestrzennego P).

Uzasadnienie:

$$\vec{s}_n, \vec{E} \xrightarrow{T} -\vec{s}_n, \vec{E}$$
$$(\vec{s}_n, \vec{E} \xrightarrow{P} \vec{s}_n, -\vec{E})$$

Wyniki oszacowań momentu $E1$ neutronu

D.Dubbers, *Physics of cold neutrons*,
Progress in Particle and Nuclear Physics 26(1991)173

Teoria

- niezachowanie T (niezach. CP) jak dla obojętnych kaonów:

$$\Rightarrow d_n \approx 10^{-23} \text{ e cm.}$$

- Model Standardowy

$$\Rightarrow d_n \approx 10^{-33} \div 10^{-31} \text{ e cm.}$$

Doświadczenie $d_n < 0.29 \times 10^{-25} \text{ e cm}$ (90% CL)

Pomiar momentu $E1$ neutronu

Np. N.F.Ramsey, Physics Today, 25 July 1980

Wiązka neutronów spolaryzowanych – precesja spinu w polu \vec{B}

$$\text{kąt precesji} \quad \varphi_0 = \omega_0 t, \quad \omega_0 = 2\mu_n B / \hbar$$

Nałożenie pola elektrycznego: $\vec{E} \uparrow\uparrow \vec{B}$ lub $\vec{E} \uparrow\downarrow \vec{B}$

$$\text{Energia oddziaływania:} \quad \hat{H}_{\text{int}} = \vec{\mu}_n \cdot \vec{B} \pm \vec{d}_n \cdot \vec{E}$$

$$\text{kąt precesji} \quad \varphi_{\pm} = (\omega_0 \pm \omega') t, \quad \omega' = 2d_n E / \hbar$$

$$\Delta\varphi = \varphi_+ - \varphi_- = 4d_n E / \hbar$$

(ii) Transformacja T i rozpad β neutronu

D.Dubbers, *Physics of cold neutrons*, Progr. Part. Nucl. Physics 26(1991)173

Ogólne wyrażenie na prawdopodob. rozpadu β neutronu z uwzględnieniem korelacji kątowych

proporcjonalne do $1 + \dots + D \vec{\sigma}_n \frac{\vec{p}_e \times \vec{p}_\nu}{E_e E_\nu}$

$$\text{gdzie } D = \frac{2|\lambda| \sin \phi}{1 + 3|\lambda|^2}, \quad \frac{G_A}{G_V} = \frac{C_A}{C_V} = |\lambda| e^{i\phi}$$

Człon o współczynniku D zmienia znak przy operacji T .

Niezmienniczość wzgl. T oznacza:

- $\sin \phi = 0 \Rightarrow D = 0$,
- stałe sprzężenia G_A i G_V (oraz C_A i C_V) – rzeczywiste.

Niezmienniczość wzgl. T w oddziaływaniu β

C.S.Wu, The conservation laws in β -decay, in Alpha-,Beta- and Gamma-ray Spectroscopy, K.Sieghban (ed.), North Holland, Amsterdam 1965, p.1318

Ogólna postać hamiltonianu oddziaływania $\hat{H}_\beta = \sum_i C_i \hat{H}_i$

Przy założeniu niezmienniczości względem odwrócenia czasu:

$$\hat{T} \hat{H}_i \hat{T}^{-1} = \hat{H}_i$$

$$\hat{T} \hat{H}_\beta \hat{T}^{-1} = \sum_i C_i^* \hat{T} \hat{H}_i \hat{T}^{-1} = \sum_i C_i^* \hat{H}_i$$

$$\hat{T} \hat{H}_\beta \hat{T}^{-1} = \hat{H}_\beta = \sum_i C_i \hat{H}_i$$

$$C_i = C_i^*$$

stałe sprzężenia muszą być rzeczywiste.

Poszukiwanie członu **D** w rozpadzie β neutronu

Zmodyfikowana wersja członu: $\propto \vec{\sigma}_n \cdot (\vec{p}_e \times \vec{p}_{od})$.

↑
pęd odrzutu protonu
(zamiast pędu antyneutrino)

Wykorzystanie wiązek spolaryzowanych neutronów zimnych
(Grenoble i Gatchina – wyniki uśrednione)

$$D = -(0.5 \pm 1.4) \times 10^{-3}$$

⇓

$$\phi = 180.07^\circ \pm 0.18^\circ$$

Obecnie przyjmujemy: $G_A / G_V = -1.2739 \pm 0.0019$.